

UNIVERSIDAD PRIVADA ANTENOR ORREGO
FACULTAD DE INGENIERÍA
ESCUELA PROFESIONAL DE INGENIERÍA CIVIL



**“INFLUENCIA DE LA ALTURA DEL EDIFICIO EN LAS RESISTENCIAS
REQUERIDAS CONSIDERANDO LA RIGIDEZ EFECTIVA, LA NO LINEALIDAD
GEOMÉTRICA Y LAS IMPERFECCIONES INICIALES DENTRO DEL ANÁLISIS
ESTRUCTURAL DE LAS EDIFICACIONES DE CONCRETO ARMADO”**

**TESIS
PARA OBTENER EL TÍTULO DE INGENIERO CIVIL**

**LÍNEA DE INVESTIGACIÓN:
ESTRUCTURAS**

AUTORES:

- Br. JARVEY MIGUEL GRADOS FABIAN
- Br. JIM'S DEAN OLORTEGUI CUBAS

ASESOR:

ING. CESAR LEONIDAS CANCINO RODAS

**TRUJILLO – PERÚ
2017**

ACREDITACIONES

TÍTULO: "INFLUENCIA DE LA ALTURA DEL EDIFICIO EN LAS RESISTENCIAS REQUERIDAS CONSIDERANDO LA RIGIDEZ EFECTIVA, LA NO LINEALIDAD GEOMÉTRICA Y LAS IMPERFECCIONES INICIALES DENTRO DEL ANÁLISIS ESTRUCTURAL DE LAS EDIFICACIONES DE CONCRETO ARMADO"

AUTORES:

- Br. Jarvey Miguel Grados Fabian
- Br. Jim's Dean Olortegui Cubas

APROBADO POR:

ING. MS. SC. GILBERTO ANAXIMANDRO VELASQUEZ DIAZ
PRESIDENTE
N° CIP: 29040

ING. WILLIAM CONRAD GALICIA GUARNIZ
SECRETARIO
N° CIP: 96091

ING. VICTOR MANUEL MORAN GUERRERO
VOCAL
N° CIP: 50648

ING. CESAR LEONIDAS CANCINO RODAS
ASESOR
N° CIP: 77103

PRESENTACIÓN

Señores miembros del jurado:

Dando cumplimiento y conforme a las normas establecidas en el Reglamento de Grados y Títulos y Reglamento de la Facultad de Ingeniería de la Universidad Privada Antenor Orrego, para obtener el título profesional de Ingeniero Civil, se pone a vuestra consideración el Informe del Trabajo de Investigación Titulado “INFLUENCIA DE LA ALTURA DEL EDIFICIO EN LAS RESISTENCIAS REQUERIDAS CONSIDERANDO LA RIGIDEZ EFECTIVA, LA NO LINEALIDAD GEOMÉTRICA Y LAS IMPERFECCIONES INICIALES DENTRO DEL ANÁLISIS ESTRUCTURAL DE LAS EDIFICACIONES DE CONCRETO ARMADO”, con la convicción de alcanzar una justa evaluación y dictamen, excusándonos de antemano de los posibles errores involuntarios cometidos en el desarrollo del mismo.

Trujillo, 27 de noviembre de 2017

Nombres de los autores:

Br. Jarvey Miguel Grados Fabian

Br. Jim's Dean Olortegui Cubas

DEDICATORIA

A mi familia.

Por su apoyo y paciencia durante toda mi vida.

Br. Jim's Dean Olortegui Cubas

DEDICATORIA

A mis padres.

Por creer en mí, por estar en todo momento apoyándome en mi vida y por su paciencia, gracias papá, gracias mamá.

A mi hermana.

Por todo tu apoyo, por estar en los momentos difíciles, gracias querida hermana.

Br. Jarvey Miguel Grados Fabian

AGRADECIMIENTOS

Gracias a nuestros familiares por confiar y tenernos paciencia, a nuestros amigos por todo el apoyo brindado, a todos los profesores de la escuela profesional de Ingeniería Civil de la Universidad Privada Antenor Orrego que colaboraron con sus conocimientos brindados para poder realizar esta tesis, especialmente a nuestro asesor el Ing. Cesar Leónidas Cancino Rodas por compartir todo su conocimiento y su apoyo incondicional.

ÍNDICE

ACREDITACIONES	iv
PRESENTACIÓN	v
DEDICATORIA	vi
DEDICATORIA	vii
AGRADECIMIENTOS	viii
ÍNDICE	ix
ÍNDICE DE TABLAS	xii
ÍNDICE DE FIGURAS	xiv
ÍNDICE DE GRÁFICOS	xv
RESUMEN	xvii
ABSTRACT	xviii
CAPÍTULO I INTRODUCCIÓN	19
1.1. Planteamiento del problema	19
1.2. Formulación del problema	20
1.3. Objetivos	20
1.3. 1. General.....	20
1.3. 2. Específicos	20
1.4. Justificación	21
1.5. Formulación de la hipótesis	21
CAPÍTULO II MARCO TEÓRICO	22
2.1. Fundamentación teórica de la investigación	22
2.1.1. Rígidez Efectiva.....	22
2.1.2. Imperfecciones iniciales	31
2.1.3. No linealidad geométrica	35
2.2. Modelo estructural	36
2.2.1. Estructuración.....	36

2.2.2. Cargas	40
2.2.3. Combinaciones de resistencias requeridas	41
2.2.4. Diseño de Vigas y Muros.....	42
2.3. Software ARE2015	47
2.4. Material y métodos	49
2.4.1. Población.....	49
2.4.2. Muestra	49
2.4.3. Unidad de Análisis.....	49
2.4.4. Metodología.....	49
2.4.5. Técnicas e instrumentos de recolección de datos	49
2.4.6. Técnicas de procesamiento y análisis de datos	49
2.4.7. Variables y definición operacional	49
CAPÍTULO III RESULTADOS	50
3.1. Resultados de los comportamientos sísmicos de las estructuras	50
3.2. Resultados de los máximos incrementos de fuerzas	52
3.3. Resultados de los máximos incrementos relativos	56
CAPÍTULO IV DISCUSIÓN DE RESULTADOS	68
4.1. Periodos de la estructura	68
4.2. Cortante basal	70
4.3. Desplazamientos y derivas	72
4.4. Incremento de fuerzas cortantes, momentos flectores y axial	74
4.4.1. Máximos incrementos de fuerzas en columnas.....	75
4.4.2. Máximos incrementos de fuerzas en vigas.....	76
4.4.3. Máximos incrementos de fuerzas en muros	76
4.5. Representación gráfica de las variaciones de las fuerzas con respecto a la altura total de la estructura	77
4.5.1. Vigas	78

4.5.2. Columnas	81
4.5.3. Muros	84
CAPÍTULO V CONCLUSIONES.....	87
RECOMENDACIONES	90
REFERENCIAS BIBLIOGRÁFICAS	91
ANEXOS	92
Anexo A: Código y diseño de ARE2015 en lenguaje Visual Basic.....	92
Primer_I (código)	92
Seg_I (código)	120
Tercer_I (código)	123
Module1 (Código)	138
Primer_I (Diseño).....	140
Seg_I (Diseño).....	140
Tercer_I (Diseño).....	141

ÍNDICE DE TABLAS

Tabla 1 Factores de las principales normas.....	31
Tabla 2 Secciones de columnas	38
Tabla 3 Secciones de vigas	39
Tabla 4 Espesor de muros	40
Tabla 5 Áreas de acero de vigas de los edificios de 4 y 6 pisos	43
Tabla 6 Áreas de acero de vigas de los edificios de 8 y 10 pisos	44
Tabla 7 Cantidad de acero longitudinal de los muros X1 y Y1 según el piso	45
Tabla 8 Cantidad de acero longitudinal de los muros X4 y Y2 según el piso	45
Tabla 9 Cantidad de acero longitudinal de los muros X2 y Y5 según el piso	46
Tabla 10 Cantidad de acero longitudinal de los muros X5, Y4 y Y6 según el piso	46
Tabla 11 Cantidad de acero longitudinal de los muros X3 y Y7 según el piso	47
Tabla 12 Cantidad de acero longitudinal de los muros X6 y Y8 según el piso	47
Tabla 13 Comportamiento sísmico de la estructura.....	51
Tabla 14 Máximos incrementos de fuerza en columnas	53
Tabla 15 Máximos incrementos de fuerzas en vigas	54
Tabla 16 Máximos incrementos de fuerzas en muros.....	55
Tabla 17 Máximos incrementos relativos C_P de la estructura de 4 pisos 2_5 ...	56
Tabla 18 Máximos incrementos relativos C_V2 de la estructura de 4 pisos 2_5 .	57
Tabla 19 Máximos incrementos relativos C_V3 de la estructura de 4 pisos 2_5 .	58
Tabla 20 Máximos incrementos relativos C_M2 de la estructura de 4 pisos 2_5.	59
Tabla 21 Máximos incrementos relativos C_M3 de la estructura de 4 pisos 2_5.	60
Tabla 22 Máximos incrementos relativos V_V2 de la estructura de 4 pisos 2_5 .	61
Tabla 23 Máximos incrementos relativos V_M3 de la estructura de 4 pisos 2_5 .	63
Tabla 24 Máximos incrementos en M_P de la estructura de 4 pisos 2_5	65
Tabla 25 Máximos incrementos en M_V2 de la estructura de 4 pisos 2_5	66
Tabla 26 Máximos incrementos en M_M3 de la estructura de 4 pisos 2_5	67
Tabla 27 Máximos incrementos en la fuerza axial, cortante y momento flector de las columnas en los edificios de 4 pisos.....	75
Tabla 28 Máximos incrementos en la fuerza axial, cortante y momento flector de las columnas en los edificios de 6 pisos.....	75
Tabla 29 Máximos incrementos en la fuerza axial, cortante y momento flector de las columnas en los edificios de 8 pisos.....	75

Tabla 30 Máximos incrementos en la fuerza axial, cortante y momento flector de las columnas en los edificios de 10 pisos.....	75
Tabla 31 Máximos incrementos en la fuerza cortante y momento flector de las vigas en los edificios de 4 pisos	76
Tabla 32 Máximos incrementos en la fuerza cortante y momento flector de las vigas en los edificios de 6 pisos	76
Tabla 33 Máximos incrementos en la fuerza cortante y momento flector de las vigas en los edificios de 8 pisos.....	76
Tabla 34 Máximos incrementos en la fuerza cortante y momento flector de las vigas en los edificios de 10 pisos.....	76
Tabla 35 Máximos incrementos en la fuerza axial, cortante y momento flector de los muros en los edificios de 4 pisos	77
Tabla 36 Máximos incrementos en la fuerza axial, cortante y momento flector de los muros en los edificios de 6 pisos	77
Tabla 37 Máximos incrementos en la fuerza axial, cortante y momento flector de los muros en los edificios de 8 pisos.....	77
Tabla 38 Máximos incrementos en la fuerza axial, cortante y momento flector de los muros en los edificios de 10 pisos.....	77

ÍNDICE DE FIGURAS

Figura 1 Relación Momento-Curvatura para refuerzos típicos de vigas de concreto: Influencia de las cuantías de refuerzo en tracción.....	25
Figura 2 Comparación de diferentes modelos de rigidez efectiva con estimaciones analíticas y experimentales para concreto de resistencia normal.	28
Figura 3 Comparación de diferentes modelos de rigidez efectiva con estimaciones analíticas y experimentales para concreto de alta resistencia.	28
Figura 4 Efectos de segundo orden.....	35
Figura 5 Modelado del momento $P - \Delta$ mediante cargas equivalentes.....	36
Figura 6 Estructura de planta típica.....	37
Figura 7 Diagrama de flujo de ARE2015	48
Figura 8 Primer_I (Diseño)	140
Figura 9 Seg_I (Diseño)	140
Figura 10 Tercer_I (Diseño).....	141

ÍNDICE DE GRÁFICOS

Gráfico 1 Variación de las tolerancias con respecto a la altura total de la estructura	34
Gráfico 2 Espectro inelástico de pseudo - aceleraciones E.0.30 – 2016.....	41
Gráfico 3 Período vs Altura total de la estructura. Dirección "X"	68
Gráfico 4 Período vs Altura total de la estructura. Dirección "Y"	68
Gráfico 5 Incremento % de T vs Altura total de la estructura. Dirección "X".....	69
Gráfico 6 Incremento % de T vs Altura total de la estructura. Dirección "Y".....	69
Gráfico 7 Cortante Basal/Peso sísmico vs Altura total de la estructura. Dirección "X"	70
Gráfico 8 Cortante Basal/Peso sísmico vs Altura total de la estructura. Dirección "Y"	70
Gráfico 9 Variación % de V/P vs Altura total de la estructura. Dirección "X"	71
Gráfico 10 Variación % de V/P vs Altura total de la estructura. Dirección "Y"	71
Gráfico 11 Desplazamiento Máx vs Altura total de la estructura. Dirección "X" ..	72
Gráfico 12 Desplazamiento Máx vs Altura total de la estructura. Dirección "Y" ..	72
Gráfico 13 Derivas elásticas vs Altura total de la estructura. Dirección "X"	73
Gráfico 14 Derivas elásticas vs Altura total de la estructura. Dirección "Y"	73
Gráfico 15 Incremento % de derivas elásticas vs Altura total de la estructura. Dirección "X"	74
Gráfico 16 Incremento % de derivas elásticas vs Altura total de la estructura. Dirección "Y"	74
Gráfico 17 Porcentaje de vigas que sufren un incremento en su fuerza vs Altura total de la estructura. Para vigas que sufren aumentos mayores a 0%.	79
Gráfico 18 Porcentaje de vigas que sufren un incremento en su fuerza vs Altura total de la estructura. Para vigas que sufren aumentos mayores al 5%.....	80
Gráfico 19 Porcentaje de columnas que sufren un incremento en su fuerza vs Altura total de la estructura. Para columnas que sufren aumentos mayores a 0%.....	82
Gráfico 20 Porcentaje de columnas que sufren un incremento en su fuerza vs Altura total de la estructura. Para columnas que sufren aumentos mayores al 5%.....	83

Gráfico 21 Porcentaje de muros que sufren un incremento en su fuerza vs Altura total de la estructura. Para muros que sufren aumentos mayores a 0%..... 85

Gráfico 22 Porcentaje de muros que sufren un incremento en su fuerza vs Altura total de la estructura. Para muros que sufren aumentos mayores al 5%. 86

RESUMEN

El propósito de esta tesis es conocer la relevancia que tiene la altura total de la estructura en las variaciones de las fuerzas internas de los elementos estructurales y los desplazamientos en un análisis estructural incluyendo la rigidez efectiva, la no linealidad geométrica y las imperfecciones iniciales, con respecto a un análisis estructural elástico. Para conocer la relevancia que tiene altura total de la edificación, se propuso una estructura compuesta por muros de concreto armado en las esquinas, y en las cajas de la escalera y el ascensor, con columnas en la zona interna de la edificación, conectando estos elementos verticales mediante vigas, formando una serie de pórticos y muros acoplados. Esta configuración se mantiene en todos los edificios analizados, variando las dimensiones de las secciones trasversales de las columnas y vigas, el espesor de los muros y la resistencia del concreto (f'_c de 210 kg/cm² para los edificios de 4 y 6 pisos, y de 280 kg/cm² para los de 8 y 10 pisos).

Para el desarrollo del “Análisis ERNI” (Análisis estructural incluyendo la rigidez efectiva, la no linealidad geométrica y las imperfecciones iniciales) se revisaron diversas investigaciones sobre la rigidez efectiva aceptadas por el ACI tomando aquellas que predicen mejor el comportamiento de los elementos de una manera simple. Los efectos de segundo orden se modelaron mediante cortantes secundarias y se propuso un método para representar las imperfecciones iniciales mediante cargas ficticias en base a las tolerancias admitidas por el ACI 117-10 del desplome de los elementos verticales.

Debido a que el Análisis ERNI requiere un gran proceso de datos, se creó una herramienta informática llamada ARE2015 que procesa la información del análisis estructural realizado en ETABS generando nuevos datos para ser enviados al ETABS creando una serie de ciclos. Sabiendo que encontrar la solución exacta del Análisis ERNI conlleva un gran consumo de recurso informático y tiempo por ello se estableció una tolerancia admisible de los desplazamiento relativos de 0.05 mm. De esta manera, los análisis se realizaron exitosamente demostrando que el Análisis ERNI en comparación con el Análisis Elástico existen incrementos en los desplazamientos los cuales son directamente proporcionales a la altura total de la estructura y también incrementos en las fuerzas internas de gran relevancia en los elementos estructurales que tienen importancia en la rigidez lateral de la estructura como son los muros en este estudio.

ABSTRACT

The purpose of this thesis is to know the relevance of the height of the structure in variations of internal forces of the structural elements and the displacements in a structural analysis including the effective stiffness, then geometric non-linearity and the initial imperfections with respect to an elastic structural analysis. In order to know the relevance of height of the building, a structure composed of concrete shear walls was proposed in the corners, around the staircase and elevator shaft, with columns inside of the building, these vertical elements are connected by beams, forming a series of frames and coupled walls. This configuration is maintained in all the buildings analyzed, varying the dimensions of the cross sections of the columns and beams, the thickness of the walls and the strength of the concrete (f'_c of 210 kg / cm² for buildings of 4 and 6 floors, and 280 kg / cm² for buildings of 8 and 10 floors). For the development of the "ERNI Analysis" (Structural Analysis including the effective stiffness, the geometric non-linearity and the initial imperfections), several investigations about the effective stiffness accepted by the ACI were reviewed, taking those that better predict the behavior of the elements in a simple way. Second order effects were modeled by secondary shear forces and a method was proposed to represent the initial imperfections by means of notional loads based on the tolerances allowed by the ACI 117-10 about of the deviation of plumb.

Because the ERNI Analysis requires a large data process, a computer tool called ARE2015 was created that processes the structural analysis information made in the ETABS, generating new data to be sent to the ETABS by creating a series of cycles. Knowing that finding the exact solution of ERNI Analysis leads to a large consumption of computer resources and time for this reason an allowable tolerance of relative displacements of 0.05 mm was established.

In this way, the analyzes were carried out successfully demonstrating that the ERNI Analysis in comparison with the Elastic Analysis there are increments in the displacements which are directly proportional to the height of the structure and also increases in the internal forces of great relevance in the structural elements which are important in the lateral stiffness of the structure as are the walls in this study.

CAPÍTULO I

INTRODUCCIÓN

1.1. Planteamiento del problema

Actualmente el análisis de estructuras de concreto armado considera que la estructura será construida cumpliendo una verticalidad absoluta de las columnas y muros, y también el equilibrio entre las fuerzas externas (Cargas de gravedad, Sismos, Viento, Nieve, Lluvia, etc.) y las fuerzas internas, las cuales están relacionadas con el comportamiento elástico lineal del material y la rigidez del elemento estructural, sin embargo esta metodología no incluye variables que tienen relevancia dentro del comportamiento de la estructura, tal como lo indica la investigación de Madhu Khuntia y S. K. Ghosh sobre la rigidez efectiva a la flexión de elementos de concreto reforzado que determinó que es dependiente de las siguientes variables: la carga axial actuante (P_u), la excentricidad de la carga (e), la cuantía de acero (ρ_g) y la resistencia a la compresión del concreto (f'_c). Para la carga axial actuante la investigación mostró que al tener una relación del 50% entre la carga axial actuante (P_u) y la resistencia concéntrica (P_o) de la sección se obtuvo un 80% de la deformación unitaria en compresión (ϵ_c) y no un 50% que fue lo esperado, llegando de esta manera a la conclusión que no existe una relación a nivel elástico lineal entre las cargas y las deformaciones. La excentricidad de la carga (e) es la segunda variable más importante ya que al tener una excentricidad grande se tiene un momento alto que originará fisuras por flexión que reducirá la sección transversal del elemento. La cuantía de acero (ρ_g) es el punto más importante de la investigación ya que demostró que a mayor cantidad de acero de refuerzo incrementa la rigidez efectiva, sin embargo estas variables están relacionadas directamente con la no linealidad geométrica, por lo que las dimensiones y las imperfecciones iniciales de los elementos también influyen para el cálculo de las resistencias requeridas porque al ser alteradas se generará una redistribución de fuerzas internas provocando desplazamientos que originarán momentos adicionales debido a la carga axial que recibe estos elementos, siendo la altura de la edificación uno de los factores más importantes que influyen en la magnitud de estas cargas. En concordancia con lo anteriormente

dicho nos lleva a la necesidad de verificar la influencia de la altura de la edificación considerando la rigidez efectiva, la no linealidad geométrica y las imperfecciones iniciales (Como no se conocen esta última se usará la máxima tolerancia de desplome establecidos por las norma ACI y RNE) dentro del análisis estructural de edificios de concreto armado, siendo posible realizar este análisis más riguroso en la actualidad debido a que se cuentan con mayores recursos informáticos.

1.2. Formulación del problema

¿Cuál es la influencia de la altura del edificio en las resistencias requeridas considerando la rigidez efectiva, la no linealidad geométrica y las imperfecciones iniciales dentro del análisis estructural de las edificaciones de concreto armado?

1.3. Objetivos

1.3. 1. General

Conocer la influencia de la altura del edificio en las resistencias requeridas considerando la rigidez efectiva, la no linealidad geométrica y las imperfecciones iniciales dentro del análisis estructural de las edificaciones de concreto armado.

1.3. 2. Específicos

- A. Procesar la información sobre la rigidez efectiva, la no linealidad geométrica de los elementos estructurales y las imperfecciones iniciales.
- B. Plantear las estructuras modelo con variaciones en altura para posteriormente ser analizadas.
- C. Analizar las estructuras planteadas en el ítem "B" mediante la metodología actual.
- D. Analizar las estructuras del ítem "B" considerando la rigidez efectiva, la no linealidad geométrica de los elementos estructurales y las imperfecciones iniciales.

- E. Comparar las resistencias requeridas de los ítems “C” y “D” usando cuadros estadísticos.

1.4. Justificación

En nuestra actualidad contamos con grandes recursos informáticos que permiten realizar análisis muy refinados para el cálculo de las resistencias requeridas (fuerzas de diseño), teniendo como consecuencia mayor precisión del comportamiento estructural que se tendrá.

Dicho por todo lo anterior se tomará como referencia el Método de Análisis Directo del AISC-360 el cual toma en cuenta la rigidez efectiva, la no linealidad geométrica de los elementos y las imperfecciones iniciales; estos efectos no son considerados en los métodos de análisis y diseño convencionales que se presentan durante la vida útil de la estructura generando de esta manera efectos de piso blando, formación de rotulas plásticas en las columnas, entre otros.

Para conocer con mayor precisión la influencia de la altura de la edificación en el cálculo de las resistencias requeridas usando el enfoque del Método de Análisis Directo con respecto al análisis que actualmente se realiza.

1.5. Formulación de la hipótesis

H_i: La altura del edificio influye en las resistencias requeridas considerando la rigidez efectiva, la no linealidad geométrica y las imperfecciones iniciales dentro del análisis estructural de las edificaciones de concreto armado.

H₀: La altura del edificio no influye en las resistencias requeridas considerando la rigidez efectiva, la no linealidad geométrica y las imperfecciones iniciales dentro del análisis estructural de las edificaciones de concreto armado.

CAPÍTULO II

MARCO TEÓRICO

2.1. Fundamentación teórica de la investigación

2.1.1. Rigidez Efectiva

Los elementos estructurales a lo largo de su vida útil están sometidos a diversas solicitudes, por ello la rigidez nominal será afectada de acuerdo a las intensidades de las solicitudes.

Diversos Autores y normativas han estudiado a lo largo de los años esta propiedad, pero “ninguno de los modelos propuestos describe el comportamiento real con gran precisión” (**Ratnesh Kumar y Yogendra Singh, 2010, p.615**)

A Continuación, algunos modelos propuestos por las normativas y autores:

A. Madhu Khuntia y S. K. Gosh (2004)

En su investigación plantearon variables que a lo largo de su estudio se descartaron algunas de poca relevancia para la rigidez efectiva.

El Estudio tomo las siguientes variables:

a. Para Columnas

En el estudio se observó que 4 variables de las propuestas tienen gran influencia en la rigidez efectiva de las columnas, estas son:

- La cuantía de acero bruta (ρ_g)**

La cantidad de refuerzo es directamente proporcional a la rigidez efectiva de las columnas. En los ensayos se obtuvo como resultado un incremento del 28% de EI_e cuando se analizó dos elementos con 1% y 3% de cuantía de acero con la relación e/h de 0.25 y P_u/P_o de 0.44.

- La relación Excentricidad – Peralte(e/h)**

Cuando la relación e/h (M/Ph) es de gran magnitud disminuye la rigidez efectiva esto se debe a que el momento flector al ser

mayor que la carga axial incrementara la longitud de las fisuras de flexión conllevando a una reducción de la sección.

- **La relación Carga axial ultima – Resistencia axial concéntrica(P_u/P_0)**

Las solicitudes compuestas (flexión y axial) incrementan en gran medida la deformación de la fibra extrema en compresión del concreto (ϵ_c) generando una reducción de la rigidez efectiva. Esto se debe a que la relación fuerza - deformación no es lineal

- **Alta resistencia del concreto**

Como se observó en el ítem anterior la rigidez efectiva es dependiente de la resistencia axial concéntrica de la sección por lo tanto al incrementar la resistencia a la compresión del concreto (f'_c) también se incrementa la rigidez efectiva.

Las variables de menor influencia son:

- **El recubrimiento**

Esta variable fue medida con la relación (Y) de la distancia entre los centroides de las líneas de barras longitudinales extremas y el peralte de la sección.

La Investigación demostró que este factor tiene baja influencia en la rigidez efectiva. De acuerdo a los ensayo se obtuvo que la relación Y de 0.75 a 0.65 genera una reducción en la rigidez efectiva entre un 7% a 12%.

En consecuencia, los autores por simplicidad y poca influencia desestiman esta variable.

- **La distribución del refuerzo longitudinal**

Los resultados de los ensayos de 2 secciones de dimensiones y áreas de acero iguales, pero con distintas distribuciones que son: la primera distribución en tres líneas de barras de refuerzo y la segunda en dos, se obtuvo que la segunda sección tiene

un incremento superior a la primera sección de 8% y 15 % para 1% y 3 % de cuantía de acero respectivamente.

- **La forma de la Sección Transversal**

Los resultados demostraron que una sección rectangular es mayor al 10% en la rigidez efectiva que una de sección circular de igual peralte, resistencia a la compresión del concreto y cuantía de acero.

La siguiente ecuación fue propuesta por los autores basados en su estudio de las variables de gran influencia para la rigidez efectiva antes mencionadas:

$$EI_e = E_c I_g \left(0.80 + 25\rho_g \right) x \left(1 - \frac{e}{h} - 0.5 \frac{P_u}{P_0} \right) \quad (1)$$

b. Para Vigas

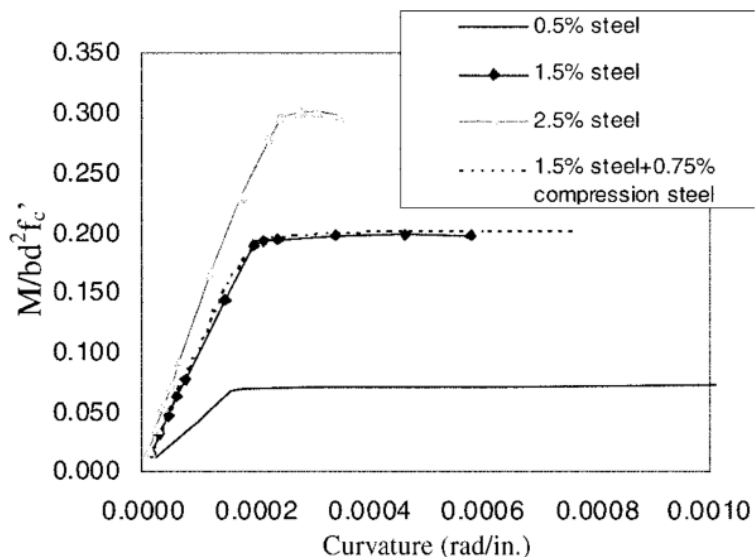
- **Cuantía de acero a tracción (ρ)**

Según su investigación, al tener un incremento del refuerzo de tracción se reducirán la profundidad de las grietas de flexión y la zona en compresión de la sección aumentará por equilibrio de fuerzas.

- **Cuantía de acero a compresión (ρ')**

De acuerdo a los ensayos se demostró una pequeña variación de la rigidez efectiva en secciones que carecen de refuerzo en compresión, pero la secciones que contenían refuerzo en compresión era más dúctiles que las secciones que carecían de esta, tal como lo muestra la *Figura 1*, por lo tanto, los investigadores por simplicidad y conservatismo esta es excluida.

Figura 1 Relación Momento-Curvatura para refuerzos típicos de vigas de concreto: Influencia de las cuantías de refuerzo en tracción.



Fuente: Madhu Khuntia y S. K.Ghosh (2004)

- **La relación base – peralte efectivo (b/d)**

En los diagramas momento - curvatura de la investigación los autores observaron que se presentaba un aumento de rigidez efectiva cuando el valor de esta variable disminuye.

- **La resistencia a la compresión del concreto (f'_c)**

Esta variable toma relevancia para los autores debido a que el aumento del f'_c reduce la profundidad de la zona de compresión (c) lo que conlleva a un aumento del tamaño de las grietas de flexión del elemento. Por lo tanto, se presentan dos ecuaciones para concretos normales y concretos de alta resistencia.

$$EI_e = E_c I_g \left(0.10 + 25\rho \right) \left(1.2 - 0.2 \frac{b}{d} \right) \quad (2)$$

Para el presente estudio se tomó en consideraciones la fórmula de vigas para concretos normales siguiendo los lineamientos del ACI 318-14 por que describe de manera bastante aproximada el comportamiento real de los elementos.

B. Kenneth J. Elwood y Marc O. Eberhard (2009)

Elwood y Eberhard proponen la siguiente expresión para determinar la rigidez efectiva:

$$\frac{EI_{eff\ calc}}{EI_g} = \frac{\alpha}{\left[1 + \frac{3}{8} \frac{d_b}{D} \frac{f_s}{a} \frac{f_y}{f_y} \frac{u}{u} + \frac{18}{5} \alpha \left(\frac{r_v}{D} \right)^2 \left(\frac{D}{a} \right)^2 \frac{E_c}{G_{eff}} \right]} \quad (3)$$

Donde:

Este modelo se basa en 3 componentes del desplazamiento de fluencia, estos son:

$$\Delta_y = \Delta_{flex} + \Delta_{shear} + \Delta_{slip} \quad (4)$$

a. Desplazamientos debidos a la flexión

Los investigadores proponen asumir una variación lineal de la curvatura para estimar la deformación debida a la flexión por lo tanto la deformación se obtendría con la siguiente expresión:

$$\Delta_{flex} = \frac{a^2}{3} \phi_y = \frac{a^2}{3} \frac{M_{0.004}}{EI_{flex}} \quad (5)$$

Donde $M_{0.004}$ es el momento flector sometido a la deformación máxima de compresión de concreto de 0.004.

b. Desplazamientos debidos a la cortante

Elwood y Eberhard plantean que el módulo de corte está relacionado con la rigidez efectiva debido a que las grietas de cortante reducen el módulo de cortante el cual está en función de los esfuerzos principales por ello sostienen que es conveniente estimar el desplazamiento debido a corte suponiendo que la columna no está restringida en la parte superior (Viga en voladizo), es un material isotrópico y módulo de corte reducido constante

$$\Delta_{shear} = \frac{M_{0.004}}{A_v G_{eff}} \quad (6)$$

Dónde: A_v es el área efectiva de corte (5/6 del área bruta de secciones rectangular y 85% de secciones circulares).

c. Desplazamientos debidos al deslizamiento del refuerzo

Estas deformaciones se presentan en los extremos de la columna como en los nudos viga- columna y/o interfaz columna-cimentación, estos efectos aumentan los desplazamientos laterales, estos deslizamientos suceden en la zona de tracción de los extremos de la columna que originara en la cimentación o nudo de concreto esfuerzos de adherencia(u) que deberá ser contrarrestadas con la tensión en las barras, por lo tanto Elwood y Eberhard proponen la siguiente expresión para determinar el desplazamiento debido al deslizamiento:

$$\Delta_{slip} = \frac{ad_b f_s \phi_y}{8u} \quad (7)$$

Donde:

$$u = 0.8\sqrt{f'_c} \quad (8)$$

C. Ratnesh Kumar y Yogendra Singh (2010)

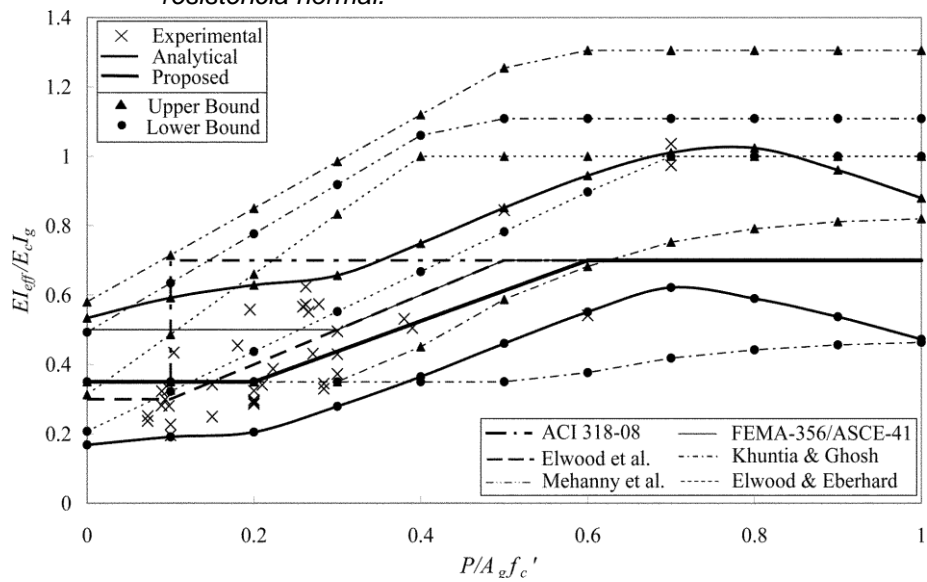
Kumar y Singh analizaron las investigaciones anteriores acerca de La rigidez efectiva, ellos observaron que Las formulas propuestas (como Khuntia y Gosh, Elwood y Eberhard) para ser aplicadas requieren de gran recurso computacional debido al complejo procesamiento de datos. Por ello proponen un modelo simplificado para estimar la rigidez efectiva partiendo desde el estudio de las variables usadas por los autores antes mencionados, las cuales son:

- Cuantía de acero.
- Resistencia a la fluencia del acero.
- Diámetro de las barras Longitudinales.

- Longitud de la Columna.
- Peralte de la Sección.
- Resistencia a la Compresión del concreto.

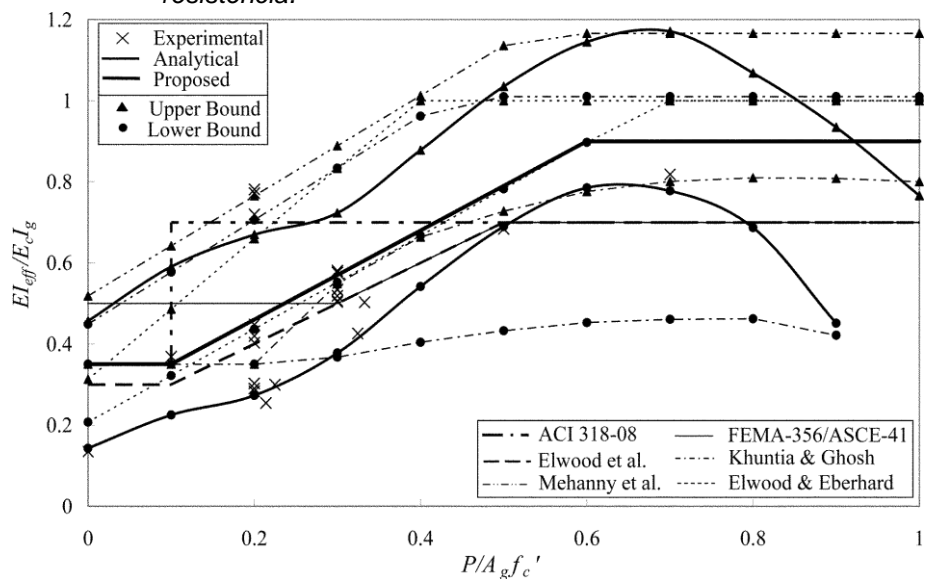
Kumar y Singh observaron los límites tanto superior como inferior de los modelos aceptados por las normativas o instituciones están dispersas entre sí, como se muestra en las siguientes graficas:

Figura 2 Comparación de diferentes modelos de rigidez efectiva con estimaciones analíticas y experimentales para concreto de resistencia normal.



Fuente: Ratnesh Kumar y Yogendra Singh (2010)

Figura 3 Comparación de diferentes modelos de rigidez efectiva con estimaciones analíticas y experimentales para concreto de alta resistencia.



Fuente: Ratnesh Kumar y Yogendra Singh (2010)

En la *Figura 2* y *3* también se observan resultados experimentales de los cuales mediante procedimientos analíticos los autores proponen una función que contiene un límite superior e inferior que estima la rigidez efectiva dependiente de la carga axial del elemento, ellos al observar la relación que tienen entre si todos los modelos en estudio proponen unas ecuaciones simplificadas en función de una sola variable lo que conlleva a no tener límite superior e inferior.

Las ecuaciones son:

Para concretos de resistencias normales:

$$\frac{EI_{eff}}{E_c I_g} = \begin{cases} 0.35 & \text{para } \frac{P}{A_g f' c} \leq 0.2 \\ 0.175 + 0.875 \frac{P}{A_g f' c} & \text{para } 0.2 \leq \frac{P}{A_g f' c} \leq 0.6 \\ 0.7 & \text{para } 0.6 \leq \frac{P}{A_g f' c} \end{cases} \quad (9)$$

Para concretos de alta resistencia:

$$\frac{EI_{eff}}{E_c I_g} = \begin{cases} 0.35 & \text{para } \frac{P}{A_g f' c} \leq 0.1 \\ 0.24 + 1.1 \frac{P}{A_g f' c} & \text{para } 0.1 \leq \frac{P}{A_g f' c} \leq 0.6 \\ 0.9 & \text{para } 0.6 \leq \frac{P}{A_g f' c} \end{cases} \quad (10)$$

Para el presente estudio el modelo de Kumar y Singh es utilizado para estimar las rigideces efectivas de las columnas porque contiene los lineamientos de los principales modelos avalados por instituciones y/o normativas, algunas de ellas anteriormente mencionadas en este estudio.

D. Ahmad Rahimian (2011)

Rahimian propone dos modelos, Método Explícito e Implícito, para estimar la rigidez efectiva de muros de concreto. Estos Modelos están basados en una serie de análisis no-lineales, en los cuales se han considerado las relaciones constitutivas del concreto tanto como para

esfuerzos de compresión como de tracción y un modelo elástico-plástico para el acero de refuerzo.

La diferencia entre el Método Explícito e Implícito es que el primero considera el efecto localmente del agrietamiento en las zonas donde superan los esfuerzos resistentes de tracción del concreto y el segundo modelo considera el efecto del agrietamiento en toda la sección del elemento.

Para el presente estudio se opta por el uso del Método explícito debido a que en la mayoría de configuraciones estructurales cuentan con uniones ortogonales entre muros (Por ejemplo: caja de ascensores) lo que conlleva a que una porción del muro perpendicular (ancho efectivo de las alas) al de análisis desarrolle esfuerzos axiales tanto en compresión como en tracción los cuales afectan la rigidez del elemento mientras que en el Método implícito se tendría que tomar consideraciones complejas que conllevan a usar un mayor recurso computacional.

El método explícito refleja el efecto del cambio de excentricidad de la carga axial en la altura con respecto al centroide de la sección transversal. La rigidez axial será modificada en aquellas zonas donde el esfuerzo de tracción supere el módulo de ruptura, con el factor λ :

$$\lambda = \frac{A_e}{A_c} = \frac{E_e}{E_c} \quad (11)$$

$$E_e = E_c \frac{ft}{f_{cr}} (1 - \rho) + \rho E_s \quad (12)$$

E. Factores de las principales normas

A continuación, se muestra una tabla de factores de las principales normas dentro del medio ingenieril, estos factores están basados a ensayos experimentales, desarrollados probabilísticamente de manera muy simplificada y conservadora. Estos factores pueden diferir del comportamiento real de la estructura. Por ello es necesario el uso de estos factores con fines de dimensionamiento y después hacer una respectiva verificación con modelos refinados.

Tabla 1 Factores de las principales normas

	Elementos	Modificador de rigidez para diferentes elementos		
		ACI 318-11 10.10.4.1 ACI 318-14 6.6.3.1.1	ASCE 41-13 Tabla 10-5	FEMA 356 Tabla 6-5
Viga	Vigas convencionales ($L/H > 4$)	0.35lg	0.30lg	0.50lg
	Vigas pretensadas ($L/H > 4$)	n/a	1.00lg	1.00lg
	Vigas de acople ($L/H \leq 4$)		n/a	n/a
Columna	Columnas – $P_u \geq 0.5A_g f'_c$	0.70lg	0.70lg	0.70lg
	Columnas – $P_u \leq 0.3A_g f'_c$		0.30lg	0.50lg
	Columnas – $P_u \leq 0.1A_g f'_c$			
	Columnas - Tensión			
Muro	Muro - No Agrietado	0.70lg	n/a	0.80lg
	Muro - Agrietado	0.35lg	0.50lg	0.50lg
	Muro - Corte	n/a	0.40EcAw	n/a

Fuente: ACI 318-11, ACI 318-14, ASCE 41-13 y FEMA 356

2.1.2. Imperfecciones iniciales

Las imperfecciones iniciales generan desplazamientos y fuerzas, las cuales son solicitudes que no han sido contempladas en el diseño de la estructura por ello es necesario considerar estos efectos como ya lo vienen aplicando la normativa AISC-360 correspondiente al acero estructural.

El desplome de los elementos verticales de una estructura es la principal imperfección inicial que se presenta en a lo largo de su proceso constructivo, este efecto no puede ser evitado a su totalidad, por eso las instituciones y/o normativas establecen tolerancias permitidas, a continuación se presentan algunas de ellas:

A. CIRSOC 201-05 (Argentina)

El capítulo 6 de esta norma nos recomienda las siguientes tolerancias:

- a. En líneas y superficies de columnas, pilares, tabiques y en filos.
 - Por cada 3 m 6 mm
 - Máximo en la altura total de la estructura (*) 30 mm

b. En columnas de esquina a la vista, buñas para juntas de control y otras líneas visibles.

- Por cada 6 m 6 mm
- Máximo en la altura total de la estructura (*) 15 mm

(*) Esta tolerancia es para estructuras de altura igual o menor que 30 m. Para estructuras de mayor altura se deben establecer las tolerancias en los documentos del proyecto.

c. En columnas o tabiques construidos con encofrado deslizante, las tolerancias respecto a un punto de referencia en la base de la estructura, para cada una de las tres componentes ortogonales de la suma de desplazamientos producidos por translación y rotación del encofrado.

- Por cada 1,50 m de altura 3 mm
- Por cada 15 m de altura 30 mm
- Máximo en la altura total, hasta 180 m de altura 90 mm

B. ACI-117 Especificaciones sobre las tolerancias para la construcción de concreto y materiales

El capítulo 4 nos presenta las siguientes tolerancias referidas a construcción de edificios de concreto con elementos conformados en obra con respecto a la verticalidad del edificio:

a. Para alturas menores o iguales a 25.4m

La tolerancia debe ser el menor de los siguientes valores:

- 0.3% de la altura entre el nivel superior de la cimentación y el punto de inspección.
- 1 plg. (25.4 mm).

b. Para alturas mayores a 25.4m

La tolerancia debe ser el menor de los siguientes valores:

- 0.1% de la altura entre el nivel superior de la cimentación y el punto de inspección.
- 6 plg. (152.4 mm).

C. Implementación de las imperfecciones iniciales

Para este estudio se tomó como referencia las especificaciones del ACI – 117 para desarrollar el modelo a representar las imperfecciones iniciales mediante cargas ficticias. Debido a que el ACI estudia a profundidad el comportamiento del concreto.

a. Modelo propuesto para representar las imperfecciones iniciales

El método directo del AISC representa las cargas ficticias mediante la siguiente formula:

$$N_i = 0.002\alpha Y_i \quad (13)$$

Donde:

$\alpha = 1,0$ (LRFD); $\alpha = 1,6$ (ASD)

N_i = Carga ficticia aplicada en el nivel i, kgf (N)

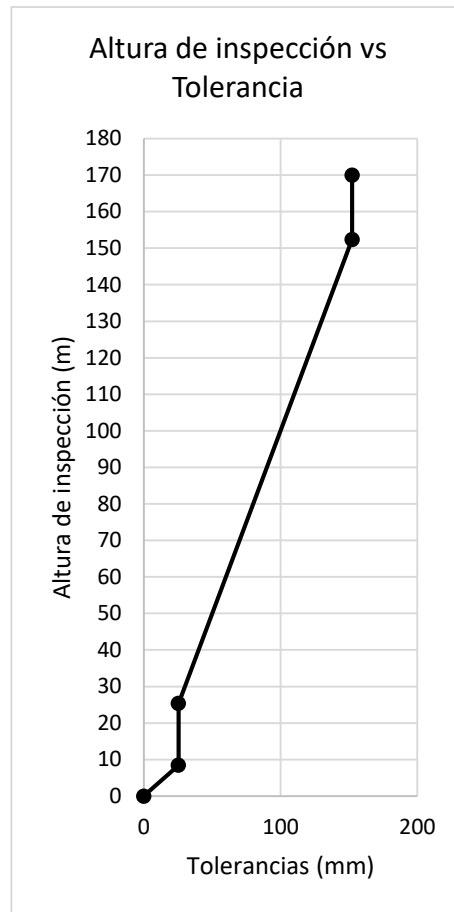
Y_i = Carga gravitacional aplicada en el nivel i de acuerdo con las combinaciones de carga LRFD o ASD, según corresponda, kgf (N).

El valor de 0.002 de la ecuación (13) es el desplome de las columnas, permitidas por el AISC. Por lo tanto, se requiere determinar el valor para estructuras de concreto armado. Debido a que el ACI – 117 tiene ciertos requerimientos dependientes a la altura de inspección se plante el supuesto que las tolerancias de entrepiso serán constantes con respecto a la altura del entrepiso (Δ_{toli}/h_i) del edificio, siendo dependiente solo de la altura total de la edificación, por esto conlleva a modificar la formula (13) remplazando el 0.002 por Ψ_{Tol} y suprimiendo la variable α debido a que el análisis está bajo la metodología LRFD teniendo como valor 1.0, por lo que la formula (13) se establece de la siguiente manera:

$$N_i = \Psi_{Tol} Y_i \quad (14)$$

Sabiendo que Ψ_{Tol} es dependiente de la altura total de la edificación y que las tolerancias son dependientes de la altura de inspección se asumirá que estas son iguales.

Gráfico 1 Variación de las tolerancias con respecto a la altura total de la estructura



Fuente: Elaboración propia

Del Gráfico 1 se observa que con la altura total de la edificación se conoce la máxima tolerancia y manteniendo el supuesto de las tolerancias relativas del entrepiso constantes se puede determinar el valor de Ψ_{Tol} :

$$h_t \leq 8.46 \rightarrow \Psi_{Tol} = 0.003 \quad (15)$$

$$8.46 < h_t \leq 25.4 \rightarrow \Psi_{Tol} = \frac{25.4}{h_t} \quad (16)$$

$$25.4 \leq h_t \leq 152.4 \rightarrow \Psi_{Tol} = 0.001 \quad (17)$$

$$h_t > 152.4 \rightarrow \Psi_{Tol} = \frac{152.4}{h_t} \quad (18)$$

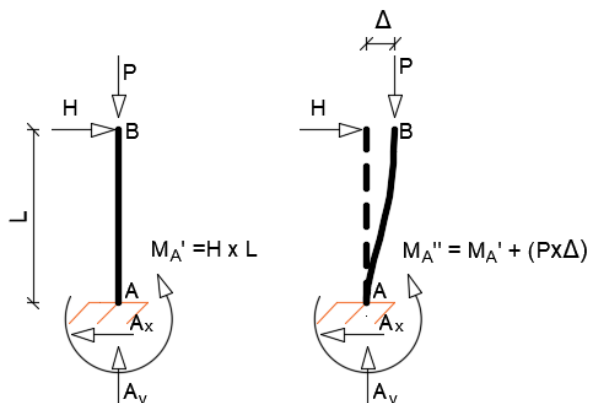
2.1.3. No linealidad geométrica

La frontera de un análisis estructural de primer orden consiste en obtener las fuerzas y desplazamientos bajo las solicitudes iniciales, pero ello no quiere decir que ese será el comportamiento real de la estructura debido a que las cargas por lo general están sostenidas en el tiempo generando otros desplazamientos debido a la interacción entre los desplazamientos originados por las solicitudes y las solicitudes mismas, a esto se le denomina efectos de segundo orden (P-Delta).

- **Metodología de aplicación de efectos de segundo orden**

Para representar los efectos de segundo orden hay que suponer que un elemento está sometido a una carga P y H como se muestra en la Figura 4 la carga H originará un desplazamiento Δ en el nudo B, el cual genera un momento adicional o de segundo orden en el nudo A debido a la carga P y el desplazamiento incrementado el desplazamiento, la operación se repite hasta que el desplazamiento en B sea constante. Este problema se puede resolver rápidamente debido a que la estructura antes planteada es isostática.

Figura 4 Efectos de segundo orden

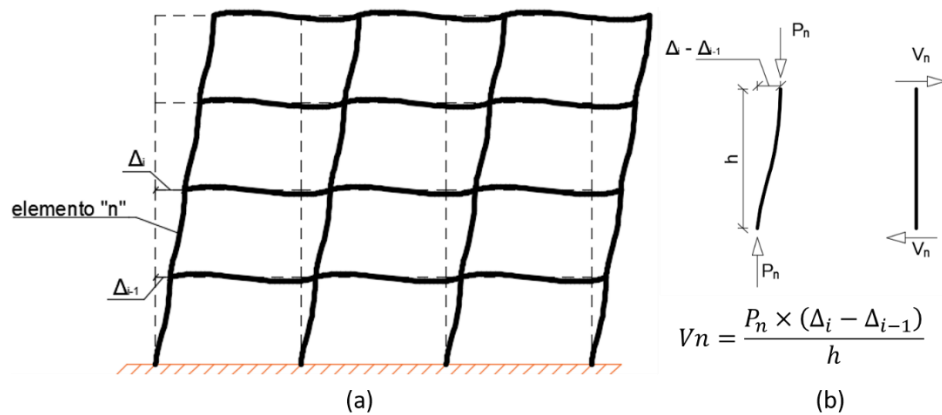


Fuente: Elaboración propia

El problema se complica cuando la estructura a analizar es hiperestática como la Figura 5 (a) debido a que el momento $P-\Delta$ no solo afectara un nudo sino a todo el elemento, para ello el momento es modelado mediante cargas equivalentes V_n en los extremos del

elemento “n” de la misma intensidad originando un momento par ($V_i \times L$) de igual magnitud al momento $P-\Delta$ como se muestra en la *Figura 5 (b)*.

Figura 5 Modelado del momento $P-\Delta$ mediante cargas equivalentes



Fuente: Elaboración propia

En el presente estudio las cargas equivalentes V_n también llamadas cortantes secundarias se aplicarán en todos los elementos del modelo y se considera los efectos de p-delta menor que consiste en subdividir los elementos en pequeños sub elementos para modelar un comportamiento aproximado a la realidad. Esta Metodología está incluida dentro de las funciones del Software ARE2015 utilizado en este estudio.

2.2. Modelo estructural

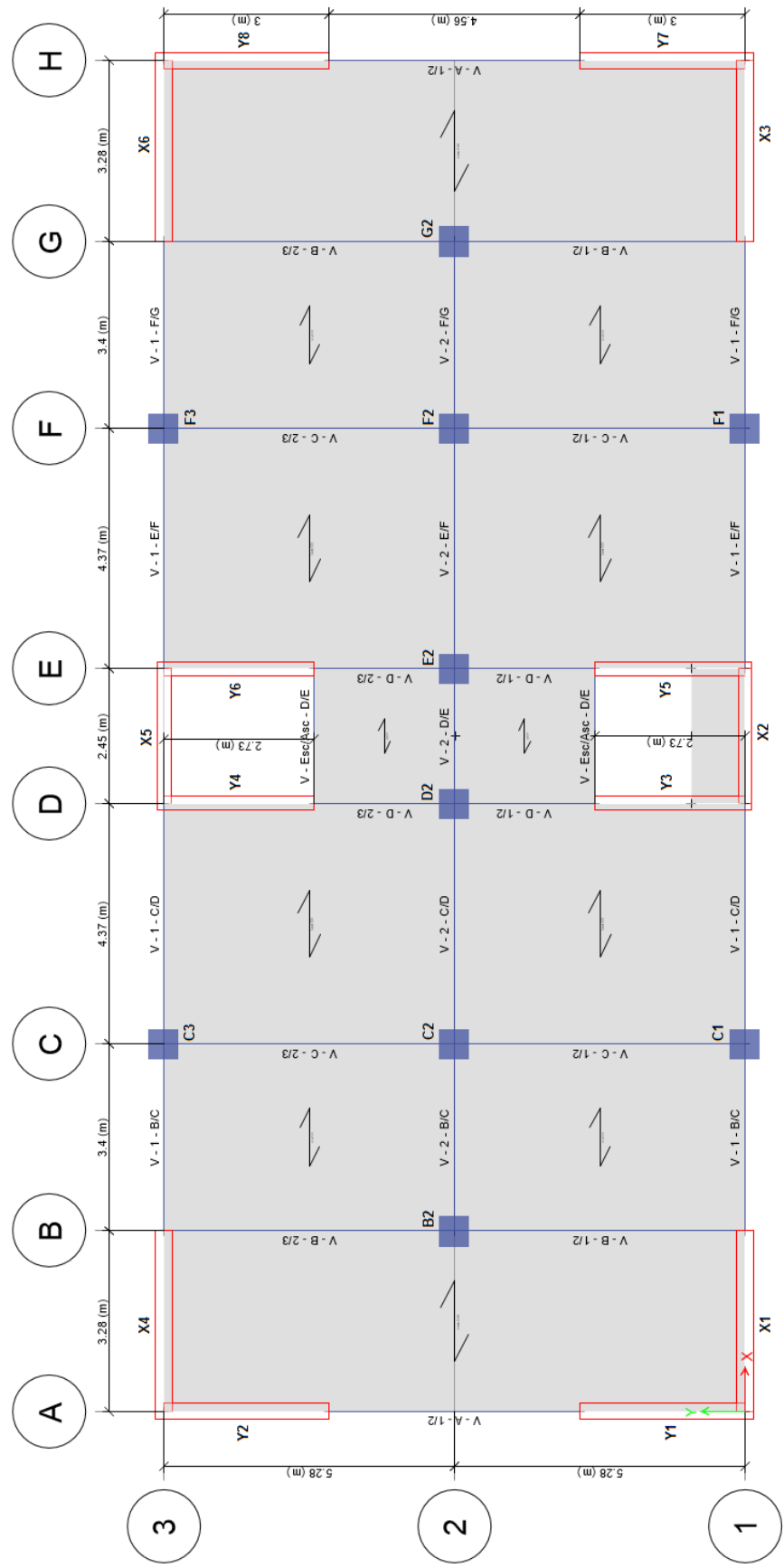
2.2.1. Estructuración

Se ha tomado una planta típica para todos los edificios, variando sus secciones, cantidad de pisos de 4, 6, 8 y 10 y variando su altura de entrepiso de 2.5, 2.7 y 3.0 metros para cada edificio.

Las dimensiones de la estructura son de 10.56 metros de ancho y 24.55 metros de largo de eje a eje.

La resistencia del concreto es de 210 kg/cm² para los edificios de 4 y 6 pisos. Para los edificios de 8 y 10 pisos se ha usado una resistencia del concreto de 280 kg/cm². Estas resistencias se han aplicado para vigas, columnas, losas y escaleras para cada edificio correspondiente.

Figura 6 Estructura de planta típica.



Fuente: Elaboración propia

- **Columnas**

Secciones de las columnas:

Tabla 2 Secciones de columnas

Edificio	Columna XY (cm)				
	B2 y G2	C1 y F1	C2 y F2	C3 y F3	D2 y E2
10 Pisos 3_0	55 x 55	55 x 55	55 x 55	55 x 55	55 x 55
10 Pisos 2_7	55 x 55	55 x 55	55 x 55	55 x 55	55 x 55
10 Pisos 2_5	55 x 55	55 x 55	55 x 55	55 x 55	55 x 55
8 Pisos 3_0	55 x 55	55 x 55	55 x 55	55 x 55	55 x 55
8 Pisos 2_7	55 x 55	55 x 55	55 x 55	55 x 55	55 x 55
8 Pisos 2_5	55 x 55	55 x 55	55 x 55	55 x 55	55 x 55
6 Pisos 3_0	50 x 50	50 x 50	50 x 50	50 x 50	50 x 50
6 Pisos 2_7	45 x 45	45 x 45	45 x 45	45 x 45	45 x 45
6 Pisos 2_5	40 x 40	40 x 40	40 x 40	40 x 40	40 x 40
4 Pisos 3_0	35 x 35	35 x 35	35 x 35	35 x 35	35 x 35
4 Pisos 2_7	30 x 30	30 x 30	30 x 30	30 x 30	30 x 30
4 Pisos 2_5	30 x 30	30 x 30	30 x 30	30 x 30	30 x 30

Fuente: Elaboración propia

- **Vigas**

Secciones de las vigas:

Edificio	Viga h x b (cm)													
	V -1 - B/C	V -1 - C/D	V -1 - E/F	V -1 - F/G	V -2 - B/C	V -2 - C/D	V -2 - D/E	V -2 - E/F	V -2 - F/G	V -A - 1/2	V -B - 1/2	V -C - 1/2	V -D - 2/3	V -D - 2/3
10 Pisos 3_0	50 x 25	50 x 25	50 x 25	50 x 25	50 x 25	50 x 25	50 x 25	50 x 25	50 x 25	70 x 30	60 x 30	60 x 30	50 x 25	50 x 25
10 Pisos 2_7	50 x 25	50 x 25	50 x 25	50 x 25	50 x 25	50 x 25	50 x 25	50 x 25	50 x 25	70 x 35	60 x 30	60 x 30	50 x 25	50 x 25
10 Pisos 2_5	50 x 25	50 x 25	50 x 25	50 x 25	50 x 25	50 x 25	50 x 25	50 x 25	50 x 25	75 x 35	60 x 30	60 x 30	50 x 25	50 x 25
8 Pisos 3_0	50 x 25	50 x 25	50 x 25	50 x 25	50 x 25	50 x 25	50 x 25	50 x 25	50 x 25	70 x 35	60 x 30	60 x 30	50 x 25	50 x 25
8 Pisos 2_7	50 x 25	50 x 25	50 x 25	50 x 25	50 x 25	50 x 25	50 x 25	50 x 25	50 x 25	75 x 35	60 x 30	60 x 30	50 x 25	50 x 25
8 Pisos 2_5	50 x 25	50 x 25	50 x 25	50 x 25	50 x 25	50 x 25	50 x 25	50 x 25	50 x 25	75 x 35	60 x 30	60 x 30	50 x 25	50 x 25
6 Pisos 3_0	50 x 30	50 x 30	50 x 30	50 x 30	50 x 30	50 x 30	50 x 30	50 x 30	50 x 30	70 x 30	60 x 30	60 x 30	60 x 30	60 x 30
6 Pisos 2_7	50 x 30	50 x 30	50 x 30	50 x 30	50 x 30	50 x 30	50 x 30	50 x 30	50 x 30	70 x 30	60 x 30	60 x 30	60 x 30	60 x 30
6 Pisos 2_5	45 x 25	45 x 25	45 x 25	45 x 25	45 x 25	45 x 25	45 x 25	45 x 25	45 x 25	55 x 30	50 x 30	50 x 30	50 x 30	50 x 30
4 Pisos 3_0	40 x 25	40 x 25	40 x 25	40 x 25	40 x 25	40 x 25	40 x 25	40 x 25	40 x 25	50 x 25	45 x 25	45 x 25	45 x 25	45 x 25
4 Pisos 2_7	40 x 25	40 x 25	40 x 25	40 x 25	40 x 25	40 x 25	40 x 25	40 x 25	40 x 25	40 x 25	45 x 25	45 x 25	30 x 25	50 x 25
4 Pisos 2_5	40 x 25	40 x 25	40 x 25	40 x 25	40 x 25	40 x 25	40 x 25	40 x 25	40 x 25	40 x 25	45 x 25	45 x 25	30 x 25	50 x 25

Tabla 3 Secciones de vigas

Fuente: Elaboración propia

- **Muros**

Espesor de muros:

Tabla 4 Espesor de muros

Edificio	MURO (cm)													
	X1	X2	X3	X4	X5	X6	Y1	Y2	Y3	Y4	Y5	Y6	Y7	Y8
10 Pisos 3_0	30	25	30	30	25	30	30	30	25	25	25	25	30	30
10 Pisos 2_7	30	25	30	30	25	30	35	35	25	25	25	25	35	35
10 Pisos 2_5	30	25	30	30	25	30	35	35	25	25	25	25	35	35
8 Pisos 3_0	30	25	30	30	25	30	35	35	25	25	25	25	35	35
8 Pisos 2_7	30	25	30	30	25	30	35	35	25	25	25	25	35	35
8 Pisos 2_5	35	25	35	35	25	35	35	35	25	25	25	25	35	35
6 Pisos 3_0	30	30	30	30	30	30	30	30	30	30	30	30	30	30
6 Pisos 2_7	30	30	30	30	30	30	30	30	30	30	30	30	30	30
6 Pisos 2_5	30	30	30	30	30	30	30	30	30	30	30	30	30	30
4 Pisos 3_0	25	25	25	25	25	25	25	25	25	25	25	25	25	25
4 Pisos 2_7	25	25	25	25	25	25	25	25	25	25	25	25	25	25
4 Pisos 2_5	25	25	25	25	25	25	25	25	25	25	25	25	25	25

Fuente: Elaboración propia

- **Losa y escalera**

El espesor de la losa y la garganta de la escalera son de 20 cm y 18 cm respectivamente, estas dimensiones serán constante en todos los edificios y niveles.

2.2.2. Cargas

A continuación se describe las cargas que componen las combinaciones de resistencia, estas cargas están definidas de acuerdo a las normas técnicas del RNE E.0.20 y E.0.30.

- **Cargas Permanentes (CM)**

Peso Específico del Concreto armado: 2400 kg/m³

Losa Aligerada: 300 kg/m²

Acabado de Losa: 100 kg/m²

Tabiquería: 270 kg/m²

Nota: Las cargas pertenecientes a los acabados de losa y tabiquería serán excluidas del techo de la azotea.

- **Carga Viva (CV)**

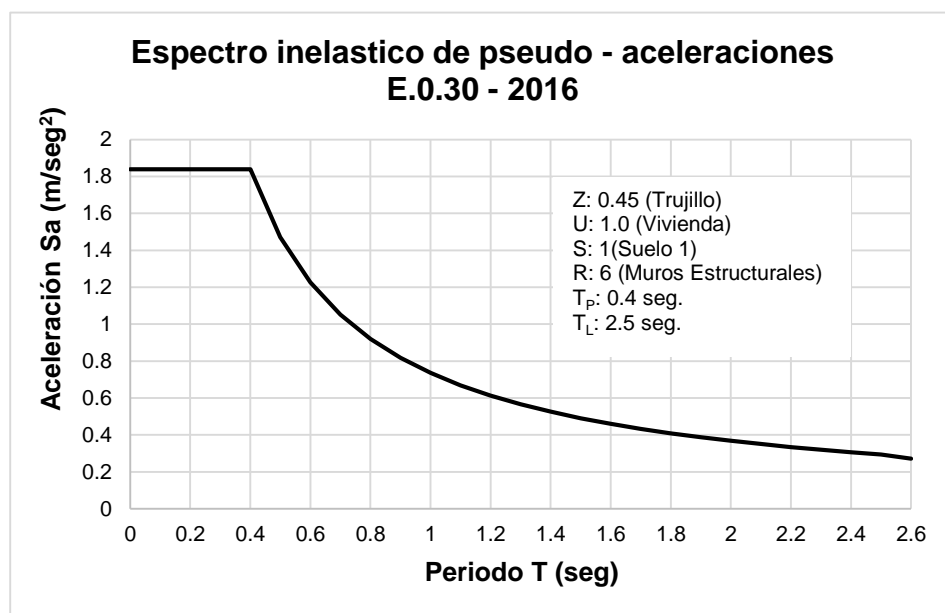
Sobrecarga de Piso Típico: 200 kg/m²

Sobrecarga de Azotea: 100 kg/m²

- **Cargas Sísmicas (CS)**

La Norma Técnica de Diseño Sismorresistente establece que para determinar las cargas sísmicas se requiere el uso de la pseudo-aceleración espectral que es dependiente de la ubicación de la edificación (Z), el uso que tendrá (U), características mecánicas del suelo (S , T_P y T_L), el sistema estructural (R) y el factor de amplificación sísmica (C) que está en función de las respuestas modales de las edificaciones, para obtener estas se requiere hacer un análisis modal de las estructuras que son dependientes de sus masas y sus rigideces.

Gráfico 2 Espectro inelástico de pseudo - aceleraciones E.0.30 – 2016



Fuente: NTP E.0.30 (2016)

2.2.3. Combinaciones de resistencias requeridas

- **Para el diseño de primer orden:**

Comb1: 1.4 CM + 1.7 CV

Comb2: 1.25 CM + 1.25 CV + 1.0 CSX

Comb2-1: 1.25 CM + 1.25 CV – 1.0 CSX

Comb2-2: 1.25 CM + 1.25 CV + 1.0 CSY

Comb2-3: 1.25 CM + 1.25 CV – 1.0 CSY

Comb3: 0.9 CM + 1.0 CSX

Comb3-1: 0.9 CM – 1.0 CSX

Comb3-2: 0.9 CM + 1.0 CSY

Comb3-3: 0.9 CM – 1.0 CSY

- **Para el análisis incluyendo la rigidez efectiva, la no-linealidad geométrica y las imperfecciones iniciales.**

Estas combinaciones de resistencias requeridas están basadas en las combinaciones de la Norma Técnica E.0.60 añadiendo Las cargas nociónes en todas aquellas combinaciones donde no intervengan cargas laterales.

Comb1: 1.4 CM + 1.7 CV + 1.4 CNX-CM + 1.7 CNX-CV

Comb1-1: 1.4 CM + 1.7 CV - 1.4 CNX-CM - 1.7 CNX-CV

Comb1-2: 1.4 CM + 1.7 CV + 1.4 CNY-CM + 1.7 CNY-CV

Comb1-3: 1.4 CM + 1.7 CV - 1.4 CNY-CM - 1.7 CNY-CV

Comb2: 1.25 CM + 1.25 CV + 1.0 CSX

Comb2-1: 1.25 CM + 1.25 CV – 1.0 CSX

Comb2-2: 1.25 CM + 1.25 CV + 1.0 CSY

Comb2-3: 1.25 CM + 1.25 CV – 1.0 CSY

Comb3: 0.9 CM + 1.0 CSX

Comb3-1: 0.9 CM – 1.0 CSX

Comb3-2: 0.9 CM + 1.0 CSY

Comb3-3: 0.9 CM – 1.0 CSY

2.2.4. Diseño de Vigas y Muros

Sección	Áreas de acero de vigas (cm^2)											
	4 Pisos 3_0						4 Pisos 2_7					
	Superior			Inferior			Superior			Inferior		
	Izq.	Med.	Der.	Izq.	Med.	Der.	Izq.	Med.	Der.	Izq.	Med.	Der.
V - 1 - B/C	2.53	2.53	2.53	2.53	2.53	2.53	2.53	2.53	2.53	2.53	2.53	2.53
V - 1 - C/D	2.53	2.53	2.53	2.53	2.53	2.53	2.53	2.53	2.53	2.53	2.53	2.53
V - 1 - E/F	2.53	2.53	2.53	2.53	2.53	2.53	2.53	2.53	2.53	2.53	2.53	2.53
V - 1 - F/G	2.53	2.53	2.53	2.53	2.53	2.53	2.53	2.53	2.53	2.53	2.53	2.53
V - 2 - B/C	2.53	2.53	2.53	2.53	2.53	2.53	2.53	2.53	2.53	2.53	2.53	2.53
V - 2 - C/D	2.53	2.53	2.53	2.53	2.53	2.53	2.53	2.53	2.53	2.53	2.53	2.53
V - 2 - D/E	2.53	2.53	2.53	2.53	2.53	2.53	2.53	2.53	2.53	2.53	2.53	2.53
V - 2 - E/F	2.53	2.53	2.53	2.53	2.53	2.53	2.53	2.53	2.53	2.53	2.53	2.53
V - 2 - F/G	2.53	2.53	2.53	2.53	2.53	2.53	2.53	2.53	2.53	2.53	2.53	2.53
V - A - 1/2	3.96	3.96	3.96	3.96	3.96	3.96	3.96	3.96	3.96	3.96	3.96	3.96
V - B - 1/2	5.23	5.23	7.76	5.23	5.23	7.76	3.96	5.23	7.76	3.96	5.23	7.76
V - B - 2/3	7.76	5.23	3.96	5.23	3.96	7.76	5.23	3.96	7.76	5.23	3.96	7.76
V - C - 1/2	5.94	3.96	9.66	5.23	3.96	9.66	5.23	3.96	9.66	5.23	3.96	9.66
V - C - 2/3	9.66	5.94	3.96	5.23	9.66	5.94	3.96	5.23	9.66	5.94	3.96	9.66
V - D - 1/2	3.96	3.96	3.96	5.23	3.96	3.96	5.23	3.96	3.96	5.23	3.96	3.96
V - D - 2/3	3.96	3.96	3.96	5.23	3.96	3.96	5.23	3.96	3.96	5.23	3.96	3.96
V - Es/As - D/E	3.96	3.96	3.96	3.96	3.96	3.96	3.96	3.96	3.96	3.96	3.96	3.96

Tabla 5 Áreas de acero de vigas de los edificios de 4 y 6 pisos

Fuente: Elaboración propia

Sección	Áreas de acero de vigas (cm^2)												10 Pisos 2_5																			
	8 Pisos 3_0						8 Pisos 2_7						8 Pisos 2_5						10 Pisos 3_0						10 Pisos 2_7							
	Superior			Inferior			Superior			Inferior			Superior			Inferior			Superior			Inferior			Superior			Inferior				
	Izq.	Med.	Der.	Izq.	Med.	Der.	Izq.	Med.	Der.	Izq.	Med.	Der.	Izq.	Med.	Der.	Izq.	Med.	Der.	Izq.	Med.	Der.	Izq.	Med.	Der.	Izq.	Med.	Der.					
V - 1 - B/C	5.94	3.96	3.96	5.94	5.94	5.94	3.96	3.96	3.96	5.94	5.94	5.94	7.76	7.76	6.49	6.49	6.49	6.49	3.96	3.96	3.96	3.96	3.96	3.96	3.96	3.96	3.96	3.96	3.96			
V - 1 - C/D	3.96	3.96	3.96	5.23	5.23	5.23	3.96	3.96	3.96	3.96	3.96	3.96	3.96	3.96	3.96	5.23	5.23	5.23	5.23	6.49	6.49	6.49	6.49	6.49	6.49	6.49	6.49	6.49	6.49	6.49		
V - 1 - E/F	5.23	3.96	3.96	3.96	3.96	5.23	3.96	3.96	3.96	3.96	3.96	3.96	3.96	3.96	3.96	5.23	5.23	5.23	5.23	6.49	6.49	6.49	6.49	6.49	6.49	6.49	6.49	6.49	6.49	6.49		
V - 1 - F/G	3.96	5.94	5.94	3.96	3.96	5.94	5.94	5.94	5.94	3.96	3.96	3.96	3.96	3.96	3.96	7.76	7.76	7.76	7.76	3.96	3.96	3.96	3.96	3.96	3.96	3.96	3.96	3.96	3.96	3.96		
V - 2 - B/C	3.96	3.96	3.96	3.96	3.96	3.96	3.96	3.96	3.96	3.96	3.96	3.96	3.96	3.96	3.96	3.96	3.96	3.96	3.96	3.96	3.96	3.96	3.96	3.96	3.96	3.96	3.96	3.96	3.96	3.96		
V - 2 - C/D	3.96	3.96	5.23	3.96	3.96	3.96	5.23	5.23	3.96	3.96	3.96	3.96	3.96	3.96	3.96	5.94	5.94	5.94	5.94	5.94	5.94	5.94	5.94	5.94	5.94	5.94	5.94	5.94	5.94	5.94	5.94	5.94
V - 2 - D/E	3.96	3.96	3.96	3.96	3.96	3.96	3.96	3.96	3.96	3.96	3.96	3.96	3.96	3.96	3.96	3.96	3.96	3.96	3.96	3.96	3.96	3.96	3.96	3.96	3.96	3.96	3.96	3.96	3.96	3.96	3.96	3.96
V - 2 - E/F	5.23	3.96	3.96	3.96	3.96	5.23	5.23	3.96	3.96	3.96	3.96	3.96	3.96	3.96	3.96	5.94	5.94	5.94	5.94	5.94	5.94	5.94	5.94	5.94	5.94	5.94	5.94	5.94	5.94	5.94	5.94	5.94
V - 2 - F/G	3.96	3.96	3.96	3.96	3.96	3.96	3.96	3.96	3.96	3.96	3.96	3.96	3.96	3.96	3.96	3.96	3.96	3.96	3.96	3.96	3.96	3.96	3.96	3.96	3.96	3.96	3.96	3.96	3.96	3.96	3.96	3.96
V - A - 1/2	7.76	7.76	5.94	5.94	6.49	6.49	6.49	6.49	6.49	6.49	6.49	6.49	6.49	6.49	6.49	7.76	7.76	7.76	7.76	5.94	5.94	5.94	5.94	5.94	5.94	5.94	5.94	5.94	5.94	5.94		
V - B - 1/2	5.23	5.23	5.94	5.23	5.23	5.23	5.23	5.23	5.23	5.23	5.23	5.23	5.23	5.23	5.23	6.49	5.23	5.23	5.23	5.23	5.94	5.94	5.94	5.94	5.94	5.94	5.94	5.94	5.94	5.94	5.94	
V - B - 2/3	5.84	5.23	5.23	5.23	5.23	5.23	5.23	5.23	5.23	5.23	5.23	5.23	5.23	5.23	5.23	6.49	5.23	5.23	5.23	5.23	5.94	5.94	5.94	5.94	5.94	5.94	5.94	5.94	5.94	5.94	5.94	
V - C - 1/2	7.92	5.94	5.94	5.23	5.23	5.23	5.23	5.23	5.23	5.23	5.23	5.23	5.23	5.23	5.23	5.94	5.94	5.94	5.94	5.94	5.94	5.94	5.94	5.94	5.94	5.94	5.94	5.94	5.94	5.94	5.94	5.94
V - C - 2/3	5.84	5.94	7.92	5.23	5.23	5.94	5.94	5.94	5.94	7.92	5.23	5.23	5.23	5.23	5.23	5.94	5.94	5.94	5.94	5.94	5.94	5.94	5.94	5.94	5.94	5.94	5.94	5.94	5.94	5.94	5.94	5.94
V - D - 1/2	7.76	5.23	3.96	6.49	6.49	5.23	3.96	5.23	3.96	5.23	3.96	5.23	3.96	5.23	3.96	7.76	7.76	7.76	7.76	3.96	3.96	3.96	3.96	3.96	3.96	3.96	3.96	3.96	3.96	3.96		
V - D - 2/3	5.23	5.23	7.76	5.94	3.96	3.96	3.96	3.96	3.96	3.96	5.23	5.23	5.23	5.23	5.23	6.49	5.23	5.23	5.23	5.23	5.94	5.94	5.94	5.94	5.94	5.94	5.94	5.94	5.94	5.94	5.94	
V - Es/As - D/E	3.96	3.96	3.96	3.96	3.96	3.96	3.96	3.96	3.96	3.96	3.96	3.96	3.96	3.96	3.96	3.96	3.96	3.96	3.96	3.96	3.96	3.96	3.96	3.96	3.96	3.96	3.96	3.96	3.96	3.96	3.96	3.96

Tabla 6 Áreas de acero de vigas de los edificios de 8 y 10 pisos

Fuente: Elaboración propia

Tabla 7 Cuantía de acero longitudinal de los muros X1 y Y1 según el piso

Edificio	Cuantía de acero longitudinal en muros									
	Muro: X1 y Y1									
	Piso 1	Piso 2	Piso 3	Piso 4	Piso 5	Piso 6	Piso 7	Piso 8	Piso 9	Piso 10
10 Pisos 3_0	0.0084	0.0084	0.0033	0.0033	0.0033	0.0033	0.0033	0.0033	0.0033	0.0033
10 Pisos 2_7	0.0084	0.0084	0.0033	0.0033	0.0033	0.0033	0.0033	0.0033	0.0033	0.0033
10 Pisos 2_5	0.0084	0.0084	0.0033	0.0033	0.0033	0.0033	0.0033	0.0033	0.0033	0.0033
8 Pisos 3_0	0.0084	0.0084	0.0033	0.0033	0.0033	0.0033	0.0033	0.0033	0.0033	
8 Pisos 2_7	0.0084	0.0084	0.0033	0.0033	0.0033	0.0033	0.0033	0.0033	0.0033	
8 Pisos 2_5	0.0079	0.0079	0.0029	0.0029	0.0029	0.0029	0.0029	0.0029	0.0029	
6 Pisos 3_0	0.0059	0.0059	0.0033	0.0033	0.0033	0.0033				
6 Pisos 2_7	0.0059	0.0059	0.0033	0.0033	0.0033	0.0033				
6 Pisos 2_5	0.0059	0.0033	0.0033	0.0033	0.0033	0.0033				
4 Pisos 3_0	0.0040	0.0040	0.0040	0.0040						
4 Pisos 2_7	0.0040	0.0040	0.0040	0.0040						
4 Pisos 2_5	0.0040	0.0040	0.0040	0.0040						

Fuente: Elaboración propia

Tabla 8 Cuantía de acero longitudinal de los muros X4 y Y2 según el piso

Edificio	Cuantía de acero longitudinal en muros									
	Muro: X4 y Y2									
	Piso 1	Piso 2	Piso 3	Piso 4	Piso 5	Piso 6	Piso 7	Piso 8	Piso 9	Piso 10
10 Pisos 3_0	0.0084	0.0084	0.0033	0.0033	0.0033	0.0033	0.0033	0.0033	0.0033	0.0033
10 Pisos 2_7	0.0084	0.0084	0.0033	0.0033	0.0033	0.0033	0.0033	0.0033	0.0033	0.0033
10 Pisos 2_5	0.0084	0.0084	0.0033	0.0033	0.0033	0.0033	0.0033	0.0033	0.0033	0.0033
8 Pisos 3_0	0.0084	0.0084	0.0033	0.0033	0.0033	0.0033	0.0033	0.0033	0.0033	
8 Pisos 2_7	0.0084	0.0084	0.0033	0.0033	0.0033	0.0033	0.0033	0.0033	0.0033	
8 Pisos 2_5	0.0079	0.0079	0.0029	0.0029	0.0029	0.0029	0.0029	0.0029	0.0029	
6 Pisos 3_0	0.0059	0.0059	0.0033	0.0033	0.0033	0.0033				
6 Pisos 2_7	0.0059	0.0059	0.0033	0.0033	0.0033	0.0033				
6 Pisos 2_5	0.0059	0.0033	0.0033	0.0033	0.0033	0.0033				
4 Pisos 3_0	0.0040	0.0040	0.0040	0.0040						
4 Pisos 2_7	0.0040	0.0040	0.0040	0.0040						
4 Pisos 2_5	0.0040	0.0040	0.0040	0.0040						

Fuente: Elaboración propia

Tabla 9 Cuantía de acero longitudinal de los muros X2 y Y5 según el piso

Edificio	Cuantía de acero longitudinal en muros									
	Muro: X2, Y3 y Y5									
	Piso 1	Piso 2	Piso 3	Piso 4	Piso 5	Piso 6	Piso 7	Piso 8	Piso 9	Piso 10
10 Pisos 3_0	0.0057	0.0040	0.0040	0.0040	0.0040	0.0040	0.0040	0.0040	0.0040	0.0040
10 Pisos 2_7	0.0057	0.0040	0.0040	0.0040	0.0040	0.0040	0.0040	0.0040	0.0040	0.0040
10 Pisos 2_5	0.0057	0.0040	0.0040	0.0040	0.0040	0.0040	0.0040	0.0040	0.0040	0.0040
8 Pisos 3_0	0.0057	0.0040	0.0040	0.0040	0.0040	0.0040	0.0040	0.0040	0.0040	
8 Pisos 2_7	0.0057	0.0040	0.0040	0.0040	0.0040	0.0040	0.0040	0.0040	0.0040	
8 Pisos 2_5	0.0057	0.0040	0.0040	0.0040	0.0040	0.0040	0.0040	0.0040	0.0040	
6 Pisos 3_0	0.0059	0.0033	0.0033	0.0033	0.0033	0.0033				
6 Pisos 2_7	0.0059	0.0033	0.0033	0.0033	0.0033	0.0033				
6 Pisos 2_5	0.0059	0.0033	0.0033	0.0033	0.0033	0.0033				
4 Pisos 3_0	0.0040	0.0040	0.0040	0.0040						
4 Pisos 2_7	0.0040	0.0040	0.0040	0.0040						
4 Pisos 2_5	0.0040	0.0040	0.0040	0.0040						

Fuente: Elaboración propia

Tabla 10 Cuantía de acero longitudinal de los muros X5, Y4 y Y6 según el piso

Edificio	Cuantía de acero longitudinal en muros									
	Muro: X5, Y4 y Y6									
	Piso 1	Piso 2	Piso 3	Piso 4	Piso 5	Piso 6	Piso 7	Piso 8	Piso 9	Piso 10
10 Pisos 3_0	0.0057	0.0040	0.0040	0.0040	0.0040	0.0040	0.0040	0.0040	0.0040	0.0040
10 Pisos 2_7	0.0057	0.0040	0.0040	0.0040	0.0040	0.0040	0.0040	0.0040	0.0040	0.0040
10 Pisos 2_5	0.0057	0.0040	0.0040	0.0040	0.0040	0.0040	0.0040	0.0040	0.0040	0.0040
8 Pisos 3_0	0.0057	0.0040	0.0040	0.0040	0.0040	0.0040	0.0040	0.0040	0.0040	
8 Pisos 2_7	0.0057	0.0040	0.0040	0.0040	0.0040	0.0040	0.0040	0.0040	0.0040	
8 Pisos 2_5	0.0057	0.0040	0.0040	0.0040	0.0040	0.0040	0.0040	0.0040	0.0040	
6 Pisos 3_0	0.0059	0.0033	0.0033	0.0033	0.0033	0.0033				
6 Pisos 2_7	0.0059	0.0033	0.0033	0.0033	0.0033	0.0033				
6 Pisos 2_5	0.0059	0.0033	0.0033	0.0033	0.0033	0.0033				
4 Pisos 3_0	0.0040	0.0040	0.0040	0.0040						
4 Pisos 2_7	0.0040	0.0040	0.0040	0.0040						
4 Pisos 2_5	0.0040	0.0040	0.0040	0.0040						

Fuente: Elaboración propia

Tabla 11 Cuantía de acero longitudinal de los muros X3 y Y7 según el piso

Edificio	Cuantía de acero longitudinal en muros									
	Muro: X3 y Y7									
	Piso 1	Piso 2	Piso 3	Piso 4	Piso 5	Piso 6	Piso 7	Piso 8	Piso 9	Piso 10
10 Pisos 3_0	0.0084	0.0084	0.0033	0.0033	0.0033	0.0033	0.0033	0.0033	0.0033	0.0033
10 Pisos 2_7	0.0084	0.0084	0.0033	0.0033	0.0033	0.0033	0.0033	0.0033	0.0033	0.0033
10 Pisos 2_5	0.0084	0.0084	0.0033	0.0033	0.0033	0.0033	0.0033	0.0033	0.0033	0.0033
8 Pisos 3_0	0.0084	0.0084	0.0033	0.0033	0.0033	0.0033	0.0033	0.0033		
8 Pisos 2_7	0.0084	0.0084	0.0033	0.0033	0.0033	0.0033	0.0033	0.0033		
8 Pisos 2_5	0.0079	0.0079	0.0029	0.0029	0.0029	0.0029	0.0029	0.0029		
6 Pisos 3_0	0.0059	0.0059	0.0033	0.0033	0.0033	0.0033				
6 Pisos 2_7	0.0059	0.0059	0.0033	0.0033	0.0033	0.0033				
6 Pisos 2_5	0.0059	0.0033	0.0033	0.0033	0.0033	0.0033				
4 Pisos 3_0	0.0040	0.0040	0.0040	0.0040						
4 Pisos 2_7	0.0040	0.0040	0.0040	0.0040						
4 Pisos 2_5	0.0040	0.0040	0.0040	0.0040						

Fuente: Elaboración propia

Tabla 12 Cuantía de acero longitudinal de los muros X6 y Y8 según el piso

Edificio	Cuantía de acero longitudinal en muros									
	Muro: X6 y Y8									
	Piso 1	Piso 2	Piso 3	Piso 4	Piso 5	Piso 6	Piso 7	Piso 8	Piso 9	Piso 10
10 Pisos 3_0	0.0084	0.0084	0.0033	0.0033	0.0033	0.0033	0.0033	0.0033	0.0033	0.0033
10 Pisos 2_7	0.0084	0.0084	0.0033	0.0033	0.0033	0.0033	0.0033	0.0033	0.0033	0.0033
10 Pisos 2_5	0.0084	0.0084	0.0033	0.0033	0.0033	0.0033	0.0033	0.0033	0.0033	0.0033
8 Pisos 3_0	0.0084	0.0084	0.0033	0.0033	0.0033	0.0033	0.0033	0.0033		
8 Pisos 2_7	0.0084	0.0084	0.0033	0.0033	0.0033	0.0033	0.0033	0.0033		
8 Pisos 2_5	0.0079	0.0079	0.0029	0.0029	0.0029	0.0029	0.0029	0.0029		
6 Pisos 3_0	0.0059	0.0059	0.0033	0.0033	0.0033	0.0033				
6 Pisos 2_7	0.0059	0.0059	0.0033	0.0033	0.0033	0.0033				
6 Pisos 2_5	0.0059	0.0033	0.0033	0.0033	0.0033	0.0033				
4 Pisos 3_0	0.0040	0.0040	0.0040	0.0040						
4 Pisos 2_7	0.0040	0.0040	0.0040	0.0040						
4 Pisos 2_5	0.0040	0.0040	0.0040	0.0040						

Fuente: Elaboración propia

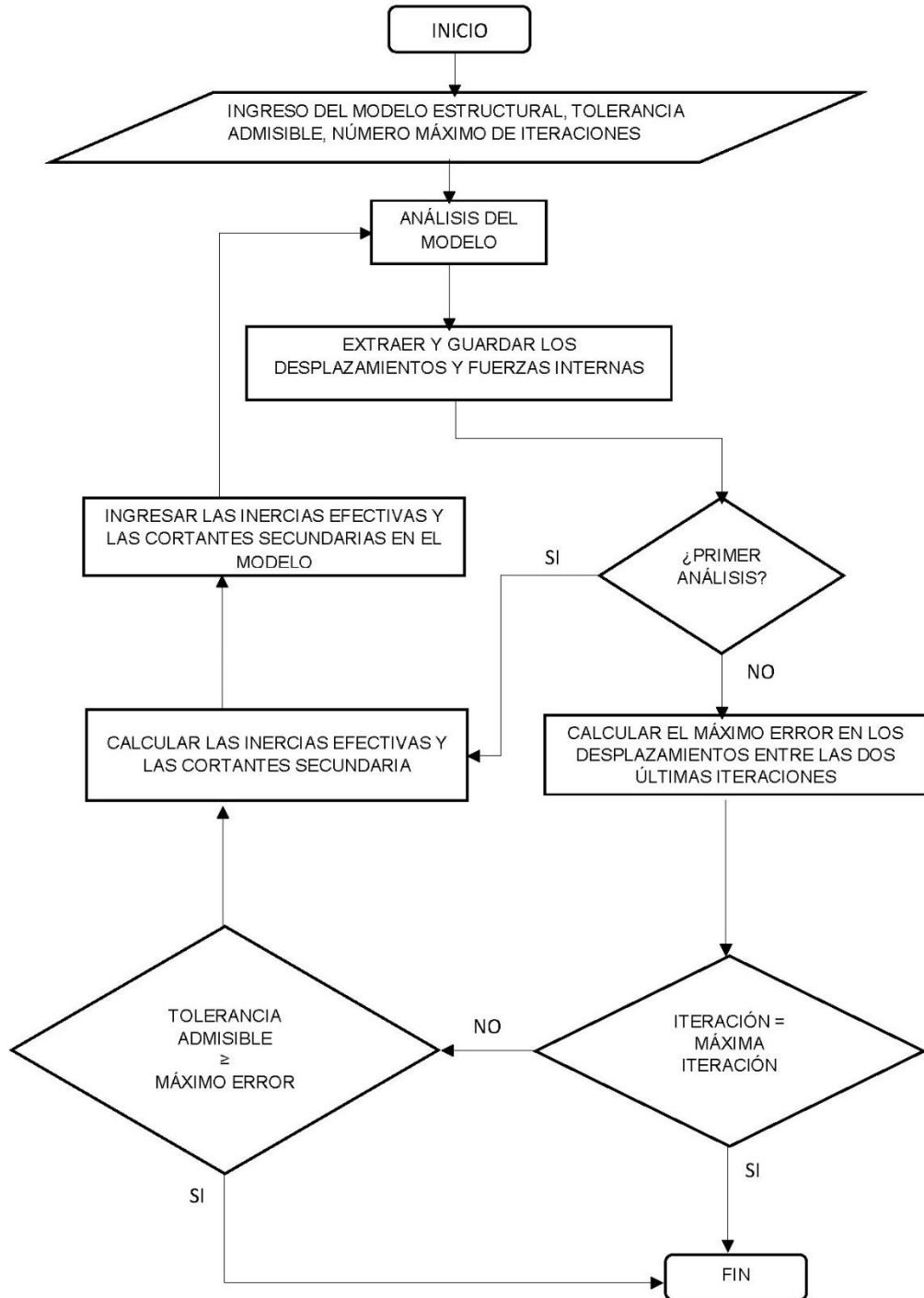
2.3. Software ARE2015

Debido al gran número de procesos matemáticos, se consideró crear un software que realice todos los procesos iterativos para reducir esfuerzo humano y reducir los errores que se presentarían en un proceso manual.

Este software considera la rigidez efectiva y la no linealidad geométrica considerando lo planteado en la sección de fundamentación teórica. Debido a que el presente estudio analiza estructuras hiperestáticas, encontrar la solución

exacta consume gran cantidad de recurso informático por ello el programa está controlado por el número máximo de iteraciones y toleración para este estudio el valor de la tolerancia fue de 0.05 mm. A continuación se muestra un flujograma del proceso del programa ARE2015.

Figura 7 Diagrama de flujo de ARE2015



Fuente: Elaboración propia

En el Anexo A se presenta el código y el diseño de ARE2015.

2.4. Material y métodos

2.4.1. Población

Comportamiento de edificios de concreto armado.

2.4.2. Muestra

Población muestral.

2.4.3. Unidad de Análisis

El comportamiento estructural del edificio a analizar.

2.4.4. Metodología

Método inductivo.

2.4.5. Técnicas e instrumentos de recolección de datos

Análisis estructural de segundo orden: Es una metodología que toma en cuenta los desplazamientos que varían a lo largo del tiempo.

2.4.6. Técnicas de procesamiento y análisis de datos

Se usarán cuadros comparativos para ver las diferencias existentes entre ambas metodologías.

2.4.7. Variables y definición operacional

A. Variables.

- **Variable Dependiente:** Las resistencias requeridas
- **Variable Independiente:** La altura del edificio

B. Definición Operacional.

Variable	Definición conceptual.	Definición operacional	Indicadores	Instrumentos
Las resistencias requeridas	Resistencia que un elemento o una sección transversal debe tener para resistir las cargas amplificadas o los momentos y fuerzas internas correspondientes. N.T.E. E.060	Fuerzas internas que se presentarán en la estructura ante un evento calculado probabilísticamente	Fuerzas internas	Cuadros estadísticos.

CAPÍTULO III

RESULTADOS

Estos Resultados son provenientes de los análisis de primer orden (lineales elásticos) considerando las secciones nominales de los elementos estructurales dependiendo de la altura de los entrepisos y el número de pisos de acuerdo a la *Tabla 2*, *Tabla 3* y *Tabla 4* de la estructura propuesta en la *Figura 6*, de los cuales se obtuvieron las fuerzas, desplazamientos, periodos, cortantes basales y derivas. Estos datos sirvieron para dimensionar el refuerzo de los elementos estructurales y con ellos realizar el Análisis ERNI con el software ARE2015 obteniendo nuevos resultados.

Estos resultados se encuentran en los anexos por la gran cantidad de tablas de resultados por ello se presentará solo una tabla por cada grupo de resultados y tipo de elemento (Columna, Viga y Muro).

3.1. Resultados de los comportamientos sísmicos de las estructuras

Este grupo de resultados está conformado por los periodos los cuales tienen un 70% como mínimo de la masa participativa, las cortantes basales dinámicas (VX o VY), las derivas máximas (Δ Máx.) y el máximo desplazamiento, estos resultados son extraídos de cada iteración, combinación de resistencias requeridas y estructura para las direcciones “X” y “Y”. A continuación se muestra la tabla de resultados de la estructura de 4 pisos con altura de entrepiso de 2.5 metros:

Tabla 13 Comportamiento sísmico de la estructura

4 Pisos 2_5									
Combo	Iteración	Dirección X				Dirección Y			
		Periodo (Seg)	VX (Tonf)	Δ Máx.	Desp. Máx. (cm)	Periodo (Seg)	VY (Tonf)	Δ Máx.	Desp. Máx. (cm)
Comb 2	1	0.174	154.65	0.00023	0.2163	0.184	6.94	0.00004	0.0809
	2	0.184	151.55	0.00027	0.2435	0.192	8.65	0.00004	0.2099
	3	0.186	150.97	0.00027	0.2478	0.192	9.43	0.00004	0.2126
	4	0.186	150.96	0.00027	0.2473	0.192	9.32	0.00004	0.2125
	1	0.174	154.65	0.00023	0.2175	0.184	6.94	0.00003	0.0785
	2	0.184	151.63	0.00027	0.2449	0.192	7.15	0.00003	0.2072
	3	0.186	151.09	0.00028	0.2495	0.192	7.01	0.00003	0.2096
	4	0.186	151.07	0.00028	0.2490	0.192	7.10	0.00003	0.2096
	1	0.174	154.65	0.00023	0.2166	0.184	6.94	0.00004	0.0470
	2	0.182	152.45	0.00026	0.2384	0.192	8.24	0.00004	0.1215
Comb 3	3	0.183	151.96	0.00027	0.2423	0.192	8.64	0.00004	0.1229
	4	0.183	151.93	0.00027	0.2422	0.192	8.55	0.00004	0.1229
	1	0.174	154.65	0.00023	0.2173	0.184	6.94	0.00003	0.0446
	2	0.182	152.52	0.00026	0.2393	0.192	6.84	0.00003	0.1189
	3	0.183	152.04	0.00027	0.2433	0.192	6.89	0.00003	0.1202
	4	0.183	152.00	0.00027	0.2432	0.192	6.96	0.00003	0.1202
	1	0.173	6.64	0.00001	0.0109	0.185	150.61	0.00027	0.2459
	2	0.183	7.74	0.00001	0.0169	0.193	149.67	0.00029	0.2859
	3	0.185	7.77	0.00001	0.0173	0.193	149.59	0.00029	0.2864
	1	0.173	6.64	0.00001	0.0127	0.185	150.61	0.00026	0.2164
Comb 2-2	2	0.183	7.57	0.00001	0.0186	0.193	149.69	0.00029	0.2870
	3	0.185	8.22	0.00001	0.0201	0.193	149.57	0.00029	0.2874
	4	0.185	8.29	0.00001	0.0202	0.193	149.56	0.00029	0.2874
	1	0.173	6.64	0.00001	0.0094	0.185	150.61	0.00026	0.2365
	2	0.181	7.47	0.00001	0.0133	0.193	149.82	0.00029	0.2663
	3	0.182	7.36	0.00001	0.0134	0.193	149.76	0.00029	0.2667
	1	0.173	6.64	0.00001	0.0105	0.185	150.61	0.00026	0.2339
	2	0.181	7.05	0.00001	0.0139	0.193	149.84	0.00029	0.2638
	3	0.182	7.70	0.00001	0.0152	0.193	149.75	0.00029	0.2641
	4	0.183	7.69	0.00001	0.0152	0.193	149.75	0.00029	0.2641

Fuente: Elaboración propia

En el Anexo B del disco (CD) se presenta el comportamiento sísmico de todas las estructuras.

3.2. Resultados de los máximos incrementos de fuerzas

Estos resultados son producto de la diferencia aritmética de acuerdo al sentido de su respectiva fuerza, entre el Análisis ERNI y el análisis elástico tomándose el más crítico de la estructura para cada combinación de resistencias requeridas y tipo de fuerza. A continuación se muestra la tabla de resultados de la estructuras de 4 pisos en sus diferentes alturas de entrepiso y tipo de elementos estructural:

En el Anexo C del disco (CD) se muestra los máximos incrementos de fuerzas de todas las estructuras.

Edificio		Comb 1			Comb 1-1			Comb 1-2			Comb 1-3			Comb 2			Comb 2-1			Comb 3			Comb 3-1			Comb 2-2			Comb 2-3						
		1°Ord	Prog	Dif	1°Ord	Prog	Dif	1°Ord	Prog	Dif	1°Ord	Prog	Dif	1°Ord	Prog	Dif	1°Ord	Prog	Dif	1°Ord	Prog	Dif	1°Ord	Prog	Dif	1°Ord	Prog	Dif							
4 Pisos 2_5	Columna	20	-53.84	3.51	-49.82	53.32	3.51	-50.04	53.55	3.51	-49.81	53.31	3.49	-42.21	-45.86	3.65	-42.10	-45.81	3.71	-24.15	-26.47	2.32	-24.42	-26.80	2.38	66	164	20	164	20	20				
	C_P (Tm)	421	10	0.05	0.06	0.01	-0.05	-0.06	0.01	0.05	0.06	0.00	-0.08	-0.12	0.04	0.07	0.12	0.04	0.04	0.04	0.00	-0.04	0.00	-0.04	0.00	0.04	0.04	0.00	-0.01	0.01	0.01				
	C_V2 (Tm)	Columna	120	0.05	0.06	0.01	-0.05	-0.06	0.01	0.05	0.06	0.00	-0.08	-0.12	0.04	0.07	0.12	0.04	0.04	0.04	0.00	-0.04	0.00	-0.04	0.00	0.04	0.04	0.00	-0.01	0.01	0.00				
	C_V3 (Tm)	Columna	120	0.96	1.10	0.14	0.86	1.10	0.14	0.96	1.10	0.15	0.96	1.10	0.14	0.01	0.09	0.09	0.00	0.09	0.00	0.04	0.04	0.00	0.04	0.04	0.00	0.04	0.05	0.01	0.74	0.91	0.01		
	C_M2 (Tm)	Columna	120	-1.57	-1.74	0.18	-1.57	-1.74	0.18	-1.57	-1.74	0.17	0.01	0.12	0.11	0.00	0.12	0.11	0.00	0.06	0.05	0.00	0.06	-0.56	0.06	0.86	1.04	0.18	-0.03	-0.08	0.06	0.40	0.51	0.11	
	C_M3 (Tm)	Columna	421	10	-0.07	0.01	-0.07	0.01	0.07	0.00	0.07	0.00	0.07	0.00	0.01	0.07	0.00	-0.01	-0.07	0.06	0.01	0.03	0.02	-0.01	-0.03	0.02	0.05	0.05	0.00	0.00	0.00	0.01	0.00	0.00	
	C_V2 (Tm)	Columna	20	0.07	0.13	0.15	0.86	1.10	0.14	0.96	1.10	0.15	0.96	1.10	0.14	0.01	0.09	0.09	0.00	0.09	0.00	0.04	0.04	0.00	0.04	0.04	0.00	0.04	0.05	0.01	0.74	0.91	0.01		
	C_P (Tm)	Columna	120	-53.86	3.64	-49.93	53.57	3.63	-50.22	53.86	3.64	-50.22	53.64	3.62	-42.01	-45.84	3.83	-41.90	-45.79	3.89	-24.20	-26.80	2.45	-24.28	-26.80	2.51	129	164	20	164	20	20			
	C_V3 (Tm)	Columna	421	10	0.05	-0.06	0.01	0.05	0.06	0.00	0.05	0.06	0.00	-0.06	-0.10	0.04	0.05	0.10	0.04	0.05	0.01	-0.05	-0.05	0.00	-0.05	0.00	-0.05	0.00	0.05	0.05	0.00	0.00	0.00	0.01	
	C_M2 (Tm)	Columna	120	0.05	0.06	0.01	-0.05	-0.06	0.01	0.05	0.06	0.00	-0.06	-0.10	0.04	0.05	0.10	0.04	0.05	0.01	-0.05	-0.05	0.00	-0.05	0.00	-0.05	0.00	0.05	0.05	0.00	0.00	0.00	0.01		
4 Pisos 2_7	C_V2 (Tm)	Columna	20	0.98	1.13	0.15	0.98	1.13	0.15	0.98	1.13	0.15	0.98	1.13	0.15	0.00	0.08	0.08	0.00	0.08	0.00	0.04	0.04	0.00	0.04	0.04	0.00	0.04	0.05	0.01	0.76	0.91	0.01		
	C_V3 (Tm)	Columna	120	-1.61	-1.79	0.18	-1.61	-1.79	0.18	-1.61	-1.79	0.18	0.01	0.12	0.11	0.00	0.11	0.00	0.06	0.05	0.00	0.05	0.05	0.00	-0.57	0.06	0.86	1.06	0.18	-0.03	-0.08	0.06	0.41	0.52	0.11
	C_M3 (Tm)	Columna	421	10	0.07	0.01	-0.07	0.01	0.07	0.00	0.07	0.00	0.07	0.00	0.07	0.00	0.07	0.00	0.07	0.01	0.03	0.02	-0.01	-0.03	0.02	0.05	0.05	0.00	-0.01	0.01	0.01	0.00	0.01	0.00	
	C_P (Tm)	Columna	120	0.07	0.13	0.15	0.98	1.10	0.14	0.98	1.10	0.15	0.98	1.10	0.14	0.01	0.09	0.09	0.00	0.09	0.00	0.04	0.04	0.00	0.04	0.04	0.00	0.04	0.05	0.01	0.74	0.91	0.01		
	C_M2 (Tm)	Columna	120	-48.30	4.25	-44.08	48.32	4.24	-44.05	48.28	4.22	-44.05	48.28	4.23	-34.37	-39.43	5.06	-34.73	-38.79	5.05	-19.42	-23.03	3.61	-19.44	-23.04	3.60	129	164	20	164	20	20			
	C_V2 (Tm)	Columna	421	10	0.05	0.06	0.01	-0.06	-0.06	0.01	0.05	0.06	0.01	-0.01	-0.05	0.01	0.05	0.10	0.04	0.05	0.01	-0.05	-0.05	0.00	-0.05	0.00	-0.05	0.00	0.05	0.05	0.00	0.00	0.00	0.01	
	C_V3 (Tm)	Columna	120	0.05	0.06	0.01	-0.06	-0.06	0.01	0.05	0.06	0.01	-0.01	-0.05	0.01	0.05	0.10	0.04	0.05	0.01	-0.05	-0.05	0.00	-0.05	0.00	-0.05	0.00	0.05	0.05	0.00	0.00	0.00	0.01		
	C_P (Tm)	Columna	120	0.05	0.06	0.01	-0.06	-0.06	0.01	0.05	0.06	0.01	-0.01	-0.05	0.01	0.05	0.10	0.04	0.05	0.01	-0.05	-0.05	0.00	-0.05	0.00	-0.05	0.00	0.05	0.05	0.00	0.00	0.00	0.01		
	C_M2 (Tm)	Columna	120	0.01	0.13	0.12	0.01	0.13	0.12	0.01	0.14	0.13	0.01	0.12	0.11	0.01	0.11	0.10	0.00	0.11	0.10	0.01	0.10	0.00	0.06	0.06	0.00	0.06	0.06	0.00	0.06	0.06	0.00		
	C_M3 (Tm)	Columna	421	10	0.07	0.08	0.01	-0.07	-0.08	0.01	0.07	0.08	0.01	-0.01	-0.07	0.01	0.07	0.12	0.04	0.08	0.04	-0.04	-0.09	0.04	-0.05	-0.04	0.03	-0.05	-0.04	0.03	-0.05	0.01	0.01	-0.01	0.01

Tabla 14 Máximos incrementos de fuerza en columnas

Fuente: Elaboración propia

Edificio		Comb 1			Comb 1-1			Comb 1-2			Comb 1-3			Comb 2			Comb 2-1			Comb 2-2			Comb 3			Comb 3-1			Comb 3-2								
		1° Ord.	Prog.	Dif.	1° Ord.	Prog.	Dif.	1° Ord.	Prog.	Dif.	1° Ord.	Prog.	Dif.	1° Ord.	Prog.	Dif.	1° Ord.	Prog.	Dif.	1° Ord.	Prog.	Dif.	1° Ord.	Prog.	Dif.	1° Ord.	Prog.	Dif.	1° Ord.	Prog.	Dif.						
4 Pisos 2_5	Viga (Nm)	312	312	0.69	1.22	0.53	4.41	4.94	0.53	0.69	1.22	0.52	-3.58	-4.08	0.51	1.70	2.24	0.54	-0.95	-1.18	0.33	0.88	1.23	0.35	-3.08	-3.88	0.80	1.19	2.08	0.89	-1.44	-2.07	0.63	0.38	1.07	0.70	
	V_M3 (Nm-m)	411	228	411	228	411	312	312	312	312	312	312	337	337	337	312	312	312	312	312	312	312	312	312	337	337	337	312	312	312	312	312	312				
	V_M2 (Nm)	6.95	9.19	2.24	6.95	9.19	2.24	6.95	9.19	2.25	6.95	9.19	2.24	-5.79	-7.79	2.00	-5.76	-7.76	2.02	-3.23	-4.41	1.18	-3.20	-4.39	1.20	-5.54	-7.50	1.86	-5.55	-7.69	2.14	2.98	4.13	1.15	2.98	4.11	
4 Pisos 2_7	Viga (Nm)	312	312	312	312	312	312	312	312	312	312	312	337	337	337	312	312	312	312	312	312	312	312	312	337	337	337	312	312	312	312	312	312				
	V_M3 (Nm-m)	436	4.92	0.56	2.12	2.67	0.56	4.36	4.93	0.56	0.65	1.20	0.56	-1.59	-2.16	0.57	0.39	0.97	0.58	-0.10	-0.47	0.37	1.93	2.30	0.38	-1.06	-1.86	0.91	3.01	3.96	0.95	-0.27	-0.98	0.71	0.29	1.05	0.75
	V_M2 (Nm)	-6.87	-9.15	2.28	-6.87	-9.15	2.28	-6.87	-9.14	2.28	-6.87	-9.14	2.28	-5.71	-7.75	2.04	-5.68	-7.73	2.05	-3.18	-4.38	1.20	-3.15	-4.37	1.22	-5.46	-7.35	1.89	-5.46	-7.64	2.18	-0.24	-1.50	1.25	-2.93	-4.28	1.35
4 Pisos 3_0	Viga (Nm)	348	337	348	348	348	348	348	348	348	348	348	337	337	337	312	312	312	312	312	312	312	312	312	337	337	337	312	312	312	312	312	312				
	V_M3 (Nm-m)	-3.71	-4.66	0.95	-1.52	-2.47	0.95	-3.71	-4.65	0.94	-1.52	-2.48	0.96	-0.78	-1.87	1.09	-0.93	-1.93	1.00	-0.20	-0.96	0.75	0.30	1.00	0.69	-1.35	-3.26	1.91	1.45	3.29	1.84	-0.01	-1.56	1.55	0.03	1.56	1.55
	V_M2 (Nm)	-6.65	-9.09	2.45	-6.65	-9.10	2.45	-6.65	-9.10	2.45	-6.65	-9.09	2.44	-5.51	-7.70	2.19	-5.47	-7.68	2.21	-3.06	-4.35	1.29	-3.02	-4.34	1.31	-0.35	-2.45	2.10	-5.24	-7.58	2.34	-0.05	-1.39	1.33	-2.79	-4.24	1.45

Tabla 15 Máximos incrementos de fuerzas en vigas**Fuente:** Elaboración propia

Tabla 16 Máximos incrementos de fuerzas en muros

Fuente: Elaboración propia

3.3. Resultados de los máximos incrementos relativos

Los resultados siguientes son los valores obtenidos del Análisis ERNI y el análisis elástico, de la sección crítica que tiene el mayor incremento con respecto a los valores iniciales (Análisis elástico) de cada elemento para cada combinación de resistencias requeridas, fuerza y tipo de elemento. En el Anexo D del disco (CD) se muestra los máximos incrementos relativos de todas las estructuras para columnas y vigas, para los muros se encontrarán en el Anexo E del dico (CD). A continuación se muestra la tabla de resultados de las estructuras de 4 pisos con una altura de entrepiso de 2.5 metros:

Tabla 17 Máximos incrementos relativos C_P de la estructura de 4 pisos 2_5

Frame	4 Pisos 2_5 - C_P (Tonf)																							
	Comb 1		Comb 1-1		Comb 1-2		Comb 1-3		Comb 2		Comb 2-1		Comb 3		Comb 3-1		Comb 2-2		Comb 2-3		Comb 3-2			
	1ºOrd	Prog	1ºOrd	Prog	1ºOrd	Prog	1ºOrd	Prog	1ºOrd	Prog	1ºOrd	Prog	1ºOrd	Prog	1ºOrd	Prog	1ºOrd	Prog	1ºOrd	Prog				
56	-6.91	-7.56	-6.91	-7.56	-6.91	-7.55	-6.91	-7.56	-6.07	-6.55	-5.83	-6.44	-3.67	-3.90	-3.43	-3.78	-5.68	-6.38	-6.22	-6.61	-3.28	-3.72	-3.81	-3.96
1	-14.28	14.00	-14.28	14.00	-14.28	14.00	-14.28	14.00	12.28	12.04	12.23	11.96	-7.16	-7.02	-7.11	-6.95	12.25	12.02	12.25	11.98	-7.13	-7.00	-7.13	-6.97
21	15.12	16.07	15.12	16.07	15.12	16.07	15.12	16.07	13.01	13.79	12.92	13.75	7.56	8.00	7.48	7.95	12.96	13.78	12.96	13.76	7.52	7.99	7.52	7.96
66	-5.89	-6.45	-5.89	-6.46	-5.89	-6.46	-5.89	-6.46	-4.77	-5.35	-5.35	-5.74	-2.68	-3.06	-3.26	-3.45	-5.05	-5.49	-5.07	-5.60	-2.96	-3.20	-2.98	-3.31
76	-5.90	-6.46	-5.90	-6.46	-5.90	-6.46	-5.90	-6.46	-5.35	-5.74	-4.78	-5.36	-3.26	-3.44	-2.69	-3.07	-5.07	-5.51	-5.06	-5.58	-2.98	-3.22	-2.97	-3.30
11	-6.91	-7.65	-6.91	-7.65	-6.91	-7.65	-6.91	-7.65	-6.13	-6.65	-5.77	-6.49	-3.73	-3.97	-3.37	-3.80	-6.22	-6.68	-5.68	-6.46	-3.82	-3.99	-3.28	-3.78
111	-6.91	-7.65	-6.91	-7.65	-6.91	-7.65	-6.91	-7.65	-5.79	-6.50	-6.11	-6.64	-3.39	-3.81	-3.71	-3.96	-6.21	-6.67	-5.68	-6.47	-3.80	-3.99	-3.29	-3.79
131	-6.92	-7.56	-6.92	-7.56	-6.92	-7.56	-6.92	-7.56	-5.81	-6.43	-6.11	-6.57	-3.41	-3.77	-3.70	-3.92	-5.69	-6.38	-6.23	-6.62	-3.28	-3.72	-3.82	-3.97
121	-15.12	16.07	15.12	16.07	15.12	16.07	15.12	16.07	12.92	13.75	13.01	13.79	-7.48	-7.96	-7.57	-8.00	12.96	13.78	12.96	13.76	-7.52	-7.99	-7.52	-7.97
142	-14.28	14.00	-14.28	14.00	-14.28	14.00	-14.28	14.00	12.23	11.96	12.28	12.04	-7.11	-6.96	-7.16	-7.02	12.25	12.01	12.25	11.98	-7.13	-7.00	-7.13	-6.98
63	-20.90	22.41	20.90	22.40	20.90	22.40	20.90	22.41	18.36	19.39	17.57	19.08	10.99	11.47	10.21	11.14	17.32	18.96	18.61	19.51	9.96	11.03	11.25	11.58
8	-41.38	40.30	41.38	40.30	41.38	40.30	41.38	40.30	35.39	34.59	35.50	34.49	20.42	19.98	20.52	19.93	35.45	34.59	35.45	34.49	20.47	19.99	20.47	19.92
49	-45.42	47.39	45.42	47.39	45.42	47.39	45.42	47.39	39.07	40.66	38.73	40.51	22.65	23.51	22.30	23.36	38.91	40.63	38.90	40.55	22.48	23.47	22.47	23.39
73	-18.47	19.56	-18.47	19.58	-18.47	19.57	-18.47	-19.57	15.16	16.38	16.55	17.23	-8.59	-9.43	-9.97	-10.25	15.83	16.68	15.88	16.93	-9.25	-9.72	-9.31	-9.96
104	-18.47	19.58	-18.47	19.56	-18.47	19.57	-18.47	-19.57	16.54	17.21	15.17	16.39	-9.96	-10.23	-8.60	-9.44	15.87	16.71	15.84	16.89	-9.29	-9.75	-9.26	-9.93
18	-20.90	22.67	20.90	22.67	-20.90	22.68	-20.90	-22.67	18.51	19.69	17.42	19.25	11.15	11.66	10.05	11.21	18.64	19.72	17.29	19.21	11.27	11.68	9.93	11.18
118	-20.90	22.67	20.90	22.67	-20.90	22.68	-20.90	-22.67	17.47	19.27	18.46	19.66	10.11	11.23	11.10	11.64	18.59	19.69	17.34	19.24	11.23	11.66	9.98	11.21
159	-20.91	22.40	20.91	22.41	20.91	22.40	20.91	22.41	17.52	19.05	18.43	19.42	10.16	11.12	11.06	11.50	17.31	18.95	18.64	19.53	-9.95	11.02	11.27	11.59
128	-45.42	47.39	45.42	47.39	45.42	47.39	45.42	47.39	38.73	40.52	39.08	40.66	22.30	23.36	22.65	23.51	38.90	40.62	38.91	40.56	22.47	23.47	22.48	23.40
119	-41.38	40.30	41.38	40.30	41.38	40.30	41.38	40.30	35.50	34.49	35.39	34.58	20.52	19.93	20.42	19.98	35.45	34.59	35.44	34.49	20.47	19.99	20.47	19.92
64	-35.13	37.36	35.13	37.35	35.13	37.34	35.13	37.36	30.84	32.31	29.53	31.82	18.44	19.08	17.13	18.57	29.19	31.65	31.19	32.49	16.78	18.41	18.78	19.24
9	-68.57	66.61	-68.57	66.61	-68.57	66.61	-68.57	-66.61	58.58	57.14	58.86	57.04	33.71	32.95	33.99	32.90	58.71	57.18	58.72	57.01	33.85	32.98	33.86	32.88
50	-75.88	78.69	75.88	78.68	75.88	78.69	75.88	78.68	65.29	67.51	64.70	67.25	37.81	39.00	37.22	38.75	65.00	67.45	64.98	67.31	37.53	38.94	37.51	38.81
74	-31.23	32.75	31.23	32.77	31.23	32.76	31.23	32.76	25.73	27.49	27.89	28.75	14.60	15.84	16.76	17.07	26.77	27.94	26.85	28.31	15.64	16.27	15.72	16.64
105	-31.22	32.77	31.22	32.74	31.22	32.75	31.22	32.76	27.87	28.72	25.73	27.51	-16.74	17.04	14.61	15.86	26.82	27.98	26.78	28.25	15.70	16.31	15.65	16.59
19	-35.13	37.81	35.13	37.80	35.13	37.81	35.13	37.80	31.09	32.80	29.29	32.11	-18.69	-19.39	-16.88	-18.69	31.23	32.83	29.15	32.08	-18.82	-19.41	-16.74	-18.66
119	-35.13	37.80	35.13	37.81	35.13	37.81	35.13	37.80	29.37	32.15	31.01	32.77	-16.96	-18.73	-18.60	-19.36	31.15	32.80	29.23	32.11	-18.75	-19.38	-18.62	-18.70
160	-35.15	37.35	35.15	37.36	35.15	37.35	35.15	37.37	29.46	31.78	30.95	32.36	17.04	18.53	18.54	19.12	29.17	31.64	31.23	32.52	16.76	18.39	18.82	19.26
129	-75.89	78.69	75.89	78.69	-75.89	78.69	-75.89	-78.69	64.70	67.26	65.29	67.51	37.22	38.75	37.82	38.99	64.98	67.44	65.01	67.33	37.51	38.93	37.53	38.82
120	-68.57	66.61	-68.57	66.61	-68.57	66.61	-68.57	-66.61	58.85	57.04	58.57	57.13	33.99	32.90	33.71	32.94	58.72	57.18	58.71	57.01	33.85	32.98	33.84	32.87
65	-49.30	52.12	49.30	52.11	-49.30	52.11	-49.30	-52.13	43.23	45.04	41.50	44.43	25.80	26.56	24.07	25.93	41.11	44.20	43.61	45.26	23.69	25.73	26.18	26.76
10	-96.71	93.67	96.71	93.67	-96.71	93.67	-96.71	-93.67	82.62	80.29	83.02	80.23	47.56	46.31	47.96	46.28	82.81	80.36	82.82	80.17	47.75	46.37	47.77	46.24
54	107.62	110.62	107.62	110.62	107.62	110.62	107.62	110.62	92.56	94.93	91.77	94.59	53.57	54.83	52.78	54.51	92.18	94.85	92.15	94.67	53.19	54.75	53.16	54.58
75	-44.30	46.06	44.30	46.08	44.30	46.07	44.30	46.07	36.65	38.78	39.39	40.31	20.86	22.38	23.60	23.88	37.97	39.31	38.07	39.78	22.18	22.90	22.29	23.36
109	44.28	46.07	44.28	46.05	44.28	46.06	44.28	46.06	39.36	40.27	36.65	38.79	23.58	23.86	20.87	22.40	38.04	39.37	37.97	39.70	22.26	22.95	22.19	23.30
20	49.29	52.80	49.29	52.79	49.29	52.80	49.29	52.79	43.54	45.74	41.17	44.88	26.12	27.00	23.75	26.13	43.66	45.78	41.05	44.84	26.24	27.02	23.63	26.10
120	49.29	52.79	49.29	52.80	49.29	52.80	49.29	52.79	41.28	44.93	43.44	45.70	23.86	26.17	26.01	26.96	43.56	45.73	41.15	44.88	26.14	26.98	23.73	26.14
164	49.31	52.12	49.31	52.13	49.31	52.11	49.31	52.13	41.39	44.38	43.35	45.10	23.96	25.88	25.92	26.61	41.07	44.19	43.67	45.29	23.64	25.71	26.24	26.78
130	107.62	110.62	107.62	110.63	107.62	110.62	107.62	110.62	91.77	94.60	92.56	94.93	52.78	54.51	53.58	54.82	92.15	94.83	92.18	94.69	53.16	54.74	53.19	54.60
121	-96.71	93.																						

Tabla 18 Máximos incrementos relativos C_V2 de la estructura de 4 pisos 2_5

Frame	4 Pisos 2_5 - C_V2 (Tonf)																							
	Comb 1		Comb 1-1		Comb 1-2		Comb 1-3		Comb 2		Comb 2-1		Comb 3		Comb 3-1		Comb 2-2		Comb 2-3		Comb 3-2		Comb 3-3	
	1°Ord	Prog	1°Ord	Prog	1°Ord	Prog	1°Ord	Prog	1°Ord	Prog	1°Ord	Prog	1°Ord	Prog	1°Ord	Prog	1°Ord	Prog	1°Ord	Prog	1°Ord	Prog	1°Ord	Prog
56	-0.19	-0.06	-0.19	-0.07	-0.19	-0.07	-0.19	-0.07	0.43	0.17	-0.75	-0.29	0.49	0.17	-0.69	-0.28	-0.14	-0.06	-0.19	-0.07	-0.08	-0.04	-0.13	-0.06
1	-0.40	-0.26	-0.40	-0.26	-0.40	-0.26	-0.40	-0.26	-0.08	-0.12	-0.61	-0.33	0.05	-0.04	-0.48	-0.23	-0.33	-0.22	-0.35	-0.23	-0.20	-0.13	-0.22	-0.14
21	0.27	0.02	0.27	0.02	0.27	0.02	0.27	0.02	0.64	0.18	-0.18	-0.15	0.53	0.16	-0.29	-0.16	0.24	0.02	0.21	0.00	0.14	0.00	0.11	-0.01
66	0.58	0.24	0.58	0.23	0.58	0.23	0.58	0.24	0.84	0.34	0.16	0.07	0.64	0.26	-0.04	0.00	0.51	0.21	0.49	0.20	0.31	0.14	0.29	0.13
76	-0.59	-0.24	-0.59	-0.24	-0.59	-0.24	-0.59	-0.24	-0.17	-0.07	-0.84	-0.34	0.04	0.00	-0.64	-0.26	-0.49	-0.20	-0.52	-0.21	-0.29	-0.13	-0.31	-0.14
11	-0.18	-0.06	-0.18	-0.07	-0.18	-0.06	-0.18	-0.06	0.49	0.19	-0.80	-0.31	0.55	0.20	-0.74	-0.30	-0.13	-0.05	-0.17	-0.07	-0.08	-0.04	-0.12	-0.06
111	0.17	0.07	0.17	0.06	0.17	0.06	0.17	0.06	0.80	0.31	-0.50	-0.20	0.74	0.30	-0.55	-0.20	0.18	0.07	0.12	0.05	0.13	0.06	0.06	0.04
131	0.18	0.07	0.18	0.06	0.18	0.06	0.18	0.06	0.74	0.29	-0.43	-0.17	0.69	0.27	-0.49	-0.18	0.16	0.07	0.15	0.05	0.11	0.06	0.09	0.04
121	-0.27	-0.02	-0.27	-0.02	-0.27	-0.02	-0.27	-0.02	0.18	0.15	-0.64	-0.18	0.29	0.16	-0.53	-0.16	-0.22	-0.01	-0.25	-0.02	-0.11	0.01	-0.14	0.00
412	0.39	0.26	0.39	0.25	0.39	0.26	0.39	0.26	0.61	0.33	0.07	0.12	0.48	0.23	-0.05	0.04	0.35	0.22	0.33	0.22	0.22	0.14	0.20	0.13
63	-0.16	-0.05	-0.16	-0.06	-0.16	-0.06	-0.16	-0.06	0.38	0.14	-0.67	-0.24	0.44	0.14	-0.61	-0.23	-0.12	-0.05	-0.16	-0.06	-0.07	-0.04	-0.11	-0.05
8	-0.25	-0.17	-0.25	-0.17	-0.25	-0.17	-0.25	-0.17	0.00	-0.06	-0.45	-0.23	0.09	-0.01	-0.36	-0.17	-0.21	-0.14	-0.23	-0.15	-0.13	-0.09	-0.15	-0.10
49	0.19	0.01	0.19	0.00	0.19	0.01	0.19	0.01	0.53	0.14	-0.21	-0.14	0.45	0.13	-0.28	-0.14	0.17	0.01	0.15	0.00	0.10	0.00	0.07	-0.01
73	0.44	0.18	0.44	0.18	0.44	0.18	0.44	0.18	0.70	0.28	0.05	0.03	0.55	0.22	-0.10	-0.02	0.39	0.16	0.37	0.15	0.24	0.10	0.22	0.09
104	-0.44	-0.18	-0.44	-0.18	-0.44	-0.18	-0.44	-0.18	-0.05	-0.03	-0.71	-0.28	0.10	0.02	-0.55	-0.22	-0.37	-0.15	-0.39	-0.16	-0.22	-0.10	-0.24	-0.11
18	-0.15	-0.05	-0.15	-0.06	-0.15	-0.05	-0.15	-0.05	0.44	0.16	-0.71	-0.26	0.49	0.16	-0.66	-0.24	-0.12	-0.04	-0.15	-0.06	-0.07	-0.03	-0.10	-0.05
118	0.15	0.05	0.15	0.05	0.15	0.05	0.15	0.05	0.71	0.26	-0.45	-0.16	0.66	0.24	-0.49	-0.16	0.16	0.06	0.10	0.04	0.11	0.05	0.05	0.03
159	0.15	0.06	0.15	0.05	0.15	0.05	0.15	0.05	0.66	0.24	-0.39	-0.14	0.61	0.22	-0.44	-0.14	0.14	0.06	0.13	0.04	0.09	0.05	0.08	0.03
128	-0.19	0.00	-0.19	-0.01	-0.19	-0.01	-0.19	-0.01	0.20	0.13	-0.53	-0.14	0.28	0.14	-0.45	-0.13	-0.15	0.00	-0.18	-0.01	-0.07	0.01	-0.10	0.00
419	0.25	0.17	0.25	0.17	0.25	0.17	0.25	0.17	0.45	0.23	-0.01	0.06	0.36	0.17	-0.09	0.01	0.23	0.15	0.21	0.14	0.15	0.09	0.13	0.09
64	-0.14	-0.05	-0.14	-0.06	-0.14	-0.05	-0.14	-0.05	0.39	0.13	-0.64	-0.23	0.44	0.13	-0.59	-0.22	-0.10	-0.04	-0.15	-0.06	-0.05	-0.03	-0.10	-0.05
9	-0.25	-0.21	-0.25	-0.21	-0.25	-0.21	-0.25	-0.21	0.01	-0.08	-0.45	-0.27	0.09	-0.02	-0.37	-0.18	-0.21	-0.17	-0.23	-0.18	-0.13	-0.09	-0.15	-0.10
50	0.15	-0.01	0.15	-0.02	0.15	-0.01	0.15	-0.01	0.48	0.15	-0.24	-0.17	0.42	0.12	-0.30	-0.15	0.13	-0.01	0.11	-0.02	0.07	-0.01	0.05	-0.02
74	0.39	0.18	0.39	0.17	0.39	0.17	0.39	0.17	0.66	0.27	0.01	0.03	0.53	0.21	-0.12	-0.01	0.34	0.16	0.32	0.15	0.21	0.10	0.19	0.09
105	-0.39	-0.17	-0.39	-0.18	-0.39	-0.17	-0.39	-0.17	-0.01	-0.03	-0.66	-0.27	0.12	0.01	-0.53	-0.21	-0.32	-0.15	-0.35	-0.16	-0.19	-0.10	-0.22	-0.10
19	-0.13	-0.05	-0.13	-0.05	-0.13	-0.05	-0.13	-0.05	0.45	0.15	-0.68	-0.24	0.49	0.15	-0.64	-0.23	-0.10	-0.04	-0.13	-0.06	-0.06	-0.04	-0.09	-0.05
119	0.13	0.05	0.13	0.05	0.13	0.05	0.13	0.05	0.67	0.24	-0.45	-0.15	0.63	0.23	-0.49	-0.15	0.14	0.06	0.08	0.03	0.10	0.05	0.04	0.03
160	0.13	0.05	0.13	0.05	0.13	0.05	0.13	0.05	0.63	0.23	-0.40	-0.13	0.58	0.22	-0.44	-0.14	0.11	0.05	0.11	0.05	0.07	0.04	0.07	0.04
129	-0.15	0.01	-0.15	0.01	-0.15	0.01	-0.15	0.01	0.23	0.17	-0.49	-0.15	0.30	0.14	-0.42	-0.12	-0.11	0.02	-0.14	0.00	-0.05	0.02	-0.08	0.01
420	0.25	0.21	0.25	0.21	0.25	0.21	0.25	0.21	0.44	0.27	-0.01	0.08	0.37	0.18	-0.09	0.02	0.22	0.18	0.21	0.17	0.14	0.10	0.13	0.09
65	-0.03	0.01	-0.03	0.02	-0.03	0.01	-0.03	0.01	0.11	0.04	-0.16	-0.06	0.12	0.04	-0.15	0.05	-0.02	0.01	-0.03	-0.02	0.01	-0.01	0.02	-0.01
10	-0.05	-0.06	-0.05	-0.06	-0.05	-0.06	-0.05	-0.06	0.04	0.00	-0.13	-0.08	0.05	0.01	-0.11	-0.05	-0.04	-0.04	-0.05	-0.05	-0.03	-0.02	-0.03	-0.03
54	0.02	-0.01	0.02	-0.01	0.02	-0.01	0.02	-0.01	0.13	0.05	-0.09	-0.06	0.12	0.04	-0.10	-0.05	0.02	0.00	0.02	-0.01	0.01	0.00	0.01	-0.01
75	0.08	0.04	0.08	0.04	0.08	0.04	0.08	0.04	0.17	0.07	-0.03	0.00	0.14	0.05	-0.06	-0.01	0.07	0.04	0.06	0.03	0.04	0.02	0.04	0.02
109	-0.08	-0.04	-0.08	-0.04	-0.08	-0.04	-0.08	-0.04	0.03	0.00	-0.17	-0.07	0.06	0.01	-0.14	-0.05	-0.06	-0.03	-0.07	-0.04	-0.04	-0.02	-0.04	-0.02
20	-0.03	-0.01	-0.03	0.02	-0.03	0.01	-0.03	0.01	0.13	0.04	-0.17	-0.06	0.14	0.04	-0.17	-0.06	-0.02	0.01	-0.03	-0.01	-0.01	-0.01	-0.02	-0.01
120	0.02	0.02	0.02	0.01	0.02	0.01	0.02	0.01	0.17	0.06	-0.13	-0.04	0.17	0.06	-0.14	-0.04	0.03	0.02	0.01	0.01	0.02	0.01	0.01	0.01
164	0.02	0.02	0.02	0.01	0.02	0.01	0.02	0.01	0.16	0.06	-0.12	-0.04	0.15	0.05	-0.12	-0.04	0.02	0.01	0.02	0.01	0.01	0.01	0.01	0.01
130	-0.03	0.01	-0.03	0.00	-0.03	0.01	-0.03	0.01	0.09	0.06	-0.13	-0.05	0.10	0.05	-0.12	-0.04	-0.02	0.01	-0.02	0.00	-0.01	0.01	-0.01	0.00
421	0.05	0.06	0.05	0.05	0.05	0.06	0.05	0.06	0.13	0.08	-0.04	0.00	0.11	0.05	-0.05	-0.01	0.05	0.05	0.04	0.04	0.03	0.03	0.03	0.02

Fuente: Elaboración propia

Tabla 19 Máximos incrementos relativos C_V3 de la estructura de 4 pisos 2_5

Frame	4 Pisos 2_5 - C_V3 (Tonf)																							
	Comb 1		Comb 1-1		Comb 1-2		Comb 1-3		Comb 2		Comb 2-1		Comb 3		Comb 3-1		Comb 2-2		Comb 2-3		Comb 3-2		Comb 3-3	
	1ºOrd	Prog	1ºOrd	Prog	1ºOrd	Prog	1ºOrd	Prog	1ºOrd	Prog	1ºOrd	Prog	1ºOrd	Prog	1ºOrd	Prog	1ºOrd	Prog	1ºOrd	Prog	1ºOrd	Prog	1ºOrd	Prog
56	-3.53	2.85	-3.53	2.85	-3.53	2.84	-3.53	2.85	-2.98	2.41	-3.05	2.45	-1.67	1.36	-1.75	1.39	-2.73	2.32	-3.31	2.54	-1.42	1.26	-2.00	1.49
1	0.01	0.00	0.01	0.00	0.01	0.01	0.01	0.00	0.04	0.03	-0.03	0.01	0.04	0.03	-0.03	0.01	0.43	0.18	-0.41	0.16	0.43	0.18	-0.42	0.16
21	0.01	0.05	0.01	0.05	0.01	0.05	0.01	0.05	0.05	0.06	-0.03	0.03	0.04	0.04	-0.03	0.01	0.49	0.24	-0.48	0.15	0.49	0.22	-0.48	0.17
66	0.02	0.04	0.02	0.04	0.02	0.05	0.02	0.04	0.06	0.06	-0.02	0.02	0.05	0.04	-0.03	0.00	0.73	0.31	-0.69	0.24	0.72	0.29	-0.70	0.25
76	0.02	0.04	0.02	0.04	0.02	0.05	0.02	0.04	0.04	0.04	0.00	0.03	0.03	0.03	-0.01	0.02	0.73	0.31	-0.69	0.24	0.72	0.29	-0.70	0.25
11	3.55	3.11	3.55	3.11	3.55	3.11	3.55	3.11	3.04	2.66	3.02	2.65	1.73	1.51	1.71	1.50	3.32	2.74	2.74	2.57	2.01	1.59	1.42	1.42
111	3.55	3.11	3.55	3.11	3.55	3.11	3.55	3.11	3.04	2.66	3.01	2.65	1.73	1.51	1.70	1.50	3.32	2.74	2.74	2.57	2.01	1.59	1.43	1.42
131	-3.54	2.85	-3.54	2.85	-3.54	2.84	-3.54	2.85	-3.03	2.43	-3.01	2.43	-1.72	-1.38	-1.70	1.37	-2.73	2.32	-3.31	2.54	-1.42	1.27	-2.00	1.49
121	0.01	0.05	0.01	0.05	0.01	0.05	0.01	0.05	0.01	0.05	0.00	0.04	0.01	0.03	0.00	0.02	0.49	0.24	-0.47	0.15	0.48	0.22	-0.48	0.17
412	0.01	0.00	0.01	0.00	0.01	0.01	0.01	0.00	0.01	0.01	0.00	0.01	0.00	0.00	0.01	0.42	0.18	-0.41	0.16	0.42	0.17	-0.41	0.16	
63	-3.77	3.24	-3.77	3.24	-3.77	3.24	-3.77	3.24	-3.19	2.75	-3.24	2.77	-1.80	-1.55	-1.85	1.57	-2.97	2.66	-3.47	2.86	-1.57	1.46	-2.07	1.66
8	0.01	0.00	0.01	0.00	0.01	0.01	0.00	0.04	0.03	-0.03	0.01	0.04	0.03	-0.03	0.01	0.38	0.16	-0.37	0.13	0.38	0.15	-0.37	0.13	
49	0.01	0.07	0.01	0.07	0.01	0.07	0.01	0.07	0.04	0.07	-0.03	0.04	0.04	0.05	-0.03	0.02	0.43	0.22	-0.42	0.11	0.43	0.20	-0.42	0.13
73	0.02	0.03	0.02	0.03	0.02	0.03	0.03	0.04	0.04	0.04	-0.02	0.01	0.04	0.03	-0.02	0.00	0.58	0.23	-0.55	0.18	0.57	0.22	-0.56	0.19
104	0.01	0.03	0.01	0.03	0.01	0.03	0.01	0.03	0.03	0.03	0.00	0.02	0.02	0.02	-0.01	0.01	0.57	0.23	-0.55	0.18	0.57	0.22	-0.55	0.19
18	3.78	3.49	3.78	3.49	3.78	3.49	3.78	3.49	3.24	2.98	3.21	2.97	1.84	1.68	1.82	1.67	3.47	3.05	2.98	2.90	2.08	1.75	1.58	1.60
118	3.78	3.49	3.78	3.49	3.78	3.49	3.78	3.49	3.23	2.97	3.21	2.97	1.84	1.68	1.82	1.68	3.47	3.05	2.98	2.90	2.07	1.75	1.58	1.60
159	-3.77	3.24	-3.77	3.24	-3.77	3.24	-3.77	3.24	-3.22	2.76	-3.21	2.76	-1.83	-1.56	-1.82	1.56	-2.97	2.66	-3.46	2.86	-1.58	1.46	-2.07	1.66
128	0.01	0.07	0.01	0.07	0.01	0.07	0.01	0.06	0.01	0.06	0.00	0.05	0.01	0.03	0.00	0.03	0.43	0.22	-0.42	0.11	0.43	0.19	-0.42	0.13
419	0.01	0.00	0.01	0.00	0.01	0.01	0.01	0.00	0.00	0.00	0.00	0.02	0.00	0.00	0.00	0.01	0.38	0.15	-0.37	0.13	0.37	0.15	-0.37	0.13
64	-4.08	3.49	-4.08	3.49	-4.08	3.48	-4.08	3.49	-3.45	2.98	-3.51	3.00	-1.95	-1.69	-2.00	1.71	-3.24	2.90	-3.73	3.09	-1.73	1.61	-2.22	1.79
9	0.01	0.02	0.01	0.02	0.01	0.03	0.01	0.02	0.04	0.05	-0.03	0.00	0.04	0.03	-0.03	0.00	0.37	0.19	-0.36	0.14	0.37	0.16	-0.37	0.13
50	0.01	0.11	0.01	0.11	0.01	0.11	0.01	0.10	0.04	0.11	-0.03	0.07	0.04	0.06	-0.03	0.03	0.41	0.28	-0.40	0.10	0.41	0.20	-0.41	0.12
74	0.01	0.03	0.01	0.03	0.01	0.03	0.01	0.02	0.04	0.04	-0.02	0.01	0.03	0.03	-0.02	0.00	0.56	0.22	-0.55	0.18	0.56	0.22	-0.55	0.19
105	0.01	0.02	0.01	0.02	0.01	0.03	0.01	0.02	0.02	0.03	-0.01	0.02	0.02	0.02	-0.01	0.01	0.56	0.22	-0.54	0.18	0.56	0.21	-0.55	0.19
19	4.09	3.81	4.09	3.81	4.09	3.81	4.09	3.81	3.50	3.28	3.48	3.27	1.99	1.87	1.96	1.86	3.73	3.35	3.24	3.20	2.22	1.93	1.73	1.79
119	4.08	3.81	4.08	3.81	4.08	3.81	4.08	3.81	3.50	3.28	3.48	3.27	1.98	1.86	1.97	1.86	3.73	3.35	3.25	3.20	2.22	1.93	1.74	1.79
160	-4.08	3.49	-4.08	3.49	-4.08	3.48	-4.08	3.49	-3.49	3.00	-3.48	2.99	-1.98	-1.70	-1.97	1.70	-3.24	2.90	-3.72	3.09	-1.73	1.61	-2.21	1.79
129	0.00	0.11	0.00	0.11	0.00	0.11	0.00	0.10	0.01	0.09	0.00	0.09	0.00	0.04	0.00	0.04	0.41	0.28	-0.40	0.10	0.41	0.20	-0.40	0.11
420	0.00	0.02	0.00	0.02	0.00	0.03	0.00	0.02	0.00	0.02	0.00	0.03	0.00	0.01	0.00	0.02	0.37	0.18	-0.36	0.13	0.37	0.15	-0.36	0.13
65	-0.96	0.99	-0.96	0.99	-0.96	0.99	-0.96	0.99	-0.81	0.78	-0.83	0.78	-0.46	0.40	-0.47	0.41	-0.74	0.75	-0.89	0.82	-0.39	0.38	-0.54	0.43
10	0.00	0.01	0.00	0.01	0.00	0.01	0.00	0.01	0.01	0.02	-0.01	0.00	0.01	0.01	-0.01	0.00	0.10	0.06	-0.10	0.05	0.10	0.05	-0.10	0.04
54	0.00	0.03	0.00	0.03	0.00	0.03	0.00	0.03	0.01	0.04	-0.01	0.02	0.01	0.02	-0.01	0.01	0.11	0.09	-0.11	0.04	0.11	0.06	-0.11	0.04
75	0.00	0.00	0.00	0.00	0.00	0.00	0.00	0.00	0.01	0.01	-0.01	0.00	0.01	0.01	-0.01	0.00	0.14	0.06	-0.14	0.05	0.14	0.05	-0.14	0.05
109	0.00	0.00	0.00	0.00	0.00	0.00	0.00	0.00	0.01	0.00	0.00	0.00	0.00	0.00	0.00	0.00	0.14	0.05	-0.14	0.05	0.14	0.05	-0.14	0.05
20	0.96	1.10	0.96	1.10	0.96	1.10	0.96	1.10	0.82	0.88	0.81	0.87	0.47	0.45	0.46	0.45	0.89	0.91	0.74	0.85	0.54	0.47	0.39	0.43
120	0.96	1.10	0.96	1.10	0.96	1.10	0.96	1.10	0.82	0.87	0.82	0.88	0.46	0.45	0.46	0.45	0.89	0.90	0.74	0.85	0.54	0.47	0.39	0.43
164	-0.96	0.99	-0.96	0.99	-0.96	0.99	-0.96	0.99	-0.82	0.78	-0.82	0.79	-0.47	0.41	-0.46	0.40	-0.75	0.75	-0.89	0.82	-0.39	0.38	-0.54	0.43
130	0.00	0.03	0.00	0.03	0.00	0.03	0.00	0.03	0.00	0.02	0.00	0.03	0.00	0.01	0.00	0.01	0.11	0.09	-0.11	0.04	0.11	0.06	-0.11	0.04
421	0.00	0.01	0.00	0.01	0.00	0.01	0.00	0.01	0.00	0.01	0.00	0.01	0.00	0.00	0.00	0.01	0.10	0.06	-0.10	0.04	0.10	0.05	-0.10	0.04

Fuente: Elaboración propia

Tabla 20 Máximos incrementos relativos C_M2 de la estructura de 4 pisos 2_5

Frame	4 Pisos 2_5 - C_M2 (Tonf-m)																								
	Comb 1		Comb 1-1		Comb 1-2		Comb 1-3		Comb 2		Comb 2-1		Comb 3		Comb 3-1		Comb 2-2		Comb 2-3		Comb 3-2		Comb 3-3		
	1°Ord	Prog	1°Ord	Prog	1°Ord	Prog	1°Ord	Prog	1°Ord	Prog	1°Ord	Prog	1°Ord	Prog	1°Ord	Prog	1°Ord	Prog	1°Ord	Prog	1°Ord	Prog	1°Ord	Prog	
56	-0.17	-0.21	-0.17	-0.21	-0.17	-0.21	-0.17	-0.21	-0.15	-0.18	-0.14	-0.18	-0.09	-0.10	-0.08	0.10	-0.18	-0.19	-0.12	-0.17	-0.11	-0.11	-0.06	0.09	
1	0.00	0.00	0.00	0.00	0.00	0.00	0.00	0.01	0.01	0.00	0.00	0.01	0.01	0.00	0.00	0.00	0.07	0.03	0.03	0.02	-0.03	-0.01	0.03	0.01	
21	0.00	0.02	0.00	0.02	0.00	0.02	0.00	0.01	0.02	0.00	0.01	0.01	0.01	0.00	0.00	0.08	0.05	0.03	0.02	0.08	0.04	0.03	0.02		
66	0.00	0.00	0.00	0.00	0.00	0.00	0.00	0.01	0.01	0.00	0.00	0.01	0.00	0.00	0.00	-0.08	-0.03	0.07	0.03	-0.07	-0.03	0.07	0.03		
76	0.00	0.00	0.00	0.00	0.00	0.00	0.00	0.00	0.00	0.00	0.00	0.00	0.00	0.00	0.00	-0.08	-0.03	0.07	0.03	-0.07	-0.03	0.07	0.03		
11	0.17	0.22	0.17	0.22	0.17	0.22	0.17	0.22	0.15	0.19	0.15	0.19	0.08	0.10	0.08	0.10	0.12	0.18	0.18	0.19	0.06	0.10	0.11	0.11	
111	0.17	0.22	0.17	0.22	0.17	0.22	0.17	0.22	0.14	0.18	0.15	0.19	0.08	0.10	0.09	0.11	0.12	0.18	0.18	0.19	0.06	0.10	0.11	0.11	
131	-0.17	-0.21	-0.17	-0.21	-0.17	-0.21	-0.17	-0.21	-0.15	-0.18	-0.15	-0.18	-0.08	-0.10	-0.09	0.10	-0.18	-0.19	-0.12	-0.17	-0.11	-0.11	-0.06	0.09	
121	0.00	0.02	0.00	0.02	0.00	0.02	0.00	0.02	0.00	0.02	0.00	0.02	0.00	0.01	0.00	0.08	0.04	0.03	0.02	0.08	0.04	0.03	0.02		
412	0.00	0.00	0.00	0.00	0.00	0.00	0.00	0.00	0.00	0.01	0.00	0.00	0.00	0.00	0.00	0.07	0.03	0.03	0.01	-0.03	-0.01	0.03	0.01		
63	-0.77	-0.68	-0.77	-0.68	-0.77	-0.68	-0.77	-0.68	-0.65	-0.57	-0.67	-0.58	-0.37	-0.32	-0.38	-0.33	-0.60	-0.55	-0.72	-0.60	-0.31	-0.30	0.03	0.02	
8	0.00	0.00	0.00	0.00	0.00	0.01	0.00	0.00	-0.02	-0.02	0.00	0.00	-0.02	-0.02	0.00	0.00	-0.23	-0.10	-0.01	0.00	0.01	0.00	-0.01	0.00	
49	0.00	-0.05	0.00	-0.05	0.00	-0.05	0.00	-0.04	-0.02	-0.05	0.00	0.00	-0.02	-0.03	0.00	0.00	-0.27	-0.14	0.00	0.00	-0.26	-0.12	0.00	0.00	
73	0.00	0.00	0.00	0.00	0.00	0.00	0.00	-0.03	0.03	0.00	0.00	-0.02	0.00	0.00	-0.35	-0.14	-0.01	0.00	0.01	0.00	-0.01	0.00			
104	0.00	0.00	0.00	0.00	0.00	0.00	0.00	-0.02	-0.02	0.00	0.00	-0.01	0.01	0.00	-0.35	-0.14	-0.01	0.00	0.01	0.00	-0.01	0.00	-0.01	0.00	
18	0.78	0.72	0.78	0.72	0.78	0.72	0.78	0.72	0.67	0.62	0.66	0.61	-0.03	-0.03	0.37	0.34	-0.05	-0.05	0.60	0.59	-0.03	-0.03	0.31	0.33	
118	0.78	0.72	0.78	0.72	0.78	0.72	0.78	0.72	0.67	0.61	0.66	0.61	0.38	0.35	0.37	0.35	-0.05	-0.05	0.60	0.59	-0.03	-0.03	0.31	0.33	
159	-0.77	-0.68	-0.77	-0.68	-0.77	-0.68	-0.77	-0.68	-0.66	-0.58	-0.66	-0.57	-0.38	-0.32	-0.37	-0.32	-0.60	-0.55	-0.72	-0.60	-0.31	-0.30	0.03	0.02	
128	0.00	-0.05	0.00	-0.05	0.00	-0.05	0.00	-0.04	0.00	-0.04	0.00	-0.04	0.00	-0.02	0.00	0.02	-0.26	-0.14	0.00	0.00	-0.26	-0.12	0.00	0.00	
419	0.00	0.00	0.00	0.00	0.00	0.00	0.00	0.00	0.00	0.00	0.00	0.01	0.00	0.00	0.00	0.01	-0.23	-0.09	-0.01	0.00	0.01	0.00	-0.01	0.00	
64	2.34	2.03	2.34	2.03	2.34	2.03	2.34	2.03	1.99	1.72	2.02	1.74	-0.10	-0.09	1.15	0.98	1.87	1.68	2.13	1.78	-0.08	-0.08	1.26	1.03	
9	0.00	0.01	0.00	0.01	0.00	0.01	0.00	0.01	0.00	0.02	0.00	0.00	0.00	0.02	0.00	0.02	0.02	0.02	0.20	0.08	0.02	0.01	0.21	0.07	
50	0.00	0.01	0.00	0.01	0.00	0.01	0.00	0.01	0.00	0.02	-0.04	0.00	0.01	0.02	0.00	0.02	0.02	0.02	0.23	0.07	0.02	0.01	0.23	0.07	
74	0.00	0.00	0.00	0.00	0.01	0.00	0.00	-0.02	-0.02	0.00	0.00	-0.02	0.02	0.00	0.00	-0.33	-0.13	-0.02	0.01	0.02	0.01	-0.02	0.01		
105	0.00	0.00	0.00	0.00	0.00	0.01	0.00	0.00	-0.01	0.02	0.00	0.00	-0.01	0.01	0.00	0.00	-0.33	-0.13	-0.02	0.01	0.02	0.01	-0.02	0.01	
19	-2.35	-2.19	-2.35	-2.19	-2.35	-2.19	-2.35	-2.19	0.18	0.18	0.18	0.18	0.18	0.10	0.11	0.10	0.11	0.20	0.19	0.15	0.17	0.12	0.12	0.08	0.10
119	-2.34	-2.19	-2.34	-2.19	-2.34	-2.19	-2.34	-2.19	0.18	0.18	0.18	0.18	0.18	0.10	0.11	0.10	0.11	0.20	0.19	0.15	0.17	0.12	0.12	0.08	0.10
160	2.34	2.03	2.34	2.03	2.34	2.03	2.34	2.03	2.01	1.73	2.00	1.73	1.14	0.98	1.13	0.98	1.87	1.68	2.13	1.78	-0.08	-0.08	1.26	1.03	
129	0.00	0.01	0.00	0.01	0.00	0.01	0.00	0.01	0.00	-0.05	0.00	0.01	0.00	-0.02	0.00	0.01	0.02	0.02	0.23	0.06	0.02	0.01	0.23	0.07	
420	0.00	0.01	0.00	0.01	0.00	0.01	0.00	0.01	0.00	-0.02	0.00	0.00	0.00	0.01	0.02	0.02	0.20	0.08	0.02	0.01	0.20	0.07			
65	-0.30	-0.31	-0.30	-0.31	-0.30	-0.31	-0.30	-0.31	-0.25	-0.24	0.35	0.34	-0.14	-0.13	0.20	0.17	-0.14	-0.20	0.29	0.32	-0.03	-0.08	0.14	0.15	
10	0.00	0.00	0.00	0.00	0.00	0.00	0.00	0.00	-0.02	0.00	-0.01	0.00	-0.01	0.00	0.00	-0.07	-0.05	-0.03	-0.03	-0.07	-0.04	-0.03	0.02		
54	0.00	0.01	0.00	0.01	0.00	0.01	0.00	0.01	-0.01	-0.05	0.00	-0.02	-0.01	-0.03	0.00	0.01	-0.08	-0.09	-0.02	-0.04	-0.08	-0.06	-0.02	0.02	
75	0.00	-0.01	0.00	-0.01	0.00	-0.01	0.00	0.00	0.00	0.00	0.00	0.00	0.00	0.00	0.00	-0.13	-0.05	0.00	0.01	-0.13	-0.05	0.00			
109	0.00	0.00	0.00	0.00	0.00	0.00	0.00	0.00	-0.01	0.00	0.00	0.00	0.00	0.00	0.00	-0.13	-0.05	0.00	-0.01	-0.13	-0.05	0.00			
20	0.30	0.35	0.30	0.35	0.30	0.35	0.35	-0.35	0.38	0.25	0.27	-0.20	-0.19	0.14	0.14	-0.29	-0.35	0.14	0.23	-0.14	-0.17	0.03	0.10		
120	0.30	0.35	0.30	0.35	0.30	0.35	0.25	0.28	0.26	0.28	0.14	0.14	0.15	0.14	-0.30	-0.35	0.14	0.23	-0.14	-0.17	0.03	0.10			
164	-0.30	-0.31	-0.30	-0.31	-0.30	-0.31	0.36	0.34	-0.26	-0.25	-0.15	-0.13	-0.14	-0.13	0.13	-0.14	-0.20	0.30	0.32	-0.03	-0.09	0.14	0.15		
130	0.00	-0.02	0.00	-0.02	0.00	-0.02	0.00	-0.02	0.00	-0.05	0.00	-0.01	0.00	-0.02	-0.08	-0.08	-0.02	-0.04	-0.08	-0.06	-0.02	0.02			
421	0.00	0.01	0.00	0.01	0.00	0.01	0.00	0.01	0.00	0.02	0.00	0.00	0.00	0.01	-0.07	0.05	-0.03	0.03	0.03	-0.07	0.04	0.03	0.02		

Fuente: Elaboración propia

Tabla 21 Máximos incrementos relativos C_M3 de la estructura de 4 pisos 2_5

Frame	4 Pisos 2_5 - C_M3 (Tonf-m)																							
	Comb 1		Comb 1-1		Comb 1-2		Comb 1-3		Comb 2		Comb 2-1		Comb 3		Comb 3-1		Comb 2-2		Comb 2-3		Comb 3-2		Comb 3-3	
	1°Ord	Prog	1°Ord	Prog	1°Ord	Prog	1°Ord	Prog	1°Ord	Prog	1°Ord	Prog	1°Ord	Prog	1°Ord	Prog	1°Ord	Prog	1°Ord	Prog	1°Ord	Prog	1°Ord	Prog
56	0.01	0.00	0.01	0.00	0.01	0.00	0.01	0.00	-0.03	-0.02	0.04	0.03	-0.03	-0.02	0.04	0.02	0.00	0.00	0.01	0.00	0.00	0.00	0.01	0.00
1	-0.03	-0.02	-0.03	-0.02	-0.03	-0.02	-0.03	-0.02	-0.03	-0.05	-0.05	-0.03	0.00	0.01	0.06	0.03	-0.02	-0.02	-0.02	-0.01	-0.01	-0.02	-0.01	-0.01
21	-0.03	0.00	-0.03	0.00	-0.03	0.00	-0.03	0.00	-0.05	-0.02	0.00	0.01	-0.04	-0.02	0.02	0.01	-0.03	0.00	-0.02	0.00	-0.01	0.00	-0.01	0.00
66	-0.05	-0.02	-0.05	0.02	-0.05	-0.02	-0.05	-0.02	-0.06	-0.03	0.00	0.00	-0.04	-0.02	-0.01	-0.01	-0.05	-0.02	-0.04	-0.02	-0.03	-0.01	-0.03	-0.01
76	0.05	0.02	0.05	0.02	0.05	0.02	0.05	0.02	0.00	0.00	0.06	0.03	0.01	0.01	0.05	0.02	0.05	0.02	0.05	0.02	0.03	0.01	0.03	0.01
11	0.01	0.00	0.01	0.00	0.01	0.00	0.01	0.00	-0.04	-0.02	0.05	0.03	-0.04	-0.02	0.04	0.03	0.00	0.00	0.01	0.00	0.00	0.00	0.00	0.00
111	-0.01	0.00	-0.01	0.00	-0.01	0.00	-0.01	0.00	-0.05	-0.03	0.04	0.02	-0.04	-0.03	0.04	0.02	-0.01	0.00	0.00	0.00	-0.01	0.00	0.00	0.00
131	-0.01	0.00	-0.01	0.00	-0.01	0.00	-0.01	0.00	-0.04	-0.03	0.03	0.02	-0.04	-0.02	0.03	0.02	-0.01	0.00	-0.01	0.00	0.00	0.00	0.00	0.00
121	0.03	0.00	0.03	0.00	0.03	0.00	0.03	0.00	0.00	-0.01	0.05	0.02	-0.02	-0.01	0.04	0.02	0.02	0.00	0.03	0.00	0.01	0.00	0.01	0.00
412	0.03	0.02	0.03	0.02	0.03	0.02	0.03	0.02	0.05	0.03	0.02	0.05	-0.06	-0.03	0.00	-0.01	0.02	0.02	0.02	0.02	0.01	0.01	0.01	0.01
63	-0.03	-0.01	-0.03	-0.01	-0.03	-0.01	-0.03	-0.01	0.01	0.00	-0.15	-0.06	0.00	0.00	-0.14	-0.05	-0.02	-0.01	-0.03	-0.01	-0.01	-0.01	-0.02	-0.01
8	0.16	0.11	0.16	0.11	0.16	0.11	0.16	0.11	0.00	0.04	0.28	0.14	0.00	0.00	0.00	0.00	0.13	0.09	0.14	0.10	0.00	0.00	0.00	0.00
49	-0.01	0.00	-0.01	0.00	-0.01	0.00	-0.01	0.00	0.00	0.00	0.12	0.08	0.10	0.03	0.00	0.00	-0.01	0.00	-0.01	0.00	0.00	0.00	0.00	0.00
73	0.08	0.03	0.08	0.03	0.08	0.03	0.08	0.03	0.14	0.06	0.02	0.02	0.11	0.04	-0.01	0.00	0.07	0.03	0.06	0.03	0.04	0.02	0.04	0.02
104	-0.08	-0.03	-0.08	-0.03	-0.08	-0.03	-0.08	-0.03	-0.02	-0.02	-0.14	-0.06	0.01	0.00	-0.11	-0.04	-0.06	-0.03	-0.07	-0.03	-0.04	-0.02	-0.04	-0.02
18	-0.03	-0.01	-0.03	-0.01	-0.03	-0.01	-0.03	-0.01	0.00	0.00	-0.16	-0.06	0.00	0.00	-0.15	-0.06	-0.02	-0.01	-0.03	-0.01	-0.01	-0.01	-0.02	-0.01
118	0.03	0.01	0.03	0.01	0.03	0.01	0.03	0.01	0.16	0.06	0.00	0.00	0.15	0.06	0.00	0.00	0.03	0.01	0.02	0.01	0.01	0.01	0.01	0.01
159	0.03	0.01	0.03	0.01	0.03	0.01	0.03	0.01	0.14	0.05	0.00	0.00	0.14	0.05	0.00	0.00	0.03	0.01	0.02	0.01	0.01	0.02	0.01	0.01
128	0.01	0.00	0.01	0.00	0.01	0.00	0.01	0.00	-0.12	-0.08	0.00	0.00	0.00	0.00	-0.10	-0.03	0.01	0.00	0.01	0.00	0.00	0.00	0.00	0.00
419	-0.16	-0.11	-0.16	-0.11	-0.16	-0.11	-0.16	-0.11	-0.27	-0.14	0.00	0.00	0.00	0.00	0.00	0.00	-0.14	-0.09	-0.13	-0.09	0.00	0.00	0.00	0.00
64	-0.03	-0.01	-0.03	-0.01	-0.03	-0.01	-0.03	-0.01	-0.23	-0.08	-0.01	-0.01	0.02	0.00	-0.01	-0.01	-0.02	-0.01	-0.03	-0.02	-0.01	-0.01	-0.02	-0.01
9	0.00	0.00	0.00	0.00	0.00	0.00	0.00	0.00	0.01	0.07	-0.02	-0.01	0.02	0.01	-0.02	-0.01	0.00	0.00	0.00	0.00	-0.03	-0.02	0.00	0.00
50	-0.01	-0.01	-0.01	-0.01	-0.01	-0.01	-0.01	0.00	0.00	0.12	0.10	0.01	0.00	0.16	0.08	-0.01	-0.01	-0.01	-0.01	0.00	-0.01	0.00	0.00	0.00
74	0.06	0.03	0.06	0.03	0.06	0.03	0.06	0.03	0.01	0.01	-0.04	-0.04	0.01	0.01	-0.02	-0.01	0.06	0.03	0.05	0.03	0.04	0.02	0.03	0.02
105	-0.07	-0.03	-0.07	-0.03	-0.07	-0.03	-0.07	-0.03	0.04	0.04	-0.01	-0.01	0.02	0.01	-0.01	-0.01	-0.05	-0.03	-0.06	-0.03	-0.02	-0.04	-0.02	-0.02
19	-0.03	-0.01	-0.03	-0.01	-0.03	-0.01	-0.03	-0.01	-0.26	-0.09	-0.01	-0.01	0.02	0.01	-0.01	-0.01	-0.02	-0.01	-0.02	-0.01	-0.01	-0.01	-0.02	-0.01
119	0.02	0.01	0.02	0.01	0.02	0.01	0.02	0.01	0.01	0.01	0.26	0.09	0.01	0.01	-0.02	-0.01	0.03	0.02	0.01	0.01	0.02	0.01	0.01	0.01
160	0.02	0.01	0.02	0.01	0.02	0.01	0.01	0.01	0.23	0.08	0.01	0.01	-0.02	0.00	0.02	0.01	0.02	0.01	0.01	0.01	0.01	0.02	0.01	0.01
129	0.01	0.01	0.01	0.01	0.01	0.01	0.01	0.01	-0.12	-0.09	0.00	0.00	-0.16	-0.08	-0.01	0.00	0.01	0.01	0.01	0.00	0.01	0.01	0.01	0.00
420	0.00	0.00	0.00	0.00	0.00	0.00	0.00	0.00	-0.26	-0.16	-0.01	-0.07	0.02	0.01	-0.02	-0.01	0.00	0.00	0.00	0.00	0.00	0.00	0.00	0.02
65	0.01	0.01	-0.01	-0.01	0.01	0.01	0.01	0.01	0.01	0.01	-0.02	-0.01	0.01	0.01	-0.02	-0.01	0.00	0.00	-0.01	0.00	0.00	0.01	0.00	0.00
10	0.02	0.02	-0.02	-0.02	0.02	0.02	0.02	0.02	0.07	0.11	0.08	0.01	0.03	0.09	0.05	-0.01	-0.01	0.02	0.02	-0.01	-0.01	0.01	0.01	0.01
54	0.01	0.00	-0.01	0.00	-0.01	0.00	-0.01	0.00	0.01	0.03	0.05	0.04	0.02	0.02	0.07	0.04	0.01	0.00	-0.01	0.00	0.01	0.00	0.00	0.00
75	0.02	0.01	-0.04	-0.02	0.02	0.01	0.02	0.01	-0.02	-0.01	-0.02	-0.03	-0.14	-0.05	-0.05	-0.03	-0.03	-0.01	0.02	0.01	-0.02	-0.01	0.01	0.00
109	0.03	0.02	-0.02	-0.01	-0.02	-0.01	0.03	0.02	0.02	0.03	0.02	0.01	0.05	0.03	0.14	0.05	0.05	-0.02	-0.01	0.03	0.01	-0.01	-0.01	0.02
20	0.01	0.01	-0.01	-0.01	0.01	0.01	0.01	0.01	0.01	0.01	-0.02	-0.01	0.01	0.01	-0.03	-0.01	0.00	0.00	0.01	0.00	-0.01	-0.01	0.00	0.00
120	0.01	0.01	-0.01	-0.01	0.01	0.01	0.01	0.00	0.02	0.01	-0.01	-0.01	0.03	0.01	-0.01	-0.01	0.00	0.01	0.00	0.01	-0.01	0.00	0.00	0.01
164	0.01	0.01	-0.01	-0.01	0.01	0.01	0.01	0.00	0.02	0.01	-0.01	-0.01	0.02	0.01	-0.01	-0.01	0.00	0.00	0.00	0.00	0.00	0.00	0.00	0.00
130	0.05	-0.02	-0.01	0.00	-0.01	0.00	-0.01	0.00	-0.05	-0.04	-0.01	-0.03	-0.07	-0.04	-0.02	-0.02	0.01	0.00	-0.01	0.00	0.00	0.00	-0.01	0.00
421	0.02	0.02	-0.02	-0.03	0.02	0.02	0.02	0.02	-0.11	-0.08	-0.02	-0.07	-0.09	-0.05	-0.01	-0.03	-0.02	-0.02	0.01	0.01	-0.01	-0.01	0.00	0.00

Fuente: Elaboración propia

Tabla 22 Máximos incrementos relativos V_V2 de la estructura de 4 pisos 2_5

Frame	4 Pisos 2_5 - V_V2 (Tonf)																								
	Comb 1		Comb 1-1		Comb 1-2		Comb 1-3		Comb 2		Comb 2-1		Comb 3		Comb 3-1		Comb 2-2		Comb 2-3		Comb 3-2				
	1°Ord	Prog	1°Ord	Prog	1°Ord	Prog	1°Ord	Prog	1°Ord	Prog	1°Ord	Prog	1°Ord	Prog	1°Ord	Prog	1°Ord	Prog	1°Ord	Prog	1°Ord	Prog			
186	-0.80	0.81	-0.80	0.82	-0.80	0.81	-0.80	0.82	-0.58	0.64	0.10	0.11	-0.28	0.35	0.01	0.04	-0.56	0.64	0.09	0.11	-0.27	0.34	0.50	0.54	
229	0.32	0.52	0.32	0.52	0.32	0.52	0.32	0.51	0.29	0.44	0.26	0.44	0.17	0.25	0.14	0.25	0.41	0.50	0.14	0.38	0.29	0.31	0.02	0.19	
520	0.04	0.26	0.04	0.26	0.04	0.26	0.04	0.26	0.08	0.17	0.09	0.38	0.06	0.06	0.06	0.06	0.27	0.05	0.24	0.04	0.23	0.08	0.18	0.07	0.18
530	-0.09	-0.51	-0.09	-0.51	-0.09	-0.51	-0.09	-0.51	1.24	0.80	-0.09	-0.36	-0.03	-0.32	-0.08	-0.19	-0.10	-0.46	-0.11	-0.47	-0.05	-0.25	-0.06	0.26	
540	0.10	0.11	0.00	0.00	0.10	0.10	0.10	0.10	-0.02	-0.07	0.02	0.07	-0.07	-0.12	0.07	0.12	0.01	0.01	0.09	0.09	-0.06	-0.06	0.06	0.06	
422	-1.20	-0.68	-1.20	-0.68	-1.20	-0.68	-1.20	-0.68	0.05	0.29	-1.37	-0.75	0.03	0.07	-1.00	-0.57	-1.10	-0.64	-0.99	-0.58	-0.73	-0.46	0.02	0.22	
453	-0.05	-0.37	-0.05	-0.37	-0.05	-0.37	-0.05	-0.37	-0.01	-0.40	-0.01	-0.16	-0.01	-0.29	-0.04	-0.07	-0.14	-0.45	-0.13	-0.37	-0.04	-0.23	-0.07	0.18	
286	0.67	1.18	0.67	1.18	0.67	1.18	0.67	1.18	0.47	0.96	0.05	0.43	0.20	0.52	0.06	0.26	0.43	0.56	0.09	0.83	-0.26	-0.31	0.36	0.92	
299	0.68	1.18	0.68	1.18	0.68	1.18	0.68	1.18	0.09	0.45	0.44	0.95	0.10	0.27	0.17	0.50	0.43	0.56	0.09	0.83	-0.25	-0.31	0.36	0.92	
581	0.00	-0.07	0.00	-0.07	0.00	-0.07	0.00	-0.07	-0.05	-0.13	-1.49	-1.29	-0.07	-0.12	0.12	0.11	-0.01	-0.07	-0.01	-0.06	-0.03	-0.07	-0.03	0.06	
324	-0.65	-1.13	-0.65	-1.13	-0.65	-1.13	-0.65	-1.14	-0.40	-0.88	-0.09	-0.43	-0.14	-0.46	-0.11	-0.27	-0.07	-0.74	-0.42	-0.57	-0.34	-0.85	0.25	0.28	
340	-0.65	-1.13	-0.65	-1.13	-0.65	-1.13	-0.65	-1.14	-0.05	-0.40	-0.44	-0.91	-0.06	-0.24	-0.19	-0.48	-0.08	-0.75	-0.41	-0.56	-0.35	-0.85	0.26	0.29	
591	0.13	0.13	0.13	0.13	0.13	0.13	0.13	0.13	0.02	0.02	-0.02	-0.02	0.02	0.02	-0.02	0.11	0.11	-0.11	-0.11	0.08	0.08	-0.08	-0.08		
215	0.80	0.84	0.80	0.84	0.80	0.84	0.80	0.84	0.60	0.68	-0.11	-0.12	0.30	0.37	-0.02	-0.05	-0.09	-0.12	0.57	0.67	0.00	-0.04	0.28	0.37	
270	-0.32	0.42	-0.32	0.42	-0.32	0.42	-0.32	0.42	-0.26	-0.35	-0.28	-0.36	-0.14	-0.20	-0.16	-0.21	-0.13	-0.31	0.60	0.60	-0.01	0.15	0.28	0.32	
443	-1.20	-0.68	-1.20	-0.68	-1.20	-0.68	-1.20	-0.68	0.09	0.31	-1.42	-0.77	0.07	0.09	-1.04	-0.59	0.01	0.41	-1.13	-0.65	0.04	0.23	-0.75	0.47	
463	-0.04	-0.37	-0.04	-0.37	-0.04	-0.37	-0.04	-0.37	1.27	0.87	-0.01	-0.16	0.00	-0.28	-0.04	0.07	-0.11	-0.35	0.00	-0.31	-0.05	-0.18	-0.05	0.24	
367	-0.32	0.42	-0.32	0.42	-0.32	0.42	-0.32	0.42	-0.27	-0.36	-0.27	-0.36	-0.15	-0.20	-0.16	0.20	-0.13	-0.31	0.60	0.60	-0.02	0.15	0.28	0.32	
353	0.32	0.51	0.32	0.51	0.32	0.52	0.32	0.51	0.27	0.44	0.27	0.44	0.15	0.25	0.16	0.25	0.41	0.50	0.14	0.38	0.29	0.31	0.02	0.19	
489	0.04	0.37	0.04	0.37	0.04	0.37	0.04	0.37	0.01	0.16	-1.27	-0.88	0.05	0.08	-0.91	0.63	0.12	0.36	0.13	0.44	0.07	0.18	0.03	0.23	
551	0.09	0.52	0.09	0.51	0.09	0.51	0.09	0.51	0.09	0.36	-1.24	-0.79	0.08	0.19	0.03	0.32	0.11	0.47	0.10	0.46	0.05	0.26	0.05	0.26	
473	0.05	0.37	0.05	0.37	0.05	0.37	0.05	0.37	0.00	0.16	0.02	0.40	0.03	0.07	0.02	0.29	0.01	0.32	0.12	0.36	0.05	0.24	0.06	0.18	
402	0.80	0.84	0.80	0.84	0.80	0.84	0.80	0.84	-0.10	-0.12	0.59	0.68	-0.02	-0.05	0.29	0.37	-0.08	-0.11	0.57	0.67	-0.50	-0.55	0.27	0.36	
392	-0.80	-0.82	-0.80	-0.81	-0.80	-0.81	-0.80	-0.82	0.11	0.12	-0.58	-0.65	0.02	0.05	-0.29	-0.35	-0.57	-0.64	0.09	0.11	-0.28	-0.35	0.01	0.04	
510	1.20	0.68	1.20	0.68	1.20	0.68	1.20	0.68	1.41	0.76	-0.09	-0.31	1.03	0.59	-0.07	0.09	0.99	0.58	1.09	0.63	-0.01	-0.22	0.72	0.46	
561	-0.04	-0.26	-0.04	-0.26	-0.04	-0.26	-0.04	-0.26	-0.09	-0.38	-0.09	-0.17	-0.06	-0.27	-0.06	0.06	-0.04	-0.23	-0.05	-0.24	-0.07	-0.18	-0.08	0.18	
500	1.19	0.68	1.19	0.67	1.19	0.68	1.19	0.68	1.37	0.75	-0.06	-0.30	1.00	0.57	-0.04	-0.08	1.11	0.64	-0.01	-0.41	0.74	0.47	-0.04	0.23	
176	-0.49	-0.49	-0.49	-0.49	-0.49	-0.49	-0.49	-0.49	-0.50	-0.36	-0.40	-0.38	0.40	-0.19	-0.22	0.20	0.23	-0.01	-0.24	0.02	0.24	-0.08	0.31	0.09	0.32
571	-0.49	0.50	-0.49	0.50	-0.49	0.49	-0.49	0.50	0.41	0.42	-0.40	-0.42	0.23	0.24	-0.23	-0.24	-0.02	-0.24	0.03	0.24	-0.10	0.32	0.10	0.32	
207	-1.50	-1.78	-1.50	-1.78	-1.50	-1.78	-1.50	-1.78	-1.15	-1.41	-1.41	-1.58	-0.60	-0.78	-0.86	0.92	-1.09	-1.39	-1.47	-1.60	-0.54	-0.75	-0.92	0.94	
236	0.61	0.86	0.61	0.86	0.61	0.86	0.61	0.85	0.55	0.74	0.50	0.72	0.32	0.42	0.27	0.41	0.75	0.83	0.30	0.63	-0.61	-0.62	0.07	0.31	
527	0.09	0.33	0.09	0.33	0.09	0.33	0.09	0.33	0.04	0.05	-1.05	-0.64	-0.02	-0.10	-0.80	0.48	0.10	0.30	0.08	0.29	0.04	0.16	0.02	0.15	
537	-0.02	-0.50	-0.02	-0.50	-0.02	-0.50	-0.02	-0.50	1.37	0.83	-0.10	-0.38	0.96	0.59	-0.03	0.13	-0.03	-0.45	-0.05	-0.46	-0.01	-0.24	-0.02	0.25	
547	0.10	0.10	0.00	0.00	0.10	0.10	0.10	0.10	0.66	0.49	-0.66	-0.50	0.57	0.40	-0.57	0.40	-0.08	-0.09	0.08	0.08	-0.06	-0.06	0.05	0.06	
439	-1.44	-0.72	-1.44	-0.72	-1.44	-0.72	-1.44	-0.72	0.08	0.32	-1.82	-0.85	-0.04	-0.07	-1.36	-0.66	-1.32	-0.67	-1.18	-0.62	-0.86	-0.49	-0.73	-0.43	
460	-0.14	-0.52	-0.14	-0.53	-0.14	-0.53	-0.14	-0.53	1.40	0.89	-0.03	-0.18	1.02	0.65	0.00	0.01	-0.06	-0.44	-0.09	-0.36	-0.08	-0.33	-0.05	0.18	
294	0.70	1.22	0.70	1.22	0.70	1.23	0.70	1.22	0.50	1.00	0.69	1.08	0.23	0.55	0.42	0.62	1.24	1.26	1.20	2.08	-0.44	-0.62	0.38	1.08	
312	0.69	1.22	0.69	1.22	0.69	1.22	0.69	1.22	0.73	1.10	0.44	0.98	0.46	0.64	0.18	0.53	1.24	1.26	1.19	2.08	-0.44	-0.62	0.38	1.07	
588	0.00	0.00	0.00	0.00	0.00	0.00	0.00	0.00	0.00	0.00	-0.08	-0.16	0.00	0.00	-0.03	0.06	0.00	0.00	0.00	0.00	0.00	0.00	0.00	0.05	
337	-0.67	-1.16	-0.67	-1.16	-0.67	-1.16	-0.67	-1.17	-0.40	-0.91	-0.74	-1.07	-0.14	-0.48	-0.48	0.63	-1.16	-1.97	-1.23	-1.27	-0.36	-0.98	0.44	0.58	
348	-0.67	-1.17	-0.67	-1.16	-0.67	-1.16	-0.67	-1.17	-0.68	-1.04	-0.46	-0.94	-0.42	-0.61	-0.20	0.50	-1.18	-1.97	-1.22	-1.27	-0.37	-0.99	0.46	0.59	
598	0.13	0.13	0.00	0.00	0.13	0.13	0.13	0.13	-0.03	-0.04	0.02	0.04	-0.08	0.10	0.07	0.10	0.11	0.12	0.00	0.00	0.08	0.08	0.00	0.00	
226	1.50	1.78	1.50	1.78	1.50	1.78	1.50	1.78	1.18	1.48	1.39	1.56	0.63	0.83	0.83	0.91	1.47	1.59	1.10	1.45	0.92	0.93	0.55	0.80	
283	-0.60	-0.67	-0.60	-0.6																					

578	-0.92	-0.92	-0.92	-0.92	-0.92	-0.92	-0.92	-0.93	0.77	0.79	-0.76	-0.78	0.43	0.45	-0.42	-0.45	-0.15	-0.58	0.17	0.58	-0.28	-0.71	0.29	0.71
208	-1.42	-1.76	-1.42	-1.76	-1.42	-1.76	-1.42	-1.77	-1.09	-1.40	-1.34	-1.56	-0.57	-0.78	-0.82	-0.91	-1.03	-1.38	-1.40	-1.58	-0.51	-0.75	-0.88	-0.93
237	0.61	0.82	0.61	0.82	0.61	0.82	0.61	0.82	0.54	0.70	0.50	0.69	0.31	0.40	0.27	0.38	0.73	0.79	0.31	0.60	-0.63	-0.65	0.08	0.30
528	0.04	0.23	0.04	0.23	0.04	0.23	0.04	0.23	-0.04	-0.06	-0.98	-0.62	-0.07	-0.17	-0.75	-0.46	0.05	0.22	0.03	0.21	0.08	0.17	0.06	0.16
538	-0.13	-0.53	-0.13	-0.53	-0.13	-0.53	-0.13	-0.53	1.26	0.80	-0.04	-0.26	0.89	0.57	-0.07	-0.14	-0.13	-0.48	-0.01	-0.34	-0.06	-0.26	-0.08	-0.27
548	0.10	0.10	0.00	0.00	0.10	0.10	0.10	0.10	0.67	0.49	-0.67	-0.49	0.58	0.39	-0.58	-0.39	-0.08	-0.09	0.08	0.08	-0.06	-0.06	0.05	0.06
441	-1.28	-0.68	-1.28	-0.68	-1.28	-0.68	-1.28	-0.68	0.06	0.22	-1.66	-0.80	-0.08	-0.16	-1.26	-0.63	-1.18	-0.63	-1.06	-0.59	-0.77	-0.46	0.04	0.29
461	-0.07	-0.39	-0.07	-0.39	-0.07	-0.39	-0.07	-0.39	1.31	0.86	-0.09	-0.19	0.96	0.63	0.04	0.06	-0.14	-0.47	-0.02	-0.24	-0.03	-0.24	-0.01	-0.12
295	0.84	1.27	0.84	1.27	0.84	1.27	0.84	1.26	0.64	1.05	0.80	1.11	0.32	0.58	0.47	0.64	-1.19	-1.23	0.12	0.89	-0.42	-0.61	0.50	1.12
317	0.84	1.27	0.84	1.27	0.84	1.27	0.84	1.26	0.84	1.13	0.59	1.03	0.52	0.65	0.27	0.56	-1.20	-1.23	0.11	0.88	-0.42	-0.61	0.50	1.12
589	0.00	0.00	0.00	0.00	0.00	0.00	0.00	0.00	0.00	0.00	-0.03	-0.07	0.03	0.04	0.00	0.00	0.00	0.00	0.00	0.00	0.00	0.00	-0.01	-0.04
338	-0.83	-1.22	-0.83	-1.23	-0.83	-1.22	-0.83	-1.23	-0.56	-0.97	-0.85	-1.11	-0.24	-0.52	-0.53	-0.65	-0.09	-0.79	1.20	1.21	-0.48	-1.04	0.42	0.58
349	-0.82	-1.22	-0.82	-1.22	-0.82	-1.22	-0.82	-1.23	-0.80	-1.09	-0.61	-1.00	-0.48	-0.63	-0.29	-0.54	-0.10	-0.79	1.21	1.21	-0.49	-1.04	0.43	0.58
599	0.13	0.13	0.00	0.00	0.13	0.13	0.13	0.13	-0.07	-0.12	0.07	0.12	-0.01	-0.06	0.01	0.06	0.00	0.00	0.11	0.11	0.00	0.00	0.08	0.08
227	1.43	1.76	1.43	1.77	1.43	1.77	1.43	1.76	1.13	1.47	1.31	1.55	0.60	0.82	0.79	0.90	1.40	1.57	1.04	1.44	0.87	0.92	0.52	0.79
284	-0.60	-0.63	-0.60	-0.63	-0.60	-0.63	-0.60	-0.63	-0.50	-0.53	-0.53	-0.54	-0.28	-0.30	-0.30	-0.31	-0.30	-0.46	1.28	1.40	-0.08	-0.23	0.63	0.77
451	-1.28	-0.68	-1.28	-0.69	-1.28	-0.68	-1.28	-0.68	0.00	0.11	-1.73	-0.83	-0.01	-0.13	-1.33	-0.65	-1.02	-0.58	-1.21	-0.65	0.01	0.23	-0.81	-0.48
471	-0.06	-0.39	-0.06	-0.39	-0.06	-0.39	-0.06	-0.39	1.33	0.87	-0.09	-0.19	0.97	0.63	0.04	0.06	-0.13	-0.37	-0.01	0.33	-0.06	-0.18	-0.05	-0.25
390	-0.60	-0.63	-0.60	-0.63	-0.60	-0.63	-0.60	-0.63	-0.51	-0.53	-0.52	-0.53	-0.29	-0.30	-0.30	-0.30	-0.30	-0.46	1.28	1.40	-0.08	-0.23	0.64	0.77
361	0.61	0.82	0.61	0.82	0.61	0.82	0.61	0.82	0.52	0.70	0.52	0.69	0.29	0.39	0.30	0.39	0.73	0.79	0.31	0.60	-0.63	-0.66	0.08	0.30
498	0.06	0.39	0.06	0.38	0.06	0.39	0.06	0.39	0.09	0.19	-1.33	-0.87	-0.04	-0.06	-0.98	-0.64	0.01	0.24	0.13	0.46	0.01	0.11	0.02	0.24
559	0.13	0.53	0.13	0.53	0.13	0.53	0.13	0.53	0.04	0.26	-1.27	-0.80	0.07	0.14	-0.89	-0.57	0.00	0.34	0.13	0.48	0.08	0.27	0.06	0.26
482	0.06	0.39	0.06	0.39	0.06	0.39	0.06	0.39	0.07	0.19	-1.31	-0.86	-0.06	-0.06	-0.96	-0.63	0.01	0.33	0.14	0.37	0.04	0.25	0.07	0.19
410	1.43	1.76	1.43	1.76	1.43	1.76	1.43	1.76	1.33	1.55	1.11	1.46	0.80	0.90	0.59	0.82	1.40	1.57	1.04	1.44	0.88	0.93	0.51	0.79
400	-1.42	-1.76	-1.42	-1.76	-1.42	-1.76	-1.42	-1.77	-1.32	-1.55	-1.11	-1.41	-0.80	-0.90	-0.58	-0.78	-1.04	-1.38	-1.39	-1.57	-0.52	-0.76	-0.87	-0.93
518	1.28	0.68	1.28	0.68	1.28	0.68	1.28	0.68	1.72	0.82	0.00	-0.11	1.32	0.65	0.02	0.14	1.07	0.59	1.16	0.63	-0.04	-0.28	0.76	0.46
569	-0.04	-0.23	-0.04	-0.23	-0.04	-0.23	-0.04	-0.23	0.97	0.62	0.04	0.06	0.75	0.46	0.07	0.17	-0.04	-0.21	-0.06	-0.22	-0.06	-0.16	-0.08	-0.17
508	1.28	0.68	1.28	0.67	1.28	0.68	1.28	0.68	1.66	0.80	-0.08	-0.22	1.26	0.63	0.07	0.15	1.20	0.64	1.02	0.57	0.80	0.47	0.00	-0.23
184	-0.91	-0.92	-0.91	-0.92	-0.91	-0.92	-0.91	-0.93	-0.70	-0.76	0.72	0.77	-0.37	-0.43	0.38	0.43	-0.18	-0.59	0.20	0.59	-0.31	-0.72	0.32	0.72
579	-0.92	-0.92	-0.92	-0.92	-0.92	-0.92	-0.93	-0.77	0.79	-0.76	-0.78	0.43	0.45	-0.43	-0.45	-0.20	-0.60	0.21	0.60	-0.33	-0.72	0.33	0.72	
214	-1.10	-1.55	-1.10	-1.55	-1.10	-1.55	-1.10	-1.55	-0.85	-1.28	-1.03	-1.37	-0.44	-0.72	-0.63	-0.80	-0.80	-1.26	-1.08	-1.40	-0.40	-0.69	-0.67	-0.82
238	1.08	1.11	1.08	1.11	1.08	1.11	1.08	1.11	0.94	0.97	0.91	0.96	0.54	0.56	0.51	0.54	-0.93	-0.97	0.77	0.89	-0.46	-0.52	0.37	0.48
529	0.01	0.13	0.01	0.13	0.01	0.13	0.01	0.13	-0.01	-0.05	0.02	0.26	-0.01	-0.10	0.05	0.26	0.02	0.12	0.01	0.11	0.04	0.10	0.03	0.10
539	-0.01	-0.27	-0.01	-0.27	-0.01	-0.27	-0.01	-0.27	-0.04	-0.34	-0.04	-0.18	-0.04	-0.25	-0.04	-0.07	-0.02	-0.24	-0.03	-0.25	-0.06	-0.19	-0.07	-0.19
549	0.10	0.10	0.00	0.00	0.10	0.10	0.10	0.10	-0.06	-0.21	0.06	0.21	0.50	0.35	-0.50	-0.35	-0.08	-0.09	0.08	0.09	-0.06	-0.06	0.06	0.06
442	0.08	0.48	0.08	0.48	0.08	0.48	0.08	0.48	0.04	0.10	-1.31	-0.68	-0.07	-0.17	-1.00	-0.53	0.05	0.41	0.02	0.33	0.01	0.22	0.01	0.16
462	-0.05	-0.27	-0.05	-0.27	-0.05	-0.27	-0.01	-0.32	-0.04	-0.10	-0.09	-0.33	0.04	0.06	-0.14	-0.37	-0.01	-0.16	-0.02	-0.17	-0.06	-0.13	-0.03	-0.13
298	1.08	1.34	1.08	1.34	1.08	1.34	1.08	1.34	0.87	1.12	0.97	1.17	0.46	0.62	0.57	0.66	-1.14	-1.22	0.48	1.00	-0.46	-0.63	0.07	0.50
318	1.08	1.34	1.08	1.34	1.08	1.34	1.08	1.34	1.01	1.18	0.83	1.11	0.60	0.68	0.42	0.61	-1.14	-1.22	0.47	1.00	-0.45	-0.63	0.06	0.50
590	0.00	0.00	0.00	0.00	0.00	0.00	0.00	0.00	0.00	0.00	0.00	-0.07	-0.07	0.04	0.05	-0.06	-0.16	0.00	0.00	-0.09	-0.15	0.00	0.00	
339	-1.08	-1.32	-1.08	-1.33	-1.08	-1.32	-1.08	-1.33	-0.82	-1.08	-1.02	-1.18	-0.41	-0.59	-0.61	-0.68	-0.47	-0.94	1.14	1.19	-0.06	-0.45	0.45	0.59
350	-1.08	-1.33	-1.08	-1.32	-1.08	-1.32	-1.08	-1.33	-0.98	-1.16	-0.86	-1.10	-0.58	-0.66	-0.45	-0.60	-0.48	-0.95	1.14	1.19	-0.07	-0.45	0.46	0.60
600	0.13	0.13	0.00	0.00	0.13	0.13	0.13	0.13	-0.03	-0.11	0.03	0.11	-0.05	-0.13	0.05	0.13	-0.11	-0.11	0.11	0.11	-0.08	-0.08	0.08	0.08
228	1.10	1.62	1.10	1.62	1.10	1.62	1.10	1.62	0.87	1.36	1.01	1.41	0.47	0.76	0.61	0.81	1.07	1.44	0.81	1.33	0.67	0.84	0.40	0.74
285	1.27	1.47	1.27	1.47	1.27	1.47	1.27	1.47	1.09	1.24	1.07	1.23	0.62	0.70	0.60	0.69	1.24	1.29	0.93	1.18	-0.37	-0.39	0.46	0.64
452	0.08	0.48	0.08	0.48	0.08	0.48	0.08	0.48	0.09	0.11	-1.36	-0.69	-0.02	-0.16	-1.05	-0.54	0.05	0.34	0.02	0.40	0.04	0.17	0.05	0.28
472	-0.05	-0.27	-0.05	-0.27	-0.05	-0.27	-0.01	-0.46	-0.03	-0.09	-0.08	-0.32	0.04	0.06	-0.10	-0.26	-0.01	-0.23	-0.04	-0.12	-0.03	-0.17	-0.03	-0.17
391	1.27	1.47	1																					

Tabla 23 Máximos incrementos relativos V_M3 de la estructura de 4 pisos 2_5

Frame	4 Pisos 2_5 - V_M3 (Tonf-m)																							
	Comb 1		Comb 1-1		Comb 1-2		Comb 1-3		Comb 2		Comb 2-1		Comb 3		Comb 3-1		Comb 2-2		Comb 2-3		Comb 3-2		Comb 3-3	
	1°Ord	Prog	1°Ord	Prog	1°Ord	Prog	1°Ord	Prog	1°Ord	Prog	1°Ord	Prog	1°Ord	Prog	1°Ord	Prog	1°Ord	Prog	1°Ord	Prog	1°Ord	Prog	1°Ord	Prog
186	-1.29	-2.01	-1.29	-2.01	-1.29	-2.01	-1.29	-2.01	-0.21	-0.62	-1.26	-2.00	-0.45	-0.87	-0.60	-1.09	-0.15	-0.59	-1.32	-2.02	-0.35	-0.82	-0.66	1.11
229	-0.44	-0.98	-0.44	-0.98	-0.44	-0.98	-0.44	-0.97	-0.40	-0.84	-0.35	-0.83	-0.24	-0.48	-0.19	-0.47	-0.56	-0.91	-0.20	-0.76	-0.39	-0.55	-0.03	0.39
520	0.10	0.10	0.10	0.10	0.10	0.10	0.10	0.00	-0.06	0.15	0.14	-0.06	-0.19	0.06	0.08	0.10	0.09	0.09	0.09	0.08	0.06	0.06	0.06	0.06
530	0.12	0.23	0.12	0.23	0.12	0.23	0.12	0.23	0.04	0.18	0.18	0.23	0.03	0.13	0.07	0.12	0.11	0.20	0.12	0.21	0.10	0.15	0.11	0.16
540	-0.73	-0.29	-0.73	-0.29	-0.73	-0.29	-0.73	-0.29	-0.80	-0.38	-0.81	-0.38	-0.56	-0.29	-0.57	-0.29	-0.64	-0.26	-0.64	-0.26	-0.40	-0.17	-0.40	0.17
422	0.11	0.17	0.11	0.17	0.11	0.17	0.11	0.17	0.13	0.17	0.29	0.19	-0.01	-0.21	0.17	0.11	0.10	0.14	0.10	0.15	0.08	0.08	0.08	0.10
453	0.02	0.10	0.02	0.10	0.02	0.10	0.02	0.10	0.05	0.13	-0.66	-0.52	0.16	0.15	-0.04	0.13	0.22	0.19	0.07	0.11	0.01	0.06	0.09	0.10
286	0.37	0.44	0.37	0.44	0.37	0.44	0.44	0.29	0.37	0.33	0.39	0.15	0.20	-0.03	0.28	-0.27	-0.57	0.04	0.28	-0.30	-0.49	0.23	0.27	
299	0.38	0.44	0.38	0.44	0.38	0.45	0.38	0.44	-0.01	-0.49	0.28	0.36	-0.06	-0.29	0.14	0.19	-0.27	-0.57	0.06	0.28	-0.29	-0.48	0.24	0.27
581	-0.24	-0.34	-0.24	-0.34	-0.24	-0.34	-0.24	-0.34	-0.01	-0.12	-0.24	-0.32	-0.01	-0.08	-0.16	-0.20	-0.21	-0.30	-0.20	-0.28	-0.13	-0.18	-0.12	0.17
324	0.38	0.43	0.38	0.43	0.38	0.42	0.38	0.43	0.27	0.34	0.00	-0.46	0.13	0.18	-0.06	-0.29	0.05	0.24	-0.26	-0.57	0.24	0.26	-0.29	0.44
340	0.38	0.43	0.38	0.43	0.38	0.42	0.38	0.43	0.34	0.38	0.30	0.35	-0.02	-0.27	0.15	0.19	0.06	0.24	-0.25	-0.56	0.24	0.26	-0.31	0.45
591	-0.12	-0.17	-0.12	-0.17	-0.12	-0.17	-0.12	-0.17	-0.13	-0.18	0.00	-0.05	-0.05	-0.08	-0.05	0.08	-0.11	-0.15	-0.11	-0.15	-0.07	-0.11	-0.07	0.11
215	-1.30	-2.15	-1.30	-2.15	-1.30	-2.15	-1.30	-2.15	-0.18	-0.63	-1.29	-2.01	-0.19	-0.39	-0.63	-1.11	-1.33	-2.04	-0.12	-0.61	-0.67	-1.13	-0.14	0.37
270	-0.43	-1.00	-0.43	-1.00	-0.43	-1.00	-0.43	-1.01	-0.37	-0.85	-0.38	-0.86	-0.20	-0.48	-0.22	-0.49	-0.19	-0.80	-0.55	-0.92	-0.03	-0.43	-0.24	0.54
443	0.11	0.18	0.11	0.17	0.11	0.18	0.11	0.18	0.18	0.19	0.29	0.19	-0.08	-0.23	0.17	0.11	0.12	0.16	0.09	0.13	0.10	0.10	0.07	0.07
463	0.02	0.10	0.02	0.10	0.02	0.10	0.02	0.10	0.03	0.12	-0.09	-0.08	0.15	0.15	-0.02	0.12	0.05	0.10	0.00	0.08	0.07	0.09	0.03	0.07
367	-0.44	-1.00	-0.44	-1.00	-0.44	-1.00	-0.44	-1.01	-0.36	-0.86	-0.38	-0.86	-0.20	-0.49	-0.22	-0.49	-0.19	-0.80	-0.55	-0.92	-0.03	-0.43	-0.24	0.55
353	-0.44	-0.98	-0.44	-0.98	-0.44	-0.98	-0.44	-0.97	-0.37	-0.83	-0.38	-0.83	-0.21	-0.47	-0.22	-0.47	-0.55	-0.91	-0.20	-0.76	-0.39	0.55	-0.04	0.39
489	0.02	0.10	0.02	0.09	0.02	0.10	0.02	0.10	-0.09	-0.08	0.03	0.12	-0.01	-0.12	0.15	0.15	0.07	0.11	0.22	0.19	0.09	0.10	0.00	0.06
551	0.12	0.23	0.12	0.23	0.12	0.23	0.12	0.23	0.18	0.23	0.04	0.18	0.07	0.12	0.04	0.13	0.12	0.21	0.11	0.21	0.11	0.16	0.10	0.16
473	0.03	0.10	0.03	0.10	0.03	0.10	0.03	0.10	-0.67	-0.52	0.05	0.13	-0.04	-0.13	0.16	0.15	0.01	0.08	0.06	0.11	0.02	0.07	0.08	0.09
402	-1.30	-2.15	-1.30	-2.14	-1.30	-2.15	-1.30	-2.14	-1.27	-2.01	-0.19	-0.64	-0.61	-1.10	-0.48	-0.97	-1.32	-2.03	-0.14	-0.61	-0.66	-1.12	-0.35	0.92
392	-1.29	-2.01	-1.29	-2.01	-1.29	-2.00	-1.29	-2.01	-1.28	-2.01	-0.20	-0.62	-0.62	-1.10	-0.48	-0.89	-0.13	-0.58	-1.34	-2.03	-0.14	-0.36	-0.68	-1.12
510	0.11	0.18	0.11	0.18	0.11	0.18	0.11	0.18	0.29	0.19	0.18	0.18	0.16	0.11	-0.07	0.23	0.10	0.15	0.11	0.14	0.08	0.10	0.09	0.08
561	0.10	0.10	0.10	0.10	0.10	0.10	0.10	0.10	0.15	0.14	0.00	-0.06	0.06	0.08	-0.06	0.19	0.09	0.09	0.10	0.09	0.06	0.06	0.08	0.07
500	0.11	0.17	0.11	0.18	0.11	0.17	0.11	0.17	0.29	0.19	0.14	0.17	0.17	0.11	-0.03	0.22	0.09	0.13	0.11	0.16	0.07	0.07	0.09	0.10
176	-0.62	-1.04	-0.62	-1.04	-0.62	-1.03	-0.62	-1.04	-0.43	-0.84	-0.46	-0.85	-0.21	-0.48	-0.23	-0.48	-0.48	-1.35	-0.51	-1.36	0.36	0.33	0.37	0.33
571	-0.62	-1.04	-0.62	-1.04	-0.62	-1.04	-0.62	-1.05	-0.52	-0.89	-0.50	-0.88	-0.29	-0.51	-0.28	-0.51	-0.51	-1.37	-0.53	-1.37	0.37	0.33	0.38	0.33
207	-3.27	-4.82	-3.27	-4.83	-3.27	-4.82	-3.27	-4.83	-2.54	-3.79	-0.55	-1.11	-1.34	-2.11	-0.20	-0.59	-2.35	-3.71	-0.50	-1.09	-1.15	-2.02	-0.10	0.59
236	0.58	0.88	0.58	0.88	0.58	0.88	0.58	0.88	0.54	0.77	0.46	0.73	0.32	0.44	0.24	0.41	-1.63	-1.90	0.05	0.56	-0.99	-1.11	-0.40	0.84
527	0.14	0.14	0.14	0.14	0.14	0.14	0.14	0.14	-0.11	-0.25	0.22	0.17	-0.13	-0.12	0.13	0.11	0.13	0.13	0.12	0.12	0.10	0.09	0.09	0.09
537	0.07	0.21	0.07	0.21	0.07	0.21	0.07	0.21	0.28	0.26	0.15	0.21	0.20	0.19	0.07	0.12	0.06	0.19	0.07	0.19	0.07	0.14	0.08	0.14
547	-0.51	0.22	-0.52	0.23	-0.52	0.22	-0.52	0.22	-0.81	-0.38	-0.81	-0.38	0.01	0.05	0.01	0.05	-0.46	-0.20	-0.46	-0.21	-0.29	0.14	-0.29	0.14
439	0.25	0.22	0.25	0.22	0.25	0.22	0.25	0.22	0.06	0.16	0.12	0.17	-0.08	-0.14	0.05	0.10	0.23	0.20	0.20	0.19	0.16	0.12	0.13	0.12
460	0.15	0.20	0.15	0.21	0.15	0.21	0.15	0.21	0.23	0.23	0.04	0.06	0.13	0.16	-0.03	0.12	0.11	0.17	0.17	0.20	0.08	0.13	0.03	0.09
294	-0.71	-1.36	-0.71	-1.37	-0.71	-1.37	-0.71	-1.36	-0.49	-1.12	-0.71	-1.21	-0.21	-0.61	0.00	0.10	-0.59	-0.69	0.46	0.73	-0.04	-0.29	0.14	0.37
312	-0.70	-1.36	-0.70	-1.36	-0.70	-1.37	-0.70	-1.36	0.01	0.19	-0.43	-1.10	0.04	0.12	-0.16	0.59	-0.60	-0.69	0.46	0.73	-0.04	-0.29	0.13	0.37
588	-0.43	-0.49	-0.43	-0.49	-0.43	-0.49	-0.43	-0.49	-0.24	-0.33	-0.20	-0.27	-0.09	-0.16	-0.05	0.10	-0.38	-0.44	-0.34	-0.39	-0.23	-0.27	-0.19	0.22
337	-0.66	-1.30	-0.66	-1.30	-0.66	-1.29	-0.66	-1.30	-0.37	-1.01	0.03	0.17	-0.12	-0.53	0.05	0.12	0.46	0.69	-1.24	-1.39	0.13	0.33	-0.04	0.25
348	-0.66	-1.30	-0.66	-1.30	-0.66	-1.29	-0.66	-1.30	-0.69	-1.17	-0.43	-1.04	0.01	0.10	-0.17	0.56	0.46	0.69	-1.22	-1.38	0.14	0.34	-0.05	0.26
598	-0.13	-0.18	-0.13	-0.18	-0.13	-0.18	-0.13	-0.18	-0.01	-0.07	0.00	-0.07	-0.08	-0.09	-0.08	0.09	-0.12	-0.16	-0.11	-0.16	-0.08	-0.12	-0.08	0.11
226	-0.94	-1.42	-0.94	-1.41	-0.94	-1.41	-0.94	-1.42	-2.63	-4.03	-0.59	-1.13	-1.42	-2.27	-0.24	0.61	-0.51	-1.11	-2.38	-3.95	-0.10			

578	-0.33	-0.61	-0.33	-0.61	-0.33	-0.60	-0.33	-0.61	-0.26	-0.51	-0.24	-0.50	-0.13	-0.29	-0.12	-0.29	0.03	0.29	0.05	0.29	-0.47	-1.56	-0.48	-1.56		
208	-3.18	-4.81	-3.18	-4.81	-3.18	-4.81	-3.18	-4.82	-2.48	-3.79	-0.74	-1.16	-1.31	-2.11	-0.31	-0.62	-2.29	-3.71	-0.69	-1.14	-1.12	-2.03	-0.06	-0.58		
237	0.48	0.74	0.48	0.74	0.48	0.74	0.48	0.74	0.44	0.64	0.37	0.61	0.27	0.36	0.19	0.33	-1.68	-1.91	-1.05	-1.61	-1.08	-1.21	-0.46	-0.85		
528	0.16	0.14	0.16	0.14	0.16	0.14	0.16	0.14	-0.02	-0.11	0.22	0.17	-0.02	-0.02	0.13	0.11	0.15	0.13	0.14	0.13	0.01	0.03	0.10	0.09		
538	0.10	0.22	0.10	0.22	0.10	0.22	0.10	0.22	0.02	0.17	0.01	0.14	0.02	0.12	-0.06	-0.22	0.10	0.20	0.10	0.20	0.09	0.15	0.10	0.15		
548	-0.47	-0.22	-0.48	-0.22	-0.48	-0.22	-0.48	-0.22	-0.78	-0.36	-0.79	-0.37	0.04	0.05	0.04	0.05	0.05	0.04	-0.42	-0.20	-0.43	-0.20	-0.27	-0.14	-0.27	-0.14
441	0.24	0.22	0.24	0.22	0.24	0.22	0.24	0.22	0.14	0.18	0.11	0.17	-0.01	-0.03	0.05	0.10	0.22	0.19	0.20	0.19	0.16	0.12	0.13	0.12		
461	0.17	0.21	0.17	0.21	0.17	0.21	0.21	0.22	0.23	-0.59	-0.49	0.13	0.16	0.00	-0.08	0.12	0.18	0.01	0.11	0.09	0.13	0.06	0.10			
295	0.00	0.21	0.00	0.21	0.00	0.21	0.00	0.20	-0.64	-1.17	0.04	0.19	-0.31	-0.64	0.04	0.12	-0.52	-0.67	-0.14	-1.01	-0.02	-0.29	0.17	0.38		
317	-0.87	-1.42	-0.87	-1.42	-0.87	-1.42	-0.87	-1.41	0.07	0.21	-0.59	-1.15	0.07	0.13	-0.26	-0.62	-0.53	-0.67	-0.13	-1.01	-0.03	-0.29	0.17	0.38		
589	-0.45	-0.51	-0.42	-0.47	-0.45	-0.51	-0.45	-0.51	-0.16	-0.26	-0.13	-0.23	-0.01	-0.10	0.00	0.00	-0.37	-0.42	-0.32	-0.37	-0.23	-0.26	-0.17	-0.20		
338	0.00	0.18	0.00	0.18	0.00	0.18	0.00	0.19	-0.55	-1.08	0.09	0.20	-0.23	-0.58	0.09	0.13	-0.10	-0.91	-0.52	-0.64	0.17	0.35	-0.02	-0.24		
349	0.00	0.18	0.00	0.18	0.00	0.18	0.00	0.19	0.05	0.18	-0.60	-1.11	0.05	0.11	-0.28	-0.60	-0.11	-0.91	-0.53	-0.64	0.17	0.35	-0.03	-0.25		
599	-0.13	-0.18	-0.13	-0.18	-0.13	-0.18	-0.13	-0.18	-0.14	-0.14	0.00	-0.02	-0.02	-0.03	-0.03	-0.03	-0.11	-0.16	-0.11	-0.15	-0.08	-0.11	-0.08	-0.11		
227	-3.19	-4.81	-3.19	-4.81	-3.19	-4.81	-3.19	-4.81	-2.56	-4.04	-0.78	-1.17	-1.39	-2.27	-0.36	-0.64	-0.70	-1.15	-2.31	-3.95	-0.05	-0.57	-1.14	-2.18		
284	-1.59	-2.02	-1.59	-2.02	-1.59	-2.02	-1.59	-2.02	-1.34	-1.71	-1.38	-1.73	-0.75	-0.97	-0.79	-0.98	-0.02	-0.04	-2.30	-2.92	-0.46	-0.88	-1.09	-1.59		
451	0.24	0.22	0.24	0.22	0.24	0.22	0.24	0.22	-0.05	-0.32	0.11	0.17	-0.06	-0.05	0.04	0.10	0.21	0.19	0.22	0.19	0.01	0.09	0.15	0.12		
471	0.17	0.21	0.17	0.21	0.17	0.21	0.21	0.22	0.22	-0.58	-0.49	0.12	0.15	0.00	-0.08	0.17	0.20	0.14	0.18	0.03	0.09	0.11	0.14			
390	-1.59	-2.02	-1.59	-2.02	-1.59	-2.02	-1.59	-2.02	-1.35	-1.72	-1.37	-1.73	-0.76	-0.98	-0.78	-0.98	-0.01	-0.03	-2.30	-2.92	-0.46	-0.88	-1.09	-1.59		
361	0.48	0.74	0.48	0.74	0.48	0.73	0.40	0.63	0.41	0.62	0.23	0.35	0.23	0.35	-1.68	-1.90	-1.06	-1.61	-1.09	-1.21	-0.47	-0.85				
498	0.16	0.21	0.16	0.21	0.16	0.21	0.16	0.21	-0.08	-0.07	0.22	0.22	-0.01	-0.09	0.12	0.15	0.01	0.11	0.12	0.18	0.06	0.10	0.09	0.13		
559	0.10	0.22	0.10	0.22	0.10	0.22	0.10	0.22	0.01	0.14	0.02	0.17	-0.06	-0.22	0.02	0.12	0.10	0.20	0.10	0.20	0.10	0.15	0.09	0.15		
482	0.16	0.21	0.16	0.21	0.16	0.21	0.16	0.21	0.07	0.07	0.22	0.23	0.00	-0.12	0.12	0.16	0.13	0.18	0.17	0.20	0.10	0.14	0.04	0.09		
410	-3.18	-4.81	-3.18	-4.81	-3.18	-4.81	-3.18	-4.81	-0.76	-1.16	-2.52	-4.02	-0.33	-0.63	-1.35	-2.25	-0.69	-1.15	-2.30	-3.94	-0.06	-0.57	-1.13	-2.17		
400	-3.17	-4.81	-3.17	-4.81	-3.17	-4.81	-3.17	-4.82	-0.77	-1.17	-2.52	-3.81	-0.34	-0.63	-1.35	-2.13	-2.31	-3.72	-0.71	-1.15	-1.14	-2.04	-0.04	-0.57		
518	0.24	0.22	0.24	0.22	0.24	0.22	0.24	0.22	0.11	0.17	-0.05	-0.32	0.04	0.10	-0.05	-0.05	0.20	0.19	0.23	0.19	0.13	0.12	0.16	0.12		
569	0.16	0.14	0.16	0.14	0.16	0.14	0.16	0.14	0.22	0.17	-0.02	-0.12	0.13	0.11	-0.02	-0.02	0.14	0.13	0.15	0.13	0.10	0.09	0.01	0.03		
508	0.24	0.22	0.24	0.22	0.24	0.22	0.24	0.22	0.12	0.17	0.15	0.18	0.05	0.10	-0.02	-0.04	0.22	0.19	0.20	0.19	0.15	0.12	0.01	0.09		
184	-0.33	-0.61	-0.33	-0.61	-0.33	-0.60	-0.33	-0.61	-0.16	-0.47	-0.19	-0.48	-0.04	-0.26	-0.06	-0.26	0.06	0.30	0.08	0.31	-0.52	-1.59	-0.55	-1.59		
579	-0.34	-0.61	-0.34	-0.61	-0.34	-0.60	-0.34	-0.61	-0.26	-0.51	-0.24	-0.51	-0.13	-0.29	-0.12	-0.29	0.08	0.31	0.09	0.31	-0.57	-1.60	-0.58	-1.60		
214	-2.41	-4.16	-2.41	-4.17	-2.41	-4.16	-2.41	-4.17	-1.89	-3.47	-2.24	-3.65	-1.00	-1.94	-1.35	-2.11	-1.73	-3.39	-2.40	-3.73	-0.84	-1.86	-1.51	-2.19		
238	-2.14	-2.34	-2.14	-2.34	-2.14	-2.34	-2.14	-2.34	-1.85	-2.02	-1.81	-2.00	-1.06	-1.15	-1.01	-1.13	-1.33	-1.56	-1.61	-1.89	-0.60	-0.80	0.45	0.62		
529	0.04	0.06	0.04	0.05	0.04	0.06	0.04	0.06	-0.07	-0.13	0.03	0.10	-0.02	-0.02	0.12	0.11	0.05	0.06	0.03	0.05	-0.02	-0.15	0.03	0.05		
539	0.17	0.24	0.17	0.24	0.17	0.24	0.24	0.10	0.20	0.09	0.16	0.07	0.14	-0.15	-0.24	0.16	0.22	0.16	0.22	0.02	0.10	0.03	0.10			
549	-0.42	-0.22	-0.43	-0.22	-0.43	-0.22	-0.43	-0.22	-0.09	-0.07	-0.08	-0.07	0.01	0.02	0.01	0.02	-0.36	-0.19	-0.38	-0.20	-0.23	-0.13	-0.23	-0.13		
442	0.00	0.16	0.00	0.16	0.00	0.16	0.00	0.16	-0.13	-0.31	0.09	0.17	-0.02	-0.03	0.03	0.10	0.00	0.14	0.01	0.13	0.02	0.08	0.02	0.08		
462	0.02	0.13	0.02	0.13	0.02	0.13	0.02	0.16	-0.07	-0.32	0.12	0.16	-0.02	-0.08	0.16	0.20	0.08	0.13	0.12	0.14	-0.04	-0.20				
298	0.14	0.25	0.14	0.25	0.14	0.25	0.10	0.20	0.15	0.23	0.04	0.11	0.09	0.13	-0.49	-0.66	-0.56	-1.14	-0.66	-0.6	-0.31	-0.12	-0.58			
318	0.14	0.25	0.14	0.25	0.14	0.25	0.18	0.24	0.07	0.19	0.12	0.14	0.01	0.10	-0.48	-0.66	-0.55	-1.14	-0.66	-0.6	-0.31	-0.12	-0.58			
590	-0.40	-0.48	-0.40	-0.47	-0.40	-0.48	-0.40	-0.47	-0.08	-0.21	-0.01	-0.18	0.00	0.00	0.00	0.00	-0.38	-0.45	-0.32	-0.38	-0.24	-0.29	-0.19	-0.23		
339	0.16	0.24	0.16	0.24	0.16	0.25	0.07	0.18	0.19	0.24	0.01	0.09	-0.65	-0.76	-0.54	-1.08	-0.47	-0.62	-0.10	-0.53	-0.05	-0.26				
350	0.16	0.25	0.16	0.24	0.16	0.25	0.17	0.22	0.10	0.19	0.10	0.13	0.04	0.10	-0.54	-1.09	-0.48	-0.63	-0.11	-0.53	-0.06	-0.27				
600	-0.12	-0.18	-0.12	-0.17	-0.12	-0.17	-0.01	-0.02	-0.02	-0.02	-0.32	-0.26	-0.32	-0.26	-0.10	-0.15	-0.10	-0.15	-0.07	-0.11	-0.07	-0.11				
228	-2.42	-4.43	-2.42	-4.43	-2.42	-4.43	-1.95	-3.74	-2.19	-3.84	-1.06	-2.10	-1.30	-2.20	-2.39	-3.92	-1.74	-3.65	-1.50	-2.28	-0.85	-2.02				
285	-1.99	-2.89	-1.99	-2.89	-1.99	-2.90	-1.99	-2.89	-1.72	-2.44	-1.67	-2.41	-0.99	-1.36	-0.94	-1.34	-2.06	-2.55	-1.33	-2.30	-0.82	-1.05	-0.60	-1.23		
452	0.00	0.16	0.00	0.16	0.00	0.16	-0.02	-0.15	0.09	0.17	-0.41	-0.30	0.03	0.10	0.03	0.14	0.20	0.19	0.04	0.09	0.00	0.08				
472	0.02	0.12	0.02	0.12	0.02	0.12	0.01	0.15	-0.07	-0.31	0.12	0.16	-0.02	-0.08	0.06	0.12	0.17	0.20	-0.01	-0.19	0.01	0.08				

Tabla 24 Máximos incrementos en M_P de la estructura de 4 pisos 2_5

		4 Pisos 2_5 - M_P (Tnf)																							
Pisos	Muro	Comb 1		Comb 1-1		Comb 1-2		Comb 1-3		Comb 2		Comb 2-1		Comb 3		Comb 3-1		Comb 2-2		Comb 2-3		Comb 3-2		Comb 3-3	
		1°Ord	Prog	1°Ord	Prog	1°Ord	Prog	1°Ord	Prog	1°Ord	Prog	1°Ord	Prog	1°Ord	Prog	1°Ord	Prog	1°Ord	Prog	1°Ord	Prog	1°Ord	Prog		
Story4	X1	-7.30	-6.64	-7.30	-6.64	-7.30	-6.63	-7.30	-6.65	-15.42	-14.98	-6.34	-5.55	-11.24	-11.60	-3.72	-3.17	-5.59	-5.06	-18.29	-17.31	-2.96	-2.68	-14.11	-14.17
Story4	X2	-17.75	-17.13	-17.75	-17.13	-17.75	-17.09	-17.75	-17.18	-15.24	-14.59	-15.56	-15.11	-9.42	-9.01	-9.73	-9.50	-11.91	-9.90	-18.88	-19.84	-4.42	-4.09	-13.06	-14.13
Story4	X3	-7.31	-6.65	-7.31	-6.65	-7.31	-6.64	-7.31	-6.66	-6.29	-5.49	-16.13	-15.85	-3.66	-3.11	-11.90	-12.38	-5.61	-5.07	-18.48	-17.61	-2.99	-2.69	-14.25	-14.42
Story4	X4	-7.37	-6.70	-7.37	-6.70	-7.37	-6.71	-7.37	-6.69	-17.66	-17.33	-6.26	-5.43	-13.25	-13.78	-3.61	-3.03	-19.12	-18.08	-5.64	-5.09	-14.71	-14.77	-3.00	-2.70
Story4	X5	-15.51	-14.72	-15.51	-14.71	-15.51	-14.77	-15.51	-14.66	-13.67	-13.12	-13.32	-12.56	-8.70	-8.42	-8.36	-7.90	-17.16	-17.96	-9.83	-7.67	-12.20	-13.17	-4.86	-3.11
Story4	X6	-7.36	-6.69	-7.36	-6.69	-7.36	-6.70	-7.36	-6.68	-6.31	-5.49	-17.05	-16.55	-3.67	-3.09	-12.65	-13.05	-18.57	-17.29	-5.65	-5.13	-14.17	-14.07	-3.01	-2.74
Story4	Y1	-13.21	-14.51	-13.21	-14.63	-13.21	-14.66	-13.21	-14.48	-7.60	-7.89	-15.53	-16.80	-2.78	-2.78	-11.50	-12.29	-17.44	-18.99	-5.69	-6.01	-3.39	-3.70	-2.98	-2.75
Story4	Y2	-12.60	-14.16	-12.60	-14.29	-12.60	-14.14	-12.60	-14.31	-5.45	-5.62	-16.62	-18.24	-2.70	-2.63	-12.81	-13.89	-4.85	-5.23	-17.23	-19.17	-2.93	-2.69	-13.42	-14.81
Story4	Y3	-13.30	-12.79	-13.30	-13.06	-13.30	-12.94	-13.30	-12.91	-8.38	-8.68	-18.13	-20.33	-4.46	-3.36	-13.96	-15.74	-12.46	-12.99	-9.46	-8.51	-8.29	-8.94	-5.55	-4.88
Story4	Y4	-10.20	-9.66	-10.20	-9.93	-10.20	-9.77	-10.20	-9.81	-6.59	-5.20	-16.34	-18.78	1.43	3.82	-13.34	-15.33	-7.64	-6.72	-10.67	-11.52	-4.51	-3.84	-7.67	-8.53
Story4	Y5	-12.37	-11.99	-12.37	-11.73	-12.37	-11.89	-12.37	-11.84	-17.39	-19.58	-7.13	-5.57	-13.57	-15.37	-3.79	-2.66	-12.54	-13.27	-8.05	-6.89	-8.72	-9.54	-4.71	-3.90
Story4	Y6	-10.16	-9.90	-10.16	-9.62	-10.16	-9.74	-10.16	-9.78	-16.18	-18.47	-6.57	-5.21	-13.19	-15.07	1.31	3.61	-7.71	-6.88	-10.04	-10.44	-4.58	-3.99	-7.06	-7.63
Story4	Y7	-13.05	-14.47	-13.05	-14.35	-13.05	-14.50	-13.05	-14.32	-16.12	-17.37	-6.03	-7.04	-12.30	-12.89	-2.21	-2.50	-17.39	-19.00	-5.45	-5.69	-3.40	-3.71	-2.96	-2.72
Story4	Y8	-12.64	-14.35	-12.64	-14.23	-12.64	-14.20	-12.64	-14.38	-15.92	-17.60	-5.03	-5.04	-11.96	-13.24	-2.75	-2.68	-5.42	-6.03	-16.73	-18.47	-2.97	-2.75	-12.91	-14.16
Story3	X1	-27.05	-24.58	-27.05	-24.41	-27.05	-24.37	-27.05	-24.63	-40.99	-40.91	-19.71	-16.12	-30.35	-31.64	-10.12	-7.99	-14.74	-12.43	-47.81	-45.90	0.12	2.22	-37.18	-37.28
Story3	X2	-35.11	-34.11	-35.11	-34.14	-35.11	-33.87	-35.11	-34.40	-29.63	-28.42	-31.22	-30.58	-18.00	-17.23	-19.59	-19.27	-11.32	-8.99	-23.06	-24.22	-4.70	-2.78	-16.45	-17.71
Story3	X3	-27.26	-24.62	-27.26	-24.79	-27.26	-24.58	-27.26	-24.83	-18.56	-15.31	-43.08	-43.46	-9.43	-9.43	-17.15	-22.38	-32.93	-14.85	-48.62	-47.18	0.32	2.74	-37.82	-38.36
Story3	X4	-27.86	-25.05	-27.86	-24.88	-27.86	-25.09	-27.86	-24.84	-47.84	-48.21	-17.54	-14.07	-36.71	-38.52	-8.19	-5.73	-50.01	-48.13	-15.08	-12.29	-38.88	-39.10	0.46	3.17
Story3	X5	-30.50	-29.16	-30.50	-29.16	-30.50	-29.43	-30.50	-28.89	-27.29	-26.52	-25.72	-24.37	-17.43	-17.06	-15.86	-15.04	-21.21	-22.13	-8.89	-6.29	-15.55	-16.69	-3.24	-1.14
Story3	X6	-27.80	-24.80	-27.80	-24.96	-27.80	-25.01	-27.80	-24.75	-18.27	-14.97	-46.08	-46.06	-8.95	-6.63	-34.97	-36.47	-48.34	-45.86	-15.67	-13.20	-37.23	-37.07	-6.35	-4.82
Story3	Y1	-31.54	-33.84	-31.54	-34.36	-31.54	-34.40	-31.54	-33.80	-15.93	-16.25	-40.55	-43.36	-7.62	-7.23	-30.53	-32.36	-28.67	-31.12	-10.06	-10.47	-20.56	-22.33	-5.71	-4.68
Story3	Y2	-30.22	-33.07	-30.22	-33.58	-30.22	-33.03	-30.22	-33.63	-13.17	-13.21	-44.91	-48.45	1.78	3.36	-35.36	-37.82	-7.84	-8.20	-28.66	-31.40	1.71	3.09	-20.62	-22.70
Story3	Y3	-33.65	-32.14	-33.65	-33.00	-33.65	-32.69	-33.65	-32.46	-17.56	-12.57	-48.69	-53.96	1.24	6.57	-37.72	-42.05	-34.85	-35.53	-24.99	-22.56	-23.88	-24.95	-14.46	-12.54
Story3	Y4	-27.16	-25.73	-27.16	-26.58	-27.16	-26.03	-27.16	-26.26	-12.00	-6.92	-45.62	-51.40	6.77	12.55	-37.10	-41.86	-19.49	-16.76	-31.70	-33.42	-10.96	-8.82	-23.17	-24.93
Story3	Y5	-33.31	-32.48	-33.31	-31.63	-33.31	-32.19	-33.31	-31.92	-49.02	-54.43	-16.88	-11.43	-38.19	-42.67	1.97	7.62	-37.25	-38.65	-23.12	-19.98	-26.43	-28.08	-12.91	-10.48
Story3	Y6	-27.03	-26.43	-27.03	-25.58	-27.03	-25.87	-27.03	-26.13	-44.81	-50.19	-12.17	-7.24	-36.33	-40.79	6.14	11.69	-20.24	-18.05	-29.84	-30.36	-11.72	-9.95	-21.37	-22.37
Story3	Y7	-31.09	-33.89	-31.09	-33.37	-31.09	-33.92	-31.09	-33.34	-27.78	-29.25	-9.42	-11.89	-19.73	-20.40	-5.83	-6.22	-28.85	-31.17	-9.16	-9.14	-20.62	-22.47	0.71	2.36
Story3	Y8	-30.27	-33.66	-30.27	-33.14	-30.27	-33.10	-30.27	-33.70	-41.79	-46.43	-15.07	-14.19	-31.92	-35.85	-6.83	-5.30	-9.55	-10.50	-27.98	-30.44	0.01	1.03	-19.93	-21.81
Story2	X1	-53.33	-49.91	-53.33	-48.72	-53.33	-48.65	-53.33	-49.98	-70.90	-72.03	-26.74	-21.47	-53.80	-56.33	-11.30	-7.51	-18.36	-14.77	-81.55	-79.65	5.86	8.65	-64.44	-64.95
Story2	X2	-51.53	-50.51	-51.53	-50.52	-51.53	-49.83	-51.53	-51.20	-42.70	-41.07	-46.60	-46.07	-25.63	-24.56	-29.53	-29.29	-11.54	-7.65	-53.01	-55.14	0.90	4.16	-40.58	-42.85
Story2	X3	-54.11	-49.57	-54.11	-50.75	-54.11	-49.53	-54.11	-50.80	-25.14	-19.42	-74.75	-76.72	-9.52	-5.38	-57.38	-60.52	-18.29	-14.33	-83.14	-82.23	6.38	9.79	-65.77	-67.13
Story2	X4	-55.28	-50.97	-55.28	-49.80	-55.28	-51.03	-55.28	-49.74	-84.00	-86.06	-21.24	-15.23	-46.29	-48.75	5.67	10.96	-85.28	-83.59	-18.47	-13.80	-67.47	-68.26	6.96	10.78
Story2	X5	-44.66	-42.92	-44.66	-43.60	-44.66	-42.24	-44.66	-42.24	-40.52	-39.76	-37.11	-35.33	-26.09	-25.78	-22.68	-21.61	-49.03	-50.73	-7.22	-2.81	-38.46	-40.50	3.35	6.95
Story2	X6	-55.23	-49.73	-55.23	-50.91	-55.23	-50.97	-55.23	-49.67	-23.22	-17.67	-80.77	-82.15	2.52	7.23	-44.23	-46.34	-82.03	-79.28	-20.30	-16.45	-64.25	-64.43	3.78	6.88
Story2	Y1	-43.09	-45.48	-43.09	-46.13	-43.09	-46.17	-43.09	-45.44	-21.59	-21.44	-53.07	-56.14	-7.30	-6.15	-38.77	-40.80	-57.46	-61.20	-17.21	-17.21	-43.16	-46.13	5.93	8.20
Story2	Y2	-41.65	-44.64	-47.76	-52.05	-41.65	-44.60	-47.76	-52.09	-13.89	-13.02	-58.30	-62.26	11.31	14.28	-44.53	-47.33	-14.65	-14.57	-57.54	-62.38	9.05	11.56	-43.76	-47.42
Story2	Y3	-54.19	-51.56	-54.19	-53.28	-54.19	-52.73	-54.19	-52.12	-20.35	-11.44	-84.25	-91.48	8.14	15.81	-49.95	-54.80	-60.69	-61.32	-36.52	-33.02	-42.83	-44.15	-19.31	-16.47
Story2	Y4	-42.09	-39.95	-44.31	-43.61	-44.31	-43.11	-44.31	-3.04	13.77	-62.64	-69.04	3.68	10.76	-48.68	-54.11	-26.51	-22.18	-56.64	-59.09	-12.55	-9.12	-32.45	-34.37	
Story2	Y5	-54.54	-53.37	-54.54	-51.66	-54.54	-52.87	-54.54	-52.16	-86.18	-93.78	-19.37	-9.89	-50.95	-56.02	9.53	17.75	-66.57	-68.46	-33.08</					

Tabla 25 Máximos incrementos en M_V2 de la estructura de 4 pisos 2_5

Pisos	Muro	4 Pisos 2.5 - M_V2 (Tnf)																							
		Comb 1		Comb 1-1		Comb 1-2		Comb 1-3		Comb 2		Comb 2-1		Comb 3		Comb 3-1		Comb 2-2		Comb 2-3		Comb 3-2		Comb 3-3	
		1°Ord	Prog	1°Ord	Prog	1°Ord	Prog	1°Ord	Prog	1°Ord	Prog	1°Ord	Prog	1°Ord	Prog	1°Ord	Prog	1°Ord	Prog	1°Ord	Prog	1°Ord	Prog	1°Ord	Prog
Story4 X1	-9.79	-11.80	-9.79	-11.91	-9.79	-11.92	-9.79	-11.78	-4.03	-5.62	-12.76	-13.60	-0.54	-0.96	-9.27	-9.48	-14.21	-14.62	-2.59	-5.01	-10.71	-10.73	0.91	0.03	
Story4 X2	1.07	1.37	-0.27	-0.61	-0.27	-0.43	-0.27	-0.44	7.74	10.79	-5.91	-8.65	7.35	9.70	-6.29	-8.45	1.38	1.71	-0.76	-1.12	0.99	1.23	-0.65	-0.90	
Story4 X3	9.61	11.79	9.61	11.68	9.61	11.81	9.61	11.67	13.14	14.03	3.36	4.98	9.71	9.96	0.10	14.15	14.64	2.35	4.73	10.72	10.82	-1.09	-0.27		
Story4 X4	-9.30	-11.62	-9.30	-11.72	-9.30	-11.60	-9.30	-11.74	-1.86	-3.94	-14.10	-14.78	1.46	0.80	-10.78	-10.88	-1.84	-4.39	-14.12	-14.88	1.48	0.54	-10.80	-11.01	
Story4 X5	-0.02	0.16	-0.02	-0.15	-0.02	-0.02	-0.02	-0.02	8.01	11.10	-8.04	-11.14	8.01	10.43	-8.03	-10.45	0.31	0.53	-0.34	-0.60	0.32	0.46	-0.34	-0.50	
Story4 X6	9.34	11.78	9.34	11.67	9.34	11.66	9.34	11.80	13.61	14.31	2.42	4.51	10.27	10.37	-0.91	-0.22	2.44	5.05	13.59	14.32	-0.89	0.08	10.25	10.44	
Story4 Y1	-5.01	-4.52	-5.01	-4.39	-5.01	-4.37	-5.01	-4.54	-7.67	-7.81	-0.94	-0.33	-5.86	-6.28	0.83	1.26	2.38	3.05	-10.99	-10.98	4.15	4.61	-9.21	-9.59	
Story4 Y2	5.77	4.93	5.77	4.80	5.77	4.95	5.77	4.78	9.99	10.13	-0.08	-1.05	7.95	8.42	-2.13	-2.77	11.92	11.76	-2.01	-3.11	9.87	10.18	-4.06	-4.78	
Story4 Y3	-10.09	-9.91	-10.09	-9.72	-10.09	-9.77	-10.09	-9.85	-13.03	-14.29	-4.19	-4.24	-9.27	-10.31	0.09	1.57	-6.23	-5.73	-10.98	-10.99	-2.48	-2.13	-7.23	-7.29	
Story4 Y4	7.55	7.12	7.55	6.92	7.55	7.06	7.55	6.98	11.99	13.29	0.92	-1.33	9.16	10.27	-1.92	-3.58	9.50	9.62	3.38	2.32	6.67	6.86	0.63	-0.14	
Story4 Y5	-8.08	-7.38	-8.08	-7.58	-8.08	-7.46	-8.08	-7.50	-2.15	0.02	-11.64	-12.73	0.88	2.47	-8.61	-9.56	-3.97	-2.95	-9.81	-9.82	-0.94	-0.24	-6.79	-6.90	
Story4 Y6	7.57	6.94	7.57	7.15	7.57	7.09	7.57	7.01	1.16	-0.92	11.75	12.98	-1.66	-3.24	8.92	9.97	9.07	8.94	3.85	3.10	6.24	6.26	1.09	0.52	
Story4 Y7	-5.18	-4.55	-5.18	-4.68	-5.18	-4.54	-5.18	-4.70	0.26	0.51	9.28	-8.61	-1.72	2.05	7.31	-7.09	2.28	2.99	-11.17	-11.23	4.11	4.63	-9.38	-9.84	
Story4 Y8	5.71	4.73	5.71	4.86	5.71	4.88	5.71	4.71	-0.29	-0.60	-8.41	9.33	1.49	-2.27	-6.57	7.67	11.35	10.99	-1.54	-2.44	9.32	9.51	-3.57	-4.16	
Story3 X1	-9.09	-11.11	-9.09	-11.53	-9.09	-11.45	-9.09	-11.19	4.86	2.48	-20.45	-20.31	8.12	6.98	-17.18	-16.74	-15.83	-16.34	-0.32	-2.90	-12.56	-12.59	3.51	2.42	
Story3 X2	1.25	1.71	-0.01	-0.50	-0.01	-0.12	-0.01	-0.14	16.37	20.52	-14.22	-18.14	15.92	19.10	-14.67	-17.71	2.11	2.56	-1.16	-1.67	1.66	2.00	-0.42	-0.65	
Story3 X3	8.78	11.25	8.78	10.83	8.78	11.16	8.78	10.91	20.93	20.84	-5.87	-3.57	17.77	17.37	-9.03	-7.93	16.29	16.94	-1.23	1.15	13.13	13.30	-4.39	-3.51	
Story3 X4	-8.64	-10.94	-8.64	-11.35	-8.64	-11.02	-8.64	-11.27	8.59	5.73	-23.40	-22.76	11.69	10.22	-20.30	-19.50	1.68	-0.95	-16.50	-17.40	4.79	3.72	-13.39	-13.65	
Story3 X5	-0.06	0.25	-0.06	-0.44	-0.06	-0.08	-0.06	-0.07	16.97	21.07	-17.07	-21.24	16.99	20.17	-17.05	-20.27	0.64	0.95	-0.74	-1.17	0.66	0.85	-0.72	-0.98	
Story3 X6	8.57	11.29	8.57	10.87	8.57	10.95	8.57	11.21	22.60	21.94	-7.90	-5.00	19.52	18.69	-10.98	-9.48	0.22	2.91	15.06	15.82	-3.43	-2.34	11.98	12.17	
Story3 Y1	-4.79	-4.45	-4.79	-4.19	-4.79	-4.10	-4.52	-4.31	-8.81	-9.07	0.65	1.30	-7.16	-7.58	2.39	2.88	9.68	10.18	-17.88	-17.81	11.42	11.74	-16.31	-16.53	
Story3 Y2	5.55	4.97	5.55	4.72	5.28	4.83	5.55	4.62	13.70	14.26	-4.12	-5.11	11.77	12.46	-6.14	-6.84	19.11	19.00	-9.51	-10.44	17.18	17.41	-11.52	-12.11	
Story3 Y3	-9.30	-9.34	-9.30	-8.89	-9.30	-8.99	-9.30	-9.29	-14.56	-15.98	-1.33	0.45	-11.11	-12.27	2.12	3.50	0.14	0.42	-16.02	-16.03	3.89	4.34	-12.58	-12.62	
Story3 Y4	7.16	7.04	7.16	6.71	7.16	7.02	7.40	6.97	14.66	16.33	-2.12	-4.19	11.99	13.36	-4.86	-6.44	15.04	15.30	-2.57	-3.41	12.38	12.63	-5.31	-5.91	
Story3 Y5	-8.25	-7.80	-8.25	-8.12	-8.25	-7.83	-8.25	-8.09	0.37	2.40	-14.45	-15.90	3.43	4.97	-11.38	-12.56	2.65	3.65	-16.07	-16.35	5.28	5.98	-13.00	-13.28	
Story3 Y6	7.20	6.77	7.20	7.09	7.20	7.08	7.45	7.02	-1.25	-3.11	13.86	15.37	-4.01	-5.44	11.18	12.43	14.42	14.39	-1.87	-2.34	11.74	11.82	-4.63	-5.01	
Story3 Y7	-5.00	-4.43	-5.00	-4.69	-5.00	-4.34	-4.74	-4.54	-2.88	2.68	12.34	-10.87	4.87	4.25	10.43	-9.22	9.63	10.24	-18.29	-18.42	11.45	11.91	-16.56	-16.99	
Story3 Y8	5.50	4.66	5.50	4.91	5.50	5.46	5.50	4.66	2.22	-4.08	-10.32	12.55	3.95	-5.81	-8.51	10.77	18.23	17.90	-8.73	-9.41	16.31	16.45	-10.73	-11.21	
Story2 X1	-8.23	-8.84	-8.23	-9.66	-8.23	-9.46	-8.23	-9.06	11.02	9.76	-25.47	-24.63	13.37	12.89	-22.28	-21.59	-17.19	-17.37	3.08	1.67	-14.23	-14.19	6.04	5.63	
Story2 X2	0.06	0.42	1.41	1.06	1.41	1.56	1.41	1.51	21.97	24.95	-19.56	-22.30	21.48	23.79	-20.05	-22.23	3.08	3.56	-0.66	-1.02	2.58	2.94	-1.16	-1.45	
Story2 X3	7.85	9.30	7.85	8.52	7.85	9.11	7.85	8.71	25.95	25.24	-12.20	-11.14	22.89	22.28	-14.37	-14.00	17.69	18.13	-4.24	-3.22	14.86	15.03	-7.07	-7.00	
Story2 X4	-7.97	-9.00	-7.97	-9.76	-7.97	-9.18	-7.97	-9.58	15.76	14.20	-29.63	-28.18	16.83	17.91	-26.54	-25.37	4.62	3.18	-18.28	-18.96	7.48	7.16	-15.42	-15.65	
Story2 X5	-0.07	0.38	-0.07	-0.57	-0.07	-0.09	-0.07	-0.08	22.37	25.18	-22.50	-25.38	22.39	24.63	-22.47	-24.75	4.80	8.10	-1.03	-1.34	0.82	0.98	-0.90	-1.14	
Story2 X6	7.88	9.68	7.88	8.92	7.88	9.10	7.88	9.51	28.75	28.75	-21.00	-13.38	25.68	24.45	-17.10	-16.34	-2.90	-1.24	16.40	16.77	-5.73	-5.30	13.56	13.68	
Story2 Y1	-5.18	-5.51	-5.18	-5.11	-5.18	-4.94	-5.18	-5.68	-11.05	-11.23	3.23	3.27	-9.16	-9.36	4.85	4.97	14.90	15.04	-22.81	-23.14	16.52	16.67	-20.93	-21.26	
Story2 Y2	5.94	5.91	5.94	5.52	5.94	6.08	5.94	5.35	17.39	17.88	-8.41	-8.83	15.24	15.73	-10.30	-10.65	24.11	24.33	-14.93	-15.61	21.96	22.24	-16.82	-17.30	
Story2 Y3	-8.74	-8.98	-8.74	-8.55	-8.74	-8.51	-8.74	-9.02	-16.23	-17.05	1.31	2.24	-12.99	-13.70	4.55	5.34	5.04	5.43	-19.13	-19.16	7.93	8.24	-15.89	-15.95	
Story2 Y4	7.13	7.10	7.13	6.68	6.67	6.65	7.13	6.65	16.90	17.91	-4.87	-6.07	14.42	15.30	-8.01	-9.04	18.81	18.99	-6.64	-7.27	16.17	16.38	-9.27	-9.74	
Story2 Y5	-8.01	-7.76	-8.01	-8.19	-8.01	-7.74	-8.01	-8.21	2.94	4.06	-16.61	-17.52	6.59	7.73	-13.64	-14.40	6.12	6.80	-19.38	-19.73	8.62	9.12	-16.40	-16.72	
Story2 Y6	7.18	6.73	7.18	7.16	6.72	7.18	6.71	7.61	-3.62	-4.55	15.76	16.55	-6.79	-7.63	13.25	13.98	18.01	17.95	-5.75	-6.05	15.36	15.43	-8.40	-8.68	
Story2 Y7	-5.43	-5.37	-5.43	-5.76	-5.43	-5.21	-5.43	-5.93	-5.54	3.97	15.45	-13.20	-7.68	5.93	13.57	-11.43	14.87	15.16	-23.21	-23.76	16.58	16.93	-21.24	-21.81	
Story2 Y8																									

Tabla 26 Máximos incrementos en M_M3 de la estructura de 4 pisos 2_5

		4 Pisos 2_5 - M_M3 (Tmf-m)																							
Pisos	Muro	Comb 1		Comb 1-1		Comb 1-2		Comb 1-3		Comb 2		Comb 2-1		Comb 3		Comb 3-1		Comb 2-2		Comb 2-3		Comb 3-2		Comb 3-3	
		1*Ord	Prog	1*Ord	Prog	1*Ord	Prog	1*Ord	Prog	1*Ord	Prog	1*Ord	Prog	1*Ord	Prog	1*Ord	Prog	1*Ord	Prog	1*Ord	Prog	1*Ord	Prog		
Story4 X1	-11.22	-15.70	-11.22	-15.69	-11.22	-15.72	-11.22	-15.67	-6.45	-10.48	-12.78	-14.75	-2.39	-3.91	-8.73	-9.32	-13.96	-14.04	-5.27	-11.67	7.28	6.78	-1.22	-4.56	
Story4 X2	-0.34	-0.44	-0.29	-0.45	-0.29	-0.39	-0.29	-0.39	2.78	4.37	-3.28	-5.03	2.89	4.13	-3.17	-4.50	-0.49	-0.60	-0.47	-0.65	0.08	0.10	0.03	0.07	
Story4 X3	11.09	15.67	11.09	15.68	11.09	15.70	11.09	15.65	13.06	14.86	5.94	10.29	9.05	9.53	1.93	3.64	13.86	14.07	5.13	11.56	-7.34	-6.82	1.13	4.44	
Story4 X4	-11.03	-15.76	-11.03	-15.75	-11.03	-15.73	-11.03	-15.78	-4.82	-10.07	-14.09	-15.23	-0.83	-3.07	-10.10	-10.08	-4.90	-11.46	-14.01	-14.33	-0.91	-4.34	7.37	6.89	
Story4 X5	0.01	-0.06	-0.01	-0.06	0.01	0.01	0.01	0.01	3.70	5.46	-3.71	-5.48	3.71	5.05	-3.71	-5.06	0.15	0.26	-0.16	-0.28	0.15	0.22	-0.15	-0.23	
Story4 X6	11.06	15.79	11.06	15.80	11.06	15.77	11.06	15.82	13.72	15.14	5.23	10.26	9.72	9.89	1.24	3.33	5.33	11.75	13.63	14.14	1.33	4.68	-7.18	-6.73	
Story4 Y1	-5.80	-5.96	7.27	7.45	7.27	7.44	-5.80	-5.98	6.58	6.98	-2.02	-2.10	4.10	4.47	3.49	3.47	1.05	2.11	-10.97	-12.25	1.35	2.30	-8.86	-10.02	
Story4 Y2	-7.43	-7.53	-7.43	-7.52	-7.43	-7.55	-7.43	-7.50	9.95	10.35	-5.46	-5.64	7.50	7.89	-0.92	-1.32	12.01	13.05	-0.53	-2.02	9.56	10.61	-1.38	-2.27	
Story4 Y3	-8.05	-8.06	-8.05	-7.93	-8.05	-7.96	-8.05	-8.02	-9.43	-10.08	-4.30	-3.51	-6.42	-6.98	3.34	2.37	6.39	6.58	-9.54	-10.31	2.84	3.28	-6.53	-7.22	
Story4 Y4	6.67	6.46	6.67	6.32	6.67	6.42	6.67	6.35	9.12	9.83	-3.84	-2.49	6.63	7.27	-0.23	-1.14	8.89	9.69	-3.71	-3.80	6.40	7.15	-0.01	-1.06	
Story4 Y5	-7.14	-6.77	-7.14	-6.90	-7.14	-6.81	-7.14	-6.87	-3.31	-2.19	-8.86	-9.42	1.87	0.73	-6.18	-6.71	3.96	3.86	-9.06	-9.77	1.34	1.60	-6.38	-7.07	
Story4 Y6	6.68	6.34	6.68	6.48	6.68	6.45	6.68	6.38	-4.00	-2.62	8.86	9.44	-1.47	-0.44	6.36	6.90	8.63	9.29	-3.86	-4.07	6.13	6.80	-1.33	-1.75	
Story4 Y7	7.31	7.48	-5.95	-6.14	7.31	7.46	-5.95	-6.15	2.01	-1.49	9.36	-9.02	-3.12	3.32	6.94	-6.79	0.96	1.98	-11.14	-12.44	1.40	2.31	-8.97	-10.17	
Story4 Y8	-7.41	-7.50	-7.41	-7.52	-7.41	-7.53	-7.41	-7.49	5.79	-5.80	6.82	-7.33	3.30	-3.23	4.33	-4.80	11.47	12.33	-0.11	-1.38	9.05	9.99	-1.49	-2.38	
Story3 X1	-10.78	-20.61	-10.78	-20.94	-10.78	-20.77	-10.78	-20.78	8.62	4.24	-27.16	-29.23	4.43	3.18	-23.27	-23.27	-13.92	-14.99	-4.54	-18.37	4.84	5.10	-0.65	-8.16	
Story3 X2	-0.77	-0.99	-0.22	-0.57	-0.22	-0.33	-0.22	-0.34	10.70	14.60	-11.07	-15.17	10.79	13.84	-10.99	-14.14	0.61	0.78	-0.99	-1.41	0.70	0.85	-0.90	-1.19	
Story3 X3	10.37	20.74	10.37	20.41	10.37	20.57	10.37	20.58	27.22	28.83	-8.71	-3.94	23.48	23.13	-4.51	-3.02	14.61	15.87	3.15	16.87	-5.03	-5.18	-6.55	-2.20	
Story3 X4	-10.64	-20.94	-10.64	-21.25	-10.64	-21.11	-10.64	-21.09	8.76	3.32	-30.10	-29.73	4.59	2.73	-26.26	-24.50	-3.01	-17.07	-15.22	-16.52	6.55	2.15	4.94	5.21	
Story3 X5	0.02	-0.06	-0.04	-0.29	0.02	0.03	0.02	0.02	12.04	16.10	-12.11	-16.22	12.05	15.22	-12.10	-15.29	0.45	0.73	-0.53	-0.89	0.47	0.65	-0.51	-0.74	
Story3 X6	10.52	21.12	10.52	20.81	10.52	20.97	10.52	20.96	29.58	29.87	-8.66	-3.53	25.79	24.45	-4.50	-2.85	4.70	18.45	13.33	15.04	0.90	8.30	-4.82	-5.03	
Story3 Y1	-5.50	-6.00	-5.50	-5.78	-5.50	-5.54	-5.50	-5.62	4.60	4.89	-2.59	-3.30	2.20	2.54	-0.58	-1.03	6.11	8.68	-25.43	-28.64	3.70	6.16	-23.42	-26.19	
Story3 Y2	7.16	7.19	-6.12	-6.14	7.16	7.43	-6.12	-6.13	13.46	-13.21	-1.21	-1.91	10.87	11.55	-3.81	-4.36	27.15	29.99	-5.70	-8.46	24.56	27.10	-3.50	-6.08	
Story3 Y3	-7.61	-7.73	-7.61	-7.56	-7.61	-7.62	-7.61	-7.87	6.91	7.02	-3.95	-3.79	3.85	4.06	-1.10	-0.90	7.34	9.29	-20.31	-22.36	3.57	5.13	-17.45	-19.31	
Story3 Y4	-6.30	-6.22	-6.30	-6.21	6.65	6.61	-6.30	-6.21	-5.78	-6.18	-4.97	-4.39	-3.41	-3.76	-1.53	-2.19	20.06	21.98	-4.86	-6.62	17.58	19.38	-2.49	-4.21	
Story3 Y5	-6.58	-6.29	-6.58	-6.45	8.18	7.73	-6.58	-6.59	6.97	6.16	-9.41	-9.71	0.69	1.34	-6.93	-7.26	8.37	10.62	-19.57	-21.52	3.41	5.01	-17.09	-18.91	
Story3 Y6	-6.30	-6.21	-6.30	-6.22	6.66	6.62	-6.30	-6.21	2.33	1.99	-5.73	-6.32	-0.15	-0.45	-3.37	-3.88	19.74	21.54	-4.89	-6.71	17.25	18.99	-2.53	-4.28	
Story3 Y7	-5.76	-6.09	-5.76	-6.30	-5.76	-5.86	-5.76	-5.76	-6.02	6.61	11.38	-9.49	-1.94	1.27	8.84	-7.23	6.09	8.54	-25.49	-28.68	3.70	6.07	-23.40	-26.22	
Story3 Y8	-6.16	-6.19	7.00	6.98	7.00	7.22	-6.16	-6.18	-0.86	0.56	4.52	-4.47	4.46	-3.90	2.13	-2.34	26.24	28.80	-5.61	-8.22	23.70	26.14	-3.39	-5.86	
Story2 X1	-9.50	-22.58	-9.50	-23.66	-9.50	-23.07	-9.50	-23.16	31.31	15.92	-1.92	-6.10	34.74	27.64	-6.04	-7.68	-11.51	-13.12	-4.78	-23.92	6.18	7.07	-1.34	-11.56	
Story2 X2	0.01	0.35	-0.73	-0.89	-0.73	-0.88	-0.73	-0.88	0.09	2.35	-1.35	-3.86	0.36	2.16	-1.08	-3.03	2.20	2.54	-0.70	-0.92	2.21	2.50	-0.43	-0.57	
Story2 X3	8.75	23.17	8.75	22.10	8.75	22.58	8.75	22.70	1.63	5.23	-32.12	-16.03	5.85	7.05	-35.29	-27.64	12.99	15.03	1.99	20.73	-5.58	-6.32	-6.05	2.25	
Story2 X4	-9.67	-23.63	-9.67	-24.66	-9.67	-24.21	-9.67	-24.08	35.91	16.87	-3.06	-4.08	39.40	29.51	-7.14	-7.05	-2.13	-21.73	-14.44	-16.38	6.05	-2.42	5.21	6.16	
Story2 X5	-0.01	-0.01	-0.08	-0.56	-0.01	-0.01	-0.01	-0.01	0.68	3.16	-0.70	-3.19	0.69	2.64	-0.69	-2.65	0.03	0.15	-0.04	-0.19	0.03	0.13	-0.04	-0.14	
Story2 X6	9.35	24.35	9.35	23.31	9.35	23.89	9.35	23.78	3.04	5.55	-36.04	-17.66	7.16	7.58	-39.41	-30.08	5.30	24.56	10.72	13.07	1.92	12.03	-6.36	-7.11	
Story2 Y1	-5.17	-5.99	-5.17	-5.77	7.03	6.97	-5.17	-6.65	7.35	8.28	-4.53	-6.96	4.81	5.66	-2.65	-4.35	19.61	23.64	-7.57	-12.07	17.07	20.88	-10.12	-14.12	
Story2 Y2	7.79	7.78	-5.68	-5.68	7.79	8.44	-5.68	-5.91	17.16	17.05	-6.48	-7.02	14.34	14.35	-4.42	-4.85	8.73	12.85	-18.45	-22.78	10.78	14.56	-16.40	-20.39	
Story2 Y3	-6.82	-7.24	-6.82	-7.08	-6.82	-6.59	-6.82	-7.73	8.72	9.47	-4.03	-5.13	5.64	6.34	-1.46	-2.15	16.71	19.29	-2.63	-6.21	13.62	16.21	-5.72	-8.91	
Story2 Y4	-6.05	-6.09	-6.05	-6.02	6.58	6.81	-6.05	-6.21	-6.24	-6.92	-0.27	-0.31	-3.97	-4.52	-2.73	-2.81	4.15	7.08	-14.47	-17.44	6.42	9.19	-12.20	-15.01	
Story2 Y5	-6.19	-6.23	-6.19	-6.38	8.54	8.29	-6.19	-6.82	-0.92	-1.05	7.96	8.36	1.42	1.42	4.78	5.18	16.54	19.17	-1.98	-5.34	13.36	15.97	-5.16	-8.22	
Story2 Y6	-6.07	-6.05	-6.07	-6.12	6.57	6.78	-6.07	-6.24	2.71	3.54	-7.18	-8.35	0.26	0.83	-4.91	-5.85	4.25	7.28	-14.61	-17.71	6.53	9.37	-12.33	-15.22	
Story2 Y7	-5.51	-6.16	-5.51	-6.37	-5.51	-5.50	-5.51	-5.03	-0.08	-2.11	12.98	-7.93	-2.81	0.30	10.25	-5.97	19.25	23.03	-7.43	-11.71	16.75	20.43	-9.92	-13.83	
Story2 Y8	-5.82	-5.89	-5.82	-5.86	7.53	8.09	-5.82	-6.11	5.90	-5.17															

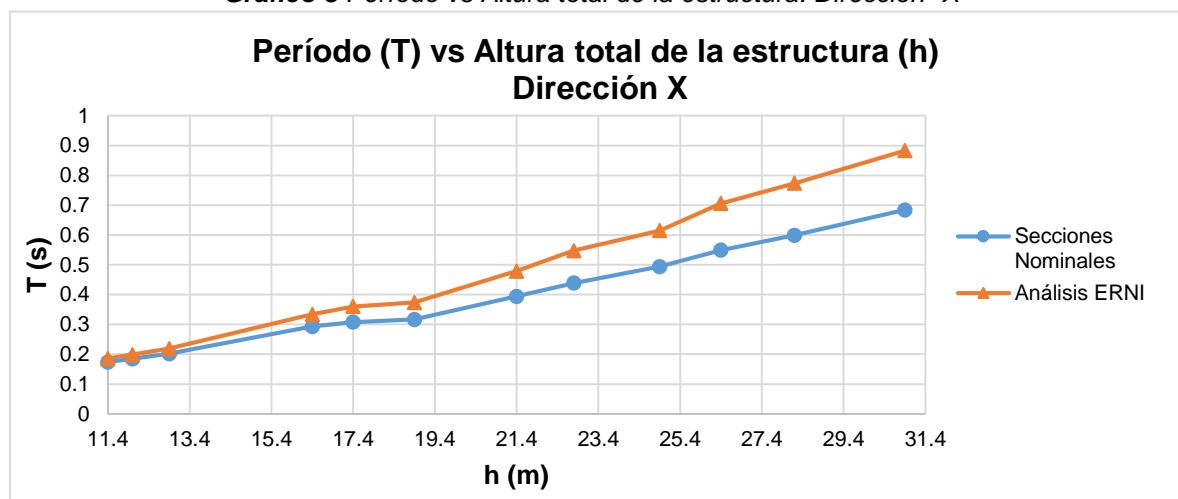
CAPÍTULO IV

DISCUSIÓN DE RESULTADOS

4.1. Periodos de la estructura

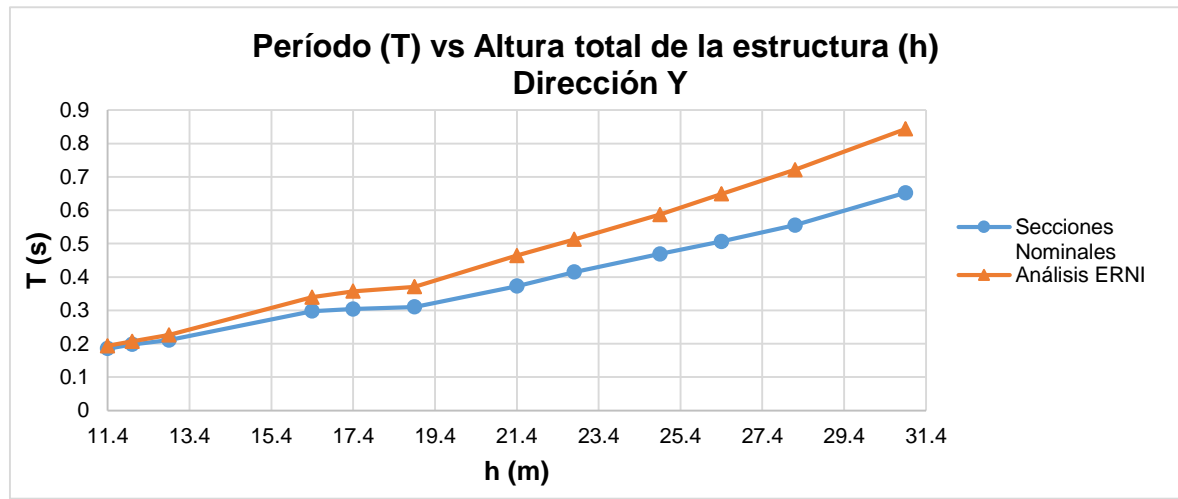
Las siguientes graficas se construyeron tomando el mayor periodo de todas las combinaciones de resistencias requeridas para cada estructura y dirección, tanto para el análisis elástico (secciones nominales) como para el análisis ERNI tomándolos de la última iteración:

Gráfico 3 Período vs Altura total de la estructura. Dirección "X"



Fuente: Elaboración propia

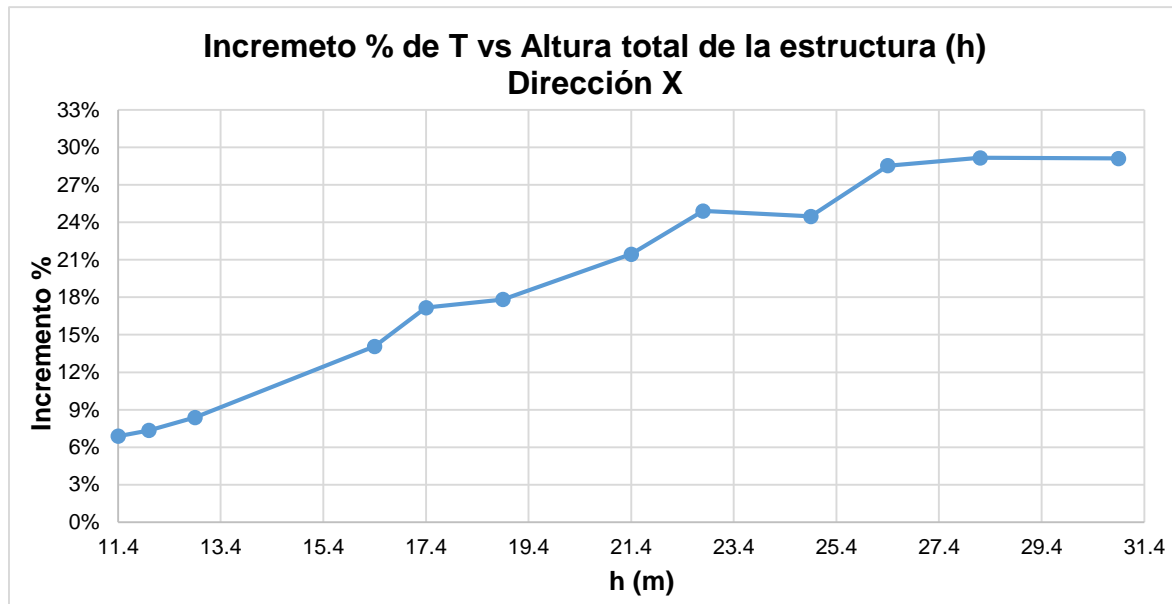
Gráfico 4 Período vs Altura total de la estructura. Dirección "Y"



Fuente: Elaboración propia

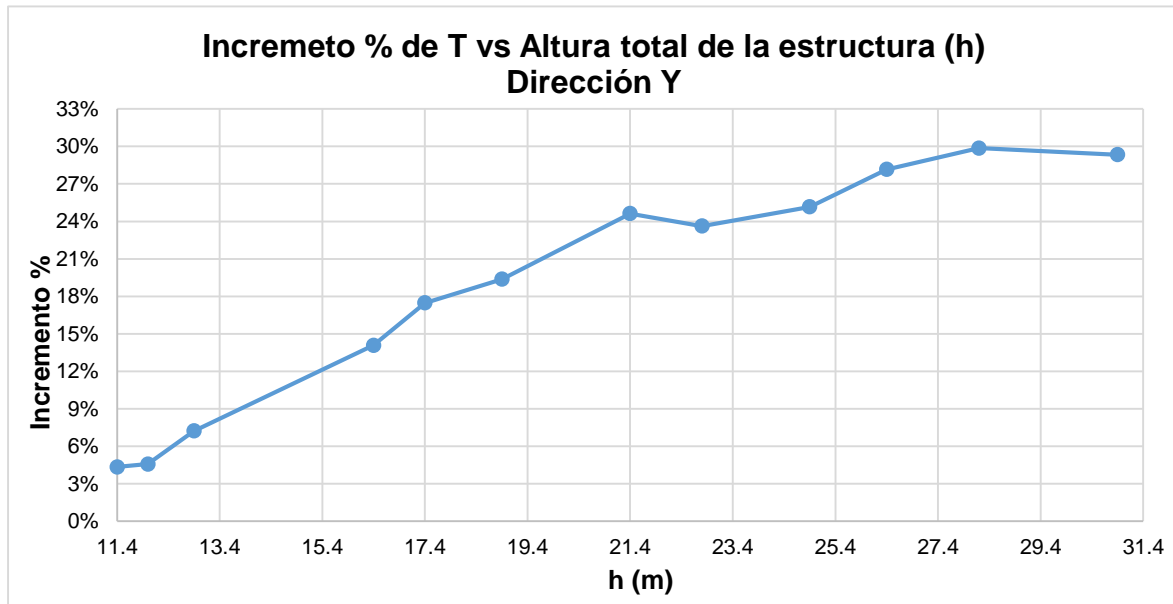
En el *Grafico 3* y *Grafico 4* se observan que los periodos han tenido un aumento con respecto a los del análisis de primer orden. Esta variación se incrementa conforme la altura total de la edificación aumenta tal como se muestra en el *Grafico 5* y *Grafico 6*.

Gráfico 5 Incremento % de T vs Altura total de la estructura. Dirección "X"



Fuente: Elaboración propia

Gráfico 6 Incremento % de T vs Altura total de la estructura. Dirección "Y"



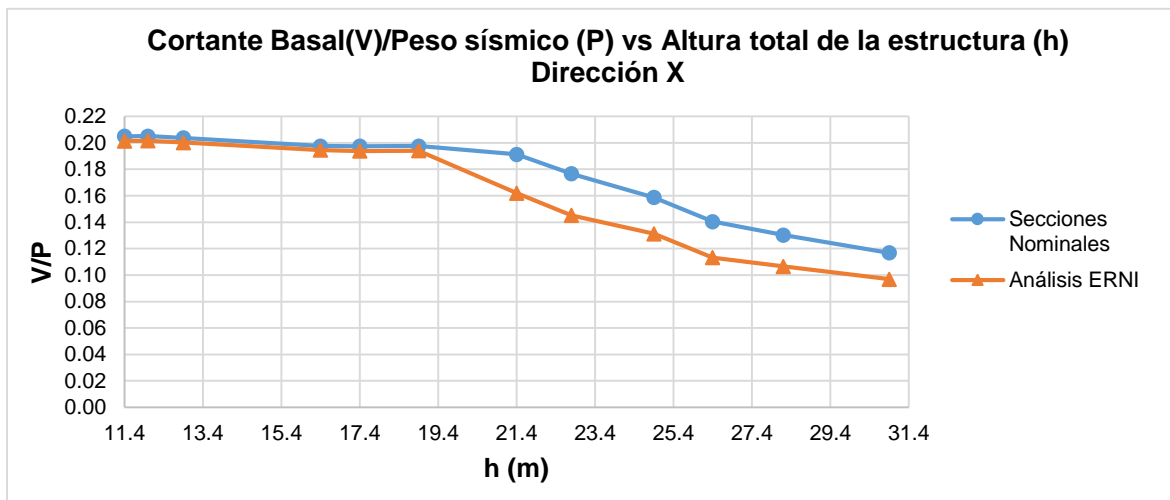
Fuente: Elaboración propia

El incremento del periodo indica un decremento de la rigidez lateral de la estructura puesto que la masa de la estructura es constante de acuerdo a la altura total de la edificación.

4.2. Cortante basal

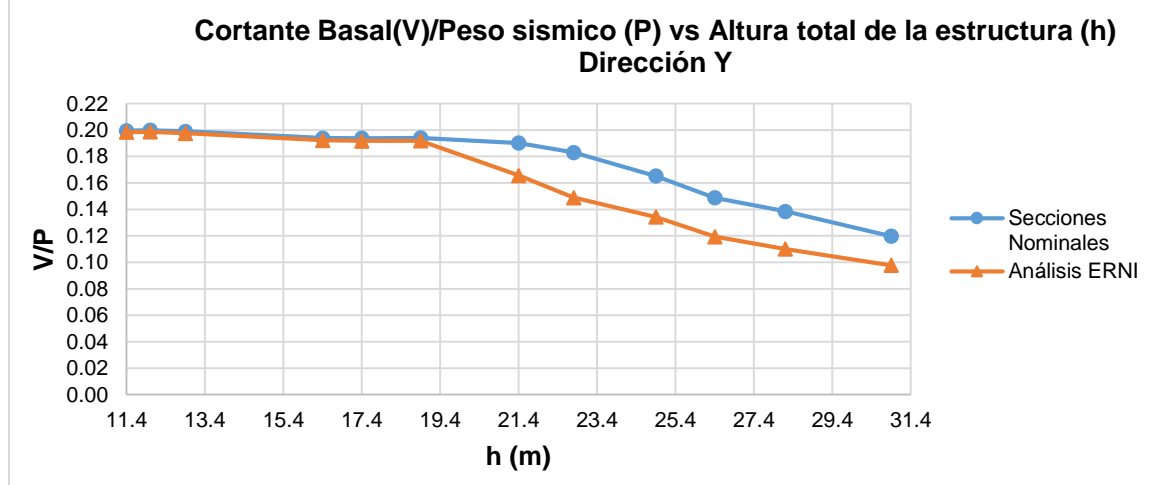
Tomando la relación cortante basal (la más desfavorable de las combinaciones de las resistencias requeridas) – peso sísmico (V/P) versus la altura total de la edificación, se observa que V/P es prácticamente constante en los primeros 6 edificios pertenecientes a 4 y 6 pisos, tanto para el análisis elástico como el Análisis ERNI, en los restantes se nota un decremento en la relación V/P esto debido a que es inversamente proporcional al periodo de la estructura.

Gráfico 7 Cortante Basal/Peso sísmico vs Altura total de la estructura. Dirección "X"



Fuente: Elaboración propia

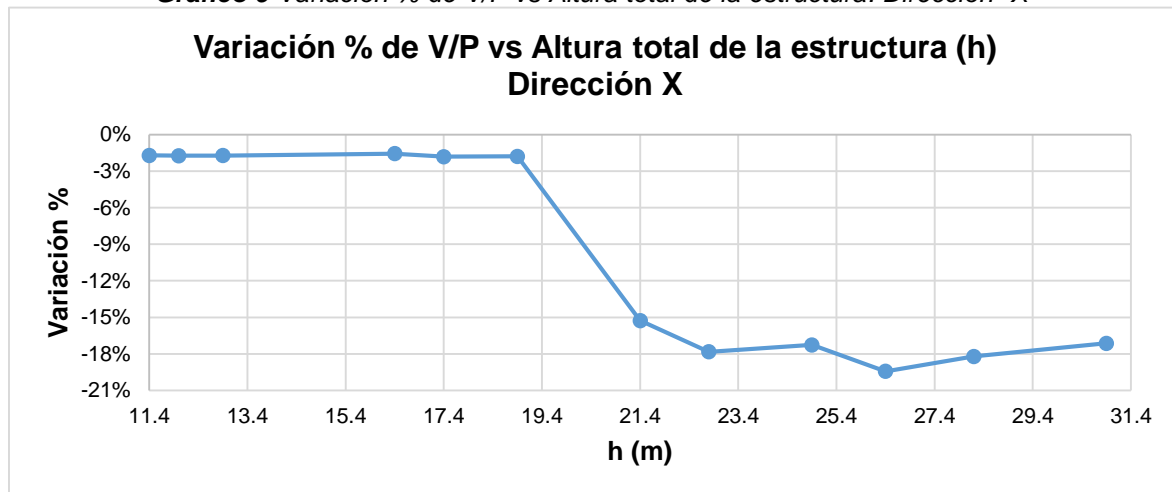
Gráfico 8 Cortante Basal/Peso sísmico vs Altura total de la estructura. Dirección "Y"



Fuente: Elaboración propia

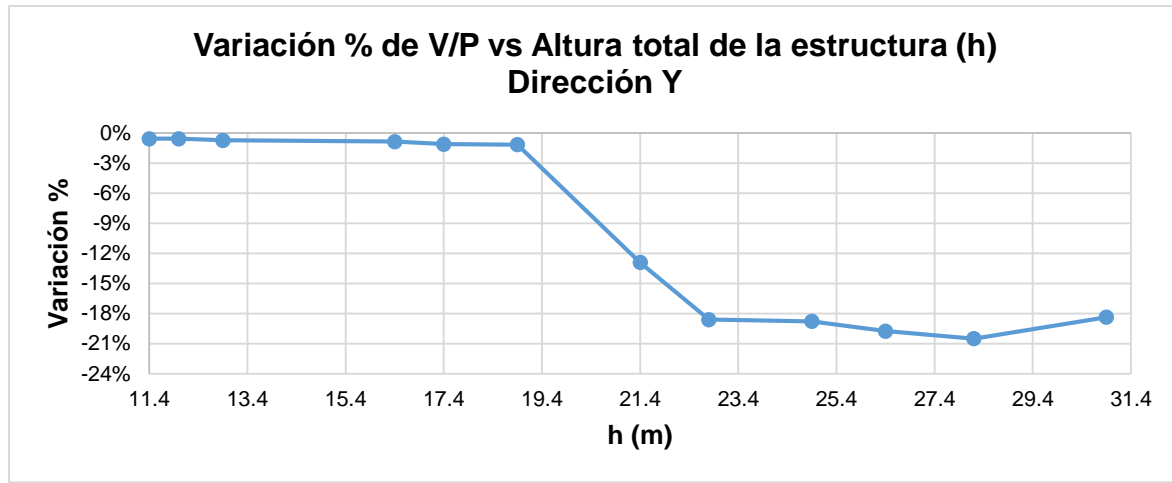
En Gráfico 9 y Gráfico 10 se observa dos niveles en la variación, donde los 6 primeros edificios tienen prácticamente la misma variación entre el del Análisis ERNI y el análisis elástico que se mantiene entre 0.5% y 2% siendo este rango no tan significativo porque son menores que 5% pero en el segundo nivel conformado por los edificios de 8 y 10 pisos sí son significativos dado que superan el 5%, estos últimos valores muestran que hay una pérdida de rigidez lateral lo que conlleva que los períodos aumenten por lo tanto la cortante basal disminuye pero en el primer nivel no sucede este efecto porque los períodos de las estructuras son menores que 0.4 seg. el cual es el valor de Tp del espectro de diseño usado en este estudio, esto se debe a que las aceleraciones espectrales son constantes desde 0 hasta el valor de Tp tal como muestra el Gráfico 2.

Gráfico 9 Variación % de V/P vs Altura total de la estructura. Dirección "X"



Fuente: Elaboración propia

Gráfico 10 Variación % de V/P vs Altura total de la estructura. Dirección "Y"

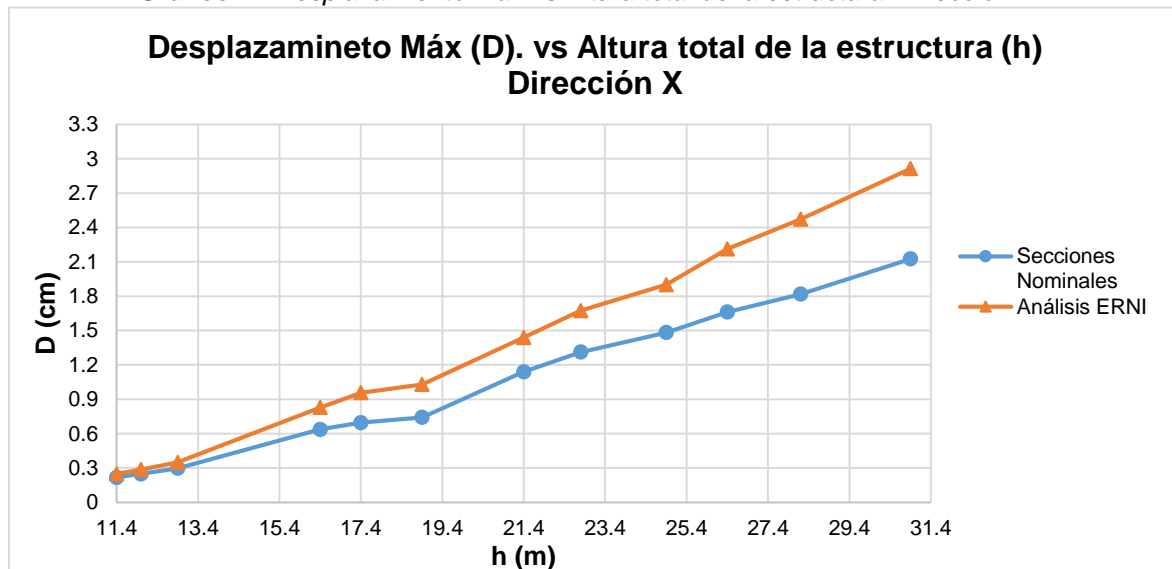


Fuente: Elaboración propia

4.3. Desplazamientos y derivas

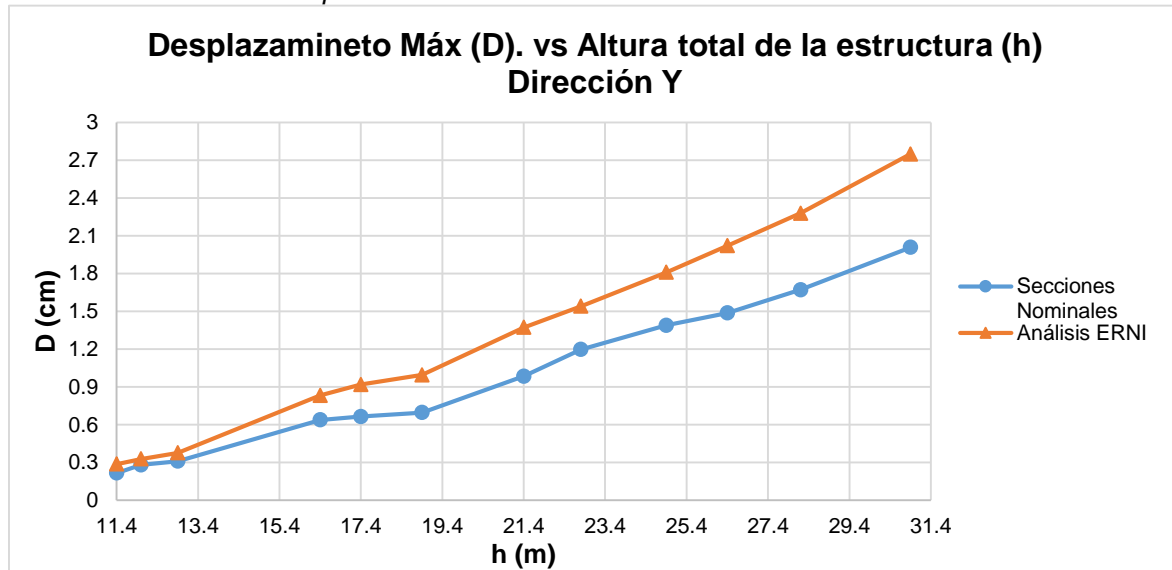
El Gráfico 11 y Gráfico 12 representan los desplazamientos máximos obtenidos de los análisis de acuerdo a la altura total de la estructura donde se observa que a medida que la altura total de la edificación va en aumento, las variaciones de los desplazamientos realizados con el Análisis ERNI con respecto al análisis elástico también se incrementan.

Gráfico 11 Desplazamiento Máx vs Altura total de la estructura. Dirección "X"



Fuente: Elaboración propia

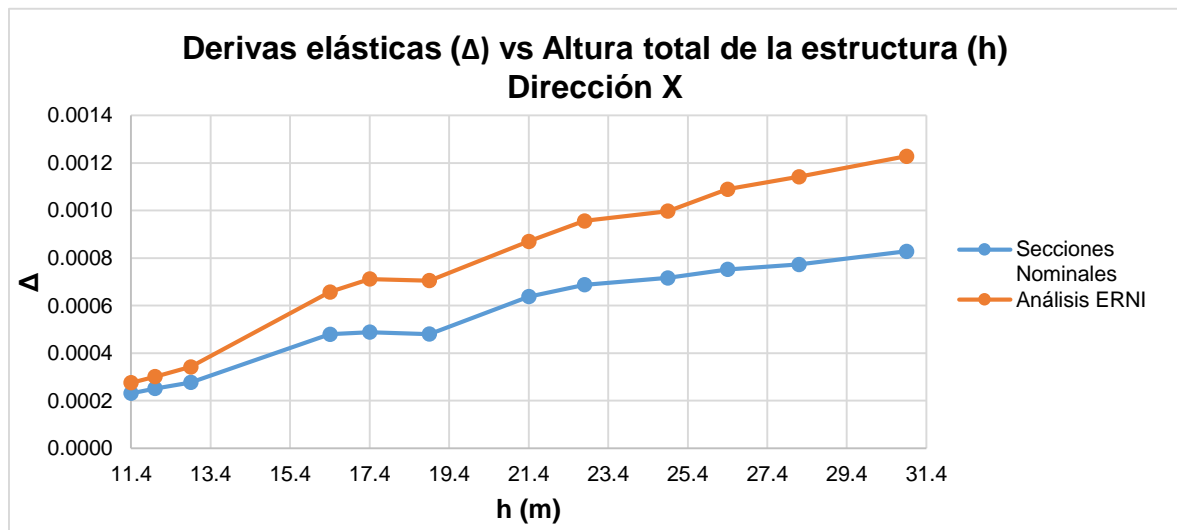
Gráfico 12 Desplazamiento Máx vs Altura total de la estructura. Dirección "Y"



Fuente: Elaboración propia

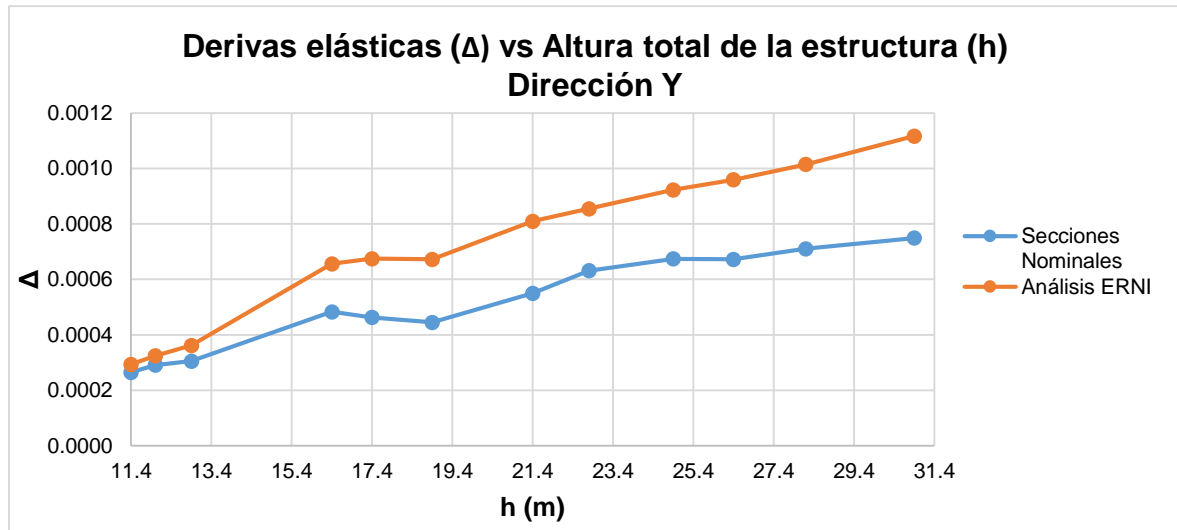
Debido a que el Gráfico 11 y Gráfico 12 representan el desplazamiento máximo pero no el desplazamiento relativo de entre pisos como son las derivas se procedió a construir el Gráfico 13 y Gráfico 14 que muestran las derivas máximas por cada edificio para ambas direcciones (X y Y). Estas graficas muestran un mismo comportamiento debido que a medida que va en aumento la altura total de la estructura, las variaciones también crecen, esto quiere decir que como se mencionó en el apartado de *Periodos de la estructura*, hay una pérdida de rigidez lateral que se acentúa en medida que la altura total de la estructura crece.

Gráfico 13 Derivas elásticas vs Altura total de la estructura. Dirección "X"



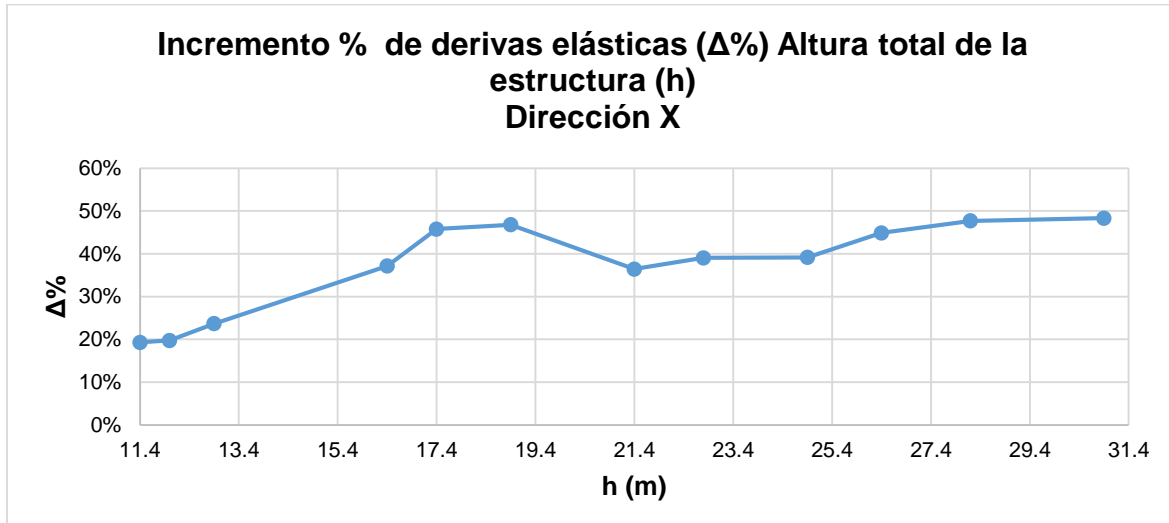
Fuente: Elaboración propia

Gráfico 14 Derivas elásticas vs Altura total de la estructura. Dirección "Y"



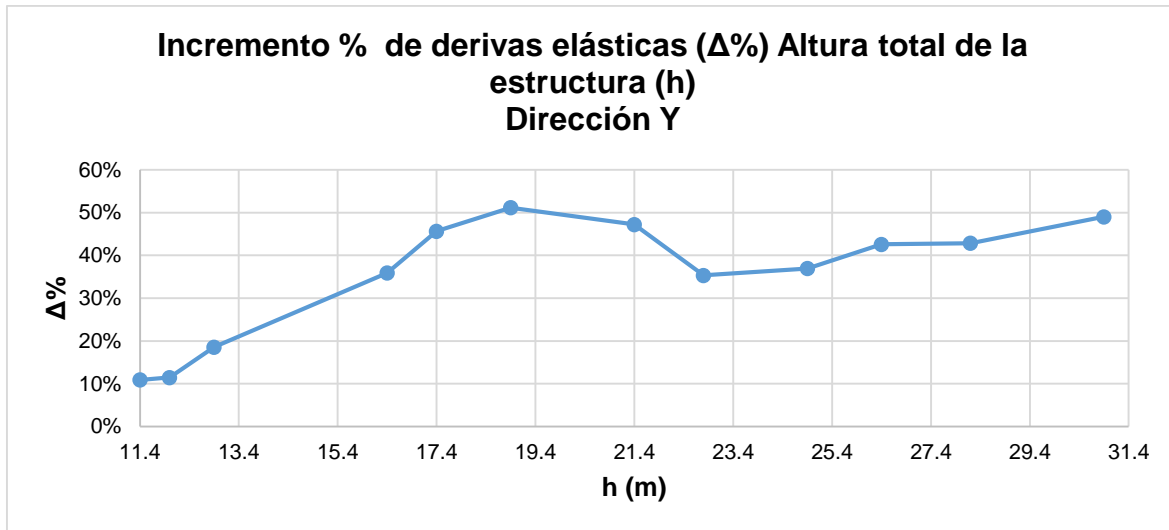
Fuente: Elaboración propia

Gráfico 15 Incremento % de derivas elásticas vs Altura total de la estructura. Dirección "X"



Fuente: Elaboración propia

Gráfico 16 Incremento % de derivas elásticas vs Altura total de la estructura. Dirección "Y"



Fuente: Elaboración propia

4.4. Incremento de fuerzas cortantes, momentos flectores y axial

Las siguientes tablas muestran los elementos que tienen mayor incremento de fuerzas de acuerdo al tipo de fuerza y altura de la estructura.

En la Tabla 27, Tabla 28, Tabla 29 y Tabla 30 se observa que las fuerzas cortantes y momentos pertenecientes a las columnas no tienen incrementos significativos en sus magnitudes como si lo tiene la fuerza axial donde esta se hace notar en las estructuras de mayor altura, pero ocurre lo contrario con respecto a los incrementos porcentuales donde si existen mayores incrementos relativos en las fuerzas de corte y momento, y menor en la componente axial, esto se debe a que estos elementos no son pre dominantes en la rigidez lateral

debido a que las estructuras tienen el sistema estructural de muros de concreto tal como lo define la Norma técnica del RNE E.0.30, sin embargo lo son en el sistema de trasferencias de las cargas gravitacionales a la cimentación, por ello las columnas si tienen magnitudes apreciables en la componente axial y no en la componente de cortantes y momentos.

4.4.1. Máximos incrementos de fuerzas en columnas

Tabla 27 Máximos incrementos en la fuerza axial, cortante y momento flector de las columnas en los edificios de 4 pisos.

Fuerza	4 Pisos 2_5						4 Pisos 2_7						4 Pisos 3_0					
	Frame	Inicial	Final	Incre	Incre. %	Combo	Frame	Inicial	Final	Incre	Incre. %	Combo	Frame	Inicial	Final	Incre	Incre. %	Combo
C_P	20	-41.98	-45.77	3.79	9.0%	Comb2-3	20	-41.79	-45.75	3.95	9.5%	Comb2-3	75	-34.37	-39.43	5.06	14.7%	Comb2
C_V2	412	0.07	0.12	0.04	54.6%	Comb2-1	412	0.05	0.10	0.04	82.6%	Comb2-1	421	0.05	0.06	0.01	15.2%	Comb1
C_V3	120	0.96	1.10	0.15	15.2%	Comb1-2	120	0.98	1.13	0.15	15.4%	Comb1-2	19	1.55	1.68	0.12	8.0%	Comb3-3
C_M2	120	-1.57	-1.74	0.18	11.2%	Comb1-2	120	-1.61	-1.79	0.18	11.5%	Comb1-2	20	1.05	1.27	0.22	21.1%	Comb2-3
C_M3	420	-0.01	-0.07	0.06	689.4%	Comb2-1	420	0.00	-0.07	0.07	2404.8%	Comb2-1	421	-0.04	-0.09	0.04	99.1%	Comb2-1

Fuente: Elaboración propia

Tabla 28 Máximos incrementos en la fuerza axial, cortante y momento flector de las columnas en los edificios de 6 pisos.

Fuerza	6 Pisos 2_5						6 Pisos 2_7						6 Pisos 3_0					
	Frame	Inicial	Final	Incre	Incre. %	Combo	Frame	Inicial	Final	Incre	Incre. %	Combo	Frame	Inicial	Final	Incre	Incre. %	Combo
C_P	54	-165.80	-175.67	9.87	6.0%	Comb1	54	-170.41	-183.19	12.78	7.5%	Comb1	54	-173.45	-184.73	11.28	6.5%	Comb1
C_V2	76	0.14	0.20	0.06	40.1%	Comb2	157	0.01	0.07	0.06	629.0%	Comb3-3	111	0.01	0.11	0.10	1203.4%	Comb3-3
C_V3	64	-1.75	-2.14	0.40	22.7%	Comb3-2	64	-1.23	-1.81	0.58	47.4%	Comb3-2	64	-0.96	-1.65	0.69	71.9%	Comb3-2
C_M2	64	-2.19	-2.77	0.59	26.8%	Comb3-2	64	-1.56	-2.48	0.91	58.5%	Comb3-2	64	-1.20	-2.43	1.22	102.0%	Comb3-2
C_M3	76	-0.08	-0.15	0.08	104.2%	Comb2	421	-0.08	-0.19	0.11	129.3%	Comb2-1	421	-0.03	-0.17	0.15	583.3%	Comb2-1

Fuente: Elaboración propia

Tabla 29 Máximos incrementos en la fuerza axial, cortante y momento flector de las columnas en los edificios de 8 pisos.

Fuerza	8 Pisos 2_5						8 Pisos 2_7						8 Pisos 3_0					
	Frame	Inicial	Final	Incre	Incre. %	Combo	Frame	Inicial	Final	Incre	Incre. %	Combo	Frame	Inicial	Final	Incre	Incre. %	Combo
C_P	54	-190.47	-209.38	18.91	9.9%	Comb2-1	54	-221.11	-242.35	21.24	9.6%	Comb2-1	54	-191.26	-210.61	19.35	10.1%	Comb2-1
C_V2	119	0.01	0.08	0.07	523.2%	Comb3-3	117	0.00	0.08	0.08	2097.4%	Comb3-3	115	0.01	0.08	0.07	803.5%	Comb3-3
C_V3	64	-0.86	-2.10	1.23	143.0%	Comb3-2	62	-0.05	-1.41	1.37	2927.7%	Comb3-2	63	-0.01	-1.24	1.23	14905.4%	Comb3-2
C_M2	64	-0.53	-2.49	1.95	366.2%	Comb3-2	64	-0.17	-2.43	2.26	1355.9%	Comb3-2	64	-0.09	-2.31	2.22	2503.2%	Comb3-2
C_M3	130	-0.09	-0.29	0.20	219.9%	Comb2-1	130	-0.05	-0.36	0.31	620.4%	Comb2-1	130	-0.07	-0.28	0.22	330.9%	Comb2-1

Fuente: Elaboración propia

Tabla 30 Máximos incrementos en la fuerza axial, cortante y momento flector de las columnas en los edificios de 10 pisos.

Fuerza	10 Pisos 2_5						10 Pisos 2_7						10 Pisos 3_0					
	Frame	Inicial	Final	Incre	Incre. %	Combo	Frame	Inicial	Final	Incre	Incre. %	Combo	Frame	Inicial	Final	Incre	Incre. %	Combo
C_P	54	-230.31	-259.46	29.15	12.7%	Comb2-1	130	-278.04	-308.12	30.08	10.8%	Comb1-1	130	-276.04	-307.30	31.26	11.3%	Comb1-1
C_V2	160	0.03	0.11	0.08	261.6%	Comb3-2	413	0.25	0.34	0.09	34.9%	Comb1	147	0.02	0.21	0.19	933.8%	Comb3-2
C_V3	62	-0.12	-1.54	1.42	1148.1%	Comb3-2	62	-0.06	-1.40	1.34	2181.7%	Comb3-2	64	-0.51	-1.66	1.15	224.0%	Comb3-2
C_M2	64	-0.24	-2.49	2.25	936.3%	Comb3-2	64	-0.16	-2.40	2.24	1382.5%	Comb3-2	64	-2.81	-4.94	2.12	75.5%	Comb2-2
C_M3	130	-0.08	-0.39	0.30	370.5%	Comb2-1	130	-0.08	-0.39	0.31	390.0%	Comb2-1	130	-0.08	-0.39	0.31	388.2%	Comb2-1

Fuente: Elaboración propia

4.4.2. Máximos incrementos de fuerzas en vigas

Tabla 31 Máximos incrementos en la fuerza cortante y momento flector de las vigas en los edificios de 4 pisos.

Fuerza	4 Pisos 2_5						4 Pisos 2_7						4 Piso 3_0					
	Frame	Inicial	Final	Incre	Incre. %	Combo	Frame	Inicial	Final	Incre	Incre. %	Combo	Frame	Inicial	Final	Incre	Incre. %	Combo
V_V2	312	1.19	2.08	0.89	74.3%	Comb2-3	312	3.01	3.96	0.95	31.6%	Comb2-3	337	-1.35	-3.26	1.91	141.5%	Comb2-2
V_M3	411	-6.95	-9.19	2.25	32.3%	Comb1-2	411	-6.87	-9.15	2.28	33.2%	Comb1-2	411	-6.65	-9.10	2.45	36.9%	Comb1-2

Fuente: Elaboración propia

Tabla 32 Máximos incrementos en la fuerza cortante y momento flector de las vigas en los edificios de 6 pisos.

Fuerza	6 Pisos 2_5						6 Pisos 2_7						6 Pisos 3_0					
	Frame	Inicial	Final	Incre	Incre. %	Combo	Frame	Inicial	Final	Incre	Incre. %	Combo	Frame	Inicial	Final	Incre	Incre. %	Combo
V_V2	339	-1.18	-2.99	1.81	154.2%	Comb2-2	339	-0.18	-2.28	2.10	1141.3%	Comb2-2	295	-0.28	-2.65	2.37	863.0%	Comb2-2
V_M3	167	-5.32	-7.75	2.42	45.6%	Comb2-2	167	-3.65	-6.95	3.30	90.3%	Comb2-2	167	-2.86	-6.26	3.40	118.9%	Comb2-2

Fuente: Elaboración propia

Tabla 33 Máximos incrementos en la fuerza cortante y momento flector de las vigas en los edificios de 8 pisos.

Fuerza	8 Pisos 2_5						8 Pisos 2_7						8 Pisos 3_0					
	Frame	Inicial	Final	Incre	Incre. %	Combo	Frame	Inicial	Final	Incre	Incre. %	Combo	Frame	Inicial	Final	Incre	Incre. %	Combo
V_V2	185	0.14	3.07	2.92	2031%	Comb2-3	295	-0.02	-3.09	3.08	19603%	Comb2-2	349	0.15	3.12	2.97	1977%	Comb2-3
V_M3	281	-0.63	-5.18	4.55	721.9%	Comb2-2	234	-0.01	-5.13	5.12	81324%	Comb2-3	235	0.00	-5.20	5.20	678822%	Comb2-3

Fuente: Elaboración propia

Tabla 34 Máximos incrementos en la fuerza cortante y momento flector de las vigas en los edificios de 10 pisos.

Fuerza	10 Pisos 2_5						10 Pisos 2_7						10 Pisos 3_0					
	Frame	Inicial	Final	Incre	Incre. %	Combo	Frame	Inicial	Final	Incre	Incre. %	Combo	Frame	Inicial	Final	Incre	Incre. %	Combo
V_V2	295	-0.21	-3.08	2.87	1372%	Comb2-2	295	-0.04	-3.04	3.00	8046%	Comb2-2	349	0.11	2.93	2.82	2486%	Comb2-3
V_M3	236	-0.41	-5.37	4.96	1212%	Comb2-3	236	-0.27	-5.32	5.05	1885%	Comb2-3	360	-0.38	-5.28	4.90	1276%	Comb2-3

Fuente: Elaboración propia

4.4.3. Máximos incrementos de fuerzas en muros

Debido a que los muros de concreto armado son predominantes en la rigidez lateral, son los que muestran entre todos los tipos de elementos, los mayores incrementos tanto en magnitudes como porcentuales como por ejemplo el momento M3 del muro Y6 del piso 4 del edificio de 6 Pisos de 2.5 metros de altura de entrepiso que llega a superar el 1600%.

Tabla 35 Máximos incrementos en la fuerza axial, cortante y momento flector de los muros en los edificios de 4 pisos

Fuerza	4 Pisos 2_5							4 Pisos 2_7							4 Pisos 3_0						
	Piso	Muro	Inicial	Final	Incre	Incre. %	Combo	Piso	Muro	Inicial	Final	Incre	Incre. %	Combo	Piso	Muro	Inicial	Final	Incre	Incre. %	Combo
M_P	Story1	Y8	-114.09	-126.63	12.55	11.0%	Comb1-3	Story2	Y4	5.76	17.62	11.86	206%	Comb1-3	Story1	Y1	-3.61	-36.94	33.33	924.5%	Comb2-2
M_V2	Story1	X4	4.93	10.38	5.45	110.6%	Comb3-1	Story1	X4	4.93	10.68	5.74	116%	Comb3-1	Story1	X3	-4.79	-10.25	5.46	114.1%	Comb2-2
M_M3	Story1	Y1	-2.13	-21.73	19.60	920.8%	Comb3-1	Story2	X4	-1.98	-22.53	20.55	1038%	Comb3-1	Story1	Y1	44.07	80.78	36.71	83.3%	Comb3-1

. Fuente: Elaboración propia

Tabla 36 Máximos incrementos en la fuerza axial, cortante y momento flector de los muros en los edificios de 6 pisos.

Fuerza	6 Pisos 2_5							6 Pisos 2_7							6 Pisos 3_0						
	Piso	Muro	Inicial	Final	Incre	Incre. %	Combo	Piso	Muro	Inicial	Final	Incre	Incre. %	Combo	Piso	Muro	Inicial	Final	Incre	Incre. %	Combo
M_P	Story1	Y7	-215.31	-468.46	253.15	117.6%	Comb2	Story1	Y4	11.86	62.57	50.71	428%	Comb2	Story1	Y4	21.20	74.97	53.77	253.6%	Comb2
M_V2	Story2	Y7	24.41	63.38	38.97	159.6%	Comb2-2	Story1	X4	9.95	20.43	10.48	105%	Comb2-2	Story1	X3	-7.08	-17.42	10.34	146.1%	Comb2-3
M_M3	Story4	Y7	6.89	122.36	115.46	1674.8%	Comb2-3	Story2	X1	-2.36	-40.05	37.69	1599%	Comb2-3	Story1	Y8	-137.20	-180.03	42.83	31.2%	Comb2-3

Fuente: Elaboración propia

Tabla 37 Máximos incrementos en la fuerza axial, cortante y momento flector de los muros en los edificios de 8 pisos.

Fuerza	8 Pisos 2_5							8 Pisos 2_7							8 Pisos 3_0						
	Piso	Muro	Inicial	Final	Incre	Incre. %	Combo	Piso	Muro	Inicial	Final	Incre	Incre. %	Combo	Piso	Muro	Inicial	Final	Incre	Incre. %	Combo
M_P	Story1	Y7	-172.23	-229.70	57.46	33.4%	Comb3-2	Story2	X4	-176.40	-219.54	43.14	24%	Comb3	Story1	X4	-235.97	-280.38	44.41	18.8%	Comb3
M_V2	Story1	X1	13.43	23.97	10.54	78.5%	Comb2-3	Story1	X4	13.17	23.23	10.06	76%	Comb2-2	Story1	X4	11.71	22.12	10.41	89.0%	Comb2-2
M_M3	Story1	Y7	96.76	145.76	49.00	50.6%	Comb2-2	Story3	X6	4.05	51.05	47.00	1162%	Comb2-2	Story3	X6	4.41	50.43	46.02	1042.9%	Comb2-2

Fuente: Elaboración propia

Tabla 38 Máximos incrementos en la fuerza axial, cortante y momento flector de los muros en los edificios de 10 pisos.

Fuerza	10 Pisos 2_5							10 Pisos 2_7							10 Pisos 3_0						
	Piso	Muro	Inicial	Final	Incre	Incre. %	Combo	Piso	Muro	Inicial	Final	Incre	Incre. %	Combo	Piso	Muro	Inicial	Final	Incre	Incre. %	Combo
M_P	Story2	X4	-204.37	-256.07	51.70	25.3%	Comb3	Story1	Y7	-192.19	-247.40	55.21	29%	Comb3-2	Story1	Y7	-187.30	-238.25	50.95	27.2%	Comb3-2
M_V2	Story1	X4	13.16	26.73	13.56	103.0%	Comb2-2	Story1	X3	-6.85	-20.64	13.79	201%	Comb2-3	Story1	X3	-6.07	-19.34	13.27	218.5%	Comb2-3
M_M3	Story3	X6	3.47	65.99	62.52	1801.2%	Comb2-2	Story3	X6	3.69	65.09	61.40	1666%	Comb2-2	Story3	X6	7.55	63.92	56.37	746.9%	Comb2-2

Fuente: Elaboración propia

4.5. Representación gráfica de las variaciones de las fuerzas con respecto a la altura total de la estructura

Los cuadros anteriores representan las variaciones de las fuerzas de los elementos más críticos, siendo estos no necesariamente el comportamiento de todos los elementos de las estructuras correspondientes, por ello se representa mediante el Gráfico 17 hasta el Gráfico 22 el porcentaje de elementos de cada estructura correspondiente que tienen incrementos en sus fuerzas mayores al 0% y 5%.

4.5.1. Vigas

De la *Gráfica 17* y *Gráfica 18* se observa que en los edificios de 4 pisos hay un mayor porcentaje de vigas que han sufrido incrementos, pero en los edificios de 10 pisos se presenta un menor porcentaje de vigas tanto para la *Gráfica 17* como para la *Gráfica 18*, también se puede observar que existe un mayor porcentaje de vigas que sufren incrementos en su fuerza de corte que en el porcentaje de vigas que cuentan con incrementos en los momentos de flexión.

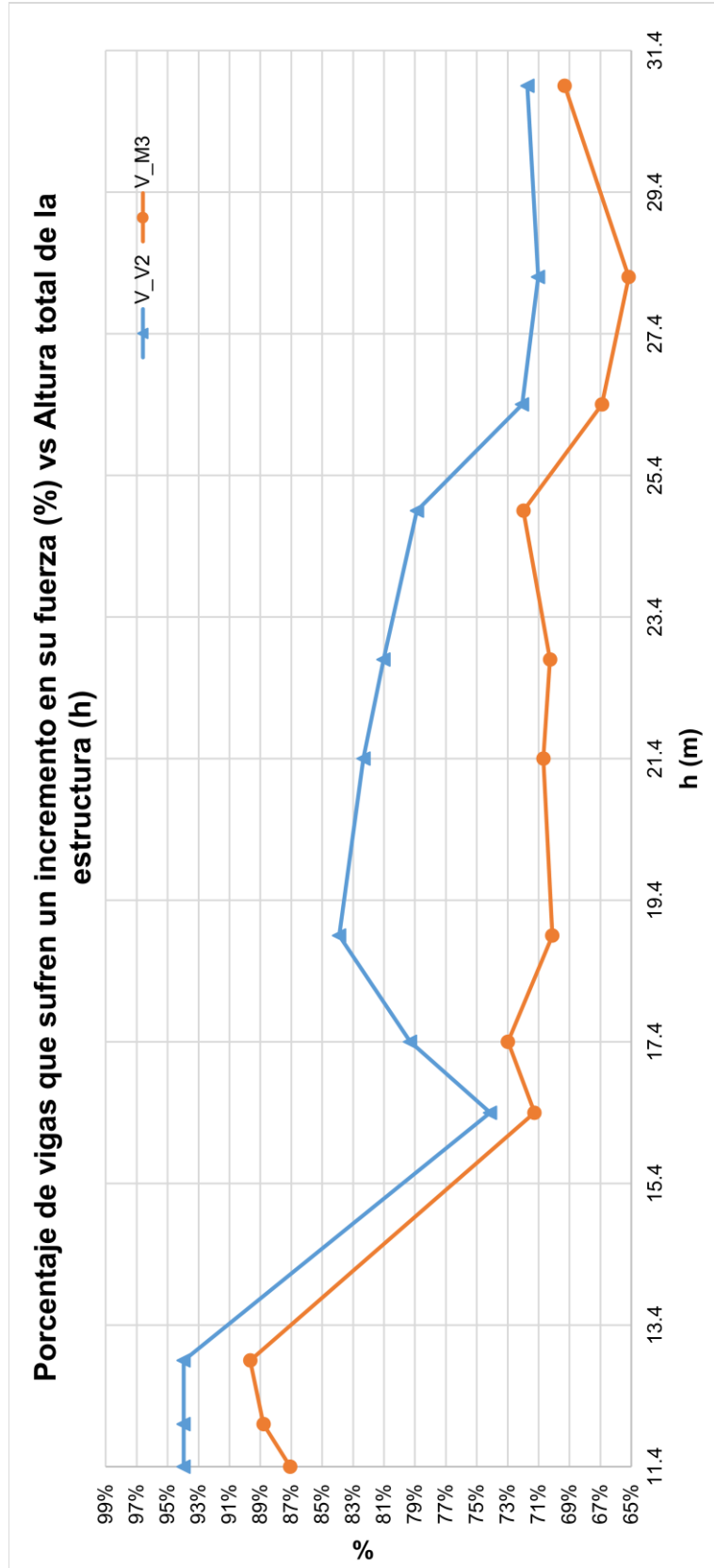


Gráfico 17 Porcentaje de vigas que sufren un incremento en su fuerza vs Altura total de la estructura. Para vigas que sufren aumentos mayores a 0%.

Fuente: Elaboración propia

Porcentaje de vigas que sufren un incremento en su fuerza (%) vs Altura total de la estructura (h)

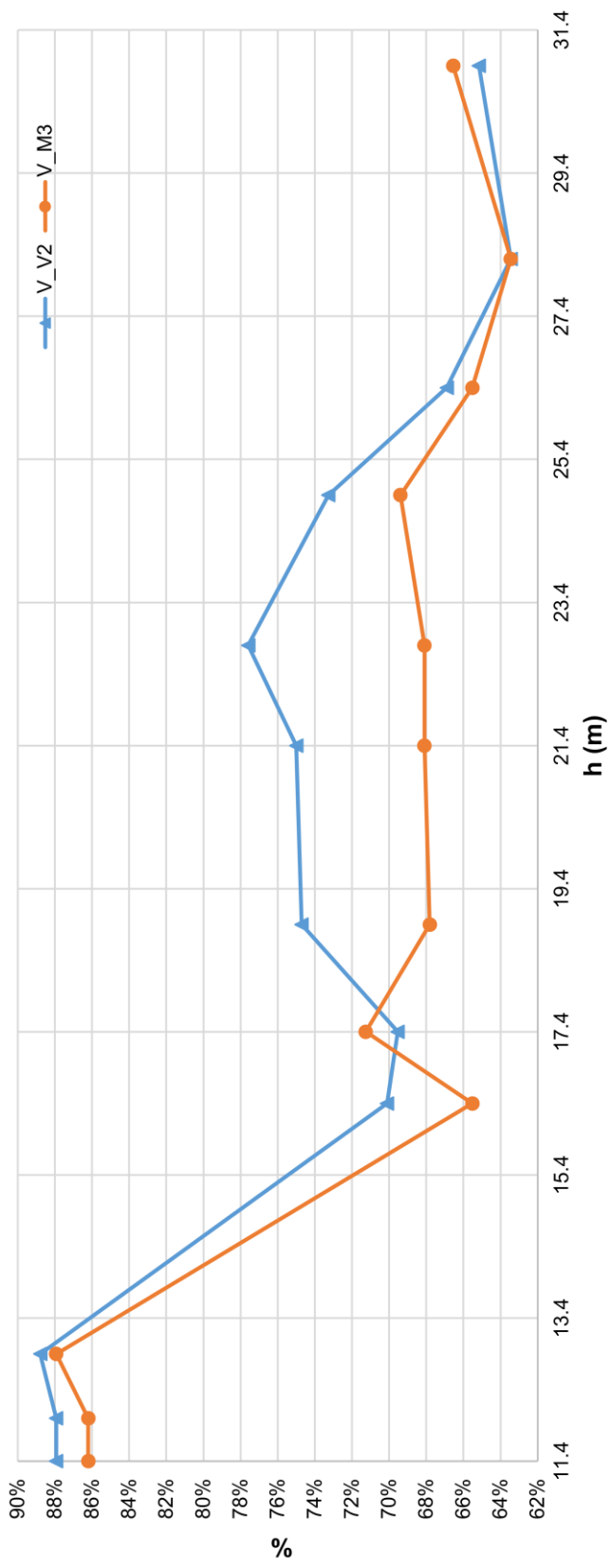


Gráfico 18 Porcentaje de vigas que sufren un incremento en su fuerza vs Altura total de la estructura. Para vigas que sufren aumentos mayores al 5%.

Fuente: Elaboración propia

4.5.2. Columnas

En la *Gráfica 19* y *Gráfica 20*, se observa que el porcentaje de columnas de cada estructura que tiene incrementos en la componente axial va creciendo a medida que la altura total de la edificación aumenta teniendo como límite inferior el 50% de columnas que presentan incrementos, este comportamiento se debe a que mientras las estructuras aumentan en altura las cargas gravitacionales también lo hacen, generando mayores magnitudes en los momentos de segundo orden, los cuales son transmitidos a la cimentación mediante los elementos verticales (columnas).

Con respecto a las fuerzas de corte se observa la fuerza interna V2 cuyo eje es paralelo al eje "X" global, tiene una tendencia creciente a medida que la altura total de la estructura aumenta, se tiene como intervalo un 5% y 30% de columnas que sufren de incrementos en su fuerza V2. La fuerza interna V3 (eje paralelo Y) tiene mayor cantidad de columnas con incrementos en su fuerza cortante, presentando una tendencia con pocas variaciones entre sí con respecto a la altura de la edificación. Se tiene una mayor cantidad de columnas que cuentan con incrementos en la fuerza V3 que las columnas que sufren incrementos en la fuerza V2 debido a la cantidad de pórticos que existen en la dirección Y, puesto que los muros ubicados en los extremos paralelos al eje Y pierden rigidez que conlleva a que los pórticos tomen cierta importancia en la rigidez lateral de la estructura.

El número de columna que tienen incrementos en el momento M2 (rotación alrededor del eje global Y), se observa que en las estructuras de menor tamaño analizadas tienen mayor relevancia en la rigidez lateral, este efecto va decreciendo a medida que la altura de la edificación va aumentando, en cambio el porcentaje de columnas de la estructura que tienen incrementos en la fuerza M3 (rotación alrededor del eje global X) se mantienen alrededor del 27%.

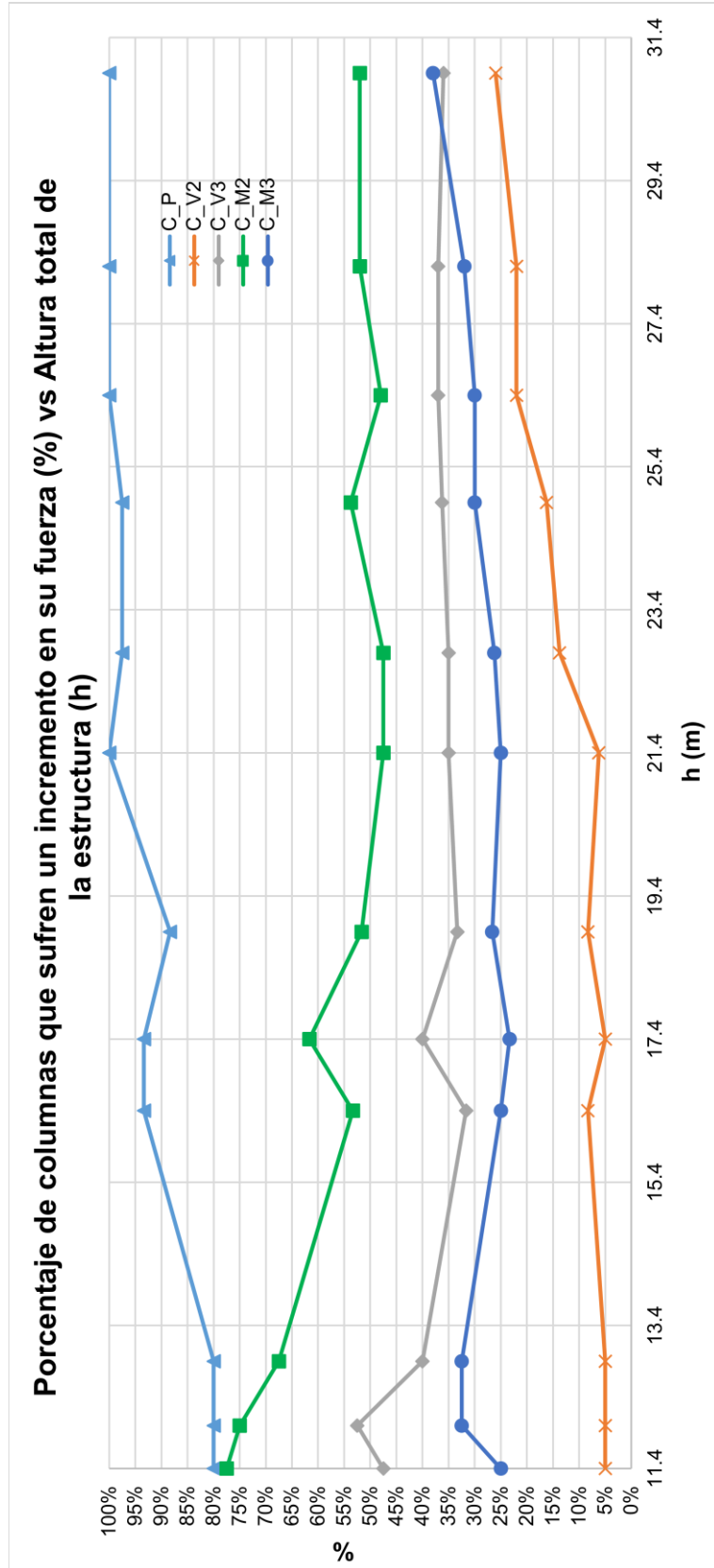


Gráfico 19 Porcentaje de columnas que sufren un incremento en su fuerza vs Altura total de la estructura. Para columnas que sufren aumentos mayores a 0%.

Fuente: Elaboración propia

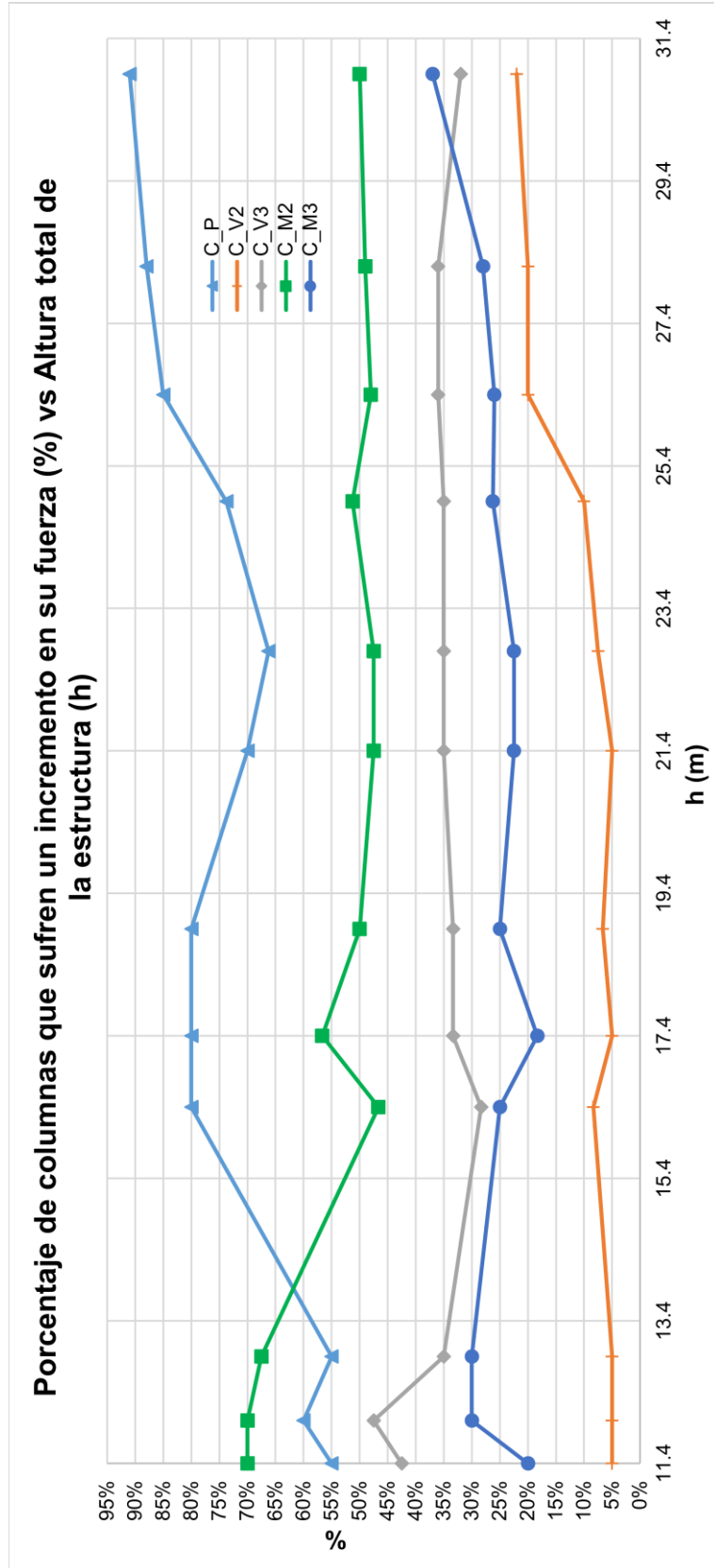


Gráfico 20 Porcentaje de columnas que sufren un incremento en su fuerza (%) vs Altura total de la estructura (h)

Gráfico 20 Muestra el porcentaje de columnas que sufren un incremento en su fuerza (%) en función de la altura total de la estructura (h) para cinco tipos de columnas: C_P, C_V2, C_V3, C_M2 y C_M3. Los datos muestran que el porcentaje disminuye progresivamente con la altura, excepto para C_V2 que muestra un pico significativo alrededor de 19.4 m.

aumentos mayores al 5%.

Fuente: Elaboración propia

4.5.3. Muros

En la *Gráfica 21* y *Gráfica 22* se observa que el porcentaje de muros que tienen incrementos en las fuerzas internas de cada estructura hay una disminución a medida que la altura de la estructura va en aumento, en la componente axial esto se debe a que el momento de volteo provocado por las fuerzas iniciales se ven reducidas a medida que la altura de la estructura aumenta.

El porcentaje de muros que cuentan con incrementos en la fuerza V2 y fuerza M3 llega a tener una cantidad significativa esto se debe a que en los edificios analizados de 4 y 6 pisos no hay un cambio considerable de la cortante basal como si lo hay a partir de los edificios de 8 pisos hacia adelante, donde hay una pérdida de rigidez que conlleva a un aumento en los períodos de la estructura.

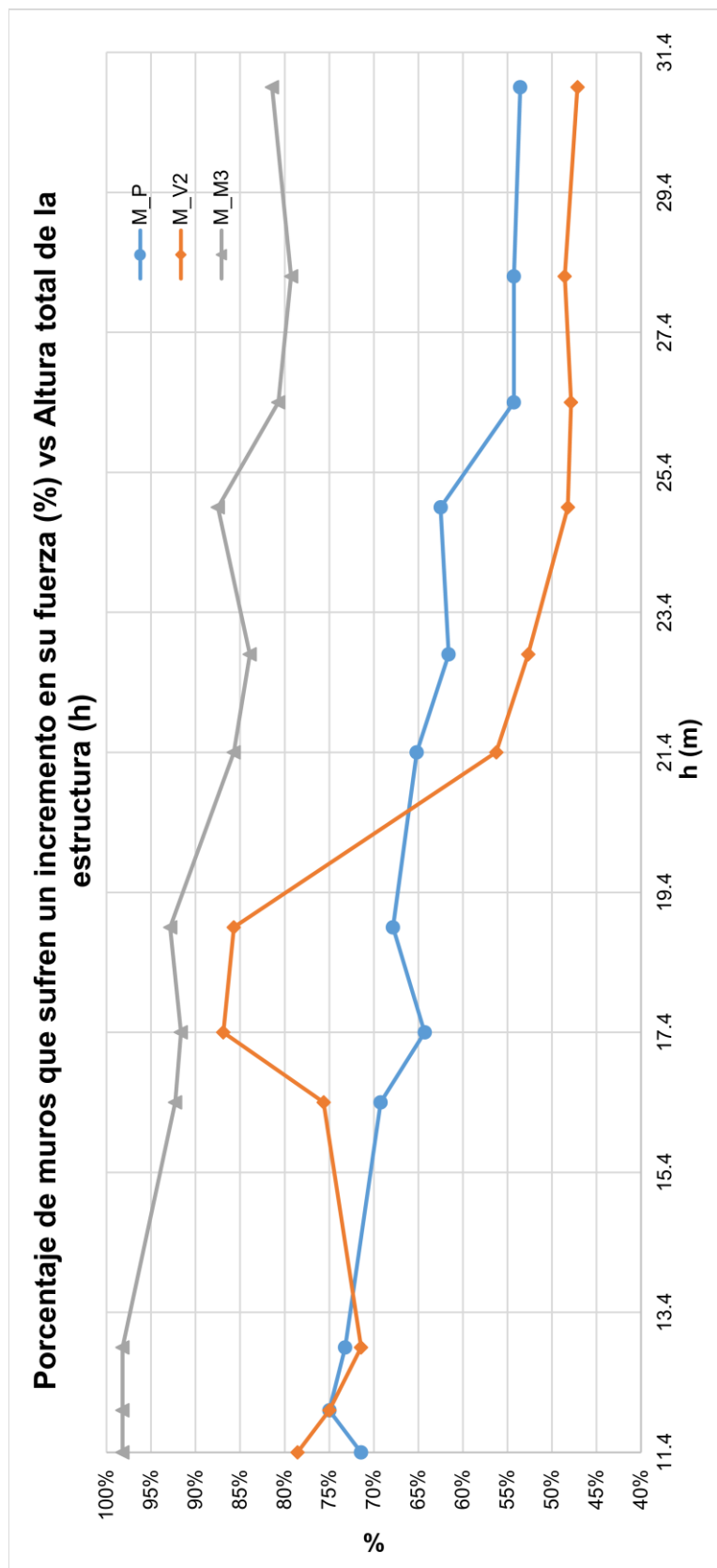


Gráfico 21 Porcentaje de muros que sufren un incremento en su fuerza vs Altura total de la estructura. Para muros que sufren aumentos mayores a 0%.

Fuente: Elaboración propia

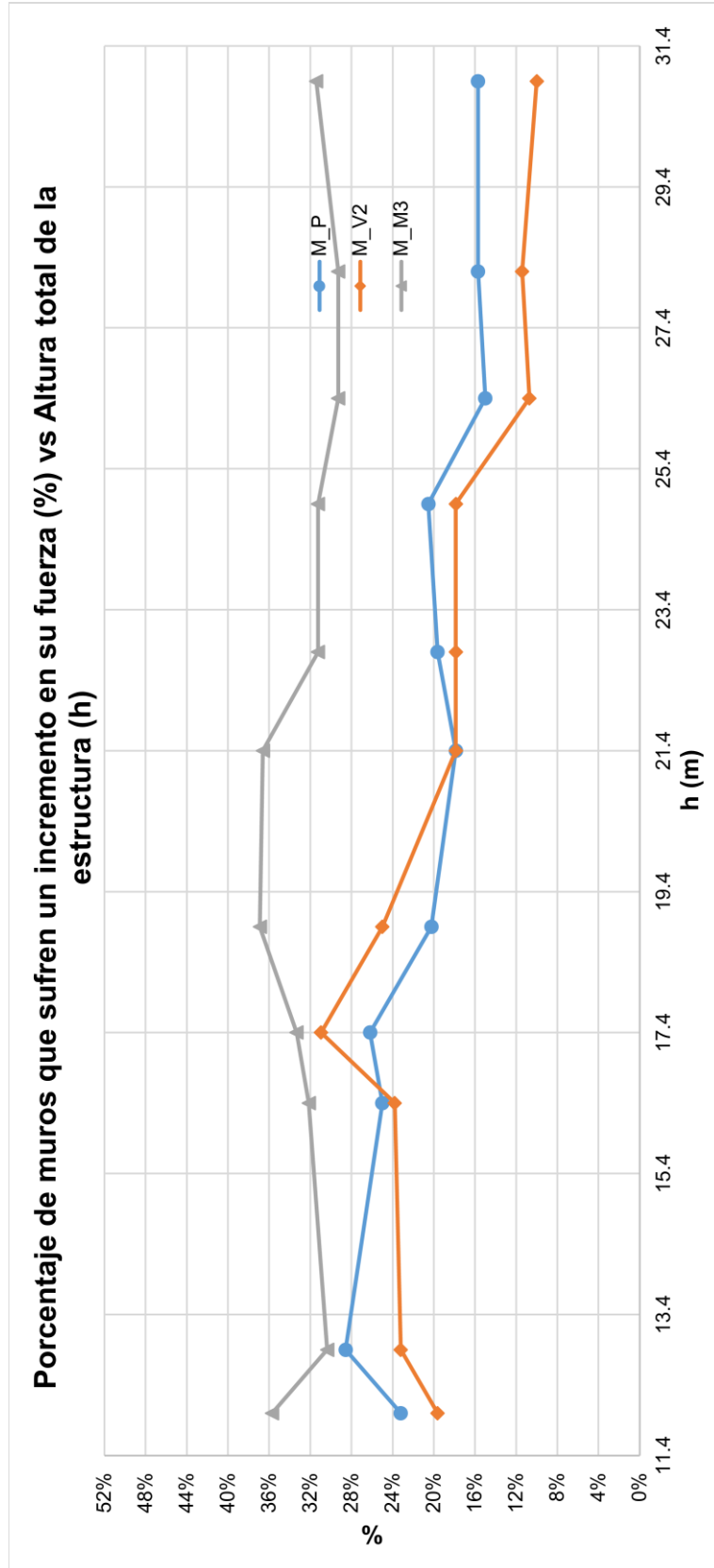


Gráfico 22 Porcentaje de muros que sufren un incremento en su fuerza vs Altura total de la estructura. Para muros que sufren aumentos mayores al 5%.

Fuente: Elaboración propia

CAPÍTULO V

CONCLUSIONES

1. Del procesamiento de la información acerca de las 3 consideraciones añadidas (rigidez efectiva, la no linealidad geométrica y las imperfecciones iniciales) en el análisis estructural elástico se concluyó que es necesario conocer, las fuerzas actuantes, cuantías de acero y dimensiones de los elementos estructurales para mejorar la predicción de los desplazamientos y fuerzas internas en el comportamiento de las estructuras ante las distintas solicitudes sobre ellas.
2. La configuración estructural de los edificios de muestra, está dispuesta por muros en las 4 esquinas y cajones de ascensores y escaleras, y columnas en la parte interna de la edificación, conectando estos elementos estructurales mediante vigas formando así una serie de pórticos y muros acoplados. Se mantiene la misma configuración estructural en todos los pisos, variando solamente las secciones transversales de las columnas y vigas, el espesor de los muros y la resistencia a la compresión del concreto (de 4 a 6 pisos un f'_c de 210 kg/cm² y de 8 a 10 pisos un concreto de 280 kg/cm²).
3. El modelo estructural para el análisis elástico, está conformado con elementos tipo frame para columnas y vigas, y elementos tipo malla para muros. Estos elementos contienen propiedades mecánicas dependientes del módulo de elasticidad del concreto y los respectivos momentos de inercias de las secciones nominales manteniendo la linealidad del material, el modelo no incluye la interacción suelo-estructura.

Para realizar este análisis estructural se usó la herramienta informática ETABS, en este análisis se observó que las solicitudes en las columnas y vigas no son relevantes debido a que el sistema estructural es de muros de concreto.

4. El “Análisis ERNI” (análisis elástico considerando la rigidez efectiva, la no linealidad geométrica y las imperfecciones iniciales) se basa en el análisis elástico excepto por dos variantes, la representación de los desplazamientos mediante cargas ficticias y la variación del momento de inercia:
 - a. Para modelar la primera variante, es necesario conocer los desplazamientos debidos al proceso constructivo y de segundo orden, todos estos desplazamientos son modelados mediante fuerzas cortante que originan un

par de momentos que tienen la misma magnitud del producto de los desplazamientos y cargas axiales, debido a que no se pueden conocer con exactitud las imperfecciones iniciales en la etapa de diseño estas tendrán el mismo valor a las tolerancias de la norma ACI-117 asumiendo que el desplome es constante en todos los niveles de los edificios.

- b. Para la segunda variante es necesario conocer las fuerzas internas y/o esfuerzos, las dimensiones de las secciones transversales, y la cuantía para el caso de muros y vigas.

Para realizar el “Análisis ERNI” se requirió de la creación de una herramienta informática de apoyo denominada “ARE2015” que contenga la teoría presentada en esta investigación para reducir el tiempo de duración en este tipo de análisis, “ARE2015” está programada en el lenguaje de visual basic.net debido a que este lenguaje es compatible con la API del Software ETABS que es una vinculación bidireccional, la principal función de “ARE2015” es recopilar la información de los análisis estructurales realizados en el software ETABS y procesarla para ser enviada al ETABS con los nuevos valores de fuerzas y rigideces para realizar nuevamente el análisis estructural.

Se observó que en el programa “ARE2015”, a medida que la altura de los edificios y el grado de inestabilidad crece el tiempo para llegar a la convergencia también lo hace, esto se debe a que al existir mayores números de elementos en el modelo analítico también aumentan los grados de libertad.

5. En el análisis de resultados, se observa que en los períodos de los edificios analizados en la dirección de análisis no tiene una tendencia clara a diferencia a la dirección perpendicular a esta.

Las solicitudes donde existe la presencia de la carga sísmica se obtuvieron la mayor cantidad de ciclos para que el análisis llegue a la convergencia, con respecto al resto de las solicitudes en su respectiva estructura.

La cantidad de ciclos refleja el grado de inestabilidad que tienen las estructuras por lo tanto estas solicitudes que contienen carga sísmica son las que tienen un mayor grado de inestabilidad llevándonos a la conclusión que estas predominan el estado crítico.

Los resultados de ambos análisis demuestran que en el “Análisis ERNI” con respecto al análisis elástico se obtuvo:

- a. Disminución es su cortante basal.

b. Aumento en los periodos, deflexiones y derivas.

Esto se debe a que existe una pérdida de rigidez en los elementos estructurales que componen estas estructuras.

Los periodos y las derivas tienen un incremento de variación porcentual a medida que la altura total de la estructura va en aumento esto se debe a que el grado de inestabilidad está determinado por los efectos de segundo orden en los edificios más altos.

También a medida que la altura de la estructura crece, las variaciones de los periodos entre el primer y segundo modo se van acercando entre sí, esto se debe a que los efectos de torsión son significativos en las estructuras de mayor altura provocados por la degradación de rigidez de algunos elementos que conllevan al desplazamiento del centro de rigidez provocando este efecto.

Se observan incrementos significativos en las fuerzas internas de los muros tanto en las magnitudes como en los valores relativos porcentuales, esto se debe a que, estos elementos son predominantes en la rigidez lateral de las estructuras.

Los incrementos en las fuerzas internas de las columnas y vigas, no son significativas debido que las variaciones en cuestión de magnitudes son pequeñas, aunque los valores relativos porcentuales sean apreciables, esto se debe a la poca importancia en la rigidez lateral de las estructuras.

En el análisis ERNI se observa que los incrementos porcentuales de las derivas son directamente proporcionales a las alturas de las estructuras en las cuales nos muestra 2 tendencias:

- a. Entre las alturas de 11.4m y 18.9m tienen una tendencial lineal positiva de una pendiente pronunciada
- b. Y en las alturas mayores a 18.9 m. los incrementos porcentuales tienen una tendencia lineal positiva de poca pendiente.

Se concluye que la altura total de la estructura influye en las resistencias requeridas y desplazamientos mediante la aplicación del Análisis ERNI.

RECOMENDACIONES

1. Realizar estudios de comparación entre la aplicación de los factores de inercia efectiva de la norma ACI 318 en el Análisis ERNI con los factores usados en el presente estudio.
2. Se recomienda estudiar las variaciones de las resistencias requeridas y desplazamientos realizados con el Análisis ERNI con respecto a un análisis elástico en un sistema aporticado.
3. Investigar la influencia del Análisis ERNI con respecto a un análisis elástico para estructuras de superiores a 30.9 m. e inferiores a 11.4 m.
4. Se recomienda realizar ensayos a escala para conocer la precisión del Análisis ERNI.

REFERENCIAS BIBLIOGRÁFICAS

1. SENCICO. (2006). *Reglamento Nacional de Edificaciones NTE E-0.20, Cargas.* Reglamento Nacional de Edificaciones. Lima.
2. SENCICO. (2016). *Reglamento Nacional de Edificaciones NTE E-0.30, Diseño Sismorresistente.* Reglamento Nacional de Edificaciones. Lima.
3. SENCICO. (2009). *Reglamento Nacional de Edificaciones NTE E-0.60, Concreto Armado.* Reglamento Nacional de Edificaciones. Lima.
4. ACI Committee 318. (2014). *Building Code Requirements for Structural Concrete and Commentary ACI 318S-14.* American Concrete Institute. USA.
5. ACI Committee 117. (2010). *Specification for Tolerances for Concrete Construction and Materials and Commentary ACI 117-10.* American Concrete Institute. USA.
6. Centro de Investigación de los Reglamentos Nacionales de Seguridad para las Obras Civiles. (2005). *Reglamento Argentino de estructuras de hormigón CIRSOC 201-05.* Centro de Investigación de los Reglamentos Nacionales de Seguridad para las Obras Civiles. Buenos Aires.
7. American Institute of Steel Construction. (2010). *Specification for Structural Steel Buildings ANSI/AISC 360-10.* American Institute of Steel Construction. USA.
8. Khuntia, M., and Ghosh, S. K. (2004). *Flexural Stiffness of Reinforced Concrete Columns and Beams: Analytical Approach,* *ACI Structural Journal.* American Concrete Institute USA.
9. Ratnesh, K., and Yogendra S. (2010). *Stiffness of Reinforced Concrete Frame Members for Seismic Analysis,* *ACI Structural Journal.* American Concrete Institute USA.
10. Kenneth, J. E. and Marc O. E. (2009). *Effective Stiffness of Reinforced Concrete Columns,* *ACI Structural Journal.* American Concrete Institute USA.
11. Ahmad R. (2011). *Lateral Stiffness of Concrete Shear Walls for Tall Buildings,* *ACI Structural Journal.* American Concrete Institute USA.

ANEXOS

Anexo A: Código y diseño de ARE2015 en lenguaje Visual Basic

Primer_I (código)

```
1. Imports System.Threading
2. Public Class Primer_I
3.     'VARIABLES GENERALES
4.     Dim ret As Integer
5.     Dim ETABSObject As ETABS2016.cOAPI
6.     Dim myHelper As ETABS2016.cHelper
7.     Dim SapModel As ETABS2016.cSapModel
8.     Dim NCombos As Integer, NSecc As Integer, NGrup As Integer
9.     Dim LisCombos() As String, LisSecc() As String, LisGrup() As String
10.    Dim ArchivoETABS As String
11.    Dim LisMu() As String
12.    Dim MatInVig(,,) As Double
13.    Dim LisVig() As String
14.    Dim MaGeoCol(,) As Double
15.    Dim PuMinCol() As Double
16.    Dim LisCol() As String
17.    Dim MaGeoMu(,) As Double
18.    Dim fcr() As Double
19.    Dim LisPier() As String
20.    Dim LisNudosMu(,) As String
21.    Dim MuroEjeLocal(,) As Double
22.    Dim LonSubFrames() As Double
23.    Dim NIFrames(,) As String
24.    Dim MaEjeLocal(,) As Double
25.    Dim LisFrames() As String
26.    Dim NFrames As Integer
27.    Dim NCol As Integer = 0
28.    Dim NMuros As Integer
29.    Dim NVig As Integer
30.    Dim LisPgCol() As Double
31.    Dim LisPgMu() As Double
32.    Dim Pr1 As Threading.Thread
33.    Dim DireccionETABS As String
34. Private Sub B_Abrir_Click(ByVal sender As System.Object, ByVal e As
System.EventArgs) Handles B_Abrir.Click
35.     Dim openFileDialog1 As New OpenFileDialog()
36.     openFileDialog1.Filter = "Cursor Files|*.edb"
37.     openFileDialog1.Title = "Select a Cursor File"
38.     If openFileDialog1.ShowDialog() = System.Windows.Forms.DialogResult.OK
Then
39.         ArchivoETABS = openFileDialog1.FileName
40.         myHelper = New ETABS2016.Helper
41.         Label6.Text = "Cargando ETABS..."
42.         Dim filepath As String = ArchivoETABS
43.         Dim directoryName As String
44.         Dim DireccionArchivo As String
45.         Dim i As Integer = 0
46.         While filepath <> Nothing
47.             directoryName = System.IO.Path.GetDirectoryName(filepath)
48.             Console.WriteLine("GetDirectoryName('{0}') returns '{1}'",
filepath, directoryName)
49.             filepath = directoryName
```

```

50.      If i = 0 Then
51.          DireccionArchivo = directoryName + "\"
52.      End If
53.      i = i + 1
54.  End While
55.  NombreArchivo = Microsoft.VisualBasic.Right(ArchivoETABS,
56. Len(ArchivoETABS) - Len(DireccionArchivo))
56.  NombreArchivo = Microsoft.VisualBasic.Left(NombreArchivo,
57. Len(NombreArchivo) - 4)
57. Me.Text = "ARE2015 - " & NombreArchivo
58. 'La dirección ETABS puede ser modificada si está instalada en una
59. ubicación diferente
60. DireccionETABS = TextBox5.Text
61. ETABSObject = myHelper.CreateObject(DireccionETABS)
62. 'Inicia ETABS
63. ret = ETABSObject.ApplicationStart()
64. 'Obtiene una referencia a cSapModel para acceder a todas las
65. funciones de OAPI
66. SapModel = ETABSObject.SapModel
67. 'Abrir archivo
68. Label6.Text = "Abriendo archivo..."
69. ret = SapModel.File.OpenFile(ArchivoETABS)
70. 'Extraer Combos
71. Label6.Text = "Extrayendo combinaciones..."
72. ret = SapModel.RespCombo.GetNameList(NCombos, LisCombos)
73. 'Llamando a las secciones
74. Label6.Text = "Extrayendo secciones..."
75. ret = SapModel.PropFrame.GetNameList(NSecc, LisSecc)
76. 'Llamando a grupos de placas
77. Label6.Text = "Extrayendo muros..."
78. ret = SapModel.GroupDef.GetNameList(NGrup, LisGrup)
79. 'Pasar las variables al modulo 1
80. Module1.LisCombos = LisCombos
81. Module1.LisGrup = LisGrup
82. Module1.LisSecc = LisSecc
83. Module1.NCombo = NCombos
84. Module1.NGrup = NGrup
85. Module1.NSecc = NSecc
86. 'Llamar la segunda interfaz
87. Label6.Text = "Llenando datos para el análisis..."
88. Seg_I.Text = "ARE2015 - " & NombreArchivo
89. Seg_I.ShowDialog()
90. End If
91. End Sub
92.
93. Public Sub DatosDeElementos()
94.     Dim i As Integer, j As Integer
95.     Dim NSecc As Integer = Module1.NSecc
96.     Dim LisSecc() As String = Module1.LisSecc
97.     Dim LisGrup() As String = Module1.LisGrup
98.     Dim NSecCol As Integer = Module1.NSecCol
99.     Dim NSecVig As Integer = Module1.NSecVig
100.    Dim NSecMu As Integer = Module1.NSecMu
101.    Dim LisSecCol() As String = Module1.LisSecCol
102.    Dim LisSecVig() As String = Module1.LisSecVig
103.    Dim LisSecMu() As String = Module1.LisSecMu
104.    Dim NSubEle As Integer = Module1.NSubEle
105.    Dim PgSecCol() As Double = Module1.PgSecCol
106.    Dim PgSecMu() As Double = Module1.PgSecMu
107.    Dim AsSecVig(,) As Double = Module1.AsSecVig
108.    Dim dSecVig(,) As Double = Module1.dSecVig
109.    Dim fyCol As Double = Module1.fyCol

```

```

107. Dim fyMu As Double = Module1.fyMu
108. Dim MaGeoSecCol(NSecCol - 1, 3) As Double
109. Dim PuMinSecCol(NSecCol - 1) As Double
110. Dim MatISecVig(NSecVig - 1, 5) As Double
111. Dim PosSecCol() As Integer
112. Dim PosSecVig() As Integer
113. Dim Control1 As String
114. Dim FileName As String
115. Dim MatProp As String
116. Dim t3 As Double
117. Dim t2 As Double
118. Dim Color As Integer
119. Dim Notes As String
120. Dim Guid As String
121. Dim fc As Double
122. Dim IsLightweight As Boolean
123. Dim fcsfactor As Boolean
124. Dim SType As Integer
125. Dim SSHysType As Integer
126. Dim StrainAtfc As Double
127. Dim StrainUltimate As Double
128. Dim FrictionAngle As Double
129. Dim DilatationalAngle As Integer
130. Dim MyLabelFr() As String
131. Dim MyStoryFr() As String
132. Dim SecTemp As String
133. Dim SAuto As String
134. Dim Point1 As String
135. Dim Point2 As String
136. Dim xm(2) As Double
137. Dim ym(2) As Double
138. Dim zm(2) As Double
139. Dim x As Double
140. Dim y As Double
141. Dim z As Double
142. Dim lnx As Double
143. Dim lny As Double
144. Dim lnz As Double
145. Dim MyNam As String
146. Dim EjeLocalTemp() As Double
147. Dim NumeroELe As Long
148. Dim Tipo() As Integer
149. Dim NombreEle() As String
150. Dim PuntoTemporal As String
151. Dim X0 As Double
152. Dim X1 As Double
153. Dim Y0 As Double
154. Dim Y1 As Double
155. Dim Z0 As Double
156. Dim Z1 As Double
157. Dim Npuntos As Long
158. Dim Punto() As String
159. Dim MatrizNudosMu(3, 2) As Double
160. Dim MaVecTemp(1)
161. Dim dx As Double
162. Dim dy As Double
163. Dim RestaTemporal1 As Double
164. Dim RestaTemporal2 As Double
165. Dim ProMuro As String
166. Dim WallPropType As ETABS2016.eWallPropType
167. Dim ShellType As ETABS2016.eShellType
168. Dim Thickness As Double

```

```

169. Dim AnalCombo() As String = Module1.AnalCombo
170.
171. Tercer_I.Hide()
172. ret = SapModel.SetPresentUnits(ETABS2016.eUnits.kgf_cm_C)
173. 'Matriz de propiedad de secciones de columnas
174. For i = 0 To NSecCol - 1
175.     ret = SapModel.PropFrame.GetRectangle(LisSecCol(i), FileName,
176.         MatProp, t3, t2, Color, Notes, Guid)
177.     ret = SapModel.PropMaterial.GetOConcrete(MatProp, fc, IsLightweight,
178.         fcsfactor, SType, SSHysType, StrainAtfc, StrainUltimate,
179.         FrictionAngle, DilatationalAngle)
180.     MaGeoSecCol(i, 0) = t3 * t2
181.     MaGeoSecCol(i, 1) = t2
182.     MaGeoSecCol(i, 2) = t3
183.     MaGeoSecCol(i, 3) = 0.85 * fc * MaGeoSecCol(i, 0) * (1 - PgSecCol(i))
184.     + fyCol * MaGeoSecCol(i, 0) * PgSecCol(i)
185.     PuMinSecCol(i) = MaGeoSecCol(i, 0) * fc
186. Next
187. 'Matriz de Momento de incercia de Secciones de Vigas
188. For i = 0 To NSecVig - 1
189.     ret = SapModel.PropFrame.GetRectangle(LisSecVig(i), FileName,
190.         MatProp, t3, t2, Color, Notes, Guid)
191.     For j = 0 To 5
192.         Dim rho As Double, bd As Double
193.         rho = AsSecVig(i, j) / (t2 * dSecVig(i, j))
194.         bd = t2 / dSecVig(i, j)
195.         MatISecVig(i, j) = (0.1 + 25 * rho) * (1.2 - 0.2 * bd)
196.     Next
197. Next
198. 'Matriz de propiedad de secciones de columnas y vigas
199. ret = SapModel.FrameObj.GetLabelNameList(NFrames, LisFrames, MyLabelFr,
200. MyStoryFr)
201. For i = 0 To NFrames - 1
202.     ret = SapModel.FrameObj.GetSection(LisFrames(i), SecTemp, SAuto)
203.     Control1 = 0
204.     For j = 0 To NSecCol - 1
205.         If LisSecCol(j) = SecTemp Then
206.             NCol = NCol + 1
207.             ReDim Preserve LisCol(NCol - 1)
208.             ReDim Preserve LisPgCol(NCol - 1)
209.             ReDim Preserve PosSecCol(NCol - 1)
210.             LisCol(NCol - 1) = LisFrames(i)
211.             LisPgCol(NCol - 1) = PgSecCol(j)
212.             PosSecCol(NCol - 1) = j
213.             Control1 = "Columna"
214.             j = NSecCol - 1
215.         End If
216.     Next
217.     If Not Control1 = "Columna" Then
218.         For j = 0 To NSecVig - 1
219.             If LisSecVig(j) = SecTemp Then
220.                 NVig = NVig + 1
221.                 ReDim Preserve LisVig(NVig - 1)
222.                 ReDim Preserve PosSecVig(NVig - 1)
223.                 LisVig(NVig - 1) = LisFrames(i)
224.                 PosSecVig(NVig - 1) = j
225.             End If
226.         Next
227.     End If
228. Next
229. ReDim MaGeoCol(NCol - 1, 3)
230. ReDim PuMinCol(NCol - 1)

```

```

225.     For i = 0 To NCol - 1
226.         For j = 0 To 3
227.             MaGeoCol(i, j) = MaGeoSecCol(PosSecCol(i), j)
228.         Next
229.         PuMinCol(i) = PuMinSecCol(PosSecCol(i))
230.     Next
231.     ReDim Preserve MatInVig(NVig - 1, 1, 2)
232.     For i = 0 To NVig - 1
233.         For j = 0 To 2
234.             MatInVig(i, 0, j) = MatISecVig(PosSecVig(i), j)
235.             MatInVig(i, 1, j) = MatISecVig(PosSecVig(i), j + 3)
236.         Next
237.     Next
238.     'Definicon de Matrices de localizacion y nudos internos
239.     If Not NFrames = 0 Then
240.         ReDim LonSubFrames(NFrames - 1)
241.         ReDim NIframes(NFrames - 1, NSubEle)
242.         ReDim MaEjeLocal(NFrames - 1, 8)
243.         For i = 0 To NFrames - 1
244.             ret = SapModel.FrameObj.GetPoints(LisFrames(i), Point1, Point2)
245.             NIframes(i, 0) = Point1
246.             NIframes(i, NSubEle) = Point2
247.             ret = SapModel.PointObj.GetCoordCartesian(Point1, x, y, z)
248.             xm(1) = x
249.             ym(1) = y
250.             zm(1) = z
251.             ret = SapModel.PointObj.GetCoordCartesian(Point2, x, y, z)
252.             xm(2) = x
253.             ym(2) = y
254.             zm(2) = z
255.             lnx = (xm(2) - xm(1)) / NSubEle
256.             lny = (ym(2) - ym(1)) / NSubEle
257.             lnz = (zm(2) - zm(1)) / NSubEle
258.             LonSubFrames(i) = ((lnx) ^ 2 + (lny) ^ 2 + (lnz) ^ 2) ^ 0.5
259.             For j = 1 To NSubEle - 1
260.                 x = xm(1) + lnx * j
261.                 y = ym(1) + lny * j
262.                 z = zm(1) + lnz * j
263.                 MyNam = LisFrames(i) & "_Ni" & j
264.                 ret = SapModel.PointObj.AddCartesian(x, y, z, Name, MyNam)
265.                 NIframes(i, j) = MyNam
266.             Next j
267.             ret = SapModel.FrameObj.GetTransformationMatrix(LisFrames(i),
268.                 EjeLocalTemp)
269.             MaEjeLocal(i, 0) = EjeLocalTemp(0)
270.             MaEjeLocal(i, 1) = EjeLocalTemp(3)
271.             MaEjeLocal(i, 2) = EjeLocalTemp(6)
272.             MaEjeLocal(i, 3) = EjeLocalTemp(1)
273.             MaEjeLocal(i, 4) = EjeLocalTemp(4)
274.             MaEjeLocal(i, 5) = EjeLocalTemp(7)
275.             MaEjeLocal(i, 6) = EjeLocalTemp(2)
276.             MaEjeLocal(i, 7) = EjeLocalTemp(5)
277.             MaEjeLocal(i, 8) = EjeLocalTemp(8)
278.         Next i
279.     End If
280.     'Definición de acero en muros
281.     NMuros = 0
282.     For i = 0 To NSecMu - 1
283.         ret = SapModel.GroupDef.GetAssignments(LisSecMu(i), NumeroELe, Tipo,
284.             NombreEle)
285.         For j = 0 To NumeroELe - 1
286.             If 5 = Tipo(j) Then

```

```

285.             If NMuros = 0 Then
286.                 NMuros = 1
287.             Else
288.                 NMuros = NMuros + 1
289.             End If
290.             ReDim Preserve LisMu(NMuros - 1)
291.             ReDim Preserve LisPgMu(NMuros - 1)
292.             LisMu(NMuros - 1) = NombreEle(j)
293.             LisPgMu(NMuros - 1) = PgSecMu(i)
294.         End If
295.     Next
296. Next
297. 'Matrices de localización dirección
298. ReDim LisPier(NMuros - 1)
299. ReDim LisNudosMu(NMuros - 1, 3)
300. ReDim MuroEjeLocal(NMuros - 1, 8)
301. ReDim MaGeoMu(NMuros - 1, 3)
302. ReDim fcr(NMuros - 1)
303. For i = 0 To NMuros - 1
304.     ret = SapModel.AreaObj.GetTransformationMatrix(LisMu(i),
305.         EjeLocalTemp)
306.     MuroEjeLocal(i, 0) = EjeLocalTemp(0)
307.     MuroEjeLocal(i, 1) = EjeLocalTemp(3)
308.     MuroEjeLocal(i, 2) = EjeLocalTemp(6)
309.     MuroEjeLocal(i, 3) = EjeLocalTemp(1)
310.     MuroEjeLocal(i, 4) = EjeLocalTemp(4)
311.     MuroEjeLocal(i, 5) = EjeLocalTemp(7)
312.     MuroEjeLocal(i, 6) = EjeLocalTemp(2)
313.     MuroEjeLocal(i, 7) = EjeLocalTemp(5)
314.     MuroEjeLocal(i, 8) = EjeLocalTemp(8)
315.     ret = SapModel.AreaObj.GetPoints(LisMu(i), Npuntos, Punto)
316.     For j = 0 To 3
317.         ret = SapModel.PointObj.GetCoordCartesian(Punto(j), x, y, z)
318.         MatrizNudosMu(j, 0) = x
319.         MatrizNudosMu(j, 1) = y
320.         MatrizNudosMu(j, 2) = z
321.     Next j
322.     'Posición de nudos
323.     dx = Math.Abs(MatrizNudosMu(1, 0) - MatrizNudosMu(0, 0))
324.     dy = Math.Abs(MatrizNudosMu(1, 1) - MatrizNudosMu(0, 1))
325.     If Not (dx ^ (2) + dy ^ (2)) ^ (0.5) = 0 Then
326.         MaVecTemp(0) = dx / ((dx ^ (2) + dy ^ (2)) ^ (0.5))
327.         MaVecTemp(1) = dy / ((dx ^ (2) + dy ^ (2)) ^ (0.5))
328.         RestaTemporal1 = Math.Round(Math.Abs(MuroEjeLocal(i, 0)) -
329.             Math.Abs(MaVecTemp(0)), 10)
330.         RestaTemporal2 = Math.Round(Math.Abs(MuroEjeLocal(i, 1)) -
331.             Math.Abs(MaVecTemp(1)), 10)
332.         If RestaTemporal1 = 0 And RestaTemporal2 = 0 Then 'Nudos
333.             inferiores primeros
334.             If MatrizNudosMu(2, 2) > MatrizNudosMu(0, 2) Then 'Nudo 2
335.                 arriba de nudo 0
336.                 LisNudosMu(i, 0) = Punto(0)
337.                 LisNudosMu(i, 1) = Punto(1)
338.                 LisNudosMu(i, 2) = Punto(2)
339.                 LisNudosMu(i, 3) = Punto(3)
340.                 dx = Math.Abs(MatrizNudosMu(1, 0) - MatrizNudosMu(0, 0))
341.                 dy = Math.Abs(MatrizNudosMu(1, 1) - MatrizNudosMu(0, 1))

```

```

342.           dx = Math.Abs(MatrizNudosMu(3, 0) - MatrizNudosMu(2, 0))
343.           dy = Math.Abs(MatrizNudosMu(3, 1) - MatrizNudosMu(2, 1))
344.       End If
345.   Else
346.       If MatrizNudosMu(2, 2) > MatrizNudosMu(0, 2) Then 'Nudo 2
347.           arriba de nudo 0
348.           LisNudosMu(i, 0) = Punto(3)
349.           LisNudosMu(i, 1) = Punto(0)
350.           LisNudosMu(i, 2) = Punto(1)
351.           LisNudosMu(i, 3) = Punto(2)
352.           dx = Math.Abs(MatrizNudosMu(0, 0) - MatrizNudosMu(3, 0))
353.           dy = Math.Abs(MatrizNudosMu(0, 1) - MatrizNudosMu(3, 1))
354.       Else
355.           LisNudosMu(i, 0) = Punto(1)
356.           LisNudosMu(i, 1) = Punto(2)
357.           LisNudosMu(i, 2) = Punto(3)
358.           LisNudosMu(i, 3) = Punto(0)
359.           dx = Math.Abs(MatrizNudosMu(2, 0) - MatrizNudosMu(1, 0))
360.           dy = Math.Abs(MatrizNudosMu(2, 1) - MatrizNudosMu(1, 1))
361.       End If
362.   Else
363.       If MatrizNudosMu(2, 2) > MatrizNudosMu(0, 2) Then 'Nudo 2 arriba
364.           de nudo 0
365.           LisNudosMu(i, 0) = Punto(3)
366.           LisNudosMu(i, 1) = Punto(0)
367.           LisNudosMu(i, 2) = Punto(1)
368.           LisNudosMu(i, 3) = Punto(2)
369.           dx = Math.Abs(MatrizNudosMu(0, 0) - MatrizNudosMu(3, 0))
370.           dy = Math.Abs(MatrizNudosMu(0, 1) - MatrizNudosMu(3, 1))
371.       Else
372.           LisNudosMu(i, 0) = Punto(1)
373.           LisNudosMu(i, 1) = Punto(2)
374.           LisNudosMu(i, 2) = Punto(3)
375.           LisNudosMu(i, 3) = Punto(0)
376.           dx = Math.Abs(MatrizNudosMu(2, 0) - MatrizNudosMu(1, 0))
377.           dy = Math.Abs(MatrizNudosMu(2, 1) - MatrizNudosMu(1, 1))
378.       End If
379.   End If
380.   ret = SapModel.PointObj.GetCoordCartesian(LisNudosMu(i, 0), X0, Y0,
381. Z0)
382.   For j = 2 To 3
383.       ret = SapModel.PointObj.GetCoordCartesian(LisNudosMu(i, j), X1,
384. Y1, Z1)
385.       If X0 - X1 = 0 And Y0 - Y1 = 0 Then
386.           If j = 2 Then
387.               j = 3
388.           Else
389.               PuntoTemporal = LisNudosMu(i, 2)
390.               LisNudosMu(i, 2) = LisNudosMu(i, 3)
391.               LisNudosMu(i, 3) = PuntoTemporal
392.           End If
393.       Next
394.       'Generación de L y área y P0
395.       ret = SapModel.AreaObj.GetProperty(LisMu(i), ProMuro)
396.       ret = SapModel.PropArea.GetWall(ProMuro, WallPropType, ShellType,
MatProp, Thickness, Color, Notes, Guid)
            ret = SapModel.PropMaterial.GetOConcrete(MatProp, fc, IsLightweight,
fcsfactor, SSSType, SSHysType, StrainAtfc, StrainUltimate,
FrictionAngle, DilatationalAngle)
            MaGeoMu(i, 1) = (dx ^ (2) + dy ^ (2)) ^ (0.5) ' Longitud

```

```

397.         MaGeoMu(i, 0) = Thickness ' Espesor
398.         MaGeoMu(i, 2) = LisPgMu(i) * 2000000 / (15000 * (fc ^ 0.5)) 'segundo
399.         termino
400.         MaGeoMu(i, 3) = Math.Abs(MuroEjeLocal(i, 3) * (MatrizNudosMu(2, 0) -
401.         MatrizNudosMu(0, 0)) + MuroEjeLocal(i, 4) * (MatrizNudosMu(2, 1) -
402.         MatrizNudosMu(0, 1)) + MuroEjeLocal(i, 5) * (MatrizNudosMu(2, 2) -
403.         MatrizNudosMu(0, 2)))
404.         fcr(i) = 2 * (fc ^ 0.5)
405.     Next i
406.     Pr1 = New Thread(AddressOf Me.Analisis)
407.     Pr1.Start()
408. End Sub
409.
410. Public Sub LimpGra()
411.     GRAFICO.Series(0).Points.Clear()
412. End Sub
413.
414. Public Sub Analisis()
415.     Dim i As Integer, j As Integer, k As Integer
416.     Dim DirArchivo As String
417.     Dim MyFile As String
418.     Dim CC2doOrdenOrigen As String
419.     Dim NNudos As Long
420.     Dim LisNu() As String
421.     Dim MatDespl(,,) As Double
422.     Dim MatFi(,,) As Double
423.     Dim MatMod(,,) As Double
424.     Dim MaxIter As Integer = Module1.MaxItera
425.     Dim ItemTypeElm As ETABS2016.eItemTypeElm
426.     Dim NumerResults As Long
427.     Dim Obj() As String
428.     Dim Elm() As String
429.     Dim LoadCase() As String
430.     Dim StepType() As String
431.     Dim StepNum() As Double
432.     Dim U1() As Double
433.     Dim U2() As Double
434.     Dim U3() As Double
435.     Dim R1() As Double
436.     Dim R2() As Double
437.     Dim R3() As Double
438.     Dim U1Temp As Double
439.     Dim U2Temp As Double
440.     Dim U3Temp As Double
441.     Dim R1Temp As Double
442.     Dim R2Temp As Double
443.     Dim R3Temp As Double
444.     Dim MatError(,) As Double
445.     Dim ErrorTemporal As Double
446.     Dim Conver As Double = Module1.ConverMax
447.     Dim MVSec(,,) As Double
448.     Dim Vsec(,,) As Double
449.     Dim NNudosFr As Long
450.     Dim PointElm() As String
451.     Dim F1() As Double
452.     Dim F2() As Double
453.     Dim F3() As Double
454.     Dim M1() As Double
455.     Dim M2() As Double
456.     Dim M3() As Double
457.     Dim des2 As Double
458.     Dim des3 As Double
459.     Dim NCombo As Integer = Module1.NCombo

```

```

454.      Dim NDes As Long
455.      Dim Pf As Double
456.      Dim MVSecMu(,,) As Double
457.      Dim VsecMu(,,) As Double
458.      Dim PMPier(,,) As Double
459.      Dim PierName() As String
460.      Dim NumberResults As Long
461.      Dim StoryName() As String
462.      Dim FICol(,) As Double
463.      Dim P() As Double
464.      Dim V2() As Double
465.      Dim V3() As Double
466.      Dim T() As Double
467.      Dim Location() As String
468.      Dim ObjSta() As Double
469.      Dim ElmSta() As Double
470.      Dim FITem2 As Double
471.      Dim FITem3 As Double
472.      Dim FIVi() As Double
473.      Dim M3Min As Double
474.      Dim M3Max As Double
475.      Dim LnVi As Double
476.      Dim FIMu() As Double
477.      Dim mPM2M2(2) As Double
478.      Dim MuP As Double
479.      Dim MuM2 As Double
480.      Dim MuM3 As Double
481.      Dim CNameType As ETABS2016.eCNameType
482.      Dim CC2doOrden As String
483.      Dim Value() As Double
484.      Dim IteracionFinal As Integer
485.      Dim AnalCombo() As String = Module1.AnalCombo
486.      Dim SVoMax_Min(1) As String
487.      Dim TipoValor As Integer = 0
488.      Dim CSPI As Integer
489.      Dim CSPS As Integer
490.      Dim NumberItems As Integer
491.      Dim CNameType1() As ETABS2016.eCNameType
492.      Dim CName() As String
493.      Dim SF() As Double
494.      Dim CaseType As ETABS2016.eLoadCaseType
495.      Dim SubType As Integer
496.      Dim StepType0() As String
497.      Dim PosDaCol As Integer
498.      Dim MyLoadType() As String
499.      Dim MyLoadName() As String
500.      Dim MySF() As Double
501.      Dim NudoMax As String
502.      Dim DirSis As Double
503.      Dim DirAnal As String
504.      Dim FSEsp As Double
505.      Dim EspRes As String
506.      Dim NMAsas As Integer
507.      Dim LisNEM() As String
508.      Dim LisMasaX() As Double
509.      Dim LisMasaY() As Double
510.      Dim LisMasaR() As Double
511.      Dim NomNuMasa() As String
512.      Dim AuVector(,,) As Double
513.      Dim ModoNor(,,) As Double
514.      Dim TerInf As Double
515.      Dim PartModo() As Double

```

```

516.      Dim NModos As Integer
517.      Dim TempParMo As Double
518.      Dim ValorEsp As Double
519.      Dim LisResEsp() As Double
520.      Dim MatFLat(,,) As Double
521.      Dim AnDiMa As String
522.      Dim NumberLoads As Integer
523.      Dim LoadName() As String
524.      Dim Funcion() As String
525.      Dim CSys() As String
526.      Dim Ang() As Double
527.      Dim X As Double
528.      Dim Y As Double
529.      Dim Z As Double
530.      Dim Period() As Double
531.      Dim Frequency() As Double
532.      Dim CircFreq() As Double
533.      Dim EigenValue() As Double
534.      Dim MyTime() As Double
535.      Dim aMo As Double
536.      Dim rhoMo As Double
537.      Dim TempFi As Double
538.      Dim MatFi2(,) As Double
539.      Dim CasoSis As String
540.      Dim MaElTri(,) As Double
541.      Dim AL0 As Double
542.      Dim AL1 As Double
543.      Dim ElULPiso As Double
544.      Dim NumberNames As Long
545.      Dim MyName() As String
546.      Dim Elevation As Double
547.      Dim PointElmM() As String
548.      Dim CSys1 As String = "Global"
549.      Dim Mdd As Double
550.      Dim UbPiso() As String
551.      Dim IndPisos As Integer
552.      Dim CMPiso(,) As Double
553.      Dim FLatPisos(,) As Double
554.      Dim Label As String
555.      Dim Story As String
556.      Dim ObjType As Integer
557.      Dim Obj1 As String
558.      Dim LisNEM1() As String
559.      Dim MatDes(,,) As Double
560.      Dim DesFin(,) As Double
561.      Dim TempSdi As Double
562.      Dim UX() As Double
563.      Dim UY() As Double
564.      Dim UZ() As Double
565.      Dim RX() As Double
566.      Dim RY() As Double
567.      Dim RZ() As Double
568.      Dim ModalMass() As Double
569.      Dim ModalStiff() As Double
570.      Dim DesPiso(,) As Double
571.      Dim CasoSisD As String
572.      Dim DesPisoDi(,) As String
573.      Dim VPisos(2) As Double
574.      Dim LisMasaX0() As Double
575.      Dim LisMasaY0() As Double
576.      Dim LisMasaR0() As Double
577.      Dim Elevation0 As Double

```

```

578.     Dim Elevation1 As Double
579.     Dim Tempa As Double
580.     Dim Tempb As Double
581.     Dim TempD As Double
582.     Dim TempMasaX1 As Double
583.     Dim TempMasaX0 As Double
584.     Dim TempMasaY1 As Double
585.     Dim TempMasaY0 As Double
586.     Dim TempMasaR1 As Double
587.     Dim TempMasaR0 As Double
588.     Dim M() As Double
589.     Dim CordXTemp As Double
590.     Dim CordYTemp As Double
591.     Dim TempDo As Double
592.     Dim CantNuI As Integer
593.     Dim LisNuI() As String
594.     Dim S11Top() As Double
595.     Dim S22Top() As Double
596.     Dim S12Top() As Double
597.     Dim SMaxTop() As Double
598.     Dim SMinTop() As Double
599.     Dim SAngleTop() As Double
600.     Dim SVMTop() As Double
601.     Dim S11Bot() As Double
602.     Dim S22Bot() As Double
603.     Dim S12Bot() As Double
604.     Dim SMaxBot() As Double
605.     Dim SMinBot() As Double
606.     Dim SAngleBot() As Double
607.     Dim SVMBot() As Double
608.     Dim S13Avg() As Double
609.     Dim S23Avg() As Double
610.     Dim SMaxAvg() As Double
611.     Dim SAvgAvg() As Double
612.     Dim ruta As String
613.     Dim ruta1 As String
614.     Dim ModalCase As String
615.     Dim SumUX() As Double
616.     Dim SumUY() As Double
617.     Dim SumUZ() As Double
618.     Dim SumRX() As Double
619.     Dim SumRY() As Double
620.     Dim SumRZ() As Double
621.     MyFile = ArchivoETABS
622.     DirArchivo = Microsoft.VisualBasic.Left(MyFile, Len(MyFile) - 4)
623.     ret = SapModel.File.Save(DirArchivo)
624.     Label6.Text = "Guardando nuevo archivo ETABS..."
625.     ret = SapModel.SetPresentUnits(ETABS2016.eUnits.kgf_cm_C)
626.     For PosCombo = 0 To NCombo - 1
627.         If Not PosCombo = 0 Then
628.             Label6.Text = "Creando nuevo archivo ETABS..."
629.             ETABSOobject = myHelper.CreateObject(DireccionETABS)
630.             'Inicia ETABS
631.             ret = ETABSOobject.ApplicationStart()
632.             SapModel = ETABSOobject.SapModel
633.             'Inicia Modelo
634.             ret = SapModel.InitializeNewModel()
635.             'Abrir Archivo
636.             ret = SapModel.File.OpenFile(DirArchivo & ".EDB")
637.         Else
638.             If SVoMax_Min(TipoValor) = "Min" Then
639.                 Label6.Text = "Creando nuevo archivo ETABS..."

```

```

640.             ETABSObject = myHelper.CreateObject(DireccionETABS)
641.             'Inicia ETABS
642.             ret = ETABSObject.ApplicationStart()
643.             SapModel = ETABSObject.SapModel
644.             'Inicia Modelo
645.             ret = SapModel.InitializeNewModel()
646.             'Abrir Archivo
647.             ret = SapModel.File.OpenFile(DirArchivo & ".EDB")
648.         End If
649.     End If
650.     ret = SapModel.SetPresentUnits(ETABS2016.eUnits.kgf_cm_C)
651.     'Definir el tipo de Combo
652.     Label6.Text = "Definiendo tipo de combinación..."
653.     If TipoValor = 0 Then
654.         ret = SapModel.RespCombo.GetCaseList(AnalCombo(PosCombo),
655.             NumberItems, CNameType1, CName, SF)
656.         For i = 0 To NumberItems - 1
657.             ret = SapModel.LoadCases.GetTypeOAPI(CName(i), CaseType,
658.                 SubType)
659.             If CaseType = 4 Then
660.                 CasoSisD = CName(i)
661.                 CasoSis = CName(i)
662.                 AnDiMa = "ACTIVAR"
663.                 DirSis = SF(i)
664.                 SVoMax_Min(0) = "Single Value"
665.                 SVoMax_Min(1) = "No"
666.                 ret =
667.                 SapModel.LoadCases.ResponseSpectrum.GetLoads(CName(i),
668.                     NumberLoads, LoadName, Funcion, SF, CSys, Ang)
669.                 ret =
670.                 SapModel.LoadCases.ResponseSpectrum.GetModalCase(CName(i),
671.                     ModalCase)
672.                 FSEsp = SF(0)
673.                 DirAnal = LoadName(0)
674.                 EspRes = Funcion(0)
675.             Else
676.                 AnDiMa = "DESACTIVAR"
677.                 SVoMax_Min(0) = "Single Value"
678.                 SVoMax_Min(1) = "No"
679.             End If
680.             Next i
681.         End If
682.         'Crear original + Combo
683.         'Creación de caso de carga
684.         If SVoMax_Min(0) = "Max" Then
685.             Label6.Text = "Creando nuevo caso de carga..."
686.             CC2doOrdenOrigen = AnalCombo(PosCombo) & SVoMax_Min(TipoValor) &
687.             "_" & "2ºOrden" 'corregir
688.             ret = SapModel.File.Save(DirArchivo & "_" & AnalCombo(PosCombo) &
689.             "_" & SVoMax_Min(TipoValor))
690.         Else
691.             Label6.Text = "Creando nuevo caso de carga..."
692.             CC2doOrdenOrigen = AnalCombo(PosCombo) & "_" & "2ºOrden" 'corregir
693.             ret = SapModel.File.Save(DirArchivo & "_" & AnalCombo(PosCombo))
694.         End If
695.         ret = SapModel.Analyze.SetSolverOption(0, True)
696.         Label6.Text = "Creando base de datos Acces..."
697.         ruta = DirArchivo & "_" & AnalCombo(PosCombo) & "_BD.accdb"
698.         Conectarse(ruta)
699.         Label6.Text = "Conectando a base de datos Acces..."
700.         ret = SapModel.SetPresentUnits(ETABS2016.eUnits.kgf_cm_C)
701.         'Generación de nudos

```

```

694.     ret = SapModel.PointObj.GetNameList(NNudos, LisNu)
695.     Label6.Text = "Generando unos en los frame..."
696.     'Limpieza de Grafico
697.     LimpGra()
698.     Label6.Text = "Limpiando gráfico..."
699.     ReDim MatDespl(NNudos - 1, MaxIter, 5)
700.     For Iteracion = 0 To MaxIter
701.         CantNuI = 0 'Contador A cero
702.         If AnDiMa = "ACTIVAR" And Iteracion > 0 Then
703.             ret = SapModel.Analyze.SetRunCaseFlag(ModalCase, True)
704.         End If
705.         Label6.Text = "Analizando..."
706.         ret = SapModel.Analyze.RunAnalysis
707.         ret = SapModel.SetPresentUnits(ETABS2016.eUnits.kgf_cm_C)
708.         If AnDiMa = "ACTIVAR" Then
709.             ret = SapModel.SetPresentUnits(ETABS2016.eUnits.kgf_cm_C)
710.             ret = SapModel.Results.Setup.SetOptionModeShape(1, 2, True)
711.             ret =
712.             SapModel.Results.Setup.DeselectAllCasesAndCombosForOutput
713.             ret =
714.             SapModel.Results.Setup.SetCaseSelectedForOutput(ModalCase)
715.             Label6.Text = "Seleccionando caso de carga..."
716.             'Diafragamas
717.             If Iteracion = 0 Then
718.                 ret =
719.                 SapModel.SetPresentUnits(ETABS2016.eUnits.kgf_cm_C)
720.                 ret = SapModel.Results.AssembledJointMass("All",
721.                     ETABS2016.eItemTypeElm.GroupElm, NumberResults,
722.                     PointElmM, U1, U2, U3, R1, R2, R3)
723.                 ret = SapModel.Story.GetNameList(NumberNames, MyName)
724.                 NMAAs = 0
725.                 IndPisos = NumberNames
726.                 ReDim Preserve LisNEM(NumberNames - 1)
727.                 For i = 0 To NumberResults - 1
728.                     If U1(i) > 0 Or U2(i) > 0 Or R3(i) > 0 Then
729.                         NMAAs = NMAAs + 1
730.                         ReDim Preserve LisMasaX0(NMAAs - 1)
731.                         ReDim Preserve LisMasaY0(NMAAs - 1)
732.                         ReDim Preserve LisMasaR0(NMAAs - 1)
733.                         ReDim Preserve LisNEM1(NMAAs - 1)
734.                         LisMasaR0(NMAAs - 1) = R3(i)
735.                         LisMasaX0(NMAAs - 1) = U1(i)
736.                         LisMasaY0(NMAAs - 1) = U2(i)
737.                         LisNEM1(NMAAs - 1) = PointElmM(i)
738.                     End If
739.                 Next
740.                 ReDim LisMasaX(IndPisos - 1)
741.                 ReDim LisMasaY(IndPisos - 1)
742.                 ReDim LisMasaR(IndPisos - 1)
743.                 ReDim CMPiso(IndPisos - 1, 2)
744.                 Dim LisODia(IndPisos - 1) As ETABS2016.eDiaphragmOption
745.                 Dim LisDiafrag(IndPisos - 1) As String
746.                 For i = 0 To IndPisos - 1
747.                     ret = SapModel.Story.GetElevation(MyName(i),
748.                     Elevation1)

```

```

749.           Else
750.               Elevation0 = 0
751.           End If
752.           For j = 0 To NMAsas - 1
753.               ret =
754.               SapModel.PointElm.GetCoordCartesian(LisNEM1(j),
755.               X, Y, Z)
756.               If Elevation1 >= Z And Elevation0 < Z Then
757.                   If LisMasaX0(j) > 0 And LisMasaY0(j) > 0 And
758.                   LisMasaR0(j) > 0 Then
759.                       Dim ODia As ETABS2016.eDiaphragmOption
760.                       Dim Diafrag As String
761.                       ret =
762.                       SapModel.PointObj.GetDiaphragm(LisNEM1(j)
763.                           ), ODia, Diafrag)
764.                       LisDiafrag(i) = Diafrag
765.                       LisODia(i) = ODia
766.                   End If
767.                   'Porcentaje de masa
768.                   Tempa = (Elevation1 - Z) / (Elevation1 -
769.                           Elevation0)
770.                   Tempb = (Z - Elevation0) / (Elevation1 -
771.                           Elevation0)
772.                   'Masa asignada a cada piso
773.                   TempMasaX1 = LisMasaX0(j) * Tempb
774.                   TempMasaX0 = LisMasaX0(j) * Tempa
775.                   TempMasaY1 = LisMasaY0(j) * Tempb
776.                   TempMasaY0 = LisMasaY0(j) * Tempa
777.                   TempMasaR1 = LisMasaR0(j) * Tempb
778.                   TempMasaR0 = LisMasaR0(j) * Tempa
779.                   'Ubicacion del centro de masa
780.                   CordXTemp = CMPiso(i, 0)
781.                   CordYTemp = CMPiso(i, 1)
782.                   CMPiso(i, 0) = (LisMasaX(i) * CordXTemp +
783.                           TempMasaX1 * X) / (LisMasaX(i) + TempMasaX1)
784.                   CMPiso(i, 1) = (LisMasaY(i) * CordYTemp +
785.                           TempMasaY1 * Y) / (LisMasaY(i) + TempMasaY1)
786.                   TempD = ((CMPiso(i, 0) - X) ^ 2 + (CMPiso(i,
787.                           1) - Y) ^ 2) ^ 0.5
788.                   TempDo = ((CordXTemp - CMPiso(i, 0)) ^ 2 +

```

```

789.                               LisMasaY(i + 1) = LisMasaY(i + 1) +
    TempMasaY0
790.                           End If
791.                       End If
792.                   Next
793.               Next
794.               ret = SapModel.SetModelIsLocked(False)
795.               ret = SapModel.RespCombo.DeleteCase(AnalCombo(PosCombo),
    ETABS2016.eCNameType.LoadCase, CasoSis)
796.               CasoSis = CasoSis & "_E"
797.               ReDim NomNuMasa(IndPisos - 1)
798.               For i = 0 To IndPisos - 1
799.                   NomNuMasa(i) = "CM_" & (IndPisos - i)
800.                   ret = SapModel.PointObj.AddCartesian(CMPiso(i, 0),
    CMPiso(i, 1), CMPiso(i, 2), Name, NomNuMasa(i),
    "Global", True)
801.                   ret = SapModel.PointObj.SetDiaphragm(NomNuMasa(i),
    LisODia(i), LisDiafrag(i))
802.                   ReDim M(5)
803.                   M(0) = LisMasaX(i)
804.                   M(1) = LisMasaY(i)
805.                   M(5) = LisMasaR(i)
806.                   ret = SapModel.PointObj.SetMass(NomNuMasa(i), M,
    ETABS2016.eItemType.Objects, True)
807.                   Label6.Text = "Insertando masa..."
808.               Next i
809.               ret = SapModel.PropMaterial.SetMassSource_1(False, True,
    False, 0, LisNEM, LisMasaX)
810.               Label6.Text = "Desactivar 'Element Self Mass'..."
811.               MsgBox("Desactivar 'Element Self Mass' - Define > Mass
    Source > Modify/Show Mass Source")
812.               Label6.Text = "Analizando..."
813.               ret = SapModel.Analyze.RunAnalysis
814.               ret =
815.               SapModel.SetPresentUnits(ETABS2016.eUnits.kgf_cm_C)
816.               ret = SapModel.Results.Setup.SetOptionModeShape(1, 2,
    True) 'revisar
817.               ret =
818.               SapModel.Results.Setup.DeselectAllCasesAndCombosForOutput
819.               ret =
820.               SapModel.Results.Setup.SetCaseSelectedForOutput(ModalCas
    e)
821.           End If
822.           ret = SapModel.SetPresentUnits(ETABS2016.eUnits.kgf_cm_C)
823.           ret = SapModel.Results.ModalPeriod(NModos, LoadCase,
    StepType, StepNum, Period, Frequency, CircFreq, EigenValue)
    'Redimensionar variables importantes
824.           If Iteracion = 0 Then
825.               ReDim MatFi(IndPisos - 1, MaxIter, 5)
826.               ReDim MatMod(NModos - 1, MaxIter, 2)
827.           End If
    'Epectro de respuesta
828.           ReDim LisResEsp(NModos - 1)
829.           ret = SapModel.Func.GetValues(EspRes, NumberItems, MyTime,
    Value)
830.           For i = 0 To NModos - 1
831.               For j = 0 To NumberItems
832.                   If Period(i) < MyTime(j) Then
                        ValorEsp = (Period(i) - MyTime(j - 1)) *
                        ((Value(j) - Value(j - 1)) / (MyTime(j) -
                        MyTime(j - 1))) + Value(j - 1)

```

```

833.           j = NumberItems
834.       End If
835.   Next
836.   LisResEsp(i) = ValorEsp * FSEsp
837. Next
838. ret =
839. SapModel.Results.ModalParticipatingMassRatios(NumberResults,
840. LoadCase, StepType, StepNum, Period, UX, UY, UZ, SumUX,
841. SumUY, SumUZ, RX, RY, RZ, SumRX, SumRY, SumRZ)
842. 'Gurdar en matriz de modal
843. Label6.Text = "Guardando matriz modal..."
844. For i = 0 To NumberResults - 1
845.     MatMod(i, Iteracion, 0) = Period(i)
846.     MatMod(i, Iteracion, 1) = UX(i)
847.     MatMod(i, Iteracion, 2) = UY(i)
848. Next
849. ReDim AuVector(IndPisos - 1, NModos - 1, 2)
850. ReDim ModoNor(IndPisos - 1, NModos - 1, 2)
851. For i = 0 To IndPisos - 1
852.     ret =
853.     SapModel.SetPresentUnits(ETABS2016.eUnits.kgf_cm_C)
854.     ret = SapModel.Results.ModeShape(NomNuMasa(i),
855. ETABS2016.eItemTypeElm.ObjectElm, NumberResults, Obj,
856. Elm, LoadCase, StepType, StepNum, U1, U2, U3, R1, R2,
857. R3)
858.     For j = 0 To NumberResults - 1
859.         ModoNor(i, j, 0) = U1(j)
860.         ModoNor(i, j, 1) = U2(j)
861.         ModoNor(i, j, 2) = R3(j)
862.     Next
863. Next
864. ret = SapModel.SetPresentUnits(ETABS2016.eUnits.kgf_cm_C)
865. 'Factores Participantes
866. ret =
867. SapModel.Results.ModalParticipationFactors(NumberResults,
868. LoadCase, StepType, StepNum, Period, UX, UY, UZ, RX, RY, RZ,
869. ModalMass, ModalStiff)
870. ReDim PartModo(NModos - 1)
871. Select Case DirAnal
872.     Case "U1"
873.         For i = 0 To NModos - 1
874.             PartModo(i) = UX(i)
875.         Next
876.     Case "U2"
877.         For i = 0 To NModos - 1
878.             PartModo(i) = UY(i)
879.         Next
880.     Case "R3"
881.         For i = 0 To NModos - 1
882.             PartModo(i) = RZ(i)
883.         Next
884.     Case Else
885.         MsgBox("Solo Direccion X o Y o RZ")
886. End Select
887. 'Cargas Laterales
888. Label6.Text = "Generando cargas laterales..."
889. ReDim MatFLat(IndPisos - 1, NModos - 1, 2)
890. For i = 0 To NModos - 1
891.     For j = 0 To IndPisos - 1
892.         MatFLat(j, i, 0) = PartModo(i) * LisResEsp(i) *

```

```

883.                               MatFLat(j, i, 1) = PartModo(i) * LisResEsp(i) *
884.                               LisMasaY(j) * ModoNor(j, i, 1) * 10
885.                               MatFLat(j, i, 2) = PartModo(i) * LisResEsp(i) *
886.                               LisMasaR(j) * ModoNor(j, i, 2) * 10
887.                           Next
888.                           For i = 0 To NModos - 1
889.                               For j = IndPisos - 1 To 0 Step -1
890.                                   For k = 0 To IndPisos - 1
891.                                       If k < j Then
892.                                           MatFLat(j, i, 0) = MatFLat(j, i, 0) +
893.                                           MatFLat(k, i, 0)
894.                                           MatFLat(j, i, 1) = MatFLat(j, i, 1) +
895.                                           MatFLat(k, i, 1)
896.                                           MatFLat(j, i, 2) = MatFLat(j, i, 2) +
897.                                           MatFLat(k, i, 2)
898.                                       End If
899.                                   Next
900.                               Next
901.                           Next
902.                           'SuperPosicion Modal
903.                           ReDim MatFi2(IndPisos - 1, 2)
904.                           For i = 0 To NModos - 1
905.                               For j = 0 To NModos - 1
906.                                   aMo = CircFreq(j) / CircFreq(i)
907.                                   rhoMo = (8 * (0.05 ^ 2) * (1 + aMo) * (aMo ^ 1.5)) /
908.                                         (((1 - aMo ^ 2) ^ 2) + 4 * (0.05 ^ 2) * aMo * ((1 +
909.                                         aMo ^ 2) ^ 2))
910.                                   For k = 0 To IndPisos - 1
911.                                       For l = 0 To 2
912.                                           TempFi = rhoMo * MatFLat(k, i, l) *
913.                                           MatFLat(k, j, l)
914.                                           MatFi2(k, l) = TempFi + MatFi2(k, l)
915.                                       Next
916.                                   Next
917.                               Next
918.                           Next
919.                           Next
920.                           Next
921.                           ret = SapModel.SetPresentUnits(ETABS2016.eUnits.kgf_cm_C)
922.                           ReDim FLatPisos(IndPisos - 1, 2)
923.                           For i = 0 To IndPisos - 1
924.                               If i = 0 Then
925.                                   For j = 0 To 2
926.                                       FLatPisos(i, j) = MatFi2(i, j) ^ 0.5
927.                                   Next
928.                               Else
929.                                   For j = 0 To 2
930.                                       FLatPisos(i, j) = (MatFi2(i, j) ^ 0.5) -
931.                                         (MatFi2(i - 1, j) ^ 0.5)
932.                                   Next
933.                               End If
934.                           Next
935.                           'Ingreso de cargas Laterales
936.                           Label6.Text = "Insertando cargas laterales..."
937.                           ret = SapModel.SetModelIsLocked(False)
938.                           ret = SapModel.LoadPatterns.Add(CasoSis,
939.                                         ETABS2016.eLoadPatternType.Other, 0, True)
940.                           ret = SapModel.RespCombo.SetCaseList(AnalCombo(PosCombo),
941.                                         ETABS2016.eCNameType.LoadCase, CasoSis, DirSis)
942.                           'Guardar en matriz de fuerzas iniciales parte
943.                           For i = 0 To IndPisos - 1
944.                               MatFi(i, Iteracion, 0) = FLatPisos(i, 0) 'fx
945.                               MatFi(i, Iteracion, 1) = FLatPisos(i, 1) ' fy

```

```

934.           MatFi(i, Iteracion, 2) = FLatPisos(i, 2) 'mz
935.           MatFi(i, Iteracion, 3) = MatFi2(i, 0) ^ 0.5 'vx
936.           MatFi(i, Iteracion, 4) = MatFi2(i, 1) ^ 0.5 'vy
937.           MatFi(i, Iteracion, 5) = MatFi2(i, 2) ^ 0.5 't
938.       Next
939.       For i = 0 To IndPisos - 1
940.           ReDim Value(5)
941.           Value(0) = FLatPisos(i, 0)
942.           Value(1) = FLatPisos(i, 1)
943.           Value(5) = FLatPisos(i, 2) * -1
944.           ret = SapModel.PointObj.SetLoadForce(NomNuMasa(i),
945.               CasoSis, Value, True)
946.       Next
947.       ret = SapModel.Analyze.SetRunCaseFlag(CasoSisD, False)
948.       Label6.Text = "Analizando..."
949.       ret = SapModel.Analyze.RunAnalysis
950.   End If
951.   ret = SapModel.Results.Setup.DeselectAllCasesAndCombosForOutput
952.   'Verificar el combo
953.   ret =
954.   SapModel.Results.Setup.SetComboSelectedForOutput(AnalCombo(PosCom-
955.   bo))
956.   'Extracción de desplazamientos
957.   Label6.Text = "Extrayendo desplazamientos..."
958.   For i = 0 To NNudos - 1
959.       ret = SapModel.Results.JointDispl(LisNu(i),
960.           ETABS2016.eItemTypeElm.ObjectElm, NumerResults, Obj, Elm,
961.           LoadCase, StepType, StepNum, U1, U2, U3, R1, R2, R3)
962.       For j = 0 To NumerResults - 1
963.           If StepType(j) = SVoMax_Min(TipoValor) Then
964.               U1Temp = U1(j)
965.               U2Temp = U2(j)
966.               U3Temp = U3(j)
967.               R1Temp = R1(j)
968.               R2Temp = R2(j)
969.               R3Temp = R3(j)
970.               MatDespl(i, Iteracion, 0) = U1Temp
971.               MatDespl(i, Iteracion, 1) = U2Temp
972.               MatDespl(i, Iteracion, 2) = U3Temp
973.               MatDespl(i, Iteracion, 3) = R1Temp
974.               MatDespl(i, Iteracion, 4) = R2Temp
975.               MatDespl(i, Iteracion, 5) = R3Temp
976.           End If
977.       Next
978.   Next
979.   'Ingreso a base de datos
980.   Label6.Text = "Ingresando resultados a base de datos..."
981.   IMP_BD(MatDespl, MatFi, MatMod, LisNu, NNudos, IndPisos, NModos,
982.   Iteracion)
983.   'Condicional If (primera condicion)
984.   If Iteracion = 0 Then
985.       ConverMax = 1
986.   Else
987.       ReDim MatError(NNudos - 1, 2)
988.       '(Ultimo-Anterior)/Ultimo

```

```

989.                               ErrorTemporal = Math.Abs(MatDespl(i, Iteracion,
990.                                         j) - MatDespl(i, Iteracion - 1, j))
991.                           End If
992.                           MatError(i, j) = ErrorTemporal
993.                           If i = 0 And j = 0 Then
994.                               ConverMax = ErrorTemporal
995.                               NudoMax = LisNu(i)
996.                           Else
997.                               If Not ConverMax > ErrorTemporal Then
998.                                   ConverMax = ErrorTemporal
999.                                   NudoMax = LisNu(i)
1000.                              End If
1001.                          End If
1002.                          If Not Conver / 10 >= ErrorTemporal Then
1003.                              ReDim Preserve LisNuI(CantNuI)
1004.                              LisNuI(CantNuI) = LisNu(i)
1005.                              CantNuI = CantNuI + 1
1006.                         End If
1007.                     Next
1008.                 Next
1009.                 'Imprimir nudo inestable
1010.                 Me.TextBox3.Text = NudoMax
1011.                 'Imprimir error %
1012.                 Me.TextBox1.Text = ConverMax * 10
1013.                 'Imprimir cantidad de nudos inestables
1014.                 Me.TextBox4.Text = CantNuI
1015.                 'Imprimir numero de iteración
1016.                 Me.TextBox2.Text = Iteracion
1017.                 'Tabla de datos
1018.                 Tabla.Columns(0).DefaultCellStyle.Alignment =
1019.                               DataGridViewContentAlignment.MiddleCenter
1020.                 Tabla.Columns(1).DefaultCellStyle.Alignment =
1021.                               DataGridViewContentAlignment.MiddleCenter
1022.                 Tabla.Columns(2).DefaultCellStyle.Alignment =
1023.                               DataGridViewContentAlignment.MiddleCenter
1024.                 Tabla.Columns(3).DefaultCellStyle.Alignment =
1025.                               DataGridViewContentAlignment.MiddleCenter
1026.                 Tabla.Rows.Add(Iteracion, ConverMax * 10, NudoMax, CantNuI)
1027.                 'Interzas de grafico
1028.                 GRAFICO.Series(0).Points.AddXY(Iteracion, ConverMax * 10)
1029.                 GRAFICO.ChartAreas(0).AxisY.ScaleBreakStyle.Enabled = True
1030.                 GRAFICO.ChartAreas(0).AxisY.ScaleBreakStyle.CollapsibleSpaceT
1031.                   hreshold = 10
1032.                 GRAFICO.ChartAreas(0).AxisY.ScaleBreakStyle.LineWidth = 1
1033.                 GRAFICO.ChartAreas(0).AxisY.ScaleBreakStyle.LineColor =
1034.                   Color.Red
1035.                 GRAFICO.ChartAreas(0).AxisY.ScaleBreakStyle.StartFromZero =
1036.                   DataVisualization.Charting.StartFromZero.Auto
1037.                 GRAFICO.ChartAreas(0).AxisY.ScaleBreakStyle.Spacing = 1
1038.             End If
1039.             'Condicional If (convergencia)
1040.             If Not Conver / 10 >= ConverMax Then
1041.                 'Condicional If (maximas iteraciones)

```

```

1042.           ret =
1043.           SapModel.Results.FrameJointForce(LisFrames(i),
1044.                                         ETABS2016.eItemTypeElm.ObjectElm, NNudosFr, Obj,
1045.                                         Elm, PointElm, LoadCase, StepType0, StepNum, F1,
1046.                                         F2, F3, M1, M2, M3)
1047.           ret = SapModel.Results.JointDispl(PointElm(0),
1048.                                         ETABS2016.eItemTypeElm.ObjectElm, NDes, Obj,
1049.                                         Elm, LoadCase, StepType, StepNum, U1, U2, U3,
1050.                                         R1, R2, R3)
1051.           For j = 0 To NDes - 1
1052.             If StepType(j) = SVoMax_Min(TipoValor) Then
1053.               des2 = MaEjeLocal(i, 3) * U1(j) +
1054.                     MaEjeLocal(i, 4) * U2(j) + MaEjeLocal(i,
1055.                     5) * U3(j)
1056.               des3 = MaEjeLocal(i, 6) * U1(j) +
1057.                     MaEjeLocal(i, 7) * U2(j) + MaEjeLocal(i,
1058.                     8) * U3(j)
1059.               MVSec(i, 0, 1) = des2
1060.               MVSec(i, 0, 2) = des3
1061.             End If
1062.           Next
1063.           For j = 1 To NNudosFr - 1 Step 2
1064.             If PointElm(j) = NIFrames(i, k) And
1065.               StepType0(j) = SVoMax_Min(TipoValor) Then
1066.               ret =
1067.               SapModel.Results.JointDispl(PointElm(j),
1068.                                         ETABS2016.eItemTypeElm.ObjectElm, NDes,
1069.                                         Obj, Elm, LoadCase, StepType, StepNum,
1070.                                         U1, U2, U3, R1, R2, R3)
1071.               For l = 0 To NDes - 1
1072.                 If StepType(l) =
1073.                   SVoMax_Min(TipoValor) Then
1074.                     Pf = MaEjeLocal(i, 0) * F1(j) +
1075.                         MaEjeLocal(i, 1) * F2(j) +
1076.                           MaEjeLocal(i, 2) * F3(j)

```

```

1077.                               Vsec(i, j, 1) = (MVSec(i, j + 1, 0) *
1078.                                         (MVSec(i, j + 1, 2) - MVSec(i, j, 2))) /
1079.                                         LonSubFrames(i) 'Es negativo por abajo
1080.                               Next j
1081.                               Next
1082.                           End If
1083.                           'Generar cortantes secundarias para placas
1084.                           Label6.Text = "Generando cortantes secundarias para
1085.                                         muros..."
1086.                           If Not NMuros = 0 Then
1087.                               ReDim MVSecMu(NMuros - 1, 3, 1) 'Muros, Nudos,
1088.                                         Direcciones
1089.                               ReDim VsecMu(NMuros - 1, 1, 1) 'Muros, Nudos,
1090.                                         Direcciones
1091.                               ReDim PMPier(NMuros - 1, 1, 2) 'Borrar
1092.                               For i = 0 To NMuros - 1
1093.                                   'Extraer Desplazamientos
1094.                                   Label6.Text = "Extrayendo desplazamientos..."
1095.                                   For j = 0 To 3
1096.                                       ret =
1097.                                       SapModel.Results.JointDispl(LisNudosMu(i,
1098.                                         j), ETABS2016.eItemTypeElm.ObjectElm, NDes,
1099.                                         Obj, Elm, LoadCase, StepType, StepNum, U1,
1100.                                         U2, U3, R1, R2, R3)
1101.                                       MVSecMu(i, j, 0) = MuroEjeLocal(i, 0) *
1102.                                         U1(0) + MuroEjeLocal(i, 1) * U2(0) +
1103.                                         MuroEjeLocal(i, 2) * U3(0)
1104.                                       MVSecMu(i, j, 1) = MuroEjeLocal(i, 6) *
1105.                                         U1(0) + MuroEjeLocal(i, 7) * U2(0) +
1106.                                         MuroEjeLocal(i, 8) * U3(0)
1107.                               Next
1108.                               ret =
1109.                               SapModel.Results.AreaJointForceShell(LisMu(i),
1110.                                 ETABS2016.eItemTypeElm.ObjectElm, NumberResults,
1111.                                 Obj, Elm, PointElm, LoadCase, StepType, StepNum,
1112.                                 F1, F2, F3, M1, M2, M3)
1113.                               For j = 0 To NumberResults - 1
1114.                                   For k = 2 To 3
1115.                                       If PointElm(j) = LisNudosMu(i, k) Then

```

```

Obj, ObjSta, Elm, ElmSta, LoadCase, StepType,
StepNum, P, V2, V3, T, M2, M3)
PosDaCol = 0
For j = 0 To NumberResults - 1
    If StepType(j) = SVoMax_Min(TipoValor) Then
        If -1 * P(j) > 0.2 * PuMinCol(i) Then
            'Compresión---PuMinCol es f'c*Ag
                If -1 * P(j) < 0.6 * PuMinCol(i)
                    Then
                        FITem2 = 0.175 + 0.875 * (-P(j))
                        / PuMinCol(i))
                        FITem3 = FITem2
                    Else
                        FITem2 = 0.7
                        FITem3 = 0.7
                    End If
                    PosDaCol = PosDaCol + 1
                Else 'Traccion
                    FITem2 = 0.35
                    FITem3 = 0.35
                End If
                If PosDaCol = 1 Then
                    FICol(i, 0) = FITem2
                    FICol(i, 1) = FITem3
                Else
                    If Not FICol(i, 0) < FITem2 Then
                        FICol(i, 0) = FITem2
                    End If
                    If Not FICol(i, 1) < FITem3 Then
                        FICol(i, 1) = FITem3
                    End If
                End If
            End If
        Next
        'Definir limites
        For j = 0 To 1
            If FICol(i, j) < 0.35 Then
                FICol(i, j) = 0.35
            End If
            If FICol(i, j) > 0.875 Then
                FICol(i, j) = 0.875
            End If
        Next j
        Next i
    End If
    'Generar coeficientes de reduccion de vigas
    Label6.Text = "Generando coeficientes de reducción de
vistas..."
If Not NVig = 0 Then
    ReDim FIVi(NVig - 1)
    For i = 0 To NVig - 1
        ret = SapModel.Results.FrameForce(LisVig(i),
ETABS2016.eItemTypeElm.ObjectElm, NumberResults,
Obj, ObjSta, Elm, ElmSta, LoadCase, StepType,
StepNum, P, V2, V3, T, M2, M3)
        For j = 0 To NumberResults - 1
            If StepType(j) = SVoMax_Min(TipoValor) Then
                If j = 0 Then
                    M3Min = M3(j)
                    M3Max = M3(j)
                Else
                    If Not M3Min < M3(j) Then

```

```

1169.                               M3Min = M3(j)
1170.                           End If
1171.                           If Not M3Max > M3(j) Then
1172.                               M3Max = M3(j)
1173.                           End If
1174.                               End If
1175.                           End If
1176.                       Next
1177.                       LnVi = ObjSta(NumberResults - 1) - ObjSta(0)
1178.                       For j = 0 To NumberResults - 1
1179.                           'Minimo
1180.                           If M3Min = M3(j) Then
1181.                               If ObjSta(j) < (ObjSta(0) + (LnVi / 3))
1182.                                   Then
1183.                                       FITem3 = MatInVig(i, 0, 0)
1184.                               Else
1185.                                   If ObjSta(j) > (ObjSta(0) + (2 *
1186.                                       LnVi / 3)) Then
1187.                                           FITem3 = MatInVig(i, 0, 2)
1188.                                       Else 'Medio
1189.                                           FITem3 = MatInVig(i, 0, 1)
1190.                                       End If
1191.                               End If
1192.                           'Maximo
1193.                           If M3Max = M3(j) Then
1194.                               If ObjSta(j) < (ObjSta(0) + (LnVi / 3))
1195.                                   Then
1196.                                       FITem3 = MatInVig(i, 1, 0)
1197.                               Else
1198.                                   If ObjSta(j) > (ObjSta(0) + (2 *
1199.                                       LnVi / 3)) Then
1200.                                           FITem3 = MatInVig(i, 1, 2)
1201.                                       Else 'Medio
1202.                                           FITem3 = MatInVig(i, 1, 1)
1203.                                       End If
1204.                               End If
1205.                           Next j
1206.                           'Definiendo limites
1207.                           For j = 0 To 1
1208.                               If FITem3 < 0.25 Then
1209.                                   FITem3 = 0.25
1210.                               End If
1211.                               If FITem3 > 0.5 Then
1212.                                   FITem3 = 0.5
1213.                               End If
1214.                           Next j
1215.                           FIVi(i) = (FITem3 + FITem3) / 2
1216.                           Next i
1217.                       End If
1218.                       'Generar coeficientes de reduccion de placas
1219.                       Label6.Text = "Generando coeficientes de reducción de
1220.                         muros..."
1221.                       If Not NMuros = 0 Then
1222.                           ReDim FIMu(NMuros - 1)

```

'Fitem2 es superior y Fitem3 es inferior

```

        For i = 0 To NMuros - 1
            ret = SapModel.Results.AreaStressShell(LisMu(i),
ETABS2016.eItemTypeElm.ObjectElm, NumberResults,
Obj, Elm, PointElm, LoadCase, StepType, StepNum,
S11Top, S22Top, S12Top, SMaxTop, SMinTop,

```

```

1223.           SAngleTop, SVMTop, S11Bot, S22Bot, S12Bot,
1224.           SMaxBot, SMinBot, SAngleBot, SVMBot, S13Avg,
1225.           S23Avg, SMaxAvg, SAngleAvg)
1226.           For j = 0 To NumberResults - 1
1227.               If j = 0 Then
1228.                   FITem2 = S22Top(j)
1229.                   FITem3 = S22Bot(j)
1230.               Else
1231.                   If FITem2 < S22Top(j) Then
1232.                       FITem2 = S22Top(j)
1233.                   End If
1234.                   If FITem3 < S22Bot(j) Then
1235.                       FITem3 = S22Bot(j)
1236.                   End If
1237.               End If
1238.           If j = NumberResults - 1 Then 'FITem2
1239.             esfuerzo mayor de superior e inferior
1240.             If FITem2 < FITem3 Then
1241.                 FITem2 = FITem3
1242.             End If
1243.         End If
1244.     Next
1245.     If FITem2 > fcr(i) Then
1246.         FIMu(i) = ((fcr(i) / FITem2) ^ (1.4)) * (1 -
1247.           LisPgMu(i)) + MaGeoMu(i, 2) 'MaGeoMu(i, 2)
1248.           segundo termino
1249.       Else
1250.           FIMu(i) = 1
1251.       End If
1252.   Next
1253. End If
1254. 'Desbloquear modelo
1255. ret = SapModel.SetModelIsLocked(False)
1256. 'Generar el grupo de nudos inestables
1257. Label6.Text = "Generando grupo de nudos inestables..."
1258. ret = SapModel.GroupDef.Delete("Nudos Inestables")
1259. ret = SapModel.GroupDef.SetGroup("Nudos Inestables")
1260. For i = 0 To CantNuI - 1
1261.     ret = SapModel.PointObj.SetGroupAssign(LisNuI(i),
1262.           "Nudos Inestables")
1263. Next
1264. 'Eliminación de caso de carga
1265. Label6.Text = "Eliminando caso de carga..."
1266. If Not Iteracion = 0 Then
1267.     ret =
1268.     SapModel.RespCombo.DeleteCase(AnalCombo(PosCombo),
1269.       CNameType, CC2doOrden)
1270.     ret = SapModel.LoadCases.Delete(CC2doOrden)
1271.     ret = SapModel.LoadPatterns.Delete(CC2doOrden)
1272. End If
1273. CC2doOrden = CC2doOrdenOrigen & " " & (Iteracion + 2)
1274. 'Generaración de caso de carga
1275. Label6.Text = "generando nuevo caso de carga..."
1276. ret = SapModel.LoadPatterns.Add(CC2doOrden,
1277.   ETABS2016.eLoadPatternType.Other, 0)
1278. ret =
1279. SapModel.LoadCases.StaticLinear.SetCase(CC2doOrden)
1280. ReDim MyLoadType(0)
1281. ReDim MyLoadName(0)
1282. ReDim MySF(0)
1283. MyLoadType(0) = "Load"
1284. MyLoadName(0) = CC2doOrden

```

```

1274.     MySF(0) = 1
1275.     ret =
1276.     SapModel.LoadCases.StaticLinear.SetLoads(CC2doOrden, 1,
1277.         MyLoadType, MyLoadName, MySF)
1278.     ret =
1279.     SapModel.RespCombo.SetCaseList(AnalCombo(PosCombo),
1280.         CNameType, CC2doOrden, 1)
1281.     'Ingresar cortantes secundarias frames
1282.     Label6.Text = "Ingresando cortantes secundarias a los
1283.         frame..."
1284.     If Not NFrames = 0 Then
1285.         For i = 0 To NFrames - 1
1286.             For j = 0 To NSubEle - 1
1287.                 ReDim Value(5)
1288.                 For k = 0 To 1
1289.                     Value(0) = Vsec(i, j, k) * MaEjeLocal(i,
1290.                         3 + k * 3) ' fuerza x
1291.                     Value(1) = Vsec(i, j, k) * MaEjeLocal(i,
1292.                         4 + k * 3) ' fuerza y
1293.                     Value(2) = Vsec(i, j, k) * MaEjeLocal(i,
1294.                         5 + k * 3) ' fuerza z
1295.                     ret =
1296.                     SapModel.PointObj.SetLoadForce(NIFrames(
1297.                         i, j), CC2doOrden, Value) ' es negativo
1298.                         por abajo
1299.                         Value(0) = -1 * Value(0)
1300.                         Value(1) = -1 * Value(1)
1301.                         Value(2) = -1 * Value(2)
1302.                         ret =
1303.                         SapModel.PointObj.SetLoadForce(NIFrames(
1304.                             i, j + 1), CC2doOrden, Value)
1305.                         Next k
1306.                     Next j
1307.                 Next i
1308.             End If
1309.             'Ingresar cortantes secundarias muros
1310.             Label6.Text = "Ingresando cortantes secundarias a los
1311.                 muros..."
1312.             If Not NMuros = 0 Then
1313.                 For i = 0 To NMuros - 1

```

```

1314.     End If
1315.     'Ingresar coeficientes columnas
1316.     Label6.Text = "Ingresando coeficientes de reducción a
1317.     las columnas..."
1318.     If Not NCol = 0 Then
1319.         For i = 0 To NCol - 1
1320.             ReDim Value(7)
1321.             For j = 0 To 7
1322.                 Value(j) = 1
1323.             Next j
1324.             Value(4) = Math.Round(FICol(i, 0), 3) 'Inercia 2
1325.             Value(5) = Math.Round(FICol(i, 1), 3) 'Inercia 3
1326.             ret = SapModel.FrameObj.SetModifiers(LisCol(i),
1327.                                         Value)
1328.             Next i
1329.         End If
1330.         'Ingresar coeficientes vigas
1331.         Label6.Text = "Ingresando coeficientes de reducción a
1332.         las vigas..."
1333.         If Not NVig = 0 Then
1334.             For i = 0 To NVig - 1
1335.                 ReDim Value(7)
1336.                 For j = 0 To 7
1337.                     Value(j) = 1
1338.                 Next j
1339.                 Value(4) = 1 'Inercia 2
1340.                 Value(5) = Math.Round(FIVi(i), 3) 'Inercia 3
1341.                 ret = SapModel.FrameObj.SetModifiers(LisVig(i),
1342.                                         Value)
1343.             Next i
1344.         End If
1345.         'Ingresar coeficientes muros
1346.         Label6.Text = "Ingresando coeficientes de reducción a
1347.         los muros..."
1348.         If Not NMuros = 0 Then
1349.             For i = 0 To NMuros - 1
1350.                 ReDim Value(9)
1351.                 Value(0) = 1 'f11
1352.                 Value(1) = FIMu(i) 'f22
1353.                 Value(2) = 1 'f12
1354.                 Value(3) = 1 'm11
1355.                 Value(4) = 1 'm22
1356.                 Value(5) = 1 'm12
1357.                 For j = 6 To 9
1358.                     Value(j) = 1
1359.                 Next j
1360.                 ret = SapModel.AreaObj.SetModifiers(LisMu(i),
1361.                                         Value)
1362.             Next i
1363.         End If
1364.         Else
1365.             IteracionFinal = Iteracion
1366.             ret = SapModel.GroupDef.Delete("Nudos Inestables")
1367.             ret = SapModel.GroupDef.SetGroup("Nudos Inestables")

```

```

1368.             ret = SapModel.GroupDef.Delete("Nudos Inestables")
1369.             IteracionFinal = Iteracion
1370.             Iteracion = MaxIter
1371.         End If
1372.         Label6.Text = "Siguiente iteración..."
1373.     Next Iteracion
1374.     If SVoMax_Min(0) = "Max" Then
1375.         ret = SapModel.File.Save(DirArchivo & "_" & AnalCombo(PosCombo) &
1376.             "_" & SVoMax_Min(TipoValor))
1377.     Else
1378.         ret = SapModel.File.Save(DirArchivo & "_" & AnalCombo(PosCombo))
1379.     End If
1380.     ETABSOObject.ApplicationExit(True)
1381.     FileClose(1)
1382.     FileClose(2)
1383.     'Pasar Al Sigueinte Combo
1384.     Label6.Text = "Siguiente combinación..."
1385.     If SVoMax_Min(TipoValor) = "Max" Then
1386.         TipoValor = 1
1387.         PosCombo = PosCombo - 1
1388.     Else
1389.         TipoValor = 0
1390.     End If
1391. Next PosCombo
1391. End Sub


---


1392. Private Sub B_Cancelar_Click(ByVal sender As System.Object, ByVal e As
System.EventArgs) Handles B_Cancelar.Click
1393.     Me.Close()
1394. End Sub


---


1395. Private Sub Primer_I_Load(ByVal sender As System.Object, ByVal e As
System.EventArgs) Handles MyBase.Load
1396.     Me.CheckForIllegalCrossThreadCalls = False
1397.     Tabla.Columns.Add("Columns0", "Iteración")
1398.     Tabla.Columns(0).Width = 50
1399.     Tabla.Columns(0).MinimumWidth = 50
1400.     Tabla.Columns.Add("Columns1", "Error (mm)")
1401.     Tabla.Columns(1).Width = 50
1402.     Tabla.Columns(1).MinimumWidth = 50
1403.     Tabla.Columns.Add("Columns2", "Nudo Inestable")
1404.     Tabla.Columns(2).Width = 60
1405.     Tabla.Columns(2).MinimumWidth = 50
1406.     Tabla.Columns.Add("Columns3", "Cantidad")
1407.     Tabla.Columns(3).Width = 60
1408.     Tabla.Columns(3).MinimumWidth = 50
1409.     Tabla.RowHeadersVisible = False
1410.     Tabla.ColumnHeadersDefaultCellStyle.Alignment =
DataGridViewContentAlignment.MiddleCenter
1411.     Me.Text = "ARE2015"
1412.     TextBox5.Text = "C:\Program Files (x86)\Computers and Structures\ETABS
2016\ETABS.exe"
1413.     CheckBox1.Checked = True
1414. End Sub


---


1415. Private Sub Button1_Click(ByVal sender As System.Object, ByVal e As
System.EventArgs)
1416.     Tercer_I.ShowDialog()
1417. End Sub


---


1418. Private Sub CheckBox1_CheckedChanged(sender As Object, e As EventArgs)
Handles CheckBox1.CheckedChanged
1419.     If Not CheckBox1.Checked Then

```

```

1420.           TextBox5.ReadOnly = False
1421.       Else
1422.           TextBox5.ReadOnly = True
1423.       End If
1424.   End Sub

1425. Private Sub AnalCond()
1426.     Dim ExMasa As String
1427.     Dim NumberItems As Integer
1428.     Dim CName() As String
1429.     Dim SF() As Double
1430.     Dim CaseType As ETABS2016.eLoadCaseType
1431.     Dim CNameType1() As ETABS2016.eCNameType
1432.     Dim SubType As Integer
1433.     Dim NumberNames As Integer
1434.     Dim MyName() As String
1435.     For j = 0 To NCombo - 1
1436.         ret = SapModel.RespCombo.GetCaseList(AnalCombo(j), NumberItems,
1437.             CNameType1, CName, SF)
1438.         For i = 0 To NumberItems - 1
1439.             ret = SapModel.LoadCases.GetTypeOAPI(CName(i), CaseType, SubType)
1440.             If CaseType = 4 Then
1441.                 ExMasa = "Activar"
1442.                 i = NumberItems - 1
1443.                 j = NCombo - 1
1444.             End If
1445.         Next
1446.     Next
1447.     ret = SapModel.Story.GetNameList(NumberNames, MyName)
1448.     Module1.Pisos = MyName
1449.     Module1.Npisos = NumberNames
1450.     Module1.LisMasaX = LisMasaX
1451.     Module1.LisMasaY = LisMasaY
1452.     ReDim Preserve LisMasaX(NumberNames - 1)
1453.     ReDim Preserve LisMasaY(NumberNames - 1)
1454.     If ExMasa = "Activar" Then
1455.         MasaPisos.Show()
1456.     Else
1457.         Analisis()
1458.     End If
1459. End Sub

```

Seg_I (código)

```
1. Public Class Seg_I
1.     Dim LisCombos() As String = Module1.LisCombos
2.     Dim AnalCombo() As String = Module1.AnalCombo
3.     Dim LisGrup() As String = Module1.LisGrup
4.     Dim LisSecc() As String = Module1.LisSecc
5.     Dim NGrup As Integer = Module1.NGrup
6.     Dim NSecc As Integer = Module1.NSecc
7.     Dim LisSecCol() As String
8.     Dim LisSecVig() As String
9.     Dim LisSecMu() As String
10.    Dim NSecCol As Integer = 0
11.    Dim NSecVig As Integer = 0
12.    Dim NSecMu As Integer = 0
13.    Dim Sel_Tipo As String
14.    Dim Sel_Ele As String

15.   Private Sub B_Secciones_CheckedChanged(ByVal sender As System.Object, ByVal e As System.EventArgs) Handles B_Secciones.CheckedChanged
16.       Sel_Tipo = "Secciones"
17.       Lista_Tipo.Items.Clear()
18.       Lista_Tipo.Items.AddRange(LisSecc)
19.       B_Muros.Enabled = False
20.       B_Columnas.Enabled = True
21.       B_Vigas.Enabled = True
22.       B_Columnas.Checked = True
23.   End Sub

24.   Private Sub B_Grupos_CheckedChanged(ByVal sender As System.Object, ByVal e As System.EventArgs) Handles B_Grupos.CheckedChanged
25.       Sel_Tipo = "Grupos"
26.       Lista_Tipo.Items.Clear()
27.       Lista_Tipo.Items.AddRange(LisGrup)
28.       B_Columnas.Enabled = False
29.       B_Vigas.Enabled = False
30.       B_Muros.Enabled = True
31.       B_Muros.Checked = True
32.   End Sub

33.   Private Sub B_Agregar_Click(ByVal sender As System.Object, ByVal e As System.EventArgs) Handles B_Agregar.Click
34.       For i = 0 To Lista_Tipo.SelectedItems.Count - 1
35.           Lista_Elemento.Items.Add(Lista_Tipo.SelectedItems(i))
36.       Next
37.       If "Secciones" = Sel_Tipo Then
38.           If Sel_Ele = "Columnas" Then
39.               ReDim LisSecCol(Lista_Elemento.Items.Count - 1)
40.               For i = 0 To Lista_Elemento.Items.Count - 1
41.                   LisSecCol(i) = Lista_Elemento.Items(i)
42.                   Lista_Tipo.Items.Remove(Lista_Elemento.Items(i))
43.               Next
44.               NSecCol = Lista_Elemento.Items.Count
45.               B_Columnas.Checked = True
46.           Else
47.               ReDim LisSecVig(Lista_Elemento.Items.Count - 1)
48.               For i = 0 To Lista_Elemento.Items.Count - 1
49.                   LisSecVig(i) = Lista_Elemento.Items(i)
50.                   Lista_Tipo.Items.Remove(Lista_Elemento.Items(i))
51.               Next
52.               NSecVig = Lista_Elemento.Items.Count
53.               B_Vigas.Checked = True
```

```

54.         End If
55.         ReDim LisSecc(Lista_Tipo.Items.Count - 1)
56.         For i = 0 To Lista_Tipo.Items.Count - 1
57.             LisSecc(i) = Lista_Tipo.Items(i)
58.         Next
59.     Else
60.         ReDim LisSecMu(Lista_Elemento.Items.Count - 1)
61.         For i = 0 To Lista_Elemento.Items.Count - 1
62.             LisSecMu(i) = Lista_Elemento.Items(i)
63.             Lista_Tipo.Items.Remove(Lista_Elemento.Items(i))
64.         Next
65.         NSecMu = Lista_Elemento.Items.Count
66.         B_Muros.Checked = True
67.         ReDim LisGrup(Lista_Tipo.Items.Count - 1)
68.         For i = 0 To Lista_Tipo.Items.Count - 1
69.             LisGrup(i) = Lista_Tipo.Items(i)
70.         Next
71.     End If
72. End Sub


---


73. Private Sub B_Columnas_CheckedChanged(ByVal sender As System.Object, ByVal e As System.EventArgs) Handles B_Columnas.CheckedChanged
74.     Sel_Ele = "Columnas"
75.     Lista_Elemento.Items.Clear()
76.     If Not NSecCol = 0 Then
77.         Lista_Elemento.Items.AddRange(LisSecCol)
78.     End If
79. End Sub


---


80. Private Sub B_Vigas_CheckedChanged(ByVal sender As System.Object, ByVal e As System.EventArgs) Handles B_Vigas.CheckedChanged
81.     Sel_Ele = "Vigas"
82.     Lista_Elemento.Items.Clear()
83.     If Not NSecVig = 0 Then
84.         Lista_Elemento.Items.AddRange(LisSecVig)
85.     End If
86. End Sub


---


87. Private Sub B_Muros_CheckedChanged(ByVal sender As System.Object, ByVal e As System.EventArgs) Handles B_Muros.CheckedChanged
88.     Sel_Ele = "Muros"
89.     Lista_Elemento.Items.Clear()
90.     If Not NSecMu = 0 Then
91.         Lista_Elemento.Items.AddRange(LisSecMu)
92.     End If
93. End Sub


---


94. Private Sub B_Quitar_Click(ByVal sender As System.Object, ByVal e As System.EventArgs) Handles B_Quitar.Click
95.     For i = 0 To Lista_Elemento.SelectedItems.Count - 1
96.         Lista_Tipo.Items.Add(Lista_Elemento.SelectedItems(i))
97.     Next
98.     If "Secciones" = Sel_Tipo Then
99.         ReDim LisSecc(Lista_Tipo.Items.Count - 1)
100.        For i = 0 To Lista_Tipo.Items.Count - 1
101.            LisSecc(i) = Lista_Tipo.Items(i)
102.            Lista_Elemento.Items.Remove(Lista_Tipo.Items(i))
103.        Next
104.        If Sel_Ele = "Columnas" Then
105.            NSecCol = Lista_Elemento.Items.Count
106.            ReDim LisSecCol(NSecCol - 1)
107.            For i = 0 To Lista_Elemento.Items.Count - 1
108.                LisSecCol(i) = Lista_Elemento.Items(i)

```

```

109.          Next
110.          B_Columnas.Checked = True
111.      Else
112.          NSecVig = Lista_Elemento.Items.Count
113.          ReDim LisSecVig(NSecVig - 1)
114.          For i = 0 To Lista_Elemento.Items.Count - 1
115.              LisSecVig(i) = Lista_Elemento.Items(i)
116.          Next
117.          B_Vigas.Checked = True
118.      End If
119.  Else
120.      NSecMu = Lista_Elemento.Items.Count
121.      ReDim LisSecMu(NSecMu - 1)
122.      For i = 0 To Lista_Elemento.Items.Count - 1
123.          LisSecMu(i) = Lista_Elemento.Items(i)
124.      Next
125.      B_Muros.Checked = True
126.      ReDim LisGrup(Lista_Tipo.Items.Count - 1)
127.      For i = 0 To Lista_Tipo.Items.Count - 1
128.          LisGrup(i) = Lista_Tipo.Items(i)
129.          Lista_Elemento.Items.Remove(Lista_Tipo.Items(i))
130.      Next
131.  End If
132. End Sub


---


133. Private Sub B_Sig_Click(ByVal sender As System.Object, ByVal e As
System.EventArgs) Handles B_Sig.Click
134.     Module1.LisSecMu = LisSecMu
135.     Module1.LisSecCol = LisSecCol
136.     Module1.LisSecVig = LisSecVig
137.     Module1.NSecCol = NSecCol
138.     Module1.NSecVig = NSecVig
139.     Module1.NSecMu = NSecMu
140.     Module1.ConverMax = Convert.ToDouble(T_Convergencia.Text)
141.     Module1.MaxItera = Convert.ToInt32(T_MaxIteraciones.Text)
142.     Module1.NSubEle = Convert.ToInt32(T_Discreti.Text)
143.     Module1.NCombo = Lista_Combo.SelectedItems.Count
144.     ReDim AnalCombo(Module1.NCombo - 1)
145.     For i = 0 To Module1.NCombo - 1
146.         AnalCombo(i) = Lista_Combo.SelectedItems.Item(i)
147.     Next
148.     Module1.AnalCombo = AnalCombo
149.     If B_Todo.Checked = True Then
150.         Module1.T2doOrden = "Todo"
151.     Else
152.         Module1.T2doOrden = "Compresion"
153.     End If
154.     Tercer_I.Text = "ARE2015 - " & NombreArchivo
155.     Tercer_I.ShowDialog()
156. End Sub


---


157. Private Sub Seg_I_Load(ByVal sender As System.Object, ByVal e As
System.EventArgs) Handles MyBase.Load
158.     Lista_Combo.Items.AddRange(LisCombos)
159. End Sub

```

Tercer_I (código)

```
1. Imports excel = Microsoft.Office.Interop.Excel
2. Imports System.Runtime.InteropServices

3. Public Class Tercer_I
4.     Dim NSecCol As Integer = Module1.NSecCol
5.     Dim NSecVig As Integer = Module1.NSecVig
6.     Dim NSecMu As Integer = Module1.NSecMu
7.     Dim LisSecCol() As String = Module1.LisSecCol
8.     Dim LisSecVig() As String = Module1.LisSecVig
9.     Dim LisSecMu() As String = Module1.LisSecMu
10.    Dim AsSupVig(NSecVig - 1, 2) As Double
11.    Dim AsInfVig(NSecVig - 1, 2) As Double
12.    Dim dSupVig(NSecVig - 1, 2) As Double
13.    Dim dInfVig(NSecVig - 1, 2) As Double
14.    Dim PgCol(NSecCol - 1) As Double
15.    Dim PgMu(NSecMu - 1) As Double
16.    Dim FyCol As Double
17.    Dim FyMu As Double
18.    Dim Sel_A As String

19.    Private Sub Pestañas_SelectedIndexChanged(ByVal sender As Object, ByVal e As
System.EventArgs) Handles Pestañas.SelectedIndexChanged
20.        If Pestañas.SelectedTab Is Vigas Then
21.            If Sel_A = "Inferior" Then
22.                B_ViInf.PerformClick()
23.            Else
24.                B_ViSup.PerformClick()
25.            End If
26.        End If
27.        If Pestañas.SelectedTab Is Muros Then
28.            Encabezado_Muros()
29.            For i = 0 To NSecMu - 1
30.                If Not PgMu(i) = 0 Then
31.                    Datos_PgMu.Item(1, i).Value = PgMu(i)
32.                End If
33.            Next
34.        End If
35.    End Sub

36.    Private Sub Encabezado_Muros()
37.        Datos_PgMu.ColumnCount = 0
38.        Datos_PgMu.ColumnCount = 2
39.        Datos_PgMu.Columns(0).Name = "Grupo"
40.        Datos_PgMu.Columns(0).ReadOnly = True
41.        Datos_PgMu.Columns(1).Name = "Pg"
42.        Datos_PgMu.Columns(0).SortMode = DataGridViewColumnSortMode.NotSortable
43.        Datos_PgMu.Columns(1).SortMode = DataGridViewColumnSortMode.NotSortable
44.        Datos_PgMu.RowCount = NSecMu
45.        For i = 0 To NSecMu - 1
46.            Datos_PgMu.Item(0, i).Value = LisSecMu(i)
47.        Next
48.    End Sub

49.    Private Sub Encabezado_vigas()
50.        Datos_As.ColumnCount = 0
51.        Datos_As.ColumnCount = 4
52.        Datos_As.Columns(0).Name = "Seccion"
53.        Datos_As.Columns(0).ReadOnly = True
54.        Datos_As.Columns(1).Name = "Izquierda"
55.        Datos_As.Columns(2).Name = "Medio"
```

```

56.     Datos_As.Columns(3).Name = "Derecha"
57.     Datos_As.Columns(0).SortMode = DataGridViewColumnSortMode.NotSortable
58.     Datos_As.Columns(1).SortMode = DataGridViewColumnSortMode.NotSortable
59.     Datos_As.Columns(2).SortMode = DataGridViewColumnSortMode.NotSortable
60.     Datos_As.Columns(3).SortMode = DataGridViewColumnSortMode.NotSortable
61.     Datos_As.RowCount = NSecVig
62.     For i = 0 To NSecVig - 1
63.         Datos_As.Item(0, i).Value = LisSecVig(i)
64.     Next
65.     Datos_d.ColumnCount = 0
66.     Datos_d.ColumnCount = 4
67.     Datos_d.Columns(0).Name = "Seccion"
68.     Datos_d.Columns(0).ReadOnly = True
69.     Datos_d.Columns(1).Name = "Izquierda"
70.     Datos_d.Columns(2).Name = "Medio"
71.     Datos_d.Columns(3).Name = "Derecha"
72.     Datos_d.Columns(0).SortMode = DataGridViewColumnSortMode.NotSortable
73.     Datos_d.Columns(1).SortMode = DataGridViewColumnSortMode.NotSortable
74.     Datos_d.Columns(2).SortMode = DataGridViewColumnSortMode.NotSortable
75.     Datos_d.Columns(3).SortMode = DataGridViewColumnSortMode.NotSortable
76.     Datos_d.RowCount = NSecVig
77.     For i = 0 To NSecVig - 1
78.         Datos_d.Item(0, i).Value = LisSecVig(i)
79.     Next
80. End Sub


---


81. Private Sub Datos_As_CellValueChanged(ByVal sender As Object, ByVal e As System.Windows.Forms.DataGridViewCellEventArgs) Handles Datos_As.CellValueChanged
82.     On Error GoTo ErrorVegasAs
83.     If Not e.ColumnIndex = 0 Then
84.         If Sel_A = "Superior" Then
85.             AsSupVig(e.RowIndex, e.ColumnIndex - 1) =
86.                 Datos_As.Item(e.ColumnIndex, e.RowIndex).Value
87.         Else
88.             AsInfVig(e.RowIndex, e.ColumnIndex - 1) =
89.                 Datos_As.Item(e.ColumnIndex, e.RowIndex).Value
90.         End If
91.     End If
92.     Exit Sub
93. ErrorVegasAs:
94.     MsgBox("Solo Cantidad")
95.     Pestañas_SelectedIndexChanged(AceptarButton, AceptarButton)
96.     Resume Next
97. End Sub


---


98. Private Sub B_ViInf_Click(ByVal sender As Object, ByVal e As System.EventArgs) Handles B_ViInf.Click
99.     Sel_A = "Inferior"
100.    Encabezado_vigas()
101.    For i = 0 To NSecVig - 1
102.        For j = 0 To 2
103.            If Not AsInfVig(i, j) = 0 Then
104.                Datos_As.Item(j + 1, i).Value = AsInfVig(i, j)
105.            End If
106.            If Not dInfVig(i, j) = 0 Then
107.                Datos_d.Item(j + 1, i).Value = dInfVig(i, j)
108.            End If
109.        Next
110.    Next
111. End Sub

```

```

110. Private Sub B_ViSup_Click(ByVal sender As Object, ByVal e As
System.EventArgs) Handles B_ViSup.Click
111.     Sel_A = "Superior"
112.     Encabezado_vigas()
113.     For i = 0 To NSecVig - 1
114.         For j = 0 To 2
115.             If Not AsSupVig(i, j) = 0 Then
116.                 Datos_As.Item(j + 1, i).Value = AsSupVig(i, j)
117.             End If
118.             If Not dSupVig(i, j) = 0 Then
119.                 Datos_d.Item(j + 1, i).Value = dSupVig(i, j)
120.             End If
121.         Next
122.     Next
123. End Sub


---


124. Private Sub Datos_d_CellValueChanged(ByVal sender As Object, ByVal e As
System.Windows.Forms.DataGridViewCellEventArgs) Handles
Datos_d.CellValueChanged
125.     On Error GoTo ErrorVigasd
126.     If Not e.ColumnIndex = 0 Then
127.         If Sel_A = "Superior" Then
128.             dSupVig(e.RowIndex, e.ColumnIndex - 1) =
Datos_d.Item(e.ColumnIndex, e.RowIndex).Value
129.         Else
130.             dInfVig(e.RowIndex, e.ColumnIndex - 1) =
Datos_d.Item(e.ColumnIndex, e.RowIndex).Value
131.         End If
132.     End If
133.     Exit Sub
134. ErrorVigasd:
135.     MsgBox("Solo Cantidades")
136.     Pestañas_SelectedIndexChanged(AcceptButton, AcceptButton)
137.     Resume Next
138. End Sub


---


139. Private Sub Datos_PgMu_CellValueChanged(ByVal sender As Object, ByVal e As
System.Windows.Forms.DataGridViewCellEventArgs) Handles
Datos_PgMu.CellValueChanged
140.     If Not e.ColumnIndex = 0 Then
141.         On Error GoTo ErrorMuros
142.         PgMu(e.RowIndex) = Datos_PgMu.Item(e.ColumnIndex, e.RowIndex).Value
143.         Exit Sub
144. ErrorMuros:
145.     MsgBox("Solo Cantidades")
146.     Pestañas_SelectedIndexChanged(AcceptButton, AcceptButton)
147.     Resume Next
148. End If
149. End Sub


---


150. Public Sub Tercer_I_Load(ByVal sender As System.Object, ByVal e As
System.EventArgs) Handles MyBase.Load
151.     Seg_I.Hide()
152.     If NSecMu = 0 Then
153.         Pestañas.TabPages(1).Parent = Nothing
154.     End If
155.     If NSecVig = 0 Then
156.         Pestañas.TabPages(0).Parent = Nothing
157.     End If
158.     Pestañas_SelectedIndexChanged(AcceptButton, AcceptButton)
159.     Label4.Text = "kg/cm" & Chr(178)
160. End Sub

```

```

161. Dim Apxl As Object
162. Dim Libro As Object
163. Dim H_Borrar As Object
164. Dim H_COL As Object
165. Dim H_VIG As Object
166. Dim H_MU As Object


---


167. Private Sub B_Exp_Click(ByVal sender As System.Object, ByVal e As
System.EventArgs) Handles B_Exp.Click
168.     Apxl = CreateObject("Excel.Application")
169.     Libro = Apxl.Workbooks.Add
170.     H_Borrar = Libro.Application.Worksheets(1)
171.     H_VIG = Libro.Application.Worksheets.Add
172.     H_VIG.Name = "VIGAS"
173.     For i = 0 To NSecVig - 1
174.         H_VIG.Range("A4").Offset(i).Value = LisSecVig(i)
175.         For j = 0 To 2
176.             If Not 0 = AsSupVig(i, j) Then
177.                 H_VIG.Range("B4").Offset(i, j).Value = AsSupVig(i, j)
178.             End If
179.             If Not 0 = AsInfVig(i, j) Then
180.                 H_VIG.Range("E4").Offset(i, j).Value = AsInfVig(i, j)
181.             End If
182.             If Not 0 = dSupVig(i, j) Then
183.                 H_VIG.Range("H4").Offset(i, j).Value = dSupVig(i, j)
184.             End If
185.             If Not 0 = dInfVig(i, j) Then
186.                 H_VIG.Range("K4").Offset(i, j).Value = dInfVig(i, j)
187.             End If
188.         Next
189.     Next
190.     ExcelEncabezado_Vigas()
191.     'Configurar muros
192.     H_MU = Libro.Application.Worksheets.Add
193.     H_MU.Name = "MUROS"
194.     For i = 0 To NSecMu - 1
195.         H_MU.Range("A2").Offset(i).Value = LisSecMu(i)
196.         H_MU.Range("B2").Offset(i).Value = PgMu(i)
197.     Next i
198.     ExcelEncabezado_Muros()
199.     'Borrar hojas 1
200.     H_Borrar.Delete()
201.     Apxl.Visible = True
202. End Sub


---


203. Private Sub B_Imp_Click(ByVal sender As System.Object, ByVal e As
System.EventArgs) Handles B_Imp.Click
204.     Apxl.Visible = False
205.     'Extraer datos de muros
206.     For i = 0 To NSecMu - 1
207.         PgMu(i) = H_MU.Range("B2").Offset(i).Value
208.     Next
209.     'Extraer datos de vigas
210.     For i = 0 To NSecVig - 1
211.         For j = 0 To 2
212.             AsSupVig(i, j) = H_VIG.Range("B4").Offset(i, j).Value
213.             AsInfVig(i, j) = H_VIG.Range("E4").Offset(i, j).Value
214.             dSupVig(i, j) = H_VIG.Range("H4").Offset(i, j).Value
215.             dInfVig(i, j) = H_VIG.Range("K4").Offset(i, j).Value
216.         Next
217.     Next
218.     Pestañas_SelectedIndexChanged(AcceptButton, AcceptButton)
219.     EliminarProceso(H_Borrar)

```

```

220.     EliminarProceso(H_COL)
221.     EliminarProceso(H_VIG)
222.     EliminarProceso(H_MU)
223.     Libro.Close(False)
224.     EliminarProceso(Libro)
225.     Apxl.Quit()
226.     EliminarProceso(Apxl)
227.     Debug.WriteLine("Sleeping...")
228.     System.Threading.Thread.Sleep(5000)
229.     Debug.WriteLine("End Excel")
230. End Sub


---


231. Private Sub EliminarProceso(ByVal o As Object)
232. Try
233.     While (System.Runtime.InteropServices.Marshal.ReleaseComObject(o) >
234.             0)
235.         End While
236.     Catch
237.     Finally
238.         o = Nothing
239.     End Try
239. End Sub


---


240. Private Sub ExcelEncabezado_Columnas()
241.     'Columna
242.     H_COL.Range("A1").Value = "Sección"
243.     H_COL.Range("B1").Value = "Rho g"
244.     H_COL.Range("A1:B1").Font.Bold = True
245.     H_COL.Range("A1",
246.                 H_COL.Range("B1").Offset(NSecCol)).Borders(excel.XlBordersIndex.xlDiagona
247.                     lDown).LineStyle = excel.XlLineStyle.xlLineStyleNone
248.     H_COL.Range("A1",
249.                 H_COL.Range("B1").Offset(NSecCol)).Borders(excel.XlBordersIndex.xlDiagona
250.                     lUp).LineStyle = excel.XlLineStyle.xlLineStyleNone
251.     With H_COL.Range("A1",
252.                     H_COL.Range("B1").Offset(NSecCol)).Borders(excel.XlBordersIndex.xlEdgeLeft)
253.         .LineStyle = excel.XlLineStyle.xlContinuous
254.         .ColorIndex = 0
255.         .TintAndShade = 0
256.         .Weight = excel.XlBorderWeight.xlThin
257.     End With
258.     With H_COL.Range("A1",
259.                     H_COL.Range("B1").Offset(NSecCol)).Borders(excel.XlBordersIndex.xlEdgeTop)
260.         .LineStyle = excel.XlLineStyle.xlContinuous
261.         .ColorIndex = 0
262.         .TintAndShade = 0
263.         .Weight = excel.XlBorderWeight.xlThin
264.     End With
265.     With H_COL.Range("A1",
266.                     H_COL.Range("B1").Offset(NSecCol)).Borders(excel.XlBordersIndex.xlEdgeBottom)
267.         .LineStyle = excel.XlLineStyle.xlContinuous

```

```

268.         .TintAndShade = 0
269.         .Weight = excel.XlBorderWeight.xlThin
270.     End With
271.     With H_COL.Range("A1",
272.         H_COL.Range("B1").Offset(NSecCol)).Borders(excel.XlBordersIndex.xlInsideVertical)
273.             .LineStyle = excel.XlLineStyle.xlContinuous
274.             .ColorIndex = 0
275.             .TintAndShade = 0
276.             .Weight = excel.XlBorderWeight.xlThin
277.     End With
278.     With H_COL.Range("A1",
279.         H_COL.Range("B1").Offset(NSecCol)).Borders(excel.XlBordersIndex.xlInsideHorizontal)
280.             .LineStyle = excel.XlLineStyle.xlContinuous
281.             .ColorIndex = 0
282.             .TintAndShade = 0
283.             .Weight = excel.XlBorderWeight.xlThin
284.     End With
285.     With H_COL.Range("A1", H_COL.Range("B1").Offset(NSecCol))
286.         .HorizontalAlignment = excel.XlHAlign.xlHAlignCenter
287.         .VerticalAlignment = excel.XlVAlign.xlVAlignCenter
288.         .WrapText = False
289.         .Orientation = 0
290.         .AddIndent = False
291.         .IndentLevel = 0
292.         .ShrinkToFit = False
293.         .ReadingOrder = excel.Constants.xlContext
294.         .MergeCells = False
295.     End With
296.     With H_COL.Range("A1:B1").Interior
297.         .Pattern = excel.XlPattern.xlPatternSolid
298.         .PatternColorIndex = excel.XlPattern.xlPatternAutomatic
299.         .ThemeColor = excel.XlThemeColor.xlThemeColorDark2
300.         .TintAndShade = -0.0999786370433668
301.         .PatternTintAndShade = 0
302.     End With
303.     H_COL.Activate()
304.     ApXL.Application.ActiveWindow.View =
305.         excel.XlWindowView.xlPageBreakPreview
306. End Sub


---


307. Private Sub ExcelEncabezado_Muros()
308.     'Muro
309.     H_MU.Range("A1").Value = "Sección"
310.     H_MU.Range("B1").Value = "Rho g"
311.     H_MU.Range("A1:B1").Font.Bold = True
312.     H_MU.Range("A1",
313.         H_MU.Range("B1").Offset(NSecMu)).Borders(excel.XlBordersIndex.xlDiagonalDown).LineStyle = excel.XlLineStyle.xlLineStyleNone
314.     H_MU.Range("A1",
315.         H_MU.Range("B1").Offset(NSecMu)).Borders(excel.XlBordersIndex.xlDiagonalUp).LineStyle = excel.XlLineStyle.xlLineStyleNone
316.     With H_MU.Range("A1",
317.         H_MU.Range("B1").Offset(NSecMu)).Borders(excel.XlBordersIndex.xlEdgeLeft)

```

```

318.         .LineStyle = excel.XlLineStyle.xlContinuous
319.         .ColorIndex = 0
320.         .TintAndShade = 0
321.         .Weight = excel.XlBorderWeight.xlThin
322.     End With
323.     With H_MU.Range("A1",
324.         H_MU.Range("B1").Offset(NSecMu)).Borders(excel.XlBordersIndex.xlEdgeBottom)
325.         .LineStyle = excel.XlLineStyle.xlContinuous
326.         .ColorIndex = 0
327.         .TintAndShade = 0
328.         .Weight = excel.XlBorderWeight.xlThin
329.     End With
330.     With H_MU.Range("A1",
331.         H_MU.Range("B1").Offset(NSecMu)).Borders(excel.XlBordersIndex.xlEdgeRight)
332.         .LineStyle = excel.XlLineStyle.xlContinuous
333.         .ColorIndex = 0
334.         .TintAndShade = 0
335.         .Weight = excel.XlBorderWeight.xlThin
336.     End With
337.     With H_MU.Range("A1",
338.         H_MU.Range("B1").Offset(NSecMu)).Borders(excel.XlBordersIndex.xlInsideVertical)
339.         .LineStyle = excel.XlLineStyle.xlContinuous
340.         .ColorIndex = 0
341.         .TintAndShade = 0
342.         .Weight = excel.XlBorderWeight.xlThin
343.     End With
344.     With H_MU.Range("A1",
345.         H_MU.Range("B1").Offset(NSecMu)).Borders(excel.XlBordersIndex.xlInsideHorizontal)
346.         .LineStyle = excel.XlLineStyle.xlContinuous
347.         .ColorIndex = 0
348.         .TintAndShade = 0
349.         .Weight = excel.XlBorderWeight.xlThin
350.     End With
351.     With H_MU.Range("A1", H_MU.Range("B1").Offset(NSecCol))
352.         .HorizontalAlignment = excel.XlHAlign.xlHAlignCenter
353.         .VerticalAlignment = excel.XlVAlign.xlVAlignCenter
354.         .WrapText = False
355.         .Orientation = 0
356.         .AddIndent = False
357.         .IndentLevel = 0
358.         .ShrinkToFit = False
359.         .ReadingOrder = excel.Constants.xlContext
360.         .MergeCells = False
361.     End With
362.     With H_MU.Range("A1:B1").Interior
363.         .Pattern = excel.XlPattern.xlPatternSolid
364.         .PatternColorIndex = excel.XlPattern.xlPatternAutomatic
365.         .ThemeColor = excel.XlThemeColor.xlThemeColorDark1
366.         .TintAndShade = -0.0999786370433668
367.         .PatternTintAndShade = 0
368.     End With
369. H_MU.Activate()
400. Apx1.Application.ActiveWindow.View =
401.     excel.XlWindowView.xlPageBreakPreview
402. End Sub
403.
404. Private Sub ExcelEncabezado_Vigas()
405.     'Vigas

```

```

370.     With H_VIG.Range("A1:A3")
371.         .HorizontalAlignment = excel.XlHAlign.xlHAlignCenter
372.         .VerticalAlignment = excel.XlVAlign.xlVAlignCenter
373.         .WrapText = False
374.         .Orientation = 0
375.         .AddIndent = False
376.         .IndentLevel = 0
377.         .ShrinkToFit = False
378.         .ReadingOrder = excel.Constants.xlContext
379.         .MergeCells = False
380.     End With
381.     H_VIG.Range("A1:A3").Merge()
382.     H_VIG.Range("A1:A3").Value = "Sección"
383.     With H_VIG.Range("B1:G1")
384.         .HorizontalAlignment = excel.XlHAlign.xlHAlignCenter
385.         .VerticalAlignment = excel.XlVAlign.xlVAlignCenter
386.         .WrapText = False
387.         .Orientation = 0
388.         .AddIndent = False
389.         .IndentLevel = 0
390.         .ShrinkToFit = False
391.         .ReadingOrder = excel.Constants.xlContext
392.         .MergeCells = False
393.     End With
394.     H_VIG.Range("B1:G1").Merge()
395.     H_VIG.Range("B1:G1").Value = "Áreas de Acero (cm2)"
396.     With H_VIG.Range("H1:M1")
397.         .HorizontalAlignment = excel.XlHAlign.xlHAlignCenter
398.         .VerticalAlignment = excel.XlVAlign.xlVAlignCenter
399.         .WrapText = False
400.         .Orientation = 0
401.         .AddIndent = False
402.         .IndentLevel = 0
403.         .ShrinkToFit = False
404.         .ReadingOrder = excel.Constants.xlContext
405.         .MergeCells = False
406.     End With
407.     H_VIG.Range("H1:M1").Merge()
408.     H_VIG.Range("H1:M1").Value = "Peralte Efectivo (cm)"
409.     With H_VIG.Range("B2:D2")
410.         .HorizontalAlignment = excel.XlHAlign.xlHAlignCenter
411.         .VerticalAlignment = excel.XlVAlign.xlVAlignCenter
412.         .WrapText = False
413.         .Orientation = 0
414.         .AddIndent = False
415.         .IndentLevel = 0
416.         .ShrinkToFit = False
417.         .ReadingOrder = excel.Constants.xlContext
418.         .MergeCells = False
419.     End With
420.     H_VIG.Range("B2:D2").Merge()
421.     With H_VIG.Range("E2:G2")
422.         .HorizontalAlignment = excel.XlHAlign.xlHAlignCenter
423.         .VerticalAlignment = excel.XlVAlign.xlVAlignCenter
424.         .WrapText = False
425.         .Orientation = 0
426.         .AddIndent = False
427.         .IndentLevel = 0
428.         .ShrinkToFit = False
429.         .ReadingOrder = excel.Constants.xlContext
430.         .MergeCells = False
431.     End With

```

```

432. H_VIG.Range("E2:G2").Merge()
433. With H_VIG.Range("H2:J2")
434.     .HorizontalAlignment = excel.XlHAlign.xlHAlignCenter
435.     .VerticalAlignment = excel.XlVAlign.xlVAlignCenter
436.     .WrapText = False
437.     .Orientation = 0
438.     .AddIndent = False
439.     .IndentLevel = 0
440.     .ShrinkToFit = False
441.     .ReadingOrder = excel.Constants.xlContext
442.     .MergeCells = False
443. End With
444. H_VIG.Range("H2:J2").Merge()
445. With H_VIG.Range("K2:M2")
446.     .HorizontalAlignment = excel.XlHAlign.xlHAlignCenter
447.     .VerticalAlignment = excel.XlVAlign.xlVAlignCenter
448.     .WrapText = False
449.     .Orientation = 0
450.     .AddIndent = False
451.     .IndentLevel = 0
452.     .ShrinkToFit = False
453.     .ReadingOrder = excel.Constants.xlContext
454.     .MergeCells = False
455. End With
456. H_VIG.Range("K2:M2").Merge()
457. H_VIG.Range("B2:D2").Value = "Superior"
458. H_VIG.Range("E2:G2").Value = "Inferior"
459. H_VIG.Range("H2:J2").Value = "Superior"
460. H_VIG.Range("K2:M2").Value = "Inferior"
461. H_VIG.Range("B3").Value = "Izquierda"
462. H_VIG.Range("C3").Value = "Centro"
463. H_VIG.Range("D3").Value = "Derecha"
464. H_VIG.Range("E3").Value = "Izquierda"
465. H_VIG.Range("F3").Value = "Centro"
466. H_VIG.Range("G3").Value = "Derecha"
467. H_VIG.Range("H3").Value = "Izquierda"
468. H_VIG.Range("I3").Value = "Centro"
469. H_VIG.Range("J3").Value = "Derecha"
470. H_VIG.Range("K3").Value = "Izquierda"
471. H_VIG.Range("L3").Value = "Centro"
472. H_VIG.Range("M3").Value = "Derecha"
473. With H_VIG.Range("A1", H_VIG.Range("M1").Offset(NSecVig - 1 + 3))
474.     .HorizontalAlignment = excel.XlHAlign.xlHAlignCenter
475.     .VerticalAlignment = excel.XlVAlign.xlVAlignCenter
476.     .WrapText = False
477.     .Orientation = 0
478.     .AddIndent = False
479.     .IndentLevel = 0
480.     .ShrinkToFit = False
481.     .ReadingOrder = excel.Constants.xlContext
482. End With
483. H_VIG.Range("A1:M3").Borders(excel.XlBordersIndex.xlDiagonalDown).LineStyle = excel.XlLineStyle.xlLineStyleNone
484. H_VIG.Range("A1:M3").Borders(excel.XlBordersIndex.xlDiagonalUp).LineStyle = excel.XlLineStyle.xlLineStyleNone
485. With H_VIG.Range("A1:M3").Borders(excel.XlBordersIndex.xlEdgeLeft)
486.     .LineStyle = excel.XlLineStyle.xlContinuous
487.     .ColorIndex = 0
488.     .TintAndShade = 0
489.     .Weight = excel.XlBorderWeight.xlThin
490. End With
491. With H_VIG.Range("A1:M3").Borders(excel.XlBordersIndex.xlEdgeTop)

```

```

492.         .LineStyle = excel.XlLineStyle.xlContinuous
493.         .ColorIndex = 0
494.         .TintAndShade = 0
495.         .Weight = excel.XlBorderWeight.xlThin
496.     End With
497.     With H_VIG.Range("A1:M3").Borders(excel.XlBordersIndex.xlEdgeBottom)
498.         .LineStyle = excel.XlLineStyle.xlContinuous
499.         .ColorIndex = 0
500.         .TintAndShade = 0
501.         .Weight = excel.XlBorderWeight.xlThin
502.     End With
503.     With H_VIG.Range("A1:M3").Borders(excel.XlBordersIndex.xlEdgeRight)
504.         .LineStyle = excel.XlLineStyle.xlContinuous
505.         .ColorIndex = 0
506.         .TintAndShade = 0
507.         .Weight = excel.XlBorderWeight.xlThin
508.     End With
509.     With H_VIG.Range("A1:M3").Borders(excel.XlBordersIndex.xlInsideVertical)
510.         .LineStyle = excel.XlLineStyle.xlContinuous
511.         .ColorIndex = 0
512.         .TintAndShade = 0
513.         .Weight = excel.XlBorderWeight.xlThin
514.     End With
515.     With
516.         H_VIG.Range("A1:M3").Borders(excel.XlBordersIndex.xlInsideHorizontal)
517.             .LineStyle = excel.XlLineStyle.xlContinuous
518.             .ColorIndex = 0
519.             .TintAndShade = 0
520.             .Weight = excel.XlBorderWeight.xlThin
521.     End With
522.     H_VIG.Range("A1:M3").Font.Bold = True
523.     With H_VIG.Range("A1:M3").Interior
524.         .Pattern = excel.XlPattern.xlPatternSolid
525.         .PatternColorIndex = excel.XlPattern.xlPatternAutomatic
526.         .ThemeColor = excel.XlThemeColor.xlThemeColorDark2
527.         .TintAndShade = -0.0999786370433668
528.         .PatternTintAndShade = 0
529.     End With
530.     With H_VIG.Range("A1:M3").Interior
531.         .Pattern = excel.XlPattern.xlPatternSolid
532.         .PatternColorIndex = excel.XlPattern.xlPatternAutomatic
533.         .ThemeColor = excel.XlThemeColor.xlThemeColorDark2
534.         .TintAndShade = -0.0999786370433668
535.         .PatternTintAndShade = 0
536.     End With
537.     With H_VIG.Range("B1:G3").Interior
538.         .Pattern = excel.XlPattern.xlPatternSolid
539.         .PatternColorIndex = excel.XlPattern.xlPatternAutomatic
540.         .ThemeColor = excel.XlThemeColor.xlThemeColorAccent1
541.         .TintAndShade = 0.799981688894314
542.         .PatternTintAndShade = 0
543.     End With
544.     With H_VIG.Range("H1:M3").Interior
545.         .Pattern = excel.XlPattern.xlPatternSolid
546.         .PatternColorIndex = excel.XlPattern.xlPatternAutomatic
547.         .ThemeColor = excel.XlThemeColor.xlThemeColorAccent2
548.         .TintAndShade = 0.799981688894314
549.         .PatternTintAndShade = 0
550.     End With
H_VIG.Range("A4", H_VIG.Range("A4").Offset(NSecVig -
1)).Borders(excel.XlBordersIndex.xlDiagonalDown).LineStyle =
excel.XlLineStyle.xlLineStyleNone

```

```

551.     H_VIG.Range("A4", H_VIG.Range("A4").Offset(NSecVig -
552.     1)).Borders(excel.XlBordersIndex.xlDiagonalUp).LineStyle =
553.     excel.XLineStyle.xlLineStyleNone
554.     With H_VIG.Range("A4", H_VIG.Range("A4").Offset(NSecVig -
555.     1)).Borders(excel.XlBordersIndex.xlEdgeLeft)
556.         .LineStyle = excel.XLineStyle.xlContinuous
557.         .ColorIndex = 0
558.         .TintAndShade = 0
559.         .Weight = excel.XlBorderWeight.xlThin
560.     End With
561.     With H_VIG.Range("A4", H_VIG.Range("A4").Offset(NSecVig -
562.     1)).Borders(excel.XlBordersIndex.xlEdgeTop)
563.         .LineStyle = excel.XLineStyle.xlContinuous
564.         .ColorIndex = 0
565.         .TintAndShade = 0
566.         .Weight = excel.XlBorderWeight.xlThin
567.     End With
568.     With H_VIG.Range("A4", H_VIG.Range("A4").Offset(NSecVig -
569.     1)).Borders(excel.XlBordersIndex.xlEdgeBottom)
570.         .LineStyle = excel.XLineStyle.xlContinuous
571.         .ColorIndex = 0
572.         .TintAndShade = 0
573.         .Weight = excel.XlBorderWeight.xlThin
574.     End With
575.     With H_VIG.Range("A4", H_VIG.Range("A4").Offset(NSecVig -
576.     1)).Borders(excel.XlBordersIndex.xlEdgeRight)
577.         .LineStyle = excel.XLineStyle.xlContinuous
578.         .ColorIndex = 0
579.         .TintAndShade = 0
580.         .Weight = excel.XlBorderWeight.xlThin
581.     End With
582.     H_VIG.Range("A4", H_VIG.Range("A4").Offset(NSecVig - 1)).Font.Bold = True
583.     H_VIG.Range("A4", H_VIG.Range("A4").Offset(NSecVig -
584.     1)).Borders(excel.XlBordersIndex.xlInsideVertical).LineStyle =
585.     excel.XLineStyle.xlLineStyleNone
586.     H_VIG.Range("A4", H_VIG.Range("A4").Offset(NSecVig - 1))
587.     .Borders(excel.XlBordersIndex.xlInsideHorizontal).LineStyle =
588.     excel.XLineStyle.xlLineStyleNone
589.     H_VIG.Range("B1", H_VIG.Range("G1").Offset(NSecVig - 1 +
590.     3)).Borders(excel.XlBordersIndex.xlDiagonalDown).LineStyle =
591.     excel.XLineStyle.xlLineStyleNone
592.     H_VIG.Range("B1", H_VIG.Range("G1").Offset(NSecVig - 1 +
593.     3)).Borders(excel.XlBordersIndex.xlDiagonalUp).LineStyle =
594.     excel.XLineStyle.xlLineStyleNone
595.     With H_VIG.Range("B1", H_VIG.Range("G1").Offset(NSecVig - 1 +
596.     3)).Borders(excel.XlBordersIndex.xlEdgeLeft)
597.         .LineStyle = excel.XLineStyle.xlContinuous
598.         .ColorIndex = 0
599.         .TintAndShade = 0
600.         .Weight = excel.XlBorderWeight.xlThin
601.     End With
602.     With H_VIG.Range("B1", H_VIG.Range("G1").Offset(NSecVig - 1 +
603.     3)).Borders(excel.XlBordersIndex.xlEdgeTop)
604.         .LineStyle = excel.XLineStyle.xlContinuous
605.         .ColorIndex = 0
606.         .TintAndShade = 0
607.         .Weight = excel.XlBorderWeight.xlThin
608.     End With
609.     With H_VIG.Range("B1", H_VIG.Range("G1").Offset(NSecVig - 1 +
610.     3)).Borders(excel.XlBordersIndex.xlEdgeBottom)
611.         .LineStyle = excel.XLineStyle.xlContinuous
612.         .ColorIndex = 0

```

```

596.         .TintAndShade = 0
597.         .Weight = excel.XlBorderWeight.xlThin
598.     End With
599.     With H_VIG.Range("B1", H_VIG.Range("G1").Offset(NSecVig - 1 +
3)).Borders(excel.XlBordersIndex.xlEdgeRight)
600.         .LineStyle = excel.XlLineStyle.xlContinuous
601.         .ColorIndex = 0
602.         .TintAndShade = 0
603.         .Weight = excel.XlBorderWeight.xlThin
604.     End With
605.     H_VIG.Range("B4", H_VIG.Range("D4").Offset(NSecVig -
1)).Borders(excel.XlBordersIndex.xlDiagonalDown).LineStyle =
excel.XlLineStyle.xlLineStyleNone
606.     H_VIG.Range("B4", H_VIG.Range("D4").Offset(NSecVig -
1)).Borders(excel.XlBordersIndex.xlDiagonalUp).LineStyle =
excel.XlLineStyle.xlLineStyleNone
607.     With H_VIG.Range("B4", H_VIG.Range("D4").Offset(NSecVig -
1)).Borders(excel.XlBordersIndex.xlEdgeLeft)
608.         .LineStyle = excel.XlLineStyle.xlContinuous
609.         .ColorIndex = 0
610.         .TintAndShade = 0
611.         .Weight = excel.XlBorderWeight.xlThin
612.     End With
613.     With H_VIG.Range("B4", H_VIG.Range("D4").Offset(NSecVig -
1)).Borders(excel.XlBordersIndex.xlEdgeTop)
614.         .LineStyle = excel.XlLineStyle.xlContinuous
615.         .ColorIndex = 0
616.         .TintAndShade = 0
617.         .Weight = excel.XlBorderWeight.xlThin
618.     End With
619.     With H_VIG.Range("B4", H_VIG.Range("D4").Offset(NSecVig -
1)).Borders(excel.XlBordersIndex.xlEdgeBottom)
620.         .LineStyle = excel.XlLineStyle.xlContinuous
621.         .ColorIndex = 0
622.         .TintAndShade = 0
623.         .Weight = excel.XlBorderWeight.xlThin
624.     End With
625.     With H_VIG.Range("B4", H_VIG.Range("D4").Offset(NSecVig -
1)).Borders(excel.XlBordersIndex.xlEdgeRight)
626.         .LineStyle = excel.XlLineStyle.xlContinuous
627.         .ColorIndex = 0
628.         .TintAndShade = 0
629.         .Weight = excel.XlBorderWeight.xlThin
630.     End With
631.     H_VIG.Range("H4", H_VIG.Range("J4").Offset(NSecVig -
1)).Borders(excel.XlBordersIndex.xlInsideVertical).LineStyle =
excel.XlLineStyle.xlLineStyleNone
632.     H_VIG.Range("H4", H_VIG.Range("J4").Offset(NSecVig -
1)).Borders(excel.XlBordersIndex.xlInsideHorizontal).LineStyle =
excel.XlLineStyle.xlLineStyleNone
633.     H_VIG.Range("H4", H_VIG.Range("J4").Offset(NSecVig -
1)).Borders(excel.XlBordersIndex.xlDiagonalDown).LineStyle =
excel.XlLineStyle.xlLineStyleNone
634.     H_VIG.Range("H4", H_VIG.Range("J4").Offset(NSecVig -
1)).Borders(excel.XlBordersIndex.xlDiagonalUp).LineStyle =
excel.XlLineStyle.xlLineStyleNone
635.     With H_VIG.Range("H4", H_VIG.Range("J4").Offset(NSecVig -
1)).Borders(excel.XlBordersIndex.xlEdgeLeft)
636.         .LineStyle = excel.XlLineStyle.xlContinuous
637.         .ColorIndex = 0
638.         .TintAndShade = 0
639.         .Weight = excel.XlBorderWeight.xlThin

```

```

640. End With
641. With H_VIG.Range("H4", H_VIG.Range("J4").Offset(NSecVig -
642.    1)).Borders(excel.XlBordersIndex.xlEdgeTop)
643.    .LineStyle = excel.XLineStyle.xlContinuous
644.    .ColorIndex = 0
645.    .TintAndShade = 0
646.    .Weight = excel.XlBorderWeight.xlThin
647. End With
648. With H_VIG.Range("H4", H_VIG.Range("J4").Offset(NSecVig -
649.    1)).Borders(excel.XlBordersIndex.xlEdgeBottom)
650.    .LineStyle = excel.XLineStyle.xlContinuous
651.    .ColorIndex = 0
652.    .TintAndShade = 0
653.    .Weight = excel.XlBorderWeight.xlThin
654. End With
655. With H_VIG.Range("H4", H_VIG.Range("J4").Offset(NSecVig -
656.    1)).Borders(excel.XlBordersIndex.xlEdgeRight)
657.    .LineStyle = excel.XLineStyle.xlContinuous
658.    .ColorIndex = 0
659.    .TintAndShade = 0
660.    .Weight = excel.XlBorderWeight.xlThin
661. End With
662. H_VIG.Range("H4", H_VIG.Range("J4").Offset(NSecVig -
663.    1)).Borders(excel.XlBordersIndex.xlInsideVertical).LineStyle =
664.    excel.XLineStyle.xlLineStyleNone
665. H_VIG.Range("H4", H_VIG.Range("J4").Offset(NSecVig -
666.    1)).Borders(excel.XlBordersIndex.xlInsideHorizontal).LineStyle =
667.    excel.XLineStyle.xlLineStyleNone
668. H_VIG.Range("K4", H_VIG.Range("M4").Offset(NSecVig -
669.    1)).Borders(excel.XlBordersIndex.xlDiagonalDown).LineStyle =
670.    excel.XLineStyle.xlLineStyleNone
671. H_VIG.Range("K4", H_VIG.Range("M4").Offset(NSecVig -
672.    1)).Borders(excel.XlBordersIndex.xlDiagonalUp).LineStyle =
673.    excel.XLineStyle.xlLineStyleNone
674. With H_VIG.Range("K4", H_VIG.Range("M4").Offset(NSecVig -
675.    1)).Borders(excel.XlBordersIndex.xlEdgeLeft)
676.    .LineStyle = excel.XLineStyle.xlContinuous
677.    .ColorIndex = 0
678.    .TintAndShade = 0
679.    .Weight = excel.XlBorderWeight.xlThin
680. End With
681. With H_VIG.Range("K4", H_VIG.Range("M4").Offset(NSecVig -
682.    1)).Borders(excel.XlBordersIndex.xlEdgeTop)
683.    .LineStyle = excel.XLineStyle.xlContinuous
684.    .ColorIndex = 0
685.    .TintAndShade = 0
686.    .Weight = excel.XlBorderWeight.xlThin
End With

```

```

687.     H_VIG.Range("K4", H_VIG.Range("M4").Offset(1)).Borders(excel.XlBordersIndex.xlInsideVertical).LineStyle =
688.         excel.XlLineStyle.xlLineStyleNone
H_VIG.Range("K4", H_VIG.Range("M4").Offset(1)).Borders(excel.XlBordersIndex.xlInsideHorizontal).LineStyle =
excel.XlLineStyle.xlLineStyleNone
689.     With H_VIG.Range("B2:D3").Interior
690.         .Pattern = excel.XlPattern.xlPatternSolid
691.         .PatternColorIndex = excel.XlPattern.xlPatternAutomatic
692.         .ThemeColor = excel.XlThemeColor.xlThemeColorAccent6
693.         .TintAndShade = 0.799981688894314
694.         .PatternTintAndShade = 0
695.     End With
696.     With H_VIG.Range("E2:G3").Interior
697.         .Pattern = excel.XlPattern.xlPatternSolid
698.         .PatternColorIndex = excel.XlPattern.xlPatternAutomatic
699.         .ThemeColor = excel.XlThemeColor.xlThemeColorAccent4
700.         .TintAndShade = 0.799981688894314
701.         .PatternTintAndShade = 0
702.     End With
703.     With H_VIG.Range("H2:J3").Interior
704.         .Pattern = excel.XlPattern.xlPatternSolid
705.         .PatternColorIndex = excel.XlPattern.xlPatternAutomatic
706.         .Color = 16764159
707.         .TintAndShade = 0
708.         .PatternTintAndShade = 0
709.     End With
710.     With H_VIG.Range("K2:M3").Interior
711.         .Pattern = excel.XlPattern.xlPatternSolid
712.         .PatternColorIndex = excel.XlPattern.xlPatternAutomatic
713.         .Color = 16777164
714.         .TintAndShade = 0
715.         .PatternTintAndShade = 0
716.     End With
717.     H_VIG.Activate()
718.     Apxl.Application.ActiveWindow.View =
excel.XlWindowView.xlPageBreakPreview
719. End Sub


---


720. Private Sub B_Finalizar_Click(ByVal sender As System.Object, ByVal e As
System.EventArgs) Handles B_Finalizar.Click
    Module1.PgSecCol = PgCol
    Module1.PgSecMu = PgMu
    ReDim Preserve AsSupVig(NSecVig - 1, 5)
    ReDim Preserve dSupVig(NSecVig - 1, 5)
    For i = 0 To NSecVig - 1
        For j = 0 To 2
            AsSupVig(i, 3 + j) = AsInfVig(i, 0)
            dSupVig(i, 3 + j) = dInfVig(i, 0)
        Next
    Next
    Module1.AsSecVig = AsSupVig
    Module1.dSecVig = dSupVig
    Module1.fyCol = FyCol
    Module1.fyMu = FyMu
    Primer_I.DatosDeElementos()
736. End Sub


---


737. Private Sub D_FyCol_TextChanged(ByVal sender As Object, ByVal e As
System.EventArgs)
    On Error GoTo ErrorfyCol
    FyCol = 0
    Exit Sub

```

```
741. ErrorfyCol:  
742.         MsgBox("Solo Cantidades", MsgBoxStyle.Critical)  
743.         Resume Next  
744.     End Sub  


---

745.     Private Sub D_FyMu_TextChanged(ByVal sender As Object, ByVal e As  
    System.EventArgs) Handles D_FyMu.TextChanged  
746.         On Error GoTo ErrorfyMu  
747.         FyMu = Convert.ToDouble(D_FyMu.Text)  
748.         Exit Sub  
749. ErrorfyMu:  
750.         MsgBox("Solo Cantidades", MsgBoxStyle.Critical)  
751.         D_FyMu.Text = FyMu  
752.         Resume Next  
753.     End Sub  


---

754.     Private Sub Button1_Click(sender As Object, e As EventArgs) Handles  
    Button1.Click  
755.         Me.Hide()  
756.         Seg_I.Show()  
757.     End Sub  
758. End Class
```

Module1 (Código)

```
1.  Module Module1
2.      Public T2doOrden As String
3.      Public NCombo As Integer
4.      Public NSecc As Integer
5.      Public NGrup As Integer
6.      Public LisCombos() As String
7.      Public AnalCombo() As String
8.      Public LisSecc() As String
9.      Public LisGrup() As String
10.     Public NSecCol As Integer
11.     Public NSecVig As Integer
12.     Public NSecMu As Integer
13.     Public LisSecCol() As String
14.     Public LisSecVig() As String
15.     Public LisSecMu() As String
16.     Public ConverMax As Double
17.     Public MaxItera As Integer
18.     Public NSubEle As Integer
19.     Public PgSecCol() As Double
20.     Public PgSecMu() As Double
21.     Public AsSecVig(,) As Double
22.     Public dSecVig(,) As Double
23.     Public fyCol As Double
24.     Public fyMu As Double
25.     Public Pisos() As String
26.     Public Npisos As Integer
27.     Public LisMasaX() As Double
28.     Public LisMasaY() As Double
29.     Public Salto As String
30.     Dim LineaUBD As String
31.     Public NombreArchivo As String
32.     Public Conec As New
33.         OleDb.OleDbConnection("Provider=Microsoft.ACE.OLEDB.12.0;Data
34.             Source=BD.accdb;Persist Security Info=False")
35.             Public cmd As New OleDb.OleDbCommand
36.             Public LineaIn As String = ""
37.
38.             'Base de datos
39.             Public Sub Conectarse(ByVal DirBD As String)
40.                 My.Computer.FileSystem.CopyFile(Application.StartupPath & "\BD.accdb",
41.                     DirBD, Microsoft.VisualBasic.FileIO.UIOption.OnlyErrorDialogs,
42.                     Microsoft.VisualBasic.FileIO.UICancelOption.DoNothing)
43.                 LineaUBD = "Provider=Microsoft.ACE.OLEDB.12.0;Data Source=" & DirBD &
44.                     ";Persist Security Info=False"
45.                 Conec = New OleDb.OleDbConnection(LineaUBD)
46.                 cmd = New OleDb.OleDbCommand
47.                 Try
48.                     Conec.Open()
49.                 Catch ex As Exception
50.                     MsgBox("Error de Conexión a Base de Datos" & ex.ToString)
51.                 End Try
52.             End Sub
53.
54.             'Imprimir datos
55.             Public Sub IMP_BD(ByVal MatDespl,,, As Double, ByVal MatFi,,, As Double,
56.                 ByVal MatMod,,, As Double, ByVal LisNu() As String, ByVal NNudos As
57.                 Integer, ByVal IndPisos As Integer, ByVal NModos As Integer, ByVal
58.                 Iteracion As Integer)
59.                 Dim i As Integer
60.                 'Desplazamientos
```

```

51.      i = Iteracion
52.      For j = 0 To NNudos - 1
53.          cmd.CommandType = CommandType.Text
54.          cmd.Connection = Conec
55.          LineaIn = "INSERT INTO Desplazamientos(Iteración, Nudo, U1, U2, U3,
56.          R1, R2, R3) "
57.          LineaIn += "VALUES(" & i + 1 & "," & LisNu(j) & "','" & MatDespl(j,
58.          i, 0) & "," & MatDespl(j, i, 1)
59.          LineaIn += "," & MatDespl(j, i, 2) & "," & MatDespl(j, i, 3) & ","
60.          & MatDespl(j, i, 4) & "," & MatDespl(j, i, 5) & ")"
61.          cmd.CommandText = LineaIn
62.          Try
63.              cmd.ExecuteNonQuery()
64.          Catch ex As Exception
65.              MsgBox(ex.ToString)
66.          End Try
67.      Next
68.      'Fuerzas inerciales
69.      For j = IndPisos - 1 To 0 Step -1
70.          cmd.CommandType = CommandType.Text
71.          cmd.Connection = Conec
72.          LineaIn = "INSERT INTO Fuerzas_Inerciales_y_Cortantes(Iteración,
73.          Piso, Fx, Fy, Mz, Vx, Vy, T) "
74.          LineaIn += "VALUES(" & i + 1 & "," & IndPisos - j & "','" &
75.          MatFi(j, i, 0) & "," & MatFi(j, i, 1)
76.          LineaIn += "," & MatFi(j, i, 2) & "," & MatFi(j, i, 3) & ","
77.          & MatFi(j, i, 4) & "," & MatFi(j, i, 5) & ")"
78.          cmd.CommandText = LineaIn
79.          Try
80.              cmd.ExecuteNonQuery()
81.          Catch ex As Exception
82.              MsgBox(ex.ToString)
83.          End Try
84.      Next
85.      'Resultados modales
86.      For j = 0 To NModos - 1
87.          cmd.CommandType = CommandType.Text
88.          cmd.Connection = Conec
89.          LineaIn = "INSERT INTO Resultados_Modales(Iteración, Modo, Periodo,
90.          MPX, MPY) "
91.          LineaIn += "VALUES(" & i + 1 & "," & j + 1 & "," & MatMod(j, i, 0)
92.          & "," & MatMod(j, i, 1) & "," & MatMod(j, i, 2) & ")"
93.          cmd.CommandText = LineaIn

```

Primer_I (Diseño)

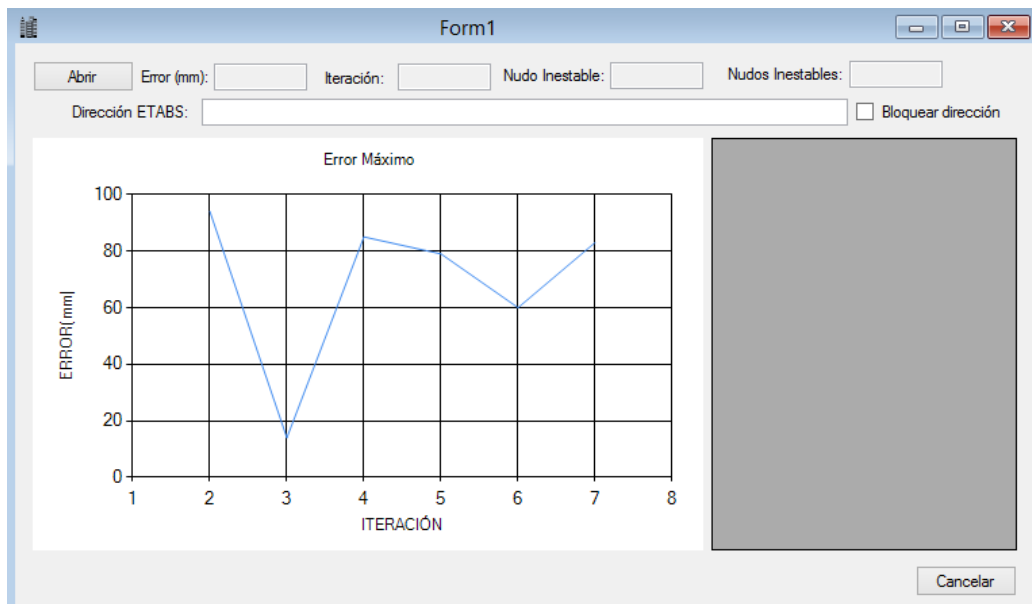


Figura 8 Primer_I (Diseño)

Seg_I (Diseño)

The screenshot shows a Windows application window titled 'Form2'. On the left, there are input fields for 'Convergencia:' (Convergence) set to '0.05 mm', 'Máx. Iteraciones:' (Max Iterations) set to '100', and 'Discretización:' (Discretization) set to '4'. Below these is a 'Combinaciones:' (Combinations) section with a list box 'Lista_Combo' which is currently empty. To the right is a 'Definir Elementos' (Define Elements) panel. It has a 'Tipo' (Type) section with radio buttons for 'Secciones' (Sections) (selected) and 'Grupos' (Groups). Below this is a 'Lista_Tipo' (List Type) list box. To the right of the list box are two buttons: '>>' and '<<'. Further right is an 'Elemento' (Element) section with radio buttons for 'Columnas' (Columns) (selected), 'Vigas' (Beams), and 'Muros' (Walls). Below this is a 'Lista_Elemento' (List Element) list box. At the bottom right is a 'Siguiente' (Next) button.

Figura 9 Seg_I (Diseño)

Tercer_I (Diseño)

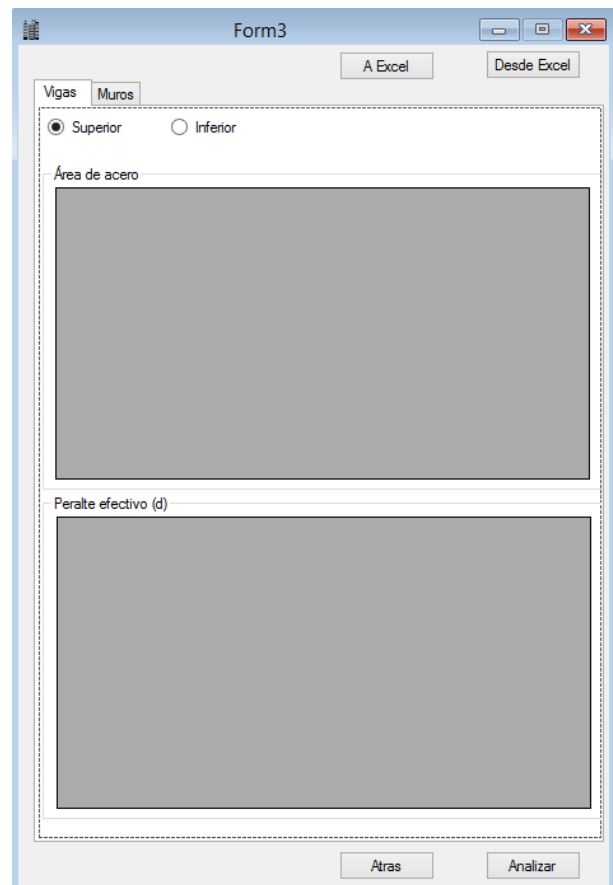


Figura 10 Tercer_I (Diseño)